

دانشگاه صنعتی شهرود

دانشکده مهندسی معدن و ژئوفیزیک  
گروه ژئوفیزیک

پایان نامه کارشناسی ارشد

عنوان:

مدل‌سازی معکوس رُوّالکتریکی نوبعدی برای تعیین هندسه  
زمین لغزش در کیلومتر ۰+۲۰۰ بزرگراه قزوین - رشت

ارائه کننده:

عبدالاحد هلاکوئی

استاد راهنمای:

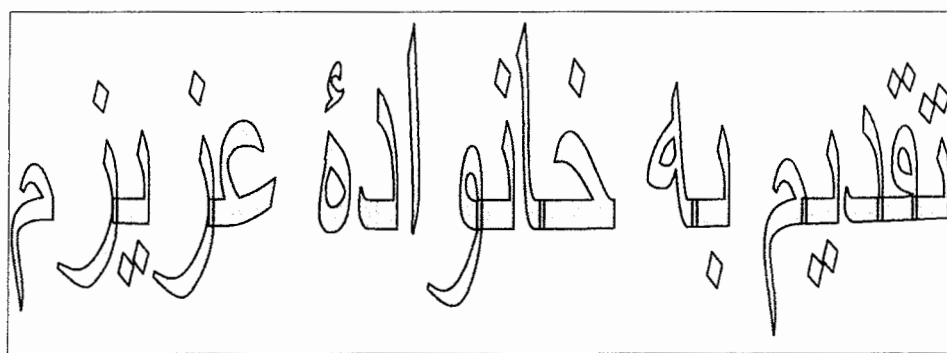
دکتر ایرج پیروز

دکتر ناصر حافظی مقدس

استاد مشاور:

دکتر علی مراد زاده

۱۳۸۶ اردیبهشت ۲۴



## تقدیر و تشکر

وظیفه خود می دانم که از کسانی که در انجام این پروژه همکاری صمیمانه داشته اند تقدیر و تشکر کنم:

- جناب آقای دکتر ایرج پیروز.....استاد راهنمای اول  
جناب آقای دکتر ناصر حافظی مقدس.....استاد راهنمای دوم  
جناب آقای دکتر علی مراد زاده.....استاد مشاور  
جناب آقای دکتر رضا کاکایی.....ریاست محترم دانشکده مهندسی معدن و ژئوفیزیک  
جناب آقای دکتر فرامرز دولتی.....مدیر گروه اکتشاف و ژئوفیزیک  
جناب آقای دکتر جعفر کیمیا قلم.....شرکت مهندسین مشاور زمین فیزیک  
جناب آقای مهندس یوسفی .....شرکت مهندسین مشاور زمین فیزیک  
جناب آقای مهندس احمد رحیمی.....مسئول عملیات صحرایی شرکت مهندسین مشاور زمین فیزیک  
جناب آقای مهندس رهمنا.....شرکت هراز راه (بخش زمین شناسی)  
جناب آقای مهندس محمدی.....شرکت ایتوک ایران  
جناب آقای مهندس حمید سرخیل.....مسئول آزمایشگاه ژئوفیزیک دانشکده

و همچنین لازم است از هیئت داوران بیست و پنجمین گردهمایی علوم زمین در اسفند ۱۳۸۵، در سازمان زمین شناسی و اکتشافات معدنی کشور، قدردانی کنم که مقاله اینجانب را برای سخنرانی برگزیده اند و از نظرات اساتیدی چون دکتر محمد علی ریاحی و دکتر وحید ابراهیم زاده اردستانی و... (اعضای هیئت رئیسه گروه ژئوفیزیک گردهمایی علوم زمین) در جهت هر چه پربارتر شدن این اثر بهره مند شدم.

در پایان هم، از اساتیدی که داوری این اثر را بر عهده داشته اند تشکر و قدردانی می کنم.

## چکیده

پدیده زمین لغزش که باعث رانش زمین و ایجاد ترکهایی در سطح زمین می‌گردد، منجر به تخریبِ کامل برخی از سازه‌ها از قبیل منازل مسکونی، جاده‌ها، پل‌ها، تونل‌ها و ... می‌گردد و در نتیجه شرایط دشوار و خطرناکی را ایجاد می‌کند. بزرگراه در حال احداث در مسیر قزوین-رشت، در محدودهٔ کیلومتر ۵۲، بعلت عبور از منطقهٔ تکتونیزه و نامقاوم، متحمل ناپایداری شده است. ارائه راهکار اجرایی مقابله با لغزش و پایدارسازی آن، مستلزم شناسایی ابعاد توده لغزش، از جمله عمق دقیق سطح لغزش می‌باشد. برای رسیدن به این هدف از دو روش مستقیم و غیر مستقیم بهره می‌گیرند. در روش مستقیم، وضعیت زمین لغزش با حفاری چاه‌های اکتشافی مطالعه می‌شود که بسیار پرهزینه بوده و از نظر عملیات اجرایی نیز بدلیل شیب ناپایدار، بسیار مشکل می‌باشد. به همین دلیل از روشهای غیر مستقیم از جمله روشهای ژئوفیزیکی سطحی، جهت کسب اطلاعات در مورد سطح لغزش، استفاده می‌شود. در این پروژه، از روش مقاومت ویژه الکتریکی، که روشی سریع و ارزان قیمت می‌باشد، جهت ارزیابی اولیه وضعیت لغزش زمین استفاده شده است و با تهیه نقشه‌های لازم، مناسب ترین محل‌ها برای گمانه‌های اکتشافی انتخاب گردیدند. جهت دستیابی به هدف فوق الذکر، شرکت مهندسین مشاور زمین فیزیک اقدام به برداشت داده‌های ژئوالکتریکی در محدودهٔ زمین لغزش مذکور نمود که اینجانب نیز در برداشت داده‌ها مشارکت داشتم. نخست، داده‌های حاصله مورد تفسیر کیفی قرار گرفتند و سپس به منظور تعیین مقاومت ویژه واقعی و ضخامت دقیق لایه‌ها، داده‌های مقاومت ویژه صحرائی، توسط روش مدلسازی معکوس دو بعدی، مورد پردازش قرار گرفتند.

## فهرست مطالب

صفحة	عناوین مطالب
أ	تقديم
ب	تقدير و تشكر
پ	چكیده
ت	فهرست مطالعات
خ	فهرست شكل ها
ر	فهرست جداول
ز	فهرست علامات و اختصارات
١	<b>فصل اول : مقدمه و کليات</b>
١	١-١ مقدمه
٦	٢-١ موقعیت جغرافیایی و نقشه توپوگرافی منطقه
٦	٣-١ سوابق مطالعات انجام شده و ضرورت انجام تحقیق
٨	٤-١ اهداف پایان نامه
٨	٥-١ روش انجام تحقیق
٩	٦-١ ساختار پایان نامه
١١	<b>فصل دوم: زمین لغزش ها و اطلاعات زمین شناسی منطقه</b>
١١	١-٢ زمین لغزشها
١٢	١-١-٢ حرکات دامنه ايي (زمين لغزش)
١٢	١-١-١-٢ لغزش
١٣	٢-١-١-٢ جريان
١٤	٣-١-١-٢ ريزش
١٥	٤-١-١-٢ واژگونی
١٥	٥-١-١-٢ خرز
١٥	٦-١-١-٢ گسترش جانبی
١٦	٢-١-٢ شناسایي لغزشهاي قدیمی
١٧	٣-١-٢ مشخصات ژئومورفولوژیکی زمین لغزش
١٨	٤-٣-١-٢ اجزاء مختلف يك زمین لغزش
١٩	٢-٣-١-٢ ابعاد زمین لغزش
٢٠	٤-١-٢ علل و عوامل وقوع زمین لغزش ها
٢٣	٥-١-٢ طبقه بندی زمین لغزش ها
٢٣	١-٥-١-٢ طبقه بندی بر مبنای نوع حرکت و مواد جایجا شده
٢٣	٢-٥-١-٢ طبقه بندی بر مبنای سرعت لغزش
٢٤	٣-٥-١-٢ طبقه بندی بر مبنای میزان فعالیت
٢٥	٤-٥-١-٢ طبقه بندی بر مبنای عمق سطح لغزش
٢٥	٥-٥-١-٢ طبقه بندی بر مبنای شکل سطح لغزش

۲۶	۶-۵-۱-۲ طبقه بندی بر مبنای سن
۲۶	۶-۱-۲ تثبیت و پایدارسازی زمین لغزش ها
۲۶	۱-۶-۱-۲ رفتار پوشش گیاهی در پایداری دامنه ها
۲۶	۲-۶-۱-۲ روشهای تثبیت و پایدار سازی زمین لغزش ها
۲۷	۲-۲ اطلاعات زمین شناسی منطقه لغزشی در بزرگراه قزوین- رشت
۲۷	۱-۲-۲ چینه شناسی منطقه
۳۰	۲-۲-۲ زمین شناسی ساختمانی منطقه
۳۰	۱-۲-۲-۲ گسل های محلی
۳۰	۲-۲-۲-۲ درزه ها
۳۱	۳-۲-۲ زمین ریخت شناسی
۳۱	۴-۲-۲ لرزه خیزی منطقه
۳۱	۱-۴-۲-۲ آمار زمین لرزه های منطقه
۳۲	۲-۴-۲-۲ گسلهای فعال منطقه
۳۲	۵-۲-۲ میزان بارندگی در منطقه
۳۲	۶-۲-۲ ترانشه های خروجی تونل دولو
۳۵	<b>فصل سوم : روش مقاومت ویژه الکتریکی، اندازه گیری داده ها و تفسیر کیفی آنها</b>
۳۵	۱-۳ روش مقاومت ویژه الکتریکی
۳۶	۱-۱-۳ اساس تئوری مقاومت ویژه
۳۹	۲-۱-۳ عوامل مؤثر بر مقاومت ویژه مواد زمین
۳۹	۳-۱-۳ خواص الکتریکی مواد
۴۱	۴-۱-۳ آرایش های الکترودی
۴۱	۱-۴-۱-۳ انتخاب آرایشهاهای الکترودی
۴۳	۲-۴-۱-۳ آرایش الکترودی شلومبرگر
۴۴	۳-۴-۱-۳ آرایش الکترودی نیم شلومبرگر متقارن
۴۵	۵-۱-۳ تصحیح کلاچ
۴۶	۶-۱-۳ اثرات توپوگرافی بر روی داده های مقاومت ویژه
۴۸	۷-۱-۳ اصل هم ارزی یا برابری
۴۹	۸-۱-۳ تفسیر کیفی و کمی داده های صحرایی
۴۹	۲-۳ داده های اندازه گیری شده
۴۹	۱-۲-۳ پروفیلهای CRP
۵۱	۲-۲-۳ پروفیل های طولی و عرضی سوندائرها
۵۱	۳-۳ تفسیر کیفی داده های پروفیل زنی CRP
۵۲	۱-۳-۳ پروفیل I
۵۴	۲-۳-۳ پروفیل II
۵۵	۳-۳-۳ پروفیل III
۵۷	۴-۳ تفسیر کیفی داده های سونداز الکتریکی
۵۸	۱-۴-۳ پروفیل طولی A

۶۰	B ۲-۴-۳ پروفیل طولی
۶۱	C ۳-۴-۳ پروفیل طولی
۶۳	D ۴-۴-۳ پروفیل طولی
۶۴	E ۵-۴-۳ پروفیل طولی
۶۶	F ۶-۴-۳ پروفیل طولی
۶۷	G ۷-۴-۳ پروفیل طولی
۶۹	H ۸-۴-۳ پروفیل طولی
۷۰	P ۹-۴-۳ پروفیل عرضی
۷۱	Q ۱۰-۴-۳ پروفیل عرضی
۷۳	R ۱۱-۴-۳ پروفیل عرضی
۷۴	S ۱۲-۴-۳ پروفیل عرضی
۷۵	۵-۳ نقشه های هم مقاومت و برش ظاهري
۷۸	<b>فصل چهارم : مدلسازی معکوس و تفسیر کمی داده ها</b>
۷۸	۱-۴ مقدمه
۸۰	۲-۴ مدلسازی مستقیم یا پیشرو
۸۰	۳-۴ مدلسازی معکوس
۸۱	۴-۳ اساس تئوری مدلسازی معکوس
۸۴	۴-۴ نرم افزارهای مورد استفاده برای مدلسازی معکوس
۸۴	۱-۴-۴ نرم افزار ResixIP
۸۴	۲-۴-۴ نرم افزار Res2Dinv و تئوری استفاده شده برای معکوس سازی
۸۶	۴-۵ نتایج مدلسازی معکوس یک بعدی
۸۸	۱-۵-۴ نتایج مدلسازی یک بعدی سونداز B2
۸۸	۲-۵-۴ نتایج مدلسازی یک بعدی سونداز C2
۸۹	۳-۵-۴ نتایج مدلسازی یک بعدی سونداز D5
۸۹	۴-۵-۴ نتایج مدلسازی یک بعدی سونداز F4
۸۹	۵-۵-۴ نتایج مدلسازی یک بعدی سونداز G6
۸۹	۶-۵-۴ نتایج مدلسازی یک بعدی سونداز H7
۹۰	۶-۴ نتایج مدلسازی معکوس دو بعدی
۹۱	۱-۶-۴ نتایج مدلسازی معکوس دو بعدی پروفیل های CRP
۹۱	۱-۱-۶-۴ مقطع قائم پروفیل I CRP.I
۹۲	۲-۱-۶-۴ مقطع قائم پروفیل II CRP.II
۹۳	۳-۱-۶-۴ مقطع قائم پروفیل III CRP.III
۹۴	۲-۶-۴ نتایج مدلسازی معکوس دو بعدی پروفیلهای طولی و عرضی
۹۴	۱-۲-۶-۴ مقطع قائم پروفیل طولی A
۹۶	۲-۲-۶-۴ مقطع قائم پروفیل طولی B
۹۷	۳-۲-۶-۴ مقطع قائم پروفیل طولی C
۹۹	۴-۲-۶-۴ مقطع قائم پروفیل طولی D

۱۰۰	۴-۶-۲-۵ مقطع قائم پروفیل طولی E
۱۰۲	۴-۶-۲-۶ مقطع قائم پروفیل طولی F
۱۰۳	۴-۶-۲-۷ مقطع قائم پروفیل طولی G
۱۰۵	۴-۶-۲-۸ مقطع قائم پروفیل طولی H
۱۰۶	۴-۶-۲-۹ مقطع قائم پروفیل عرضی P
۱۰۷	۴-۶-۲-۱۰ مقطع قائم پروفیل عرضی Q
۱۰۸	۴-۶-۲-۱۱ مقطع قائم پروفیل عرضی R
۱۱۰	۴-۶-۲-۱۲ مقطع قائم پروفیل عرضی S
۱۱۱	۴-۷-۲ مقایسه مقاطع قائم حاصل از پروفیلهای عرضی و CRP
۱۱۲	۴-۷-۱ مقایسه مقاطع قائم مربوط به پروفیل عرضی P و CRP.III
۱۱۳	۴-۷-۲ مقایسه مقاطع قائم مربوط به پروفیل عرضی S و CRP.II
۱۱۴	۴-۷-۳ مقایسه مقاطع قائم مربوط به پروفیل عرضی X و CRP.I
۱۱۴	۴-۷-۴ نتیجه مقایسه مقاطع قائم پروفیلهای
۱۱۶	فصل پنجم: نتیجه گیری و پیشنهادات
۱۱۶	۵-۱ نتیجه گیری
۱۱۸	۵-۲ پیشنهادات
۱۱۹	منابع
۱۲۲	پیوست
۱۲۳	پیوست الف: اجزاء و ابعاد یک زمین لغزش و عکسهایی از زمین لغزش مورد مطالعه
۱۲۷	پیوست ب: داده های مختصات جغرافیایی سوندازها و پروفیلهای و موقعیت سوندازها بر روی پروفیلهای
۱۳۰	پیوست پ: داده های CRP
۱۳۴	پیوست ت: داده های اندازه گیری شده سوندازها با آرایش شلومبرگ
۱۳۹	پیوست ث: نمودارهای تغییرات مقاومت ویژه ظاهری در طول پروفیلهای CRP و شبه مقاطع قائم مقاومت ویژه ظاهری آنها
۱۴۲	پیوست ج: نمودار شبه مقاطع قائم مقاومت ویژه الکتریکی ظاهری
۱۴۷	پیوست چ: نقشه های هم مقاومت ویژه
۱۵۰	پیوست ح: مدلهای حاصل از معکوس سازی یک بعدی با استفاده از نرم افزار ResixIP
۱۵۴	پیوست خ: مدلهای هم ارز در مدلسازی معکوس یک بعدی با نرم افزار ResixIP
۱۵۸	پیوست د: طریقه ساختن فایل داده های ورودی نرم افزار Res2Dinv
۱۶۸	Abstract (چکیده پایان نامه به زبان انگلیسی)

## فهرست شکل ها

صفحه	فهرست شکل ها
۶	شکل ۱-۱: نقشه منطقه و موقعیت جغرافیایی و راه دسترسی به منطقه لغزشی مورد مطالعه
۷	شکل ۲-۱: نقشه توپوگرافی منطقه لغزشی و موقعیت تونل واقع در مسیر بزرگراه قزوین-رشت
۱۲	شکل ۲-۲: تجزیه نیروی وزن بر روی دامنه
۱۳	شکل ۲-۳: شکل سطح لغزش در لغزشها (الف): چرخشی (ب): انتقالی
۱۴	شکل ۲-۴: (سمت راست) جریان گل (گلروانه) و (سمت چپ) جریان واریزه ایی
۱۵	شکل ۲-۵: حرکت خزشی و کج شدن درختان، حصارها و جاده ها
۱۶	شکل ۲-۶: چگونگی حرکت مواد در گسترش جانبی
۱۷	شکل ۲-۷: نمایی از اجزا و ابعاد لغزش
۲۵	شکل ۲-۸: سطح گسیختگی قوسی شکل یا دایروی
۳۶	شکل ۱-۳ : تعریف مقاومت ویژه
۳۷	شکل ۲-۳ : فرم کلی یک آرایش
۴۳	شکل ۳-۱: نحوه قرار گیری الکترودها در آرایش شلومبرگر
۴۵	شکل ۳-۲ : نمایش دو آرایش متقابن نیم شلومبرگر
۴۶	شکل ۳-۳: تصحیح کلاچ در آرایش شلومبرگر (الف) قبل از تصحیح (ب) بعد از تصحیح
۴۷	شکل ۳-۴: تاثیر توپوگرافی روی خطوط جریان و پتانسیل
۵۰	شکل ۳-۵ : موقعیت سوندازها و پروفیل ها در روی نقشه توپوگرافی منطقه لغزشی
۵۴	شکل ۳-۶: نمودارهای تغییرات مقاومت ویژه ظاهری پروفیل CRP.I برای فاصله OA=30m
۵۵	شکل ۳-۷: نمودارهای تغییرات مقاومت ویژه ظاهری پروفیل CRP.II برای فاصله OA=50m
۵۶	شکل ۳-۸: نمودارهای تغییرات مقاومت ویژه ظاهری پروفیل CRP.III برای فاصله OA=30m
۵۹	شکل ۳-۹: نمودارهای تغییرات مقاومت ویژه ظاهری بر حسب AB/2 برای سوندازهای واقع بر پروفیل طولی A
۶۱	شکل ۳-۱۰: نمودارهای تغییرات مقاومت ویژه ظاهری بر حسب AB/2 برای سوندازهای واقع بر پروفیل طولی B
۶۲	شکل ۳-۱۱: نمودارهای تغییرات مقاومت ویژه ظاهری بر حسب AB/2 برای سوندازهای واقع بر پروفیل طولی C
۶۴	شکل ۳-۱۲: نمودارهای تغییرات مقاومت ویژه ظاهری بر حسب AB/2 برای سوندازهای واقع بر پروفیل طولی D
۶۵	شکل ۳-۱۳: نمودارهای تغییرات مقاومت ویژه ظاهری بر حسب AB/2 برای سوندازهای واقع بر پروفیل طولی E
۶۷	شکل ۳-۱۴: نمودارهای تغییرات مقاومت ویژه ظاهری بر حسب AB/2 برای سوندازهای واقع بر پروفیل طولی F
۶۸	شکل ۳-۱۵: نمودارهای تغییرات مقاومت ویژه ظاهری بر حسب AB/2 برای سوندازهای واقع بر پروفیل طولی G
۷۰	شکل ۳-۱۶: نمودارهای تغییرات مقاومت ویژه ظاهری بر حسب AB/2 برای سوندازهای واقع بر پروفیل طولی H
۷۱	شکل ۳-۱۷: نمودارهای تغییرات مقاومت ویژه ظاهری بر حسب AB/2 برای سوندازهای واقع بر پروفیل عرضی P
۷۲	شکل ۳-۱۸: نمودارهای تغییرات مقاومت ویژه ظاهری بر حسب AB/2 برای سوندازهای واقع بر پروفیل عرضی Q
۷۳	شکل ۳-۱۹: نمودارهای تغییرات مقاومت ویژه ظاهری بر حسب AB/2 برای سوندازهای واقع بر پروفیل عرضی R
۷۴	شکل ۳-۲۰: نمودارهای تغییرات مقاومت ویژه ظاهری بر حسب AB/2 برای سوندازهای واقع بر پروفیل عرضی S
۷۶	شکل ۳-۲۱: نقشه هم مقاومت ویژه ظاهری فاصله الکترودهای جریان (AB/2) برابر ۱۰ متر
۷۶	شکل ۳-۲۲: نقشه هم مقاومت ویژه ظاهری فاصله الکترودهای جریان (AB/2) برابر ۵۰ متر
۸۷	شکل ۴-۱: نمونه ای از مدلسازی یک بعدی سوندازها (S8) (سونداز)
۸۷	شکل ۴-۲: نمونه ای از مدلهای هم ارز سوندازها (S8) (سونداز)

۹۲	شکل ۴-۳: مقطع قائم حاصل از معکوس سازی دوبعدی پروفیل I CRP.I
۹۳	شکل ۴-۴: مقطع قائم حاصل از معکوس سازی دوبعدی پروفیل II CRP.II
۹۴	شکل ۴-۵: مقطع قائم حاصل از معکوس سازی دوبعدی پروفیل III CRP.III
۹۵	شکل ۴-۶: مقطع قائم حاصل از معکوس سازی دوبعدی پروفیل A
۹۷	شکل ۴-۷: مقطع قائم حاصل از معکوس سازی دوبعدی پروفیل B
۹۸	شکل ۴-۸: مقطع قائم حاصل از معکوس سازی دوبعدی پروفیل C
۱۰۰	شکل ۴-۹: مقطع قائم حاصل از معکوس سازی دوبعدی پروفیل D
۱۰۱	شکل ۴-۱۰: مقطع قائم حاصل از معکوس سازی دوبعدی پروفیل E
۱۰۲	شکل ۴-۱۱: مقطع قائم حاصل از معکوس سازی دوبعدی پروفیل F
۱۰۴	شکل ۴-۱۲: مقطع قائم حاصل از معکوس سازی دوبعدی پروفیل G
۱۰۵	شکل ۴-۱۳: مقطع قائم حاصل از معکوس سازی دوبعدی پروفیل H
۱۰۷	شکل ۴-۱۴: مقطع قائم حاصل از معکوس سازی دوبعدی پروفیل P
۱۰۸	شکل ۴-۱۵: مقطع قائم حاصل از معکوس سازی دوبعدی پروفیل Q
۱۰۹	شکل ۴-۱۶: مقطع قائم حاصل از معکوس سازی دوبعدی پروفیل R
۱۱۰	شکل ۴-۱۷: مقطع قائم حاصل از معکوس سازی دوبعدی پروفیل S
۱۱۲	شکل ۴-۱۸: موقعیت پروفیل عرضی P در روی پروفیل CRP.III
۱۱۳	شکل ۴-۱۹: موقعیت پروفیل عرضی S در روی پروفیل CRP.II
۱۱۵	شکل ۴-۲۰: موقعیت پروفیل عرضی X در روی پروفیل CRP.I
۱۱۵	شکل ۴-۲۱: موقعیت عمق بررسی تقریبی مقطع قائم I CRP.I در مقطع قائم پروفیل عرضی X
۱۱۷	شکل ۵-۱: نقشه هم عمق سطح لغزش
۱۲۳	شکل الف-۱-۱: نمایی از تاج لغزش
۱۲۳	شکل الف-۱-۲: پرتگاه اصلی (تصویر سمت راست) قله (تصویر سمت چپ)
۱۲۳	شکل الف-۱-۳: سر (تصویر سمت راست) افتگاه های فرعی (تصویر سمت چپ)
۱۲۳	شکل الف-۱-۴: توده اصلی (تصویر سمت راست) پای لغزش ، نوک لغزش و پنجه (تصویر سمت چپ)
۱۲۴	شکل الف-۱-۵: سطح گسیختگی
۱۲۴	شکل الف-۱-۶: پنجه سطح گسیختگی (تصویر سمت راست) سطح جدایش (تصویر سمت چپ)
۱۲۴	شکل الف-۱-۷: توده جایجا شده
۱۲۴	شکل الف-۱-۸: پهنه تهی شدگی (تصویر سمت راست) پهنه تجمع (تصویر سمت چپ)
۱۲۵	شکل الف-۱-۹: تهی شدگی (تصویر سمت راست) تجمع مواد جایجا شده(تصویر سمت چپ)
۱۲۵	شکل الف-۱-۱۰: توده تهی شده (تصویر سمت راست) طول صفحه گسیختگی(تصویر سمت چپ)
۱۲۵	شکل الف-۱-۱۱: طول توده جایجا شده(تصویر سمت راست) و طول کلی لغزش(تصویر سمت چپ)
۱۲۵	شکل الف-۱-۱۲: عمق صفحه گسیختگی(تصویر سمت راست) و عمق توده جایجا شده(تصویر سمت چپ)
۱۲۶	شکل الف-۲-۱: عکسی از محدوده جنوبی زمین لغزش مورد مطالعه واقع در بزرگراه قزوین-رشت
۱۲۶	شکل الف-۲-۲: عکسی از محدوده شمال شرقی زمین لغزش مورد مطالعه واقع در بزرگراه قزوین-رشت
۱۳۹	شکل ث-۱: نمودارهای تغییرات مقاومت ویژه ظاهری پروفیل I CRP.I برای فاصله OA=20m
۱۳۹	شکل ث-۲: نمودارهای تغییرات مقاومت ویژه ظاهری پروفیل I CRP.I برای فاصله OA=50m
۱۳۹	شکل ث-۳: شبیه مقطع قائم مقاومت ویژه ظاهری پروفیل I CRP.I

۱۴۰	شکل ث-۴: نمودارهای تغییرات مقاومت ویژه ظاهری پروفیل II CRP برای فاصله OA=20m
۱۴۰	شکل ث-۵: نمودارهای تغییرات مقاومت ویژه ظاهری پروفیل II CRP برای فاصله OA=30m
۱۴۰	شکل ث-۶: شبه مقطع قائم مقاومت ویژه ظاهری پروفیل CRP.II
۱۴۱	شکل ث-۷: نمودارهای تغییرات مقاومت ویژه ظاهری پروفیل CRP.III برای فاصله OA=20m
۱۴۱	شکل ث-۸: نمودارهای تغییرات مقاومت ویژه ظاهری پروفیل CRP.III برای فاصله OA=50m
۱۴۱	شکل ث-۹: شبه مقطع قائم مقاومت ویژه ظاهری پروفیل CRP.III
۱۴۲	شکل ج-۱: شبه مقطع قائم مقاومت ویژه ظاهری پروفیل طولی A
۱۴۲	شکل ج-۲: شبه مقطع قائم مقاومت ویژه ظاهری پروفیل طولی B
۱۴۳	شکل ج-۳: شبه مقطع قائم مقاومت ویژه ظاهری پروفیل طولی C
۱۴۳	شکل ج-۴: شبه مقطع قائم مقاومت ویژه ظاهری پروفیل طولی D
۱۴۴	شکل ج-۵: شبه مقطع قائم مقاومت ویژه ظاهری پروفیل طولی E
۱۴۴	شکل ج-۶: شبه مقطع قائم مقاومت ویژه ظاهری پروفیل طولی F
۱۴۵	شکل ج-۷: شبه مقطع قائم مقاومت ویژه ظاهری پروفیل طولی G
۱۴۵	شکل ج-۸: شبه مقطع قائم مقاومت ویژه ظاهری پروفیل طولی H
۱۴۵	شکل ج-۹: شبه مقطع قائم مقاومت ویژه ظاهری پروفیل عرضی P
۱۴۶	شکل ج-۱۰: شبه مقطع قائم مقاومت ویژه ظاهری پروفیل عرضی Q
۱۴۶	شکل ج-۱۱: شبه مقطع مقاومت ویژه ظاهری پروفیل عرضی R
۱۴۶	شکل ج-۱۲: شبه مقطع مقاومت ویژه ظاهری پروفیل عرضی S
۱۴۷	شکل ج-۱: نقشه هم مقاومت ویژه فاصله الکترودهای جریان (AB/2) برابر ۵ متر
۱۴۷	شکل ج-۲: نقشه هم مقاومت ویژه فاصله الکترودهای جریان (AB/2) برابر ۱۵ متر
۱۴۸	شکل ج-۳: نقشه هم مقاومت ویژه فاصله الکترودهای جریان (AB/2) برابر ۳۰ متر
۱۴۸	شکل ج-۴: نقشه هم مقاومت ویژه فاصله الکترودهای جریان (AB/2) برابر ۱۰۰ متر
۱۴۹	شکل ج-۵: نقشه هم مقاومت ویژه فاصله الکترودهای جریان (AB/2) برابر ۱۵۰ متر
۱۵۰-۱۵۳	شکلهای پیوست ح: مدلهای حاصل از معکوس سازی یک بعدی با استفاده از نرم افزار ResixIP
۱۵۴-۱۵۸	شکلهای پیوست خ: مدلهای هم ارز در مدلسازی معکوس یک بعدی با نرم افزار ResixIP

## فهرست جداول

صفحه	فهرست جداول
۲۴	جدول ۱-۲: تقسیم بندی زمین لغزش ها بر مبنای طبقه بندی وارنز (۱۹۷۸)
۲۴	جدول ۲-۲: تقسیم بندی انواع مواد جابجا شده در یک زمینلغزش
۴۰	جدول ۱-۳ : مقاومت ویژه بعضی از سنگها و مواد معدنی
۵۲	جدول ۲-۳ : مشخصات پروفیل های سوندازها
۸۸	جدول ۱-۴: مقادیر پارامترهای مدل بدست آمده و جنس لایه ها در نقطه سونداز B2
۸۸	جدول ۲-۴: مقادیر پارامترهای مدل بدست آمده و جنس لایه ها در نقطه سونداز C2
۹۰	جدول ۳-۴: مقادیر پارامترهای مدل بدست آمده و جنس لایه ها در نقطه سونداز D5
۹۰	جدول ۴-۴: مقادیر پارامترهای مدل بدست آمده و جنس لایه ها در نقطه سونداز F4
۹۰	جدول ۴-۵: مقادیر پارامترهای مدل بدست آمده و جنس لایه ها در نقطه سونداز G6
۹۰	جدول ۴-۶: مقادیر پارامترهای مدل بدست آمده و جنس لایه ها در نقطه سونداز H7
۹۱	جدول ۷-۴: خطای RMS در مدلسازی معکوس دوبعدی پروفیلهای
۱۲۷	جدول ب-۱: داده های مشخصات جغرافیایی و ارتفاع محل سوندازها و پروفیلهای
۱۲۹	جدول ب-۲ : موقعیت سوندازها بر روی پروفیل های طولی و عرضی
۱۳۰	جدول پ-۱ : داده های مقاومت ویژه پروفیل I
۱۳۱	جدول پ-۲: داده های مقاومت ویژه پروفیل II
۱۳۲	جدول پ-۳: داده های مقاومت ویژه پروفیل III
۱۳۴	جدول ت-۱: گسترش طولی الکتروودها در سونداز زنی با استفاده از آرایش شلومبرگر
۱۳۴	جدول ت-۲: داده های اندازه گیری شده سوندازها با آرایش شلومبرگر
۱۵۹	جدول د-۱ : نمونه فایل ورودی داده ها برای نرم افزار Res2dinv ، برای سوندازهای پروفیل G
۱۶۳	جدول د-۲ : نمونه فایل ورودی داده ها برای نرم افزار Res2dinv ، برای پروفیل CRP.III

## فهرست علائم و اختصارات

علائم و اختصارات	عنوانیں
CRP	Combined Resistivity Profiling
IAEG	انجمن بین المللی زمین شناسی مهندسی
L <sub>r</sub>	طول صفحہ گسیختگی (The length of the rupture surface)
L <sub>d</sub>	طول توده جابجا شده (Length of the displaced mass)
L	طول کلی لغزش (Total length)
W <sub>r</sub>	پھنای صفحہ گسیختگی (Width of the rupture surface)
W <sub>d</sub>	پھنای توده جابجا شده (Width of the displaced mass)
D <sub>r</sub>	عمق صفحہ گسیختگی (The depth of the rupture surface)
D <sub>d</sub>	عمق توده جابجا شده (Depth of the displaced mass)
R	مقاومت بین دو سطح ہم پتانسیل
$\rho$	مقاومت ویرہ
$\rho_a$	مقاومت ویرہ ظاہری
$\sigma$	رسانندگی محیط
j	چگالی جریان
E	شدت میدان الکتریکی
V	پتانسیل الکتریکی
I	شدت جریان الکتریکی
$\delta$	تابع دلتای دیراک
A & B	الکترودهای جریان
AB	فاصلہ بین الکترودهای جریان
M & N	الکترودهای پتانسیل
MN	فاصلہ بین الکترودهای پتانسیل
K	فاکتور هندسی
$\Omega_m$	واحد مقاومت ویرہ الکتریکی
$\rho_w$	مقاومت ویرہ سیال پرکنندة فضاهای خالی سنگ در قانون آرجی
$\phi$	تخلخل سنگ
s & n	سیگنال و نویز
S	قابلیت ہدایت افقی و یا ہدایت کلی در اصل ہم ارزی
R	مقاومت عرضی در اصل ہم ارزی
H(m)	ارتفاع از سطح تراز دریا بر حسب متر
y	مجموعہ دادہ ہائی مشاہدہ شدہ
f	پاسخ مدل
q	پارامترهای مدل
g	بردار اختلاف
J	ماتریس ڈاکوبین مشتقات جزئی
$J^T$	ترانہادہ ماتریس ڈاکوبین مشتقات جزئی
$\lambda$	فاکتور تعديل یا فاکتور مارکوارٹ - لونبرگ
$f_x$	فیلٹر تخت افقی
$f_z$	فیلٹر تخت قائم

## فصل اول:

### مقدمه و کلیات

#### ۱-۱ مقدمه

زمین لغزش<sup>۱</sup> عبارت است از حرکت و جابجایی بخشی از مواد دامنه در امتداد یک سطح گسیختگی<sup>۲</sup> مشخص که بطور طبیعی و تحت تأثیر عوامل مختلفی بخصوص نیروی جاذبه زمین، در دامنه های شیبدار انجام می شود و عوامل متعدد دیگری از جمله بارانهای سیل آسا و زلزله باعث تشدید و تحریک آن می شوند [۶].

بلایای طبیعی به عنوان بزرگترین دشمن طبیعی انسان باعث کشته و مجروح شدن سالانه صدها هزار تن و بی خانمان شدن میلیون ها نفر در سراسر جهان می شود. از این رهگذر، زمین لغزش به عنوان یکی از معضلات جهانی پیش روی انسان، که همواره در سراسر جهان باعث تلفات سالانه هزاران نفر و وارد آمدن خسارات سنگین مالی و اقتصادی به مناطق مسکونی می شود، دارای اهمیت

<sup>1</sup>- Landslide

<sup>2</sup>- Failure

خاصی می باشد؛ خصوصاً با افزایش جمعیت و اسکان در مناطقی که مستعد رویداد زمین لغزش هستند، آمارهای جهانی تلفات و خسارات مالی ناشی از این پدیده، پیوسته در حال افزایش می باشد، البته خسارت‌ها و تلفات ناشی از وقوع آن، بسته به وسعت و نزدیکی آنها به مناطق مسکونی و تاسیسات مختلف می تواند متفاوت باشد.

با توجه به این نکته که زمین لغزش‌ها نسبت به سایر بلایای طبیعی مثل سیل، آتش‌نشان، زلزله و... مدیریت پذیرتر و قابل پیش‌بینی تر می باشند، لذا شناخت این پدیده در جهت جلوگیری از خسارات ناشی از آن از اهمیت بنیادی در مقابله با بلایای طبیعی بخوردار است.

زمین لغزش ممکن است جزئی و منحصر به ریزش یک قطعه سنگ منفرد بوده و یا اینکه بسیار بزرگ و فاجعه‌آفرین باشد، لذا بر منابع طبیعی و انواع سازه‌های مهندسی و فعالیت‌هایی که توسط بشر صورت می گیرد، تأثیر دارد. مواردی که می تواند با تأثیر لغزش‌ها تخریب شود، عبارتند از [۱۳]:

- یک ساختمان مسکونی و یا تجاری یک روتاست یا حتی یک شهر بزرگ.

- جاده‌ها، فرودگاه‌ها و خطوط راه آهن و تونلهای راه.

- سازه‌های هیدرولیکی مانند سدها، تونل‌های انحرافی و سرریزها و کانالهای آبرسانی.

- مزارع، جنگل‌ها و پارک‌ها.

- مخازن و دریاچه‌ها.

- خطوط لوله‌های آب و فاضلاب، نفت و گاز، خطوط تلفن و برق و کابل‌های زیر دریایی.

- تاسیسات معادن، عملیات معدنکاری روباز و حفریات زیرزمینی مواد معدنی.

- چاه‌های نفت و تاسیسات آنها.

- تأثیر غیر مستقیم مثل بسته شدن دهانه دره توسط لغزش و ایجاد دریاچه در پشت آن.

از مهمترین مسائل در پژوهه‌های عمرانی مانند طراحی مناطق شهری، احداث کارخانه‌های صنعتی، انتخاب مسیر احداث بزرگراه‌ها و راههای اصلی و فرعی کوهستانی، انتخاب محل احداث نیروگاه‌ها و سدهای خاکی و بتی و نیز آب بندها و کانالهای انتقال آب، احداث تونلهای عبور و مرور و ...، مطالعه پایداری شیبهای طبیعی منطقه است [۱۵].

مواردی از مهمترین نمونه‌های زمین لغزش که در نقاط مختلف جهان رخداده اند عبارتند از:

لغزش‌ها داراست. زمین‌لغزش‌ها در ایران بعنوان یک بلای طبیعی، سالیانه خسارات جانی و مالی فراوانی به کشور وارد می‌سازد و هر چند گاهی خصوصاً در فصول بارش گزارش‌هایی در مورد جابجایی و حرکت زمین در بخشی از کشور منتشر می‌شود. جابجایی زمینهای کشاورزی که بواسطهٔ شرایط خاص زمین‌شناسی و سیستم نادرست آبیاری و زهکشی صورت می‌گیرد، امر بسیار معمول و متداول در بین روستائیان می‌باشد. لغزش‌های دامنه‌ای که در سطح وسیع در نواحی کوهستانی رخ می‌دهد باعث تخریب کانالهای آبرسانی و باغ‌ها می‌گردد. از جمله موارد دیگر لغزشها، موقع زمین‌لغزش در مسیر جاده‌های اصلی و کوهستانی می‌باشد که متأسفانه بدلیل عدم طراحی صحیح، پدیده‌ای شایع در فصول بارندگی است. زمین‌لغزش‌های ناشی از زلزله‌ها نوع مهمی از لغزشها می‌باشد که خسارات و تلفات سنگینی را به بار می‌آورند، تلفات انسانی این لغزشها با خاطر سرعت زیاد و ناگهانی بودن، خیلی بیشتر از موارد دیگر است [۱۵].

مواردی از مهمترین نمونه‌های زمین‌لغزش که در نقاط مختلف ایران رخ داده اند عبارتند از: در زلزله ۱۳۶۹ گیلان در اثر رانشهای زمین ۲۰۰ نفر جان باختنده، جاده‌های بسیاری بر اثر حرکت زمین تخریب شد و راه‌های بسیاری از روستاهای بر اثر سقوط سنگ و زمین‌لغزش مسدود گردید و مساحت قابل توجهی از باغها، کشتزارها و پوشش گیاهی منطقه بر اثر بروز زمین‌لغزش از بین رفت. در همین منطقه، بر اثر زمین‌لغزش در روستای باکلور در مسیر رودخانه یک سد زمین‌لغزشی به ارتفاع حدوداً ۲۰۰ متر ایجاد شده است و همچنین می‌توان به حادثه تخریب روستای فتلک در بی‌لغزش تحریک زلزله ای اشاره کرد. رانش و ریزش کوه در سال ۱۳۷۴، یکی از روستاهای شهرستان فارسان در استان چهارمحال و بختیاری را با ۵۰ نفر سکنه مدفون کرد. حادثه شهرک ولیعصر تبریز، لغزش زمین و تخریب بخشی از شهر گرمی در استان اردبیل در سال ۱۳۷۴، تخریب چند صد هکتار از مناطق جنگلی شمال کشور و... مبین اهمیت توجه به مسئله زمین‌لغزش است. همچنین در اثر وقوع زمین‌لغزشی به طول ۳ کیلومتر و عرض ۳۰۰ متر در جاده هراز حد فاصل رودهن به لاریجان در خرداد ۱۳۷۷، جاده هراز مسدود و امام زاده علی و منازل مجاور آن زیر خاک و سنگ مدفون شدند.

پس با توجه به حجم زیاد خسارات جانی و مالی، مطالعه و بررسی علمی زمین‌لغزش در راستای کاهش خطرات و خسارات آن لازم و ضروری است [۱۵].

تعیین عمق سطح لغزش در تحلیل پایداری شبیه‌ها و پیش‌بینی لغزش‌های احتمالی در آینده، به منظور کاهش خطرات و خسارات فوق الذکر ضروری می‌باشد. بدون داشتن اطلاعاتی در مورد سطح گسیختگی، هیچگونه تحلیل واقعی و دقیقی از چگونگی رفتارهای حرکتی شبیه گسیخته شده نمی‌توان ارائه داد. علاوه بر این ارائه هر گونه راه حل برای پایدارسازی شبیه ناپایدار، در اولین قدم منوط به تشخیص و شناسایی سطح لغزش است.

روشهای متعددی برای تخمین عمق سطح لغزش وجود دارند که با توجه به اهمیت پژوهه از جنبه مسائل اقتصادی و ایمنی و موقعیت پژوهه از لحاظ راه‌های دسترسی و امکانات موجود می‌توانند مورد استفاده قرار گیرند. یکی از این روشها، تخمین عمق به روش ژئوفیزیکی می‌باشد [۱۵]. اکتشافات ژئوفیزیک سطحی، اغلب سریع ترین و اقتصادی‌ترین راه برای جمع آوری اطلاعات کلی زیر سطحی در نواحی نسبتاً وسیع و ناهموار می‌باشد. این فنون ژئوفیزیکی جایگزین آزمایش‌های حفاری، نمونه‌ها، چاه‌های دستی و یا ترانشه‌ها نمی‌شوند، بلکه آنها :

۱- تکمیل کننده اطلاعات روشهای اکتشافی زیرسطحی گرانقیمت‌تر می‌باشد.

۲- ارتباط دهنده اطلاعات میان مکانهای اکتشافی وسیع است.

۳- زمان و هزینه را در ارتباط با برنامه‌های حفاری بزرگ مقیاس کاهش می‌دهند [۱۱].

تخمین عمق سطح لغزش به روش ژئوفیزیکی جهت مشخص کردن وضعیت لایه‌ها در محل لغزش و تعیین عمق سنگ کف، سطح ایستابی و سطوح لغزشی و نیز مشخص کردن شکل هندسی توده‌های دارای پتانسیل گسیختگی بکار می‌رود.

از بین روش‌های ژئوفیزیکی برای شناسایی بخش‌های زیر سطحی، روش‌های لرزه نگاری و ژئوکتریک متداول‌ترین روش در زمینه تعیین عمق سطح لغزش می‌باشند. از میان روشهای ژئوفیزیکی فوق الذکر، روش مقاومت ویژه الکتریکی، سریعتر و مقرن به صرفه‌تر می‌باشد [۱۱].

خواص فیزیکی توده سنگ یا خاک در اثر لغزش تغییر می‌کند، بنابراین مقاومت ویژه الکتریکی مواد سست و پائین لغزنده نسبت به مقاومت ویژه سنگ‌های دست نخورده زیر سطح لغزش، تغییر می‌کند؛ از این اختلاف ناگهانی مقاومت ویژه می‌توان در تخمین عمق سطح لغزش استفاده نمود [۱۱].

در این پایان نامه، از روش فوق الذکر بهره گرفته شده است تا لغزش در کیلومتر  $52+200$  در

بزرگراه قزوین-رشت را مورد مطالعه قرار دهد.

## ۱-۲ موقعیت جغرافیایی و نقشه توپوگرافی منطقه

منطقه لغزشی مورد مطالعه، در ۵۲ کیلومتری شمال غربی شهرستان قزوین و در مسیر بزرگراه در حال احداث قزوین- رشت قرار دارد. محدوده لغزش در طول جغرافیایی ۴۰°۳۴'۷۳۱ تا ۴۰°۳۵'۱۲۷ شرقی و عرض جغرافیایی ۳۶°۶۷'۴۲ تا ۳۶°۷۱'۱۷ شمالی بر حسب متر (UTM) واقع است و تنها راه دسترسی به منطقه، از طریق مسیر فعلی جاده قزوین- رشت میسر است. شکل ۱-۱ موقعیت جغرافیایی و راه دسترسی به منطقه را نشان می دهد. همچنین شکل ۲-۱ نقشه توپوگرافی منطقه مورد مطالعه را نشان می دهد. با توجه به وضعیت توپوگرافی و اطلاعات زمین شناسی منطقه، زمین لغزش در محدوده ای که با علامت (---) در این شکل مشخص شده است، رخ داده است.

## ۱-۳ سوابق مطالعات انجام شده و ضرورت انجام تحقیق

مطالعه پایداری شیبهای طبیعی به دلیل تهدید سازه های مهندسی، زمین های کشاورزی، رسوب زایی و ... از اهمیت خاصی برخوردار است. از مجموعه تحقیقاتی که تاکنون درباره کارایی روش



شکل ۱-۱: نقشه منطقه و موقعیت جغرافیایی و راه دسترسی به منطقه لغزشی مورد مطالعه [۱۴]

ژئوالکتریک در مطالعه زمین لغزش‌ها انجام شده می‌توان موارد ذیل را نام برد:

ترانتینا<sup>۱</sup> (۱۹۶۳)، تاکادا<sup>۲</sup> (۱۹۶۸)، مور<sup>۳</sup> (۱۹۷۲)، بروک<sup>۴</sup> (۱۹۷۳)، بگوسلووسکی و اوگیلوی<sup>۵</sup> (۱۹۷۷)، مولر و همکاران<sup>۶</sup> (۱۹۸۵)، مولروا، مولر و هافریچترووا<sup>۷</sup> (۱۹۸۶) و آلفرد فراشی و همکاران<sup>۸</sup> (۱۹۸۸).

در ایران، مطالعات ژئوالکتریکی در شناسایی زمین لغزشها در گذشته کمتر انجام شده و تنها برای تعداد محدودی از لغزش‌های موجود در طول خطوط لوله نفت و گاز یا بزرگراه‌ها صورت گرفته است. در مسیر بزرگراه قزوین-رشت نیز یک مورد مطالعاتی انجام پذیرفته که پس از مدت کوتاهی بعد از برداشت داده‌ها، حرکت نهایی لغزش رخ داده است. در مطالعه حاضر، بررسی‌های ژئوالکتریکی برای یکی از زمین لغزش‌های مهم واقع در کیلومتر ۵۲+۲۰۰ این بزرگراه انجام می‌گیرد.

#### ۴-۱ اهداف پایان نامه

هدف اصلی در پژوهه مطالعات ژئوالکتریکی زمین لغزش واقع در بزرگراه قزوین-رشت، ارزیابی سطح لغزش و آفرازهای جانبی آن و بطور کلی تعیین هندسه زمین لغزش با استفاده از داده‌های مقاومت ویژه و مدلسازی دو بعدی این داده‌ها و در نهایت تفسیر مقاطع ژئوالکتریکی حاصله می‌باشد. از اهداف دیگر این پژوهه می‌توان از تعیین جنس سنگ کف، تعیین ضخامت واریزه‌ها و مشخص نمودن سطوح دارای پتانسیل لغزش را نام برد.

#### ۵-۱ روش انجام تحقیق

برای انجام مطالعات ژئوالکتریکی زمین لغزش مورد مطالعه، نخست اطلاعاتی از قبیل مطالعات زمین‌شناسی عمومی، ساختمنی، چینه‌شناسی، ژئومورفولوژی، نقشه‌های توپوگرافی و عکس‌های

<sup>1</sup> - Trantina

<sup>2</sup> - Takada

<sup>3</sup> - Moore

<sup>4</sup> - Brooke

<sup>5</sup> - Bogoslovsky & Ogilvy

<sup>6</sup> - Muller et al.

<sup>7</sup> - Mullerova, Muller & Hofrichterova

<sup>8</sup> - Alferd Frasher et al.

هوایی مربوط به توده لغزشی منطقه مورد مطالعه جمع آوری گردید. سپس برداشت داده های ژئوالکتریکی در محدوده زمین لغزش با استفاده از سوندazer زنی با آرایش شلومبرگر و پروفیل زنی بروش CRP<sup>۱</sup> با ترکیب آرایشهای شلومبرگر، نیم شلومبرگر جلویی و نیم شلومبرگر عقبی انجام شده است.

از آنجائیکه تفسیر به روش دستی وقت گیر، مشکل و دارای خطای باشد، در این پژوهه، برای مدلسازی یک بعدی از نرم افزار ResixIP و برای مدلسازی دو بعدی از نرم افزار Res2Dinv استفاده شده است.

ابتدا جهت بدست آوردن اطلاعات کلی و کیفی از وضعیت زیر سطح زمین، تفسیر کیفی داده های حاصله انجام شده است و سپس بعد از اصلاحات لازم بر روی داده ها، برای معکوس سازی یک بعدی داده ها، داده ها وارد نرم افزار ResixIP شد، تا یک مدل یک بعدی از ساختار های زیر سطحی تهیه شود. بدلیل برداشت یک بعدی داده ها، داده های سوندazer واقع در هر پروفیل، برای معکوس سازی دو بعدی و تهیه مقاطع ژئوالکتریک وارد نرم افزار Res2Dinv شده تا وضعیت زمین شناسی زیر سطحی مورد بررسی قرار گیرد. در پایان با استفاده از کلیه اطلاعات، نتایج مدلسازی مورد ارزیابی قرار گرفتند و سطح لغزش و سطوح دارای پتانسیل لغزش با تقریب قابل قبولی بدست آمدند و با تعیین عمق آنها، نقشه توپوگرافی سطح لغزش تهیه و جهت تعیین دقیق مشخصات سطح لغزش، مکانهایی برای حفر گمانه های اکتشافی پیشنهاد شده است.

## ۱-۶ ساختار پایان نامه

پایان نامه حاضر، مشتمل بر پنج فصل بوده و در فصل اول، ابتدا تاریخچه ای از فجایع و حوادث ناشی از پدیده زمین لغزش که موجب تلفات جانی و خسارات مالی فراوانی شده است، ارائه می شود و در ادامه، شناسایی و تعیین و تخمین عمق سطح لغزش بروش ژئوفیزیکی را مورد ارزیابی قرار داده و سپس موقعیت جغرافیایی منطقه لغزشی که برای این پایان نامه در نظر گرفته شده است را بیان می کنیم. همچنین در این فصل، سوابق و مطالعات انجام شده و ضرورت انجام این تحقیق را مورد بررسی

<sup>۱</sup> - Combined Resistivity Profiling

قرار داده و هدف اصلی تعیین شده برای انجام این پژوهه ارائه و روش انجام پژوهه مورد بحث قرار می‌گیرد. در فصل دوم، در مورد تعریف زمین لغزش و شناسایی زمین لغزش‌ها و مشخصات زئومورفولوژیکی و علل و عوامل وقوع آنها و همچنین تثبیت و پایدارسازی آنها مطالبی ارائه می‌شود و نیز اطلاعات زمین لغزش منطقه مورد مطالعه در بزرگراه قزوین-رشت از جمله اطلاعات چینه‌شناسی، زمین‌شناسی ساختمنی، زئومورفولوژی و لرزه خیزی منطقه ارائه می‌شود. در ابتدای فصل سوم، مقدمه‌ای در مورد روش مقاومت ویژه الکتریکی و اثرات توپوگرافی بر روی داده‌های مقاومت ویژه بیان می‌شوند و در ادامه، ضمن ارائه داده‌های مقاومت ویژه برداشت شده، این داده‌ها مورد بررسی و تفسیر کیفی قرار می‌گیرند. در فصل چهارم، ضمن بیان اساس تئوری مدلسازی معکوس، نرم افزارهای مورد استفاده برای مدلسازی معکوس یک بعدی و دو بعدی داده‌های این پژوهه معرفی می‌شوند و سپس تفسیر نتایج مدلسازی معکوس بیان می‌شوند. در فصل پایانی هم نتایج نهایی این مطالعه به همراه پیشنهادهایی ارائه می‌شوند.

## فصل دوم:

### زمین لغزش ها و اطلاعات زمین شناسی منطقه

#### ۱-۲ زمین لغزشها

زمین لغزش، پدیده‌ای است زمین شناسی، که در نتیجه حرکت و فروریزش توده‌ای از خاک و سنگ در شیبِ دامنه‌ها اتفاق می‌افتد. عاملِ حرکتِ توده مواد، نیروی جاذبه و دلیلِ حرکت، قرار گرفتن مواد در یک حالتِ ناپایدار است، بنابراین می‌توان گفت که زمانی زمین مستعدِ حرکت می‌شود که ناپایداری (بهر دلیل) در یک شیب بوجود آید و هنگامی رخ می‌دهد که تنش برشی ایجاد شده در محل بیش از مقاومت برشی درون خاک یا سنگ در آن ناحیه گردد. این پدیده با عوامل ذاتی مثل ترکیب مواد، بافت مواد، ساختار و جهت نایبیوستگی‌ها و شیب و شکل دامنه‌ها بستگی مستقیم دارد؛ بعلاوه عوامل محیطی مانند زلزله، رودخانه‌ها، بارندگی و آب، شرایط اقلیمی و دخالت‌های انسانی نیز از عوامل موثر و تشديد کنندهٔ زمین لغزش‌ها به شمار می‌آيند.

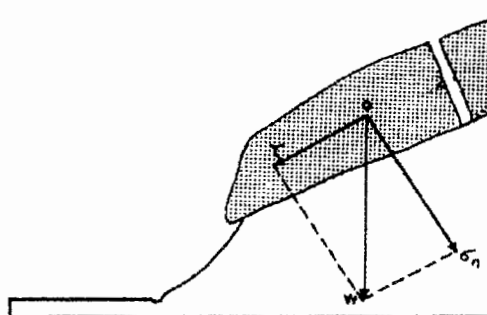
## ۱-۱-۲ حرکات دامنه ایی (زمین لغزش)

نیروی گرانش زمین همواره سبب اعمالی یک نیروی رو به پایین به مواد می شود. در اثر اعمال این نیرو که نتیجه تجزیه نیروی وزن در روی دامنه می باشد (شکل ۱-۲)، مواد ناپایدار دامنه ها در جهت رسیدن به پایداری بر روی دامنه شروع به حرکت کرده و بر اساس عواملی مثل هندسه دامنه، نوع مواد، نوع حرکت و سرعت حرکت مواد، انواع حرکات دامنه ای را به وجود می آورند [۱۳].

زمین لغزش اصطلاحی است که در بر گیرنده کلیه انواع حرکات دامنه ای بوده و عموماً به کلیه رویدادهایی می گویند که در اثر ناپایداری در دامنه ها اتفاق افتاده و سبب جابجایی توده ای از مواد در طول دامنه می شود، این اصطلاح شامل کلیه فرایندهایی است که منجر به حرکت توده ای از مواد شامل سنگ، خاک، یا ترکیبی از آنها دامنه می شود، این فرایندها سبب حرکت مواد بصورت لغزش<sup>۱</sup>، واژگونی<sup>۲</sup>، جریان<sup>۳</sup>، ریزش<sup>۴</sup>، خزش<sup>۵</sup> و گسترش جانبی<sup>۶</sup> می شوند، گاهی این حرکات چنان سریع هستند که سرعت آنها به ده کیلومتر در ساعت می رسد و گاهی چنان آهسته هستند که جزء با گذشت زمان و از روی شواهد نشان دهنده حرکت، نمی توان به وجود حرکت پی برد.

### ۱-۱-۳ لغزش

لغزش ها دسته ای از حرکات دامنه ای می باشند که مواد در امتداد یک سطح گسیختگی یا یک زون گسیختگی مشخص بر روی دامنه لغزیده و به سمت پایین حرکت می کنند. بر اساس شکل سطح لغزش، لغزشها به دو دسته لغزشهای چرخشی و انتقالی (صفحه ای) تقسیم می شوند [۱۳].



شکل ۱-۲: تجزیه نیروی وزن بر روی دامنه [۱۳]

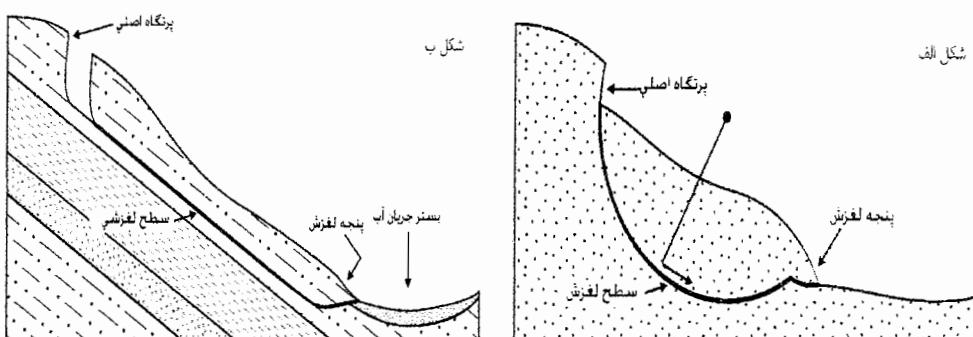
- <sup>۱</sup>- Slide
- <sup>۲</sup>- Topple
- <sup>۳</sup>- Flow
- <sup>۴</sup>- Fall
- <sup>۵</sup>- Creep
- <sup>۶</sup>- Lateral spread

**الف-لغزشهای چرخشی:** حرکت نسبتاً آرام مواد چسبنده خاکی، سنگی یا ترکیبی از مواد خاکی-سنگی در طول یک سطح لغزشی مشخصاً قوسی شکل را لغزش چرخشی می‌گویند. ویژگی بارز در اکثر لغزشهای چرخشی، سطح لغزشی نسبتاً دورانی و چرخشی آنهاست (شکل ۲-۲ الف). این لغزشهای بر حسب مواد جابجا شده به لغزش‌های خاکی، سنگی و واریزه‌ای و بر اساس شکل و تعداد سطوح لغزشی به لغزشهای چرخشی ساده<sup>۱</sup>، مکرر<sup>۲</sup>(مركب) و متوالی<sup>۳</sup> تقسیم می‌شوند [۱۳].

**ب-لغزشهای انتقالی:** حرکت آهسته تا نسبتاً سریع بلوهای سنگی یا خاکی در طول سطوح گسیختگی مشخصاً صفحه‌ای شکل را لغزش انتقالی گویند (شکل ۲-۲ ب). وجود ناپیوستگی‌های ساختاری مانند سطوح لایه بندی تقریباً موازی با سطح زمین از علل اصلی بروز این نوع لغزش است. این نوع لغزش انواع مختلفی دارد که از لغزش یک یا چند واحد سنگی در امتداد یک یا چند سطح مسطوی، سُر خوردن یک قطعه کوچک یا ورقه‌ای از سنگ به روی دامنه، لغزش توده عظیمی از سنگ و لغزش گوه‌ای در امتداد فصل مشترک دو صفحه متقاطع نام برد [۱۳]. لغزشهای بلوکی<sup>۴</sup>، تخته‌ای<sup>۵</sup>، انتقالی چندگانه<sup>۶</sup> و گسیختگی‌های توسعه یافته<sup>۷</sup>، چهار نوع عمده این لغزشهای هستند.

### ۲-۱-۲- جریان

در جاهایی که مواد سازنده دامنه دارای ویژگی مکانیکی یک ماده خمیرسان (پلاستیک)، یا یک سیال غلیظ یا یک مایع رقیقی هستند، حرکات دامنه می‌تواند بصورت جریان مواد باشد [۱۶]. جریان‌ها



شکل ۲-۲: شکل سطح لغزش در لغزشهای (الف): چرخشی (ب): انتقالی

<sup>۱</sup>- Slipe or Slumps

<sup>۲</sup>- Multiple

<sup>۳</sup>- Successive

<sup>۴</sup>- Block slides

<sup>۵</sup>- Slab slides

<sup>۶</sup>- Multiple translation slides

<sup>۷</sup>- Spreading failure

ممکن است با سرعتهای متفاوت از حالت تند تا آهسته با محتوای رطوبت مختلف از حالت خشک تا

اشبع تغییر کنند [29].

از انواع جریان ها می توان از جریان خاک<sup>۱</sup>، جریان گل (گلروانه)<sup>۲</sup>، جریان واریزه ای<sup>۳</sup>، بهمن واریزه ای<sup>۴</sup>، لغزش جریانی<sup>۵</sup>، روانگرایی خودبخودی<sup>۶</sup>، خاکسُرّه<sup>۷</sup> (سولی فلوکسیون<sup>۸</sup>) نام برد.

تفاوت بین جریان خاک، جریان گل (گلروانه) و جریان واریزه ای با بهمن های واریزه ای تفاوت در سرعت حرکت مواد است، سرعت حرکت جریان گل (گلروانه) از سرعت حرکت مربوط به جریان خاک بالاتر است. شکل ۳-۲ دو نوع جریان گل (گلروانه) و جریان واریزه ای را نشان می دهد.

### ۳-۱-۱-۲ ریزش

ریزش ها حرکات دامنه ای در دامنه های پر شیب هستند که یک توده منفصل از مواد، صرفنظر از اندازه خود از دامنه جدا شده و بصورت حرکت در هوا، غلتیدن یا جهش بر روی دامنه به سمت پایین دامنه حرکت می کند. ریزش بیشتر در دامنه های قائم یا نزدیک به قائم انجام می شود. سرعت حرکت ذرات ریزشی ممکن است زیاد تا بسیار زیاد، اندازه آنها متفاوت و جنس آنها سنگ یا خاک باشد و غالباً در طول سطوح لایه بندی، درزه ها و گسلها اتفاق می افتد.

شکل ۳-۲: (سمت راست) جریان گل (گلروانه) و (سمت چپ) جریان واریزه ای

<sup>۱</sup>- Soil flow

<sup>۲</sup>- Mud flow

<sup>۳</sup>- Debris flow

<sup>۴</sup>- Debris avalanche

<sup>۵</sup>- Flow slide

<sup>۶</sup>- Spontaneous liquefaction

<sup>۷</sup>- Solifluction

<sup>۸</sup>- حرکت توده های خاک سست و بسیار نمناک را روی دامنه گویند و بیشتر در زمین های یخ بسته نواحی شمالی زمین رخ میدهد.

### ۴-۱-۱-۲ واژگونی

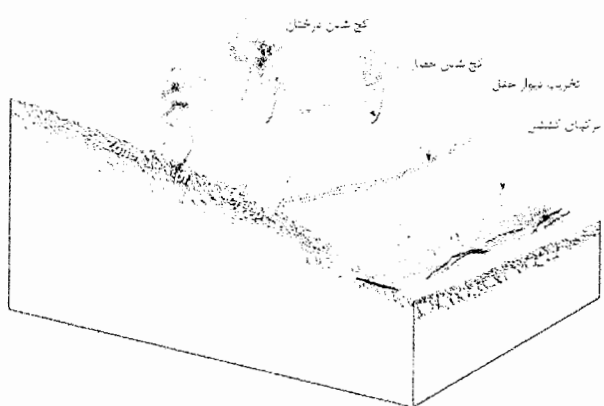
واژگونی هنگامی اتفاق می افتد که یک گسیختگی کششی ناشی از گوه یخی، گیاهی یا سایر عوامل ناپایداری، سبب چرخش مواد حول یک نقطه شود [29]. در اثر چرخش مواد، امتداد نیروی ثقل جسم از سطح مقطع آن خارج شده و سبب واژگونی جسم می شود. در صورتی که شیب دامنه مناسب باشد قطعات سنگ پس از واژگونی و چرخیدن ممکن است حرکت خود را بصورت ریزش یا لغزش بر روی دامنه ادامه دهند. واژگونی عمدتاً در بلوکهای سنگی اتفاق می افتد و به ندرت در خاکهای دارای چسبندگی و واریزه دیده می شود. دو نوع واژگونی در موادسنگی، قابل تشخیص می باشد: واژگونی در بلوکهای سنگی درزه دار و واژگونی ایجاد شده در نتیجه شکستگیهای کششی حاصل از زیر شوی.

### ۵-۱-۱-۳ خرزش

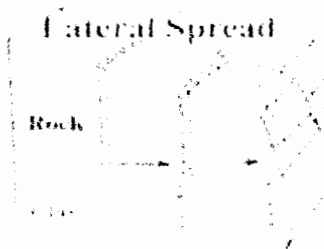
به حرکتهای تابع زمان غالباً محدود به لایه های سطحی در همه دامنه های پر شیب را خرزش می نامند. به هنگام گسیختگی، سرعت حرکت هم افزایش می یابد. حرکت های ایجاد شده بوسیله خرزش سطحی، کمتر از چند میلیمتر در سال هستند، اما می توانند باعث کج شدن درختان، حصارها، جاده ها و خم شدن تدریجی سطوح لایه بندی سنگ و خاک شوند (شکل ۴-۲).

### ۶-۱-۱-۲ گسترش جانبی

در این نوع حرکت، یک لایه ضعیف در زیر لایه های مقاوم سطحی قرار گرفته و با حرکت به سمت بیرون، مواد روی خود را حمل و سبب ایجاد ترکهای کششی در مواد رویی می شود. جهت حرکت غالب در گسترش جانبی تقریباً افقی می باشد (شکل ۵-۲) [29].



شکل ۴-۲: حرکت خرزشی و کج شدن درختان، حصارها و جاده ها



شکل ۲-۵: چگونگی حرکت مواد در گسترش جانبی

## ۲-۱-۲ شناسایی لغزش‌های قدیمی

در شناسایی لغزش‌های قدیمی، شواهد زیر به شناسایی لغزشها کمک خواهند کرد [۴]:

الف- مورفولوژی توده: در لغزش‌های بزرگ شواهدی مثل پرتوگاههای لغزشی، می‌تواند تا مدت زمان طولانی قابل تشخیص باشد.

ب- ناهمگنی پوشش گیاهی: وقوع لغزش در نواحی جنگلی، منجر به از بین رفتن پوشش گیاهی خواهد شد، درختان جدیدی که بعداً در این ناحیه رشد خواهند نمود، از نظر سن و در نتیجه ارتفاع و قطر تنہ درخت و بعضاً از نظر نوع با مناطق مجاور فرق خواهد داشت.

ج- تغییر در مسیر رودخانه‌ها: زمین لغزش‌های بزرگ حاشیه رودخانه‌ها منجر به انحراف رودخانه بطرف دیگر دره می‌شود و این خمشهای و بقیه شواهد، به شناسایی لغزشها کمک می‌کند.

د- وجود ماندآب، مرداب و رودخانه‌های موازی با رودخانه اصلی: این شواهد در لغزش‌های بزرگ نوع چرخشی مشاهده می‌شود.

ه- اثرات مربوط به بسته شدن مسیر رودخانه و سدهای لغزشی: لغزش‌های بزرگ در دره‌های باریک بعضاً منجر به مسدود شدن مسیر رودخانه و تشکیل سد زمین لغزه‌ای خواهد شد. بعداً سدها شکسته شده ولی آثار آنها از قبیل تراشهای آبرفتی با ضخامت زیاد باقی می‌ماند.

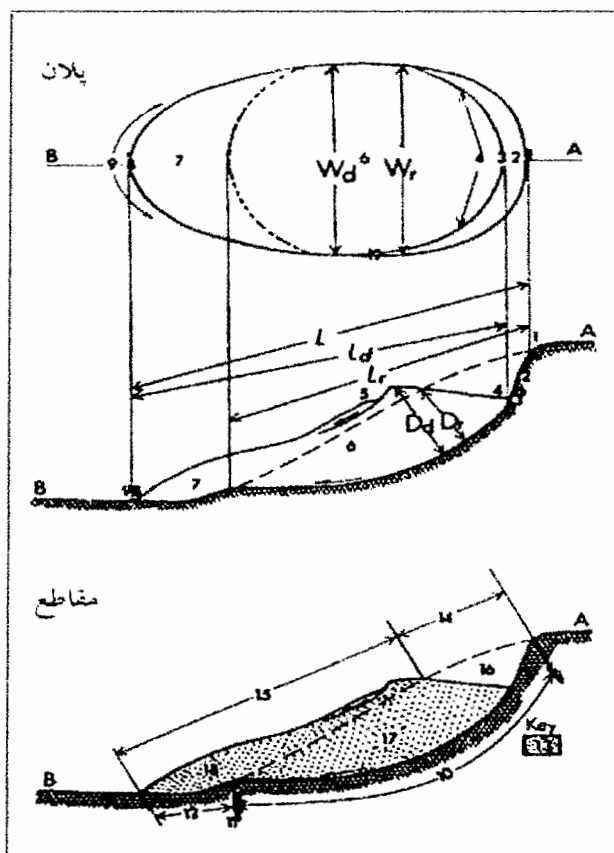
و- چینه شناسی توده لغزش: توده لغزشی مخلوطی از خاک و سنگ با قطعات زاویه دار به ابعاد ماسه تا تخته سنگ می‌باشد. بعضاً در لابلای این نهشته ها آثار مواد آلی که مربوط به دفن شدن گیاهان می‌باشد و همچنین آثار تمدن انسانی نیز یافت می‌گردد. چینه شناسی فوق متمایز از نهشته های واریزه‌ای، آبرفتی و غیره می‌باشد و بعنوان یک شاهد قابل استفاده می‌باشد.

ز- عکس‌های هوایی: در عکس‌های هوایی، محل وقوع زمین لغزش از مناطق اطراف آن بصورت تیره تر مشاهده می‌شود و می‌توان محدوده آن را مشخص کرد.

### ۳-۱-۲ مشخصات ژئومورفولوژیکی زمین لغزش

یک زمین لغزش دارای مشخصات ژئومورفولوژیکی یا زمین ریخت شناسی ویژه‌ای است که در بازدیدهای صحراوی و یا بر روی عکس‌های هوایی قابل مشاهده است. این مشخصات ممکن است تماماً در رانش انجام شده قابل روئت باشد، ولی در بعضی موارد پهلوهای یک زمین لغزش می‌تواند به وضوح دیده نشود و یا اینکه در زیر پوشش گیاهی مانده باشد [۸].

انجمن بین المللی زمین شناسی مهندسی<sup>۱</sup> وابسته به سازمان یونسکو<sup>۲</sup> در راستای طرح تهیه بانک اطلاعات زمین لغزش‌ها، در سال ۱۹۹۰ در قالب انتشار مقاله‌ای اقدام به انتشار فهرست اصطلاحات پیشنهادی برای توصیف یک زمین لغزش شاخص<sup>۳</sup> نمود. این اصطلاحات کاربردی به معرفی ابعاد و اجزاء مختلف یک زمین لغزش می‌پردازد (شکل ۶-۲) [۲۳].



شکل ۶-۲: نمایی از اجزا و ابعاد لغزش [۲۳]

<sup>۱</sup>- IAEG

<sup>۲</sup>- UNESCO

<sup>۳</sup>- Typical landslide

### ۱-۳-۱-۲ اجزاء مختلف يك زمين لغزش

- تاج<sup>۱</sup>: مواد جابجا نشده زمین لغزش، در مجاورت بالاترین بخش پرتگاه اصلی لغزش را گویند.
  - پرتگاه<sup>۲</sup> (افراز) اصلی<sup>۳</sup>: سطحی با شیب تند، واقع در لبه بالایی لغزش که در اثر جدایش قطعه جابجا شده از زمین، حاصل می شود. پرتگاه گسلی بخش قابل مشاهده سطح گسیختگی است.
  - قله<sup>۴</sup>: بالاترین نقطه تماس بین توده جابجا شده و پرتگاه اصلی لغزش است.
  - سر (راس)<sup>۵</sup>: بالاترین سطح مواد جابجا شده، در طول سطح تماس بین توده جابجا شده و پرتگاه اصلی لغزش می باشد.
  - پنجه<sup>۶</sup>: انحنای لبه توده جابجا شده مواد، در پایین ترین سطح را، پنجه زمین لغزش نامند.
  - پرتگاه های (افراز های) فرعی<sup>۷</sup>: سطوحی با شیب تند در توده جابجا شده که در اثر وقوع لغزش های محلی، در داخل زمین لغزش اصلی بوجود می آیند.
  - پای لغزش<sup>۸</sup>: آن بخش از زمین لغزش است که از محدوده پنجه سطح گسیختگی فراتر رفته و سطح اولیه زمین و سطوح خارج از عملکرد زمین لغزش را می پوشاند.
  - سطح گسیختگی<sup>۹</sup>: سطحی در زیر توده که حرکت توده مواد در راستای آن انجام می شود.
  - نوک لغزش<sup>۱۰</sup>: به دورترین و جلوترین نقطه مواد جابجا شده از قله لغزش، گفته می شود.
  - سطح جدایش<sup>۱۱</sup>: بخشی از سطح کنونی زمین که توسط پای لغزش پوشیده شده است.
  - پهنه سطح لغزش<sup>۱۲</sup>: محل تلاقی پایینترین سطح صفحه گسیختگی با سطح اولیه زمین است.
  - توده جابجا شده<sup>۱۳</sup>: توده ای از مواد تشکیل دهنده زمین که در اثر لغزش از جای اصلی خود در دامنه جابجا شده اند.

1-Crown

## - Crown 2 - Scam

- Scalp  
- Main scar

- Main  
4 - Top

- Top  
5 Head

## - Head 6 - Toe

<sup>7</sup>- Minor scars

- Mine

<sup>9</sup>- Surface of rupture

<sup>10</sup> Tip

<sup>11</sup>- Surface of separation

### **12. Toe**

<sup>13</sup> Displaced man.

#### - Displaced material

- پهنه تهی شدگی<sup>۱</sup>: پهنه ای از لغزش در توده جابجا شده که قبل از رخداد زمین لغزش، در زیر سطح اولیه زمین واقع بوده است.
- پهنه تجمع<sup>۲</sup>: پهنه ای از لغزش که قبل از وقوع، در بالای سطح اولیه زمین قرار داشته است.
- تهی شدگی<sup>۳</sup>: حجمی که توسط پرتگاه اصلی لغزش، توده جابجا شده و سطح اولیه زمین محدود می شود.
- توده تهی شده<sup>۴</sup>: حجمی از مواد جابجا شده که سطح گسیختگی را می پوشاند و زیر سطح اولیه زمین بوده است.
- تجمع مواد جابجا شده<sup>۵</sup>: حجمی از مواد جابجا شده که بالای سطح اولیه تجمع می یابد.
- پهلوهای لغزش (جناحین)<sup>۶</sup>: مواد جابجا نشده مجاور پهلوهای سطح گسیختگی که در صورت نگاه از تاج لغزش به سمت جلو، با پهلو (جناح) راست و پهلو (جناح) چپ معرفی می شوند و در غیر این صورت توسط قطب نما با استفاده از جهات جغرافیایی معرفی می شوند<sup>[23]</sup>.
- شکلهای مربوط به اجزاء مختلف یک زمین لغزش در پیوست الف-۱ ارائه شده است.

### ۲-۱-۲ ابعاد زمین لغزش

- طول صفحه گسیختگی<sup>۷</sup>: مسافت بین پنجه صفحه گسیختگی تا تاج لغزش را گویند.
- طول توده جابجا شده<sup>۸</sup>: فاصله بین قله تا نوک لغزش را نامند.
- طول کلی لغزش<sup>۹</sup>: فاصله بین تاج لغزش تا نوک لغزش می باشد.
- پهنهای صفحه گسیختگی<sup>۱۰</sup>: بیشینه پهنهای پهلوهای لغزش که بر Lr عمود باشد.
- پهنهای توده جابجا شده<sup>۱۱</sup>: بیشینه پهنهای توده جابجا شده که بر Ld عمود باشد.
- عمق صفحه گسیختگی<sup>۱۲</sup>: بیشینه عمق گسیختگی که بر سطح اولیه زمین عمود است.

<sup>1</sup>- Zone of depletion

<sup>2</sup>- Zone of accumulation

<sup>3</sup>- Depletion

<sup>4</sup>- Depleted mass

<sup>5</sup>- Accumulation

<sup>6</sup>- Flanks

<sup>7</sup>- The length of the rupture surface

<sup>8</sup>- Length of the displaced mass

<sup>9</sup>- Total length

<sup>10</sup>- Width of the rupture surface

<sup>11</sup>- Width of the displaced mass

<sup>12</sup>-The depth of the rupture surface

- عمق توده جایجا شده<sup>۱</sup> Dd: بیشینه عمق توده جایجا شده که به سطح توده عمود است [23].

شكلهای مربوط به ابعاد زمین لغزش در پیوست الف-۱ ارائه شده است.

## ۴-۱-۲ علل و عوامل وقوع زمین لغزش ها

علل و عوامل مؤثر در وقوع زمین لغزش ها عبارتند از:

۱- بارش باران و برف: بارش باران به صورت مداوم و طولانی یا کوتاه مدت و شدید، مهمترین

عامل اقلیمی ایجادکننده زمین لغزش هاست. از اثرات رطوبت در خاک می توان از افزایش وزن توده، افزایش فشار آب منفذی و کاهش مقاومت زمین بویژه در مصالح رسی نام برد. بارندگی بصورت باران یا برف ضمن نفوذ در داخل توده های سنگ و خاک، موجب افزایش وزن توده مستعد لغزش می شود.

۲- جنس سنگ و ساختمان های زمین شناسی: ساختمان های زمین شناسی مانند چین

خوردگی ها و گسل ها نقش مهمی در ناپایداری دامنه ها دارند. وجود آنها علاوه بر اینکه موجب کاهش مقاومت سنگها می شود، به تجمع آب در توده سنگ نیز منجر می شود و تجمع آب در توده سنگی، سبب افزایش فشار آب و افزایش وزن توده شده و زمینه بروز زمین لغزش را فراهم می کند.

۳- توپوگرافی: رانش زمین معمولاً در شیبهای تند بوقوع می پیوندد ولی با توجه به دیگر عوامل

ممکن است مقدار شبب بحرانی از منطقه ای به منطقه دیگر متفاوت باشد. مهمترین عامل در حرکت یک ذره بر روی یک سطح شبب دار نیروی گرانش است. نقش این نیرو زمانی آشکار می گردد که مولفه وزن به دو مؤلفه تجزیه گردد. وظیفه مؤلفه عمودی، نگاه داشتن جسم روی سطح شبب دار و عملکرد مؤلفه مماسی، بر هم زدن تعادل و حرکت آن به سمت پایین است (شکل ۲-۱). بر اثر افزایش شبب و ارتفاع، نیروهای رانشی افزایش می یابند. این نیروها ممکن است حاصل عواملی مانند افزایش ارتفاع بر اثر خاکریزی، کاهش ارتفاع بر اثر خاکبرداری، فرسایش یا قرار دادن سکو در پای دامنه، تغییر شبب و ارتفاع بر اثر نیروهای زمینساختی باشند.

۴- فعالیتهایی که منجر به از بین رفتن تکیه گاه جانبی و زیرین می شوند: این فعالیتها عبارتند از:

الف- ترانشه ها، گودال ها، معادن، کانالها و ...

<sup>۱</sup>- Depth of the displaced mass

ب- ایجاد دریاچه های مصنوعی، مخازن، و نوسانات سطح آب در آنها

ج- برداشت بی رویه از مصالح رودخانه ای و بر هم زدن بستر و تعادل جریان آب رودخانه.

۵- آب و هوای شرایط آب و هوایی تعیین کننده نوع، شدت و عمق هوازدگی می باشد. بعد از نیروی گرانش، آب مهمترین پارامتر مؤثر و موتور حرکت در لغزشها می باشد. افزایش رطوبت از طرفی سبب نرم کنندگی توده و کاهش مقاومت آن و از طرف دیگر موجب افزایش وزن توده و فشار آب منفذی می گردد و نهایت نقش مهمی در برهم زدن توازن نیروها و گسیختگی شیب بازی می کند.

۶- پوشش گیاهی: اثر گیاهان در پایداری شیب، بسته به شرایط محلی عمق خاک، دامنه و نوع گیاهان دارد. پوشش گیاهی بعضی موقع عامل پایداری و در شرایطی محرک ناپایداری می باشد. البته اثر گیاهان تنها در لغزشها کم عمق تأثیر دارد و در لغزش های عمیق نقش مهمی ندارند.

۷- زلزله و لرزش: زمین لغزش ها می توانند بوسیله زلزله یا لرزش ناشی از شمع کوبی یا انفجار ایجاد شوند. در ایران و بسیاری از نقاط دیگر جهان، فاجعه آمیزترین و دلخراش ترین زمین لغزشها با زلزله های شدید تحریک و آغاز می شوند. زمین لغزش های تحریک شده توسط زلزله، علاوه بر ایجاد تلفات و خسارات مستقیم، از طریق وارد ساختن خسارت به شریان های حیاتی به ویژه راه های ارتباطی و خطوط برق و ایجاد تاخیر در امدادرسانی می توانند تلفات و خسارات ناشی از زلزله را نیز شدیداً افزایش دهند. وقوع یک زلزله شدید نه تنها زمین لغزش های زیادی را بطور همزمان تحریک می کند بلکه تا سال ها بعد اثر خود را بصورت افزایش تعداد زمین لغزشها در منطقه بر جای میگذارد.

۸- تغییر کاربری زمین: از عواملی است که می تواند در جهت ناپایداری شیب مؤثر واقع شود.

تأثیرات آن با گذشت زمان آشکار می شود و گاهی در مدت زمان کوتاهی باعث افزایش تنشهای برشی و ناپایداری شیب می شود<sup>[۱۵]</sup>. مهمترین موارد تغییر کاربری زمین و تشدید کننده ناپایداری شیبهای طبیعی عبارتند از: تبدیل زمینهای و نواحی شیبدار جنگلی به زمین های کشاورزی و مرتعی، جاده ها و بزرگراه ها، مناطق مسکونی و صنعتی و تغییر نوع کشت.

۹- درجه حرارت و تغییرات آن: این عامل به سه صورت ممکن است مؤثر باشد:

الف- یخ‌بندان و ذوب بهاری، باعث خزشها سطحی در پوشش خاکی زمین شیبدار می شود.

ب- عمل گوه ای یخنیدان در داخل توده سنگ ها در مناطق بسیار سرد کوهستانی، که موجب سقوط سنگها می شود.

ج- وجود نهشته های خاکسره (لغزش های سطحی بخ آبی)، اثرات هوازدگی ناشی از عواملی مثل بارش و تغییرات دما به شکل هوازدگی و خردشدهگی سنگها و ایجاد پوشش خاکی به ضخامتها مختلف می باشند. این اثرات در مناطق گرم و مرطوب بیشتر و در مناطق خشک کمتر است.

۱۰- آبهای زیرزمینی: از مهمترین عوامل تسريع کننده حرکات دامنه هاست. افزایش آب به معنی افزایش وزن دامنه یا چگالی ظاهری آن است که خود می تواند نقشی منفی در پایداری داشته باشد. آب زیرزمینی نیروهای مقاوم را در طول سطح لغزشی کاهش داده و نیروهای رانشی را در درزه ها و شکاف ها افزایش می دهد [۵]. زمان آبگیری سدها سطح آب زیرزمینی در سواحل افزایش می یابد و باعث کاهش مقاومت مصالح مانند رس، شیل، میکا شیست در اثر بالا رفتن سطح آب زیرزمینی می شود و نیز هنگام تخلیه مخازن سدها که طی آن آب دریاچه به سرعت پائین می رود امکان وقوع زمین لغزش در سواحل دریاچه ها افزایش می یابد [۶].

۱۱- فعالیت هایی که منجر به افزایش روباره<sup>۱</sup> می شوند: از این فعالیت ها می توان از خاکریزها، انباشت زباله و مواد معدنی و سنگ یا مواد باطله حاصل از گودبرداری، ساختمان سازی و ... وزن آب ناشی از نشت لوله های آب و فاضلاب، کانالها و مخازن آب، کشاورزی و آبیاری در دامنه ها نام برد.

۱۲- هوازدگی: هوازدگی بویژه هوازدگی شیمیایی و عمقی نقشی باز و شاخص در فراهم آوردن شرایط لازم جهت گسیختگی شیب دارد. شدت هوازدگی تابعی از نوع و ترکیب سنگ شناسی و کانی شناسی، شدت خردشدهگی و درزه و شکاف، حضور آب، PH آب و عوامل دیگر است [۵].

۱۳- حرکات تکتونیکی: حرکات تکتونیکی در پوسته زمین، می توانند باعث افزایش زاویه شیب شده و در دراز مدت به ایجاد زمین لغزش ها کمک می کنند. حرکات تکتونیکی با ایجاد درزه و شکاف های متعدد و خردشدهگی در سنگها می توانند شرایط را برای هوازدگی و در نتیجه لغزش توده مهیا نمایند. علاوه بر این، زلزله های تکتونیکی یکی از مهمترین عوامل محرك زمین لغزش ها هستند [۵]. زمین لغزش واقع در بزرگراه قزوین- رشت، بر اثر حفاریهایی که در حاشیه مسیر آزاد راه انجام شده، احتمالاً موجب رانش شده و شیب تند دامنه و بارندگی نیز دلایل دیگری بر وقوع آن بوده است.

<sup>۱</sup>- Overburden

## ۱-۵ طبقه بندی زمین لغزش ها

حرکت شیب تحت تاثیر عوامل متعدد سنگ شناسی، زمین ساخت، هیدرولوژی، توپوگرافی، آب و هوا، پوشش گیاهی، لوزه خیزی و فرسایش قرار می گیرد؛ پس دور از انتظار نیست که زمین لغزش ها بسیار متفاوت از یکدیگر باشند. کار طبقه بندی زمین لغزش ها با ارائه یک طبقه بندی بسیار کار، عملی و جامع توسط وارنز<sup>۱</sup> در سال ۱۹۵۸م. به انجام رسید. این طبقه بندی که در سال ۱۹۷۸م اصلاح و تکمیل گردید، اساس طبقه بندی های دیگران در زمان های بعدی قرار گرفت.

### ۱-۵-۱ طبقه بندی بر مبنای نوع حرکت و مواد جابجا شده

وارنز در سال ۱۹۷۸ بر اساس ویژگیهای اصلی زمینلغزش، یعنی نوع حرکت و نوع مواد جابجا شده، نوعی از طبقه بندی را ارائه داد که عنوان ساده ترین و رایج ترین طبقه بندی بکار می رود (جدول ۱-۲). از ویژگیهای اصلی این طبقه بندی استفاده از مشخصه هایی است که پس از رویداد زمین لغزش نیز حفظ شده و با گذشت زمان کمتر دستخوش تغییر می شوند و از این ویژگی آن، می توان برای دسته بندی زمین لغزشهای قدیمی نیز استفاده کرد. همچنین استفاده از نوع حرکت برای طبقه بندی، از ویژگیهای دیگر این طبقه بندی است که باعث می شود مکانیسم تغییر شکل به عنوان عامل مهمی در ارزیابی پایداری دامنه ها، در این طبقه بندی موثر باشد [۲۹]. در این طبقه بندی حرکات دامنه ای بر حسب شکل و سرعت حرکت مواد به ۵ دسته سقوط، واژگونی، لغزش، گسترش جانبی و روانه تقسیم شده اند. در طبقه بندی وارنز مواد درگیر در حرکت به دو دسته سنگ بستر و خاکهای مهندسی تقسیم می شوند. این مواد بنا به تعریف انجمان بین المللی زمین شناسی مهندسی (IAEG) مطابق جدول (۲-۲) تقسیم بندی شده اند. طبق این تعریف، خاکهای مهندسی به دو دسته واریزه و خاک تقسیم می شوند که خاک عبارت است از مواد ریز دانه ای که حداقل ۵۰ درصد ذرات آن در اندازه ماسه، سیلت یا رس باشد.

### ۲-۵-۱ طبقه بندی بر مبنای سرعت لغزش

وقوع زمین لغزش ها ممکن است در ناحیه ای با سرعت خیلی زیاد انجام شود و ظرف کمتر از چند ثانیه مقادیر قابل توجهی از خاک و سنگ تغییر مکان پیدا کنند. همچنین رانش زمین می تواند

<sup>۱</sup>- D.J Varnes

جدول ۲-۱: تقسیم بندی زمین لغزش ها بر مبنای طبقه بندی وارنز (۱۹۷۸)

نوع میانج	نوع حرکت
سنگ ستر	حدائقی داره ریز
خاک های مهندسی	عمده ناداره درست
سقوط سنگ (Rock fall)	سقوط خاک (Earth fall)
و زکونی خاک (Rock collapse)	و زکونی زبره (Dilatational collapse)
نموس دورانی خاک (Rock rotation)	نموس دورانی زبره (Dilatational rotation)
نموس چوپی خاک (Rock pullout)	نموس چوپی زبره (Dilatational pullout)
نموس سوئی خر خاک (Rock swash)	نموس سوئی زبره (Dilatational swash)
نموس در خاک (Rock slide)	نموس در زبره (Dilatational slide)
کسٹرنس های جانبی (Lateral spread)	کسٹرنس در خاک (Earth spread)
روزنه سنگ (Rock draw)	روزنه زبره (Earth draw)
زمین عصی (Deformity)	زمین عصی (Sofening)
مجموع دو یا چند نوع عمده حرکت	زمینلرزه های جمیمه (Flowing)

جدول ۲-۲: تقسیم بندی انواع مواد جابجا شده در یک زمینلغزش [23]

نوع مواد جابجا شده	سنگ ستر	داره ریز: خاکهای داره درست
	خاک مهندسی	خاک: حداقل بینهاده درصد ذرات تشکیل دهنده شامل ماسه سبلت و ذرات در اندازه رسی هستند

بسیار کند و بصورت چند میلی متر در سال انجام شود. به این ترتیب امکان رده بندی زمین لغزشها با توجه به اندازه گیری سرعت آنها امکان پذیر می باشد.

### ۳-۵-۱-۴ طبقه بندی بر مبنای میزان فعالیت

زمین لغزش ها بر اساس میزان فعالیت چهار دسته هستند:

۱- زمین لغزشها یی با فعالیت زیاد<sup>۱</sup>: بر روی این نوع زمین لغزش، ترکهای کششی دیده می شود ، درختان واقع بر روی آن از حالت قائم خارج شده و دیواره ها و چوب بستهای روی دامنه از امتداد اولیه کاملاً انحراف پیدا کرده اند. افزار در راس زمین لغزش فعال، عاری از هر گونه رویش است.

۲- زمین لغزشها یی با فعالیت آرام: که بصورت خرزش<sup>۲</sup> عمل کرده و حرکت بسیار کندی دارند. میزان حرکت آنها ممکن است چند میلیمتر در سال باشد و شکافهای موجود با مواد آواری پر شده اند.

۳- زمین لغزشها خاموش<sup>۳</sup>: شناخت این نوع زمین لغزش مشکل است. این نوع زمین لغزش ها

<sup>1</sup>- Active slide

<sup>2</sup>- Creep

<sup>3</sup>- Dormant slide

## ۶-۵-۱-۲ طبقه بندی بر مبنای سن

بر اساس تقسیم بندی دوران های زمین شناسی از نظر سنی به سازند های دورانهای اول، دوم و سوم زمین شناسی سنگ و رسوبات دوران چهارم آبرفت اطلاق می شود. بر این اساس نیز می توان زمین لغزشها را در دو گروه قرار داد. گروه اول زمین لغزشها ایجاد شده در آبرفت ها که از نظر سنی به دوران چهارم تعلق دارد و گروه دوم زمین لغزشها ایجاد شده در توده های سنگی که به دوران قدیم تر وابسته اند و معمولاً خیلی سریعتر از گروه اول اتفاق می افتد.

## ۶-۱-۲ تثبیت و پایدارسازی زمین لغزش ها

### ۱-۶-۱ رفتار پوشش گیاهی در پایداری دامنه ها

آنچه امروزه در مورد نقش مؤثر این فاکتور در پایداری دامنه ها به اثبات رسیده، افزایش فوق العاده تعداد زمین لغزش های عمیق و کم عمق، پس از گذشت دوره ای چند ساله از قطع پوشش درختی است.

### ۲-۶-۱ روشهای تثبیت و پایدار سازی زمین لغزش ها

آخرین مرحله از مراحل مطالعاتی زمین لغزشها، ارائه روش مناسب پایدار سازی توده لغزنده می باشد. در اجرای طرح های کنترل و تثبیت حرکت های توده ای لازم است تا قبل از اتخاذ تدبیر خاص، بررسی ها و مطالعات پیرامون علل لغزش انجام گرفته و علل زمینه ساز و حرکت زا اولویت بندی شوند، آنگاه براساس ماهیت علل، روش پایدارسازی مناسبی پیش بینی و طراحی گردد.

تعیین و پیشنهاد روش یا روشهای مناسب جهت تثبیت و پایدارسازی شیب، تا حد زیادی بستگی به نتایج حاصل از مطالعات، بنیه مالی و اقتصادی و اهداف پژوهه دارد. با توجه به هزینه های زیاد مطالعه و تثبیت شیب های ناپایدار، استفاده از این شیوه ها، جز در موارد بسیار ضروری، حیاتی و حساس توصیه نمی شود و در این مورد دوری از حریم خطر بهینه تر است.

روشهای معمول برای پایدار سازی شیب ها عبارتند از: زهکشی<sup>۱</sup> دامنه گسیخته شده (زهکشی آبهای سطحی، زهکشی آبهای داخل دامنه)، تغییر هندسه شیب و تغییر شکل دامنه (به روشهای

<sup>1</sup>- Drainage

کاهش ارتفاع، کاهش شبیب دامنه، ایجاد سکو، نیم تونل، لق گیری)، دیوار حائل، توری سیمی<sup>۱</sup> و میل مهار<sup>۲</sup>، افزایش سختی خاک<sup>۳</sup> (بتن پاشی<sup>۴</sup>، کاشتن درختان و افزایش پوشش جنگلی، استفاده از شمع<sup>۵</sup>، دیواره های بتنی<sup>۶</sup> ضربه گیر<sup>۷</sup>، ژئوتکستایل<sup>۸</sup>، پایین بردن سطح آب زیرزمینی، انجماد<sup>۹</sup>، استفاده از تکنیکهای تراکم خاک<sup>۱۰</sup>، روش زهکشی بوسیله الکترواسمز<sup>۱۱</sup> و الکتروشیمیابی، تغییر ترکیب شیمیابی خاک [۵، ۶، ۸، ۱۰، ۱۳ و ۱۷].

## ۲-۲ اطلاعات زمین شناسی منطقه لغزشی در بزرگراه قزوین - رشت [۱۱]

محدوده مورد مطالعه در مسیر بزرگراه قزوین- رشت و زمین لغزش واقع در آن، از نظر تقسیمات زمین ساختاری در ناحیه البرز غربی قرار گرفته است. این ناحیه، از شمال به گسل البرز، از جنوب به طور تدریجی به ناحیه ایران مرکزی و از شرق به گسل عطاری محدود می شود. عکسهاي از لغزش مورد مطالعه در پيوست الف-۲ ارائه شده است.

### ۲-۲-۱ چينه شناسی منطقه

مطابق بررسی های انجام گرفته و نقشه زمین شناسی ۱:۱۰۰۰۰۰ منطقه، محدوده زمین لغزش در دهانه خروجی تونل دوقلو را عوارض ناهموار و کوهستانی متعلق به سازند کرج در میان گرفته اند. این سازند با گسترش وسیع، نشانگر تکاپوهای انفجاری شدید آتشفسانهای زیر دریابی در زمان اوسن است که تا ۳۰۰۰ متر ضخامت دارد.

سازند کرج شامل توالی به نسبت ستبری از توف های سبزرنگ، سنگهای رسوبی و گدازه های آتشفسانی نظیر گدازه، دایک، سیل، آگلومرا و ... می باشد.

- 
- <sup>۱</sup>- Wire mesh
  - <sup>۲</sup>- Rock bolt
  - <sup>۳</sup>- Hardening of soils
  - <sup>۴</sup>- Shotcrete
  - <sup>۵</sup>- Pile
  - <sup>۶</sup>- Concrete wall
  - <sup>۷</sup>- Shock absorber
  - <sup>۸</sup>- Geotextile
  - <sup>۹</sup>- Freezing
  - <sup>۱۰</sup>- Compaction techniques
  - <sup>۱۱</sup>- Electro-osmosis

سازند کرج در مناطق مختلف، ترکیب سنگ شناسی همگنی ندارد، بعنوان مثال در دره کرج دارای ۵ بخش، ولی در کوههای طارم (شمال شرق زنجان) ۲ بخش می باشد.

آثار گیاهان تک لپه ای قاره ای (در توف بالایی) و روزنه دار پلانکتون نواحی ژرف، سنگواره های گذارش شده از سازند کرج هستند که بطور عمده به زمان ائوسن میانی تعلق دارند. از ناهمگونی سنگواره ها و حفظ شدگی ضعیف آنها چنین بر می آید که شاید فسیلها درجا نباشند، ولی جایگاه چینه شناسی سازند کرج، سن ائوسن میانی آن را تائید می کند.

تنوع سنگواره ها، بویژه ساخت های رسوبی، تفسیر محیط رسوبی سازند کرج را دشوار ساخته است. ضخامت و گسترش زیاد این رسوبات نشان دهنده تداوم فعالیت آتششان های زیر دریایی است که بطور متناوب مراحل آرامش نیز وجود داشته است.

نکته قابل توجه دیگر، تغییرات در عمق و شرایط رسوبگذاری در سازند کرج می باشد. ساخته های رسوبی موجود در نهشته های آذرآواری، نظیر لایه بندی، لایه بندی تدریجی، ریز لایه بندی خمیده، قالب شیاری و لغزش های گرانشی، نه تنها گویای رسوبگذاری محیط دریایی است، بلکه حاکی از جریانهای آشفته در محیط رسوبی است.

سازند کرج منحصر به توف و نهشته های رسوبی نیست، بلکه در میان نهشته های سبز سازند کرج، بخش های گدازه ای زیردریایی وجود دارد که بطور عمده بصورت فورانهای انفجاری به شکل نهشته های هیالوکلاستیک همراه با دایک های تغذیه کننده نمایان هستند.

از نظر گسترش جغرافیایی، اگرچه سازند توفی کرج یادآور فورانهای ائوسن میانی البرز جنوبی است، ولی باید گفت که جدا از البرز جنوبی، این سازند با ویژگیهای سنگی مشابه، در کوههای سلطانیه زنجان، تکاب، غرب قم، تفرش، آران و پاره ای از نقاط ایران مرکزی گسترش قابل توجه دارد و لذا فورانهای انفجاری ائوسن میانی پدیده های گسترده تراز البرز جنوبی است که بصورت خاکستر و در برخی نقاط بصورت آگلومرا تا ۱۵۰۰ متر ضخامت دارد.

بر پایه نقشه های زمین شناسی و رخنمون سنگی، واحدهای چینه ای منطقه عبارتند از:

الف- واحد ( $E_6^V$ ): شامل گدازه های اولیوین بازالتی، تراکی بازالتی، آندزیت بازالتی، تراکی آندزیت و آندزیت کوارتزدار با میان لایه هایی از توف تیره و تیره متمایل به قهوه ای است. معمولاً سرشت این سنگها از پائین به بالا از بازیک به اسیدی تغییر می کند. ستبرای این واحد

نzdیک به ۷۰۰ متر است. بافت آنها متفاوت و طیفی از پورفیری فلوبیدال، پورفیری آمیگدولوئیدال و اینتر گرانولار می باشد. ترکیب کانی شناسی این سنگها شامل کانیهای اولیوین، کلینوپیروکسن، آمفیبول، بیوتیت، پلاژیوکلاز از نوع آندزین- لابرادور، آلکالی فلدسپات بصورت خمیره، کوارتز، آپاتیت و کانیهای اپاک است. کانیهای کلریت، کوارتز، کالسیت و اپاک ثانوی هستند. در این سنگها حفره های گدازه ها را کوارتز و کالسیت پر کرده اند.

ب- واحد توف سیلیسی ( $E_6^{Vt}$ ): این واحد در امتداد جاده قزوین- رشت گسترش دارد و شامل توف شیشه ای بلورین لیتیک دار داسیتی- ریولیتی سفید، خاکستری و قرمز رنگ (صورتی) است و در درون بخش بالای واحدهای ( $E_6^{dtbr}$ ) و ( $E_6^V$ ) قرار گرفته است. بافت این سنگ ویتروکلاستیک بوده و فنوکلاست های شامل پلاژیوکلاز به اندازه ۲ میلیمتر است. این کانی به سریسیت، کلریت، کلسیت و کائولن تبدیل شده است. بیوتیت و کوارتز نزدیک به ۲ درصد از ساختمان سنگ را تشکیل می دهد. زمینه سنگ جریانی است و از ذرات شیشه ای، که فراوانی خوبی دارند، تشکیل می گردد. بافت اسفلولیتی ذرات شیشه قابل رویت است. درون زمینه، کانیهای آلکالی فلدسپات، پلاژیوکلاز، اکسید آهن، کلریت و کربنات دیده می شوند.

ج- واریزه های دامنه ای: این نهشته های واریزه ای، حاصل دگرسانی و تخریب فیزیکی واحدهای توفهای سیلیسی، داسیتی و آندزیتی درزه دار می باشند که شامل تخته سنگهای چند تنی تا خاک رس که پس از جدا شدن از سنگ مادر تحت تاثیر زمین لرزه و نیروی ثقل بتدریج روی شبکه دامنه ها به پائین سرازیر شده اند. ضخامت این واریزه ها بین ۳ تا بیش از ۳۰ متر است.

د- رسوبات رودخانه ای: جوانترین نهشته های منطقه مورد بحث، از نهشته های رودخانه ای اند که بر بستر رود خانه ملا علی راسب شده اند. این نهشته ها شامل قلوه سنگهای گرد شده نسبتاً درشت دانه آتشفسانی تا خاکهای سیلت و ماسه ای اند.

توده نفوذی که در اثر ریزش سنگ و لعرش، احتمالاً بخشهايی از آن پوشانده شده و رخمنون آن در محدوده کوچکی مشاهده می شوند، از جنس سنگهای توف و خاکسترهاي (برش) آتشفسانی هستند. خلاصه اينکه، در محدوده لغزش، جنس سنگها دارای توالی های سنگهای آتشفسانی شامل توفها، داسیت و سینیت (جزء آذرین درونی)، آگلومرا و ماسه سنگ و برش آتشفسانی می باشند. لازم به ذکر است که، سنگهای توف و خاکسترهاي آتشفسانی، مستعد لغزش هستند [۱۳].

## ۲-۲-۲ زمین شناسی ساختمانی منطقه

بر اساس نقشه های منتشر شده توسط سازمان زمین شناسی کشور، منطقه مورد مطالعه، از نظر ویژگیهای زمین ساختی ایران، در گستره البرز غربی و کوههای طارم قرار دارد. کوه طارم، در مقایسه با کوههای همچوار تالش و سلطانیه، تغییرات تکتونیکی پائینی را نشان می دهد. قسمت اعظم این کوهها را طبقات توفها و گدازه هایی از سازند کرج تشکیل می دهد که حداکثر شیب ۱۰ تا ۱۵ درجه دارند و در شرق طارم لایه ها تقریباً افقی می باشند. تکتونیک غالب ناحیه البرز غربی، تکتونیک راندگیها است و این راندگیها با روند کلی شرقی- غربی و شیبی به سوی شمال، بیشتر در شمال شهر لوشان نمایان هستند. همچنین جهت حرکت صفحات راندگی به سمت جنوب می باشد.

### ۱-۲-۲ گسل های محلی

گسل های اصلی و تأثیرگذار منطقه، دارای راستای شرقی- غربی، شمال غربی- جنوب شرقی و شمال شرقی- جنوب غربی هستند. گسل های محلی زیر از نقشه ۱:۱۰۰۰۰ مشخص می شوند:

الف- گسل F1: این گسل با راستای ۳۰ درجه بطول ۶,۵ کیلومتر و شیب ۸۰ درجه به سمت جنوب شرق و در محدوده شرقی زمین لغزش قرار دارد و در بخش جنوبی با گسل F2 تقاطع دارد.

ب- گسل F2: این گسل با راستای ۸۵ درجه و شیب حدود ۸۰ درجه به سمت جنوب و بطول ۱,۵ کیلومتر، محور بزرگراه را در محدوده کیلومتر ۵۲+۰۰۰ قطع می کند. همراستا با گسل مذکور و در سمت شمال آن، اثر چند گسل فرعی دیگر مشاهده می شود که در چند قسمت دارای بازشدنی بیش از ۱۰ سانتیمتری هستند. این گسل ها در زمان زمین لرزه اثر تخریبی شدیدی خواهند داشت.

ج- گسل F3: این گسل با راستای ۲۰ درجه، طول ۳,۷ کیلومتر و شیب ۸۵ درجه به سمت جنوب شرق حدود ۶۰۰ متری شمال غربی محدوده زمین لغزش واقع شده است.

### ۲-۲-۲ درزه ها

این نوع ناپیوستگی ها بویژه در سنگهای سخت تر ناحیه مانند توف های سیلیسی و داسیت وجود دارند و اکثر آنها عمود بر لایه بندی می باشند. فاصله این دسته ناپیوستگی ها از یکدیگر متغیر و بین ۲ تا ۳۰۰ میلیمتر است. در این منطقه، بازشدنی سطوح درزه ای در حدود ۲ تا ۵ میلیمتر می باشد. بیشتر درزه های واقع در لایه های توفی با رس و کلسیت در اندازه چند میلیمتر پر شده اند.

### ۲-۳-۲ زمین ریخت شناسی<sup>۱</sup>

در تشکیل ریختار هر منطقه، عواملی مانند لیتولوژی، تکتونیک و آب و هوا تأثیر مستقیمی دارند. در رابطه با محدوده مورد بررسی نیز جنس متفاوت سنگها و اختلاف درجه فرسایش پذیری آنها از جمله موارد مهم می باشد. بطوریکه سنگهای آندزیت- داسیت سخت و مقاوم نسبت به توفهای ماسه ای و سست، کمتر فرسوده شده و دیواره پرتگاهی مرتفع و کشیده ای در سمت شرقی دره ملاعلی ایجاد کرده اند و توفهای ماسه ای زیر آنها، ریختار به نسبت ملایمتری بخود گرفته اند و باعث غیر یکنواختی چهره زمین شده اند.

در محدوده تونل، در بین توفهای ماسه ای، بلوک پشته مانندی از جنس توفهای سیلیسی سفید تا خاکستری، بصورت برجستگی محلی، بیرون زده و هیچ تجانسی با توفهای ماسه ای ندارد. عامل دیگری که در شکل گیری چهره زمین مؤثر بوده، توده های بهمن سنگ است که از دیواره پرتگاه شرقی فرو ریخته اند و بصورت توده نسبتاً حجیم رویهم انباشته و روی توفهای ماسه ای را پوشانده اند و چهره ملایم و یکنواخت روی توفهای ماسه ای را دچار ناهمواری کرده است. علاوه بر اینها، شب توبوگرافی طبیعی زمین حدود ۳۵ درجه و جهت آن از شرق به غرب است.

### ۴-۲-۲ لرزه خیزی منطقه

یکی از روشهایی که در بررسی قدرت لرزه خیزی یک منطقه استفاده می شود، استفاده از زلزله های رویداده در آن ناحیه است. بدليل اینکه زلزله ها یکی از عوامل مؤثر در وقوع زمین لغزش ها است، لذا در اینجا زلزله های محدوده مورد مطالعه را از دو منبع تاریخی و ثبت شده در ایستگاه های لرزه نگاری بررسی کرده و سپس گسلهای مهم اطراف منطقه را مورد مطالعه قرار می دهیم.

### ۴-۲-۱ آمار زمین لرزه های منطقه

الف- زمین لرزه های تاریخی: این آمار منحصر به کتابهای تاریخی و سفرنامه ها و نوشتارهای اندکی است که در این زمینه گردآوری شده اند. کمبود اطلاعات، مربوط به نبود زمین لرزه نیست بلکه بسیاری از وقایع با فاصله نسبتاً زیاد از شهر ها رخداده و توسط مورخان ثبت و ضبط نشده است.

<sup>۱</sup>-Geomorphology

زمین لرزه های قزوین، بوئین زهرا، دیلم، طالقان و لاهیجان بخشی از زمین لرزه های پیش از قرن بیستم هستند که هر کدام با خسارات و تلفات جانی همراه بوده اند. زمین لرزه طالقان در ۲۰ آوریل ۱۶۰۸ میلادی (۴ محرم ۱۷۵۰ق.)، با بزرگی نزدیک به ۷,۶ ریشتر و شدت ( $x_0$ ) در حوالی ساعت ۱۲، پهنه روبار الموت و طالقان را ویران کرد. در آمل، ساری اشرفیه که در ۱۸۰ کیلومتری قرار دارند، خانه ها ترک برداشت و نیز زلزله، موجب تشکیل دریا لرزه<sup>۱</sup> شدید در کرانه دریای خزر شد.

ب- زمین لرزه های ثبت شده در ایستگاه های لرزه نگاری: در قرن بیستم و در شعاع ۱۵۰ کیلومتری زمین لغزش موردنظر، تقریباً ۱۵۰ زمین لرزه با بزرگی بیشتر از ۴ ریشتر ثبت شده است. زمین لرزه اول سپتامبر ۱۹۶۲م بوئین زهرا با بزرگی ۶,۹ ریشتر در پهنه بوئین زهرا موجب ویرانی ۹۱ دهکده شد و ۱۲۲۰۰ نفر کشته شدند. زمین لرزه مخرب ژوئن ۱۹۹۰م. با بزرگی ۶,۴ ریشتر در منجیل و روبار هنوز از اذهان فراموش نشده است.

پس چنین استنباط می شود که محدوده مورد مطالعه، از مناطق زلزله خیز بشمار می آید و هر از گاهی، خسارت های جانی و مالی بر اثر وقوع زمین لرزه به تاسیسات و ابنيه ها وارد می شود.

#### ۲-۴-۲-۴ گسلهای فعال منطقه

تعدادی از گسل های مهم گستره البرز مرکزی و غربی، برای شناخت بهتر از وضعیت گسل خوردگیهای منطقه مورد مطالعه، عبارتند از:

الف- گسل شمال قزوین: این گسل با روند شرقی- غربی، که به سوی شرق دچار خمس شده و روندی شمالگری- جنوبشرقی را دنبال می کند، بطور کلی موجب رانده شدن رسوبات آتشفشاری- رسوبی متعلق به ائوسن بر روی نهشته های آبرفتی پلیوسن شده است. این گسل بیش از ۴۵ کیلومتر طول و شیبی حدود ۳۰ تا ۴۰ درجه به سوی شمال دارد. محدوده زمین لغزش در قسمت آتشفشاری و کوهستانی شمال گسل قزوین قرار دارد.

ب- راندگی کوههای البرز: این منطقه راندگی در شمال شهر لوشان قرار دارد. روند کلی راندگی ها، شرقی- غربی و شیب آنها به سمت شمال و جهت حرکت صفحات به سمت جنوب است.

ج- گسل زنجان: گسل زنجان با طولی در حدود ۱۴۰ کیلومتر، به موازات گسل سلطانیه و هم روند با آن، از شمال غرب زنجان شروع و به سمت جنوب شرق ادامه می یابد.

<sup>۱</sup>-Tsunami

د- راندگی کوههای انگول: این منطقه، از تعدادی راندگی شرقی- غربی پیدید آمده که شیب گسله ها بیشتر به سمت جنوب است. در برخی از سنگهای موجود، شواهدی از وجود مولفه امتدادلغز راستگرد مشاهده می شود.

ه- گسل جیرنده: این گسل با روند غرب- شمال غربی، شرق- جنوب شرقی از شمال شهر جیرنده می گذرد و در بیشتر نقاط قابل مشاهده بر روی سطح زمین نیست ولی در شمال و شمال غربی روستای انبوه، منطقه خرد شده آن، بویژه توده نفوذی این محل نمایان است. در این محل گسل تقریباً نزدیک به قائم است. مولفه جابجایی اصلی گسل، امتدادلغز از نوع راستگرد می باشد. این گسل جابجایی شیب لغز معکوس نیز دارد که در ترانشه های جاده جیرنده- کلیشم بخوبی آشکاراست.

و- گسل منطقه سنگی بره سر- کلیشم: این گسل با روند غربی- شمال غربی، شرق- جنوب شرقی، به موازات گسل جیرنده و در شمال آن قرار دارد. در برخی نقاط از این منطقه، جابجایی امتداد لغز راستگرد به چشم می خورد.

## ۲-۲-۵ میزان بارندگی در منطقه

منطقه کوهستانی لوشان تا کوهین با راستای شرقی- غربی، بدلیل قرار گیری در مسیر حرکت ابرهای باران زای شمالی کشور که از شمال به جنوب صورت می گیرد، دارای میزان مناسبی از بارندگی سالیانه است، بطوريکه بر اساس آمار گردآوری شده در نزدیکترین ایستگاه هواشناسی، متوسط بارندگی سالیانه منطقه، به حدود ۱۹۶ میلیمتر می رسد.

با توجه به ارتفاع حدود ۱۰۰۰ متری منطقه مورد مطالعه نسبت به سطح آبهای آزاد، نزولات جوی آن طی بیشترین ایام سال بصورت باران است و برف قابل ملاحظه ای وجود ندارد.

## ۲-۲-۶ ترانشه های خروجی تونل دوقلو

چون روباره تونل باید دارای آنچنان ضخامتی باشد که مقاومت لازم جهت پایداری سقف حفاری شده آن را فراهم نماید، لذا مکانهای دارای روباره کم، در نزدیک ورودی و خروجی تونل، نیازمند ایجاد گالری یا حفر ترانشه اند. بررسی رفتار سنگهای زمین مجاور دهانه های تونل دوقلو و

مشرف به ترانشه های ورودی و خروجی و مطالعه چگونگی تامین پایداری لایه های زمین شناسی منتهی به شیروانی های ترانشه ها، به روش تعیین شیب و یا نوع مناسب نگهداری آنها، از مهمترین موارد قابل توجه در مطالعه تونلهاست.

زمین لغزش مورد مطالعه در این پژوهه مربوط به ناپایداری های خروجی تونل دوقلو می باشد، که در ادامه تشریح شده است:

الف- ترانشه خروجی تونل شرقی: جنس سنگهای دربرگیرنده دهانه خروجی تونل شرقی، واریزه های دامنه ایی، توفهای اسیدی و ماسه ایی با شیب حدود ۲۸ درجه به سمت جنوب شرقی است. سنگهای مزبور بدلیل خردشده، نسبتاً سست می باشند. بیشترین ارتفاع محوری ترانشه خروجی، مربوط به دهانه خروجی در کیلومتر ۵۲+۰۳۰ است که به ۲۰ متر می رسد بعد از آن بتدریج از ارتفاع کم شده و در کیلومتر ۵۲+۱۰۰ به ۸ متر و در کیلومتر ۵۲+۲۵۶ به ۲,۵ متر می رسد. دلیل طولانی شدن ترانشه با شیب کم، وجود واریزه های دامنه ایی است.

بررسی پایداری دیواره شرقی ترانشه خروجی تونل شرقی، با توجه به لغزش های رویداده در زمان کوهبری، نیازمند مطالعات دقیق تر با استفاده از روش‌های ژئوفیزیکی جهت تعیین سطح لغزش است و مطالعه حاضر مربوط به این ناپایداری با استفاده از روش ژئوالکتریک می باشد.

ب- ترانشه خروجی تونل غربی: دهانه خروجی تونل غربی در درون سنگهای توف ماسه ایی قرار دارد. بعلت کم بودن ارتفاع دیواره سمت راست این ترانشه، که ۲,۵ متر خواهد بود، عملأً تنها ترانشه موجود در این تونل، مربوط به سر در آن خواهد بود که دارای وضعیت مشابه با ترانشه سر در خروجی تونل شرقی است [۱۱].

### فصل سوم:

## روش مقاومت ویژه الکتریکی، اندازه گیری داده ها و تفسیر کیفی آنها

### ۳-۱ روش مقاومت ویژه الکتریکی

آن دسته از روش‌های الکتریکی که در آن جریان از طریق رسانش توسط الکترودهایی به زمین داده می‌شود براساس این واقعیت کار می‌کنند که تغییرات رسانندگی زیرسطح زمین، شکل شارش جریان را در داخل زمین تغییر می‌دهد و این بر توزیع پتانسیل الکتریکی اثر می‌گذارد. درجه این اثر گذاری به اندازه، شکل، محل و مقاومت ویژه الکتریکی لایه‌ها یا اجسام زیرسطح بستگی دارد. بنابراین این امکان وجود دارد که از اندازه گیری پتانسیل بر روی سطح، اطلاعاتی از زیر زمین بدست آید [22]. پس هدف کاوش‌های الکتریکی، تعیین توزیع مقاومت ویژه زیرسطحی با اندازه گیری‌ها در سطح زمین است و با استفاده از این اندازه گیریها، می‌توان مقاومت ویژه حقیقی زیرسطحی را تخمین زد [27]. از روش مقاومت ویژه، بطور گسترده در جستجو برای منابع آبهای زیرزمینی و نیز تعیین آلودگی‌های آبهای زیرزمینی، در برداشت‌های مهندسی برای تعیین محل حفره‌ها، گسل‌ها، شکافها و... استفاده شده است [37] و در سالهای اخیر برای بررسی مسائل زیست محیطی بکار گرفته اند [31].

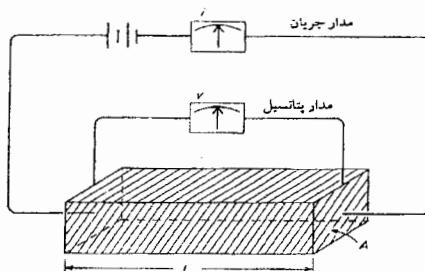
- روش مقاومت ویژه در مقایسه با سایر روش‌های ژئوفیزیکی (مانند لرزه شناسی، گرانی سنجی و ...) و یا روش‌های اکتشافی مستقیم (مانند حفاری و ...) خصوصیات زیر را دارد [31]:
- انعطاف پذیری (استفاده از آن در هر مرحله از اکتشاف مثل شناسایی اولیه، تعیین جزئیات).
  - روشی نسبتاً سریع و آسان برای برداشت داده ها.
  - هزینه های صحرایی پائین و کم بودن افراد مورد نیاز برای برداشت.
  - سبک و قابل حمل بودن دستگاه ها.
  - تفسیر کیفی داده ها بطور مستقیم صورت می گیرد.
- البته علیرغم این مزیت ها، دارای محدودیت هایی نیز می باشد [31]:
- در برخی موارد، مدل‌های ژئوفیزیکی حاصل، از مدل زمین شناسی مربوطه بسیار تفاوت دارد.
  - ابهام در تفسیر داده های مقاومت ویژه باعث می شود که چندین مدل وجود داشته باشد.
  - دقیق تعیین عمق در مقایسه با روش هایی مثل لرزه نگاری یا حفاری کمتر است.

### ۱-۱-۳ اساس تئوری مقاومت ویژه

اگر رسانایی حامل جریانی با خطوط شارش موازی از سطح A باشد و R مقاومت اندازه گیری شده بین دو سطح هم پتانسیل با فاصله L باشد، مقاومت ویژه آن چنین تعریف می شود (شکل ۱-۳):

$$\rho = R \frac{A}{L} \quad (1-3)$$

قانون فیزیکی مورد استفاده در روش مقاومت ویژه، قانون اهم، قانون حاکم بر شارش جریان الکتریکی در زمین است [27]. معادله قانون اهم بصورت برداری برای شارش جریان در محیط پیوسته و همسانگرد بصورت زیر است [25]:



شکل ۱-۳ : تعریف مقاومت ویژه [38]

$$\vec{J} = \sigma \vec{E} \quad (2-3)$$

که در این رابطه،  $\sigma$  رسانندگی محیط ( $\sigma = 1/\rho$ )،  $\vec{J}$  چگالی جریان،  $\vec{E}$  شدت میدان الکتریکی است. در عمل، پتانسیل میدان الکتریکی اندازه گیری می شود. رابطه میان پتانسیل الکتریکی و شدت میدان بصورت زیر است:

$$\vec{E} = -\nabla V \quad (3-3)$$

با ترکیب معادلات (2-3) و (3-3) بدست می آوریم:

$$\vec{J} = -\sigma \nabla V \quad (4-3)$$

رابطه بین چگالی جریان و جریان برای چشمۀ نقطه ایی جریان عبارت است از:

$$\vec{\nabla} \cdot \vec{J} = \left( \frac{I}{\Delta V} \right) \delta(x - x_s) \delta(y - y_s) \delta(z - z_s) \quad (5-3)$$

که  $(x_s, y_s, z_s)$  محل چشمۀ نقطه ایی،  $\Delta V$  عنصر حجم اطراف منبع جریان I و  $\delta$  تابع دلتای دیراک است. از قرار دادن رابطه (4-3) در رابطه (5-3) داریم:

$$-\vec{\nabla} \cdot [\sigma(x, y, z) \Delta V(x, y, z)] = \left( \frac{I}{\Delta V} \right) \delta(x - x_s) \delta(y - y_s) \delta(z - z_s) \quad (6-3)$$

این رابطه، معادله اساسی است که از حل آن، توزیع پتانسیل در زمین بخارت منبع جریان نقطه ایی بدست می آید. تکنیک های زیادی برای حل این معادله وجود دارد. از حل این معادله، پتانسیل در فاصلۀ r از چشمۀ نقطه ای جریان که در روی یک زمین همگن و همسانگرد است بدست می آید:

$$V = \frac{\rho I}{2\pi r} \quad (7-3)$$

در برداشت های مقاومت ویژه الکتریکی معمولاً از ۴ الکترود استفاده می شود که با توجه به وضعیت قرار گیری و موقعیت آنها نسبت به یکدیگر، آرایش‌های الکترودی گوناگون نامگذاری شده و مورد استفاده قرار می گیرند. شکل ۲-۳ فرم عمومی یک آرایش الکترودی نمونه و موقعیت الکترودها را



شکل ۲-۳ : فرم کلی یک آرایش

در این آرایش خاص نشان می دهد. دو الکترود جریان A و B، جریان را به زمین تزریق می کنند، این الکترود ها به دو قطب مخالف یک مولد جریان مستقیم متصل شده، پس دارای جریانهای مساوی با جهت مخالف هستند. دو الکترود M و N پتانسیل الکتریکی ایجاد شده در اثر شارش جریان به درون زمین را اندازه گیری می کنند. برای محاسبه اختلاف پتانسیل، مقدار پتانسیل ناشی از الکترودهای جریان را در محل هر الکترود پتانسیل محاسبه می کنیم. پتانسیل محاسبه شده برای الکترود M و الکترود N بصورت زیر خواهد بود:

$$V_M = V_A + V_B = \frac{I\rho}{2\pi} \left( \frac{1}{AM} - \frac{1}{MB} \right) \quad (8-3)$$

$$V_N = V_A + V_B = \frac{I\rho}{2\pi} \left( \frac{1}{AN} - \frac{1}{NB} \right) \quad (9-3)$$

با توجه به دو رابطه فوق، اختلاف پتانسیل بین دو الکترود M و N بصورت زیر بدست می آید:

$$\Delta V = V_M - V_N = \frac{I\rho}{2\pi} \left\{ \left( \frac{1}{AM} - \frac{1}{MB} \right) - \left( \frac{1}{AN} - \frac{1}{NB} \right) \right\} \quad (10-3)$$

این رابطه، اختلاف پتانسیل اندازه گیری شده در یک آرایش ۴ الکترودی، که در سطح یک زمین همگن گسترش یافته را نشان می دهد.

مقاومت ویژه الکتریکی، با ارسال جریان به داخل زمین توسط الکترودهای جریان و اندازه گیری اختلاف ولتاژ توسط الکترودهای پتانسیل انجام می شود. از مقادیر جریان I و اختلاف پتانسیل  $\Delta V$

مقدار مقاومت ویژه ظاهري  $\rho_a$  محاسبه می شود:

$$\rho_a = K \frac{\Delta V}{I} \quad (11-3)$$

که K، فاکتور هندسی، به نحوه آرایش ۴ الکترود نسبت به هم بستگی دارد و برابر است با:

$$K = \frac{2\pi}{\left( \frac{1}{AM} - \frac{1}{MB} - \frac{1}{AN} + \frac{1}{NB} \right)} \quad (12-3)$$

مقدار مقاومت ویژه محاسبه شده، مقدار مقاومت ویژه زیرسطحی نیست، بلکه یک مقاومت ویژه ظاهري است که این مقاومت ویژه ظاهري، مقاومت ویژه زمین همگنی که مقدار مقاومت مشابه  $I / \Delta V$  برای آرایش الکترودی مشابه را بدست خواهد داد.

### ۲-۱-۳ عوامل مؤثر بر مقاومت ویژه مواد زمین

سنگها دارای درصدی از تخلخل هستند و در بعضی از سنگها، بخشی از این فضاهای خالی توسط سیالاتی پر شده که فعل و افعالات موجود، مقاومت ویژه را تحت تأثیر قرار می دهند. عواملی که مقاومت ویژه سنگهای محتوی آب را تحت تأثیر قرار می دهند بطور کلی به ۴ دسته تقسیم می شوند که با افزایش هر یک از این عوامل مقاومت ویژه سنگ کاهش می یابد [31]:

درصد حجمی از سنگ که با آب پر شده است (درجه اشباع آب)، میزان شوری یا یون آزاد پرکننده فضاهای خالی، ارتباط بین فضاهای خالی در سنگ (نفوذپذیری) و درجه حرارت.

وجود کانیهای رسی و عواملی مثل ترکیب و بافت سنگ، نوع سنگ، شرایط تشکیل آنها در مقاومت ویژه لایه ها مؤثرند. کانیهای رسی به علل زیر باعث کاهش مقاومت ویژه می شود [31]:

۱- معمولاً کانیهای رسی همراه با آب هستند.

۲- رسها، کاتیونها را در تبادل یونی با سطح خارجی خود، بعلت تماس با سنگ، جذب می کنند.

۳- کانیهای رسی تمایل به یونیزه شدن و عرضه یونهای آزاد دارند.

### ۳-۱-۳ خواص الکتریکی مواد

جريان الکتریکی در مواد زمین در اعمق کم به دو روش هدایت الکترونی و هدایت الکترولیتی جريان می یابند. در هدایت الکترونی، شارش جريان توسط الکترونهای آزاد صورت می گیرد. هدایت الکترونی، هنگامی که کانیهای رسانا مانند سولفیدهای فلزی و گرافیت موجود باشند دارای اهمیت می باشند. در هدایت الکترولیتی، شارش جريان بخارطه جابجاگی یونها در آب زیرزمینی انجام می شود.

مقاومت ویژه بعضی از سنگها و مواد معدنی در جدول ۳-۱ نشان داده شده است. سنگهای آذرین و دگرگونی دارای مقادیر بالای مقاومت ویژه می باشند. مقاومت ویژه اینگونه از سنگها به میزان خردشگی و درصد شکستگی های پر شده از آب وابسته است. بنابراین نوع مشخصی از سنگ می تواند محدوده وسیعی از مقاومت ویژه، از حدود ۱۰۰۰ تا ۱۰ میلیون اهم متر، با توجه به خشک یا مرطوب بودن آن، داشته باشد. این ویژگی در تعیین زونهای خرد شده و ساختارهای هوازده دیگر، در کاوشهای مهندسی و آب زیرزمینی مفید است [28].

سنگهای رسوبی، که معمولاً متخلخل بوده و دارای محتوای آب زیادتری می باشند، بطور معمول از مقاومت ویژه کمتری در مقایسه با سنگهای آذرین و دگرگونی دارند. گستره مقاومت ویژه از  $\Omega m^{10-1000}$ ، ولی اکثرًا زیر  $\Omega m^{1000}$ ، دارند. رسوبات نامتراکم عموماً مقادیر مقاومت ویژه کمتر نسبت به سنگهای رسوبی و در گستره مقادیر  $\Omega m^{10-1000}$  دارند.

خاکهای مرطوب و زمین های آبدار مقدار مقاومت ویژه کمتری دارند. خاکهای رسی معمولاً مقاومت ویژه پائین تری نسبت به خاکهای ماسه ای دارند. اما، نکته اینکه، مقدار مقاومت ویژه در انواع سنگها و خاک ها، مقدار مقاومت ویژه همدیگر را پوشش می دهند. این بدین دلیل است که مقاومت ویژه سنگ یا خاک به عوامل دیگر مثل تخلخل، اشباع آب و غلظت نمکهای نامحلول است. مقاومت ویژه آب زیرزمینی با توجه به میزان نمکهای نامحلول از  $\Omega m^{10-100}$  تغییر می کند. مقاومت ویژه پائین آب دریا (در حدود  $\Omega m^{2,0}$ ) بعلت میزان نمک فراوان موجود در آب دریا می باشد [28].

جدول ۱-۳ : مقاومت ویژه بعضی از سنگها و مواد معدنی

سنگها و مواد معدنی	مقاومت ویژه ( $\Omega m$ )
آب زیر زمینی	$10-100$
آب باران	$300-1000$
آب دریا	$0,2$
سنگ آهک	$500-5000$
شیل	$200-2000$
رس	$1-100$
آبرفت‌های دانه درشت و کنگلومرا	$3000-10000$
آبرفت‌های دانه متوسط	$1000-300$
آبرفت‌های دانه ریز	$50-100$
شن و ماسه خشک	$10000-100000$
شن و ماسه اشباع از آب شیرین	$500-500$
شن و ماسه اشباع از آب شور	$0,5-5$
آهک های آسماری	$50000-100000$
آهک های گرتاسه	$2000-500$
سنگ های توف	$200-100$
ماسه سنگ آرژیل دار	$500-300$
ماسه سنگ کوارتزیت	$3000-10000$
خاکستر (برش) آتش‌شانی	$200-100$
آنذیت	$450000-170$
داسیت	$20000$
سینیت	$600 \text{ تا } 40 \text{ میلیون}$

معادله ساده ای که ارتباط میان مقاومت ویژه سنگ متخلخل و عامل اشباع سیال را بدست می دهد قانون آرچی<sup>۱</sup> است که قابل کاربرد برای انواع مشخص از سنگها و رسوبات، بویژه آنهایی که حاوی مقدار کمی رس است، می باشد. قانون آرچی بصورت زیر است:

$$\rho = a \rho_w \phi^{-m} \quad (13-3)$$

که  $\rho$  مقاومت ویژه سنگ،  $\rho_w$  مقاومت ویژه سیال پرکننده فضاهای خالی سنگ،  $\phi$  جزء سنگ پر شده با سیال است. در حالیکه  $a$  و  $m$  دو پارامتر تجربی هستند. برای اکثر سنگها،  $a$  و  $m$  به ترتیب تقریباً برابر با ۱ و ۲ هستند [۲۸].

### ۴-۱-۳ آرایش های الکتروودی

#### ۱-۴-۱-۳ انتخاب آرایشهای الکتروودی

برای بدست آوردن مقاومت ویژه زمین، جریان الکتریکی بوسیله دو الکترود به زمین تزریق می گردد و اختلاف پتانسیل بین دو نقطه نیز با استفاده از دو الکترود دیگر اندازه گیری می شود، برای ترتیب قرار گرفتن الکترودهای جریان و پتانسیل و فاصله آنها حالت های مختلفی وجود دارد که هر حالت را یک آرایش الکتروودی می گویند. انتخاب نوع آرایش در یک برداشت به عواملی از قبیل نوع ساختارهای مورد مطالعه در منطقه، حساسیت دستگاه اندازه گیری مقاومت ویژه، سطح نویز زمینه، هدف برداشت و هزینه و سرعت برداشت مربوط می گردد. بنابراین به منظور انتخاب بهترین آرایش برای یک برداشت، باید اطلاعاتی در مورد آرایش های الکتروودی معمول و خصوصیات هر کدام داشت. مهمترین خصوصیات یک آرایش که باید بررسی شوند عبارتند از:

حساسیت آرایش به تغییرات افقی و قائم مقاومت ویژه زیرسطح، عمق نفوذ و قدرت سیگنال. عمق نفوذ یا عمق بررسی عبارت است از عمقی که حداکثر سیگنال الکتریکی از آن بدست می آید. باید توجه داشت که این اعمق برای مدل زمین همگن معتبرند ولی در ترسیم برداشت های صحرایی نیز بقدر کافی مفید و قابل قبول هستند، مگر در مواردی که مقاومت ویژه نزدیک سطح، اختلاف زیادی با مقاومت ویژه اعماق بیشتر داشته باشد، عمق نفوذ واقعی متفاوت خواهد بود.

<sup>۱</sup>-Archie's Law

هر یک از آرایش ها ویژگی ها و مزایای خاصی دارند؛ ولی در همه آنها توجه به نکات زیر می تواند نقش مهمی در تفسیر بهتر و دقیق تر منطقه مورد برداشت داشته باشد:

- ۱- کل جریان I تولید شده توسط باتری یا منبع، ممکن است توسط عوامل مختلف افت پیدا کنند که این عوامل، عمدتاً در مقاومت خود الکترودها و جنس آنها و سیمهای رابط خلاصه می شود.
- ۲- اگر الکترودهای پتانسیل دارای نشت جریان باشند، یعنی یک ولتاژ پلاریزه در محل تماس بین الکترودهای پتانسیل و خاک بوجود آمده و سبب ایجاد یک ولتاژ کاذب اضافی می شود و در موقع اندازه گیری این ولتاژ، با ولتاژ واقعی جمع شده و دستگاه مجموع این دو ولتاژ را نشان می دهد.
- ۳- اگر الکترودهای پتانسیل، فلزی باشند بعلت تأثیر متقابل بین این الکترودها با رطوبت موجود در خاک، پتانسیل الکتروشیمیایی ایجاد شده می تواند در اندازه گیری تأثیر گذارد.
- ۴- جریانهای طبیعی زمین ممکن است از الکترودها عبور کرده و درنتیجه سبب تولید پتانسیل طبیعی و اضافی شوند که خود عرضه پتانسیلهای مصنوعی یا اضافی را به دنبال دارند و ولتاژی که دستگاه اندازه گیری می کند بیش از ولتاژ واقعی خواهد بود.

خطا های فوق را تا حدی می توان توسط دستگاهها و انتخاب الکترودهای مناسب و غیر قابل پلاریزه کاهش داد. نکته قابل توجه اینکه، اگر ولتاژ اندازه گیری شده خیلی کوچک باشد و یا بطور غیر منطقی اندازه گیریهای ولتاژ نامنظم باشد، باید از الکترودهای پتانسیل غیرقابل پلاریزه استفاده شود. مهمترین آرایش های الکترودی مورد استفاده در برداشت های مقاومت ویژه عبارتند از: ونر، شلومبرگر، دوقطبی، قطبی- دوقطبی، گرادیان، نیم ونر و نیم شلومبرگر.

دو روش متفاوت سونداز الکتریکی (گمانه زنی) و پروفیل زنی برای عملیات صحرایی برداشت داده های مقاومت ویژه وجود دارد. در پروفیل زنی، تغییرات جانبی مقاومت ویژه الکتریکی زمین با فواصل الکترودی ثابت برای عمق معین بررسی می شود. در این روش بعد از هر اندازه گیری، تمامی الکترودها با همان آرایش و فواصل در طول پروفیل جابجا می شوند. با داشتن چند پروفیل مشابه و از نظر مکانی مختلف، نقشه هم مقاومت ویژه عمقی را می توان تهیه کرد. در سونداز زنی، تغییرات مقاومت ویژه با تغییر عمق بررسی می گردد و مرز لایه های افقی با مقاومت ویژه الکتریکی متفاوت تعیین می شود. در این روش هر قدر فاصله الکترودهای جریان از الکترودهای پتانسیل بیشتر شود در نتیجه آن عمق کاوش نیز افزایش می یابد [28].

نوع سومی هم برای عملیات صحرایی برداشت داده های مقاومت ویژه وجود دارد که ترکیبی از سونداز زنی الکتریکی (گمانه زنی) و پروفیل زنی است.

### ۳-۱-۴-۲ آرایش الکتروودی شلومبرگر

آرایش شلومبرگر یکی از پرکاربردترین آرایش ها برای برداشت های مقاومت ویژه و اکتشافات الکتریکی است. در این آرایش، بطور معمول، الکتروودهای پتانسیل به فاصله کم از یکدیگر بین الکتروودهای جریان قرار می گیرند [12]. ترتیب قرارگیری الکتروودها در شکل ۳-۳ نشان داده است. الکتروودهای جریان و پتانسیل بصورت متقارن نسبت به مرکز ( نقطه O ) قرار می گیرند و داده اندازه گیری شده به زیر این نقطه مرکزی نسبت داده می شود [39].

در هنگام سونداز با این آرایش فاصله AB متوالیاً افزایش می یابد ولی محل MN ثابت می ماند تا زمانیکه اختلاف پتانسیل بین دو الکتروود کاهش یابد و سپس فاصله MN افزایش می یابد و در هر حال MN باید حداقل AB/5 باشد [27]. این روش راحت تر و سریعتر از آرایش گسترشی و نر است زیرا تنها لازم است دو الکتروود جابجا شود و علاوه بر این، با الکتروودهای پتانسیل ثابت، اثر تغییرات مقاومت ویژه در عمق کم، ثابت خواهد بود [39].

عمق نفوذ میانگین این آرایش حدود ۱۰٪ بزرگتر از آرایش و نر برای فاصله مشابه بین الکتروودهای AB است و از عمق نفوذ میانگین قطبی- قطبی و دوقطبی- دوقطبی کمتر است.

از علل انتخاب این آرایش برای این پروژه موارد زیر را می توان ذکر کرد:

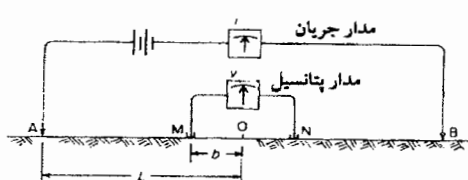
۱- در تعیین سطوح دارای پتانسیل لغزش، بیشتر تفکیک عمودی لایه ها اهمیت دارد و این

آرایش بیشترین قدرت تفکیک عمودی در بین آرایشها را دارد.

۲- این آرایش دارای نسبت سیگنال به نویز (s/n) مناسب می باشد زیرا الکتروودهای پتانسیل،

از یک ثبات نسبی برخوردارند.

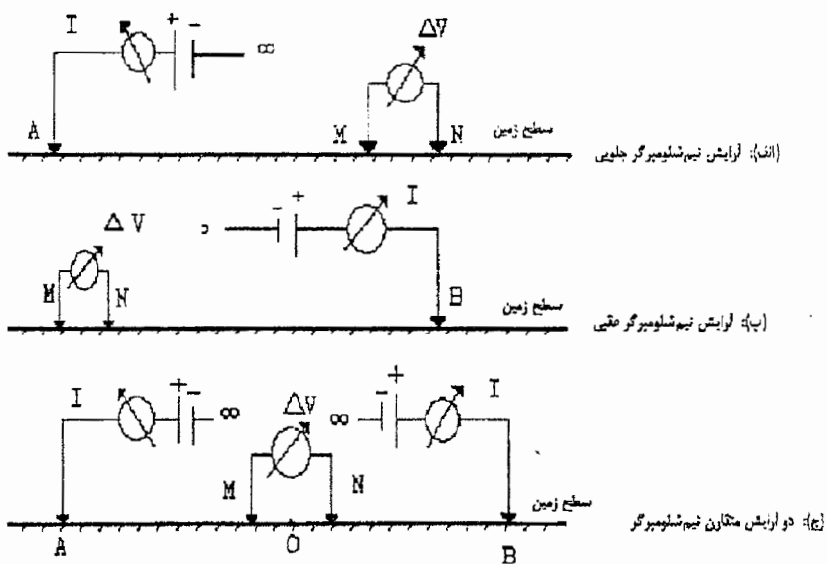
۳- امکان تفکیک چند ساختار پرشیب مجاور هم (چند گسل در کنار هم) بیشتر می باشد.



شکل ۳-۳: نحوه قرارگیری الکتروودها در آرایش شلومبرگر [38]

- ۴- این آرایش دارای عمق اکتشاف مناسب می باشد.
- ۵- حساسیت این روش به شبیب زیاد بوده و در نتیجه امکان شناسایی ساختارهای پرشیب (مثلًاً ناویدسها) بیشتر می باشد.
- ۶- یک آرایش دقیق و حساس، آرایشی است که قادر به شناسایی و تمایز بین چند آنومالی در اعماق مختلف باشد. در بین آرایشهای مختلف، آرایش شلومبرگر، که اصولاً برای عملیات سوندaz طراحی شده است، در هر دهه لگاریتمی (بطور معمول ۳ یا ۴ دهه) شش داده برداشت می کند. به همین دلیل، وضعیت زمین در اعماق مختلف را به خوبی مورد بررسی قرار داده و در نتیجه حساسیت زیادی نسبت به عمق نشان می دهد.
- ۷- آرایش شلومبرگر نسبت به تغییرات مقاومت ویژه جانبی کمتر حساس است و این امر باعث می شود که اثرات مقاومت ویژه سطحی روی اندازه گیری های مقاومت ویژه کمتر تأثیر بگذارد. موقعیت الکترودها در این آرایش، در هر مرحله از جابجایی، یک مقدار معین و مشخص می باشد که با رعایت شرایط زیر بدست می آید:
- ۱- مقدار فاصله  $MN$  باید بقدری باشد که  $\Delta V$  اندازه گیری شده در حد نویز دستگاه نباشد.
  - ۲- فاصله بین دو الکترود جریان باید بین  $5-5,0$  عمق اکتشاف تغییر نماید.
  - ۳- تعداد نقاط اندازه گیری شده در هر دهه لگاریتمی یکی باشد.
  - ۴- مجموع نقاط اندازه گیری شده باید حداقل  $2,5$  واحد لگاریتمی را پوشش دهد.
  - ۵- فاصله بین دو الکترود جریان باید حداقل  $2,5$  برابر فاصله بین دو الکترود پتانسیل باشد.
- ### ۳-۴-۱-۳ آرایش الکترودی نیم شلومبرگر متقارن
- در پژوهه مطالعات ژئالکتریکی زمین لغزش بزرگراه قزوین- رشت، آرایش نیم شلومبرگر متقارن جهت پروفیل زنی انتخاب شده بود. روش پروفیل زنی علاوه بر اکتشاف مواد معدنی، برای تشخیص همبری قائم، گسل و یا دایک نیز بخوبی بکار می رود.
- آرایش نیم شلومبرگر حالت خاصی از آرایش شلومبرگر است که در آن یکی از الکترودهای جریان در فاصله بی نهایت قرار می گیرد، هر چند لزومی ندارد که با سه الکترود دیگر در یک خط باشند. قرار دادن یک الکترود در بی نهایت بدین دلیل است که اثر آن بر روی الکترودهای دیگر بسیار کم باشد [39]. این آرایش در مورد اکتشاف گسل و دایک بخوبی جواب می دهد.

مطابق شکل ۳-۴، وقتی که الکترود جریان B در بی نهایت قرار می گیرد، الکترود های M و N در جلوی الکترود A واقع می شوند که به آن آرایش نیم شلومبرگر جلویی<sup>۱</sup> گویند و موقعی که الکترود جریان A در بی نهایت قرار می گیرد، الکترود های M و N در عقب الکترود B واقع می شوند که به آن آرایش نیم شلومبرگر عقبی<sup>۲</sup> گویند. در شکل ۳-۴-ج هر دو آرایش نیم شلومبرگر جلویی و عقبی را در یک شکل نشان می دهد. نقطه O در وسط MN واقع می باشد، در صورتی که الکترودهای A و B نسبت به نقطه O متقارن باشند به آن، دو آرایش متقارن نیم شلومبرگر می گویند [۲].



شکل ۳-۴ : نمایش دو آرایش متقارن نیم شلومبرگر [۲]

### ۳-۱-۵ تصحیح کلاچ<sup>۳</sup>

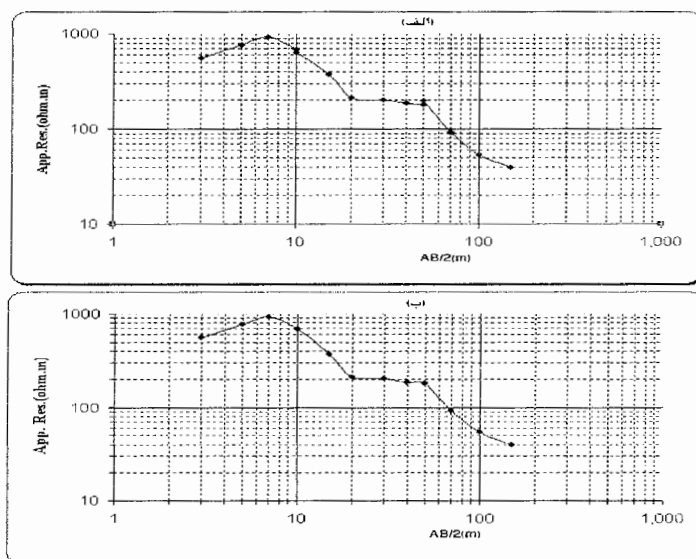
در سوندارز با آرایش شلومبرگر، با افزایش فاصله الکترودهای جریان، اختلاف پتانسیلی که قرائت می شود کوچکتر می شود. هر چند بار که الکترودهای جریان را جابجا می کنیم؛ باید الکترود های ولتاژ را نیز جابجا کنیم و برای یک فاصله الکترود جریان با دو MN متفاوت اختلاف پتانسیل قرائت می شود، یعنی برای یک عمق، دو داده برای  $\theta$  بدست می آید. با توجه به اینکه منحنی باید هموار باشد، پس منحنی باید تصحیح گردد (شکل ۳-۵).

<sup>1</sup>-Forward

<sup>2</sup>-Backward

<sup>3</sup>-Cluch

<sup>4</sup>-Smooth



شکل ۳-۵ : تصحیح کلاچ در آرایش شلومبرگر (الف) قبل از تصحیح (ب) بعد از تصحیح

نقاط بدست آمده از برداشت داده ها، بطور منحنی وار بهم وصل شده و حالت هموار خواهد داشت. چون نقاط مربوط به هر  $MN$  به هم وصل شده اند، منحنی از چند قطعه<sup>۱</sup> تشکیل می شود. این قطعات را بصورت هموار بهم وصل کرده و منحنی مناسبی برای تفسیر بدست آورد. در هر صورت، اساس کار وصل کردن قطعات مختلف منحنی با توجه به قاعده سمت راست است و معمولاً، آخرین نقطه قطعات سمت چپ را در نظر گرفته اما اولین نقطه قطعه سمت راست را در نظر نمی گیرند. نکته اینکه، در قسمت نزولی منحنی، برای یک فاصله  $AB$  معین، اگر  $\rho_a$  بدست آمده با  $MN$  بزرگتر، بزرگتر باشد از  $\rho_b$  بدست آمده با  $MN$  کوچکتر و در قسمت صعودی، برای یک فاصله  $AB$  معین، اگر  $\rho_a$  بدست آمده با  $MN$  بزرگتر، کوچکتر باشد از  $\rho_b$  بدست آمده با  $MN$  کوچکتر، ناهمگنی جانی مقاومت ویژه وجود ندارد ولی در صورت مشاهده تغییرات، ناهمگنی جانی وجود دارد و اختلاف مقاومت ویژه، نشان دهنده شدت میزان ناهمگنی است.

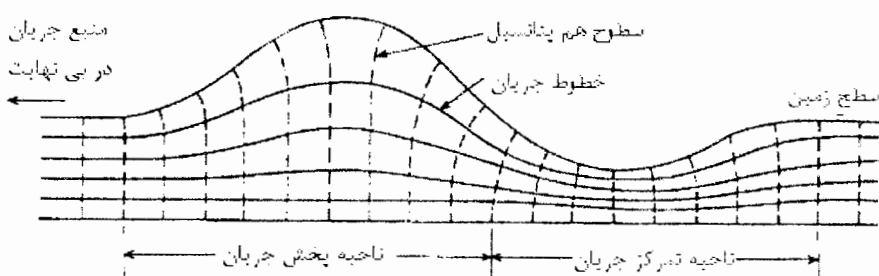
### ۳-۱-۶ اثرات توپوگرافی بر روی داده های مقاومت ویژه

برداشت های مقاومت ویژه، نقش مهمی در اکتشاف کانی ها، آب، مسائل مهندسی و ... دارند،

<sup>1</sup> Segment

چنین برداشت‌هایی معمولاً در نواحی کوهستانی یا مناطق دارای توپوگرافی سطحی انجام می‌گیرند. اثرات توپوگرافی می‌توانند باعث ایجاد آنومالی‌های گمراه کننده و یا باعث مخفی شدن آنومالی‌های واقعی شوند. لذا در ک این اثرات و حذف آنها هنگام تفسیر داده‌ها و تهیه مدل ضروری است [20]. همانگونه که تغییرات مقاومت ویژه، شکل خطوط جریان را تغییر داده و باعث آشافتگی در الگوی شارش جریان می‌شوند، تغییرات توپوگرافی سطحی نیز باعث ایجاد آشافتگی‌هایی در شکل خطوط جریان و پتانسیل می‌شوند. شکل ۳-۶، اثر توپوگرافی روی خطوط جریان و سطوح هم پتانسیل در یک زمین همگن را نشان می‌دهد، که خطوط جریان در زیر یک تپه واگرا و در زیر یک دره همگرا می‌شوند، در نتیجه باعث انحراف خطوط هم پتانسیل، که عمود بر خطوط جریان هستند، می‌گردد و در نتیجه در زیر نواحی دارای توپوگرافی، مقاومت ویژه متفاوتی را نسبت به یک زمین تخت ایجاد می‌کنند. به این ترتیب، ناهمواری‌های سطحی می‌توانند باعث ایجاد آنومالی‌های کاذب شده و یا باعث اختفای آنومالی‌های واقعی موجود در منطقه گردند. بنابراین اگر در تفسیر داده‌های مقاومت ویژه از اثر توپوگرافی روی داده‌ها چشم پوشی شود، آنومالی مقاومت ویژه ظاهری ایجاد شده بوسیله ناهمواری‌های سطحی را به یک ناهمگنی زیرسطحی نسبت خواهیم داد و یا به وجود برخی از ناهمگنی‌های موجود در زیر سطح بی نخواهیم برد. پس برای دوری از اشتباه در تفسیر باید اثرات ناشی از توپوگرافی سطحی در نظر گرفته شود [20].

در سال ۱۹۷۷، فاکس و هاگمن و... یک الگوریتم اجزاء محدود دوبعدی را برای بررسی اثرات توپوگرافی بررسی کردند و نیز روشی را برای تصحیح اثر توپوگرافی از روی داده‌های مقاومت ویژه ارائه دادند که اساس روش تصحیح آنها بصورت محاسبه فاکتورهای تصحیح بوسیله برنامه اجزاء محدود دوبعدی برای یک زمین همگن و اعمال آنها در مقادیر مقاومت ویژه ظاهری است [20].



شکل ۳-۶: تاثیر توپوگرافی روی خطوط جریان و پتانسیل [20]

### ۳-۱-۷ اصل هم ارزی یا برابری<sup>۱</sup>

به منظور تفکیک یک لایه مشخص، نسبت عمق به ضخامت آن ( $d/z$ ) باید از مقدار معینی که بین ۴ تا ۲۰ متغیر است، کوچکتر باشد. عموماً برای تشخیص یک لایه، ضخامت آن باید بیشتر ۰/۱ عمق آن باشد و اگر  $d_n < z_n$  باشد، ابهام در تفسیر ژئالکتریکی وجود دارد. برای رفع ابهام و رسیدن به تفسیر دقیق تر، از اصل هم ارزی بهره می برند. اصل هم ارزی برای دو حالت زیر وجود دارد [40]:

۱- حالتی که لایه نازک  $n$  ام، رساناتر از لایه های مجاورش باشد: در این حالت، جریان الکتریسته تمایل دارد که در لایه نازک متتمرکز گردد و موازی با این لایه قرار گیرد. بنابراین در این حالت از اصطلاح قابلیت هدایت افقی<sup>۲</sup> و یا هدایت کلی<sup>۳</sup> (S) استفاده می شود که در آن برای مقادیر مختلف ضخامت و مقاومت ویژه، نسبت ضخامت به مقاومت ویژه لایه  $n$  ( $S_n = d_n / \rho_n$ ) یکسان باشد، از نظر الکتریکی هم ارز یا برابر می باشد. لذا تشخیص آنها از یکدیگر امکانپذیر نمی باشد.

۲- حالتی که لایه نازک  $n$  ام، بین لایه های رساناتر از خود قرار گیرد: در این حالت، جریان الکتریسته تمایل دارد که از جریان یافتن در چنین لایه ای دوری جوید و کوتاهترین مسیر را بطرف لایه زیری انتخاب می کند، لذا خطوط جریان تقریباً عمود بر لایه قرار خواهند گرفت. بنابراین در این حالت از اصطلاح مقاومت عرضی<sup>۴</sup> (R) استفاده می شود که در آن برای مقادیر مختلف ضخامت و مقاومت ویژه، حاصلضرب ضخامت در مقاومت ویژه لایه  $n$  ( $R_n = \rho_n \cdot d_n$ ) یکسان باشد، از نظر الکتریکی هم ارز یا برابر می باشند و محاسبه  $d_n$  و  $\rho_n$  مربوط به آنها بطور جداگانه امکانپذیر نمی باشد [33].

بنابراین با تفسیر داده های سونداس، مقادیر R و S بدست می آیند نه  $d$  و  $\rho$ ، و این حل منحصر بفرد نیست. مثلاً دو لایه دارای R مساوی ممکن است دارای ترکیب متفاوتی از ضخامت و مقاومت ویژه باشند و همینطور هم برای دولایه با S مساوی ممکن است چنین شرایطی موجود باشد. از این رو در تخمین مقاومت و ضخامت لایه ها هنگام تفسیر، جوابها دارای ابهام می باشند. برای بدست آوردن یک جواب واحد، مقاومت ویژه این لایه نازک را باید از سایر روشها مثل نمودارهای چاه پیمایی تعیین کرد، این مسئله، اصل هم ارزی گفته می شود [40].

<sup>۱</sup> - Principle of Equivalence

<sup>۲</sup> - Horizon Conductivity

<sup>۳</sup> - Total Conductance

<sup>۴</sup> - Transverse Resistance

### ۸-۱-۳ تفسیر کیفی و کمی داده های صحرایی

هدف از تفسیر داده های سوندazer الکتریکی، بدست آوردن یک تصویر یا مدل ژئوالکتریکی قابل قبول و منطقی است که با نتایج مطالعات زمین شناسی و هیدرولوژی مطابقت داشته باشد. در ابتدا لازم است برای بدست آوردن یک تصویر عمومی از منطقه، تفسیر بصورت کیفی انجام پذیرد. در تفسیر کیفی، تغییرات مقاومت ویژه ظاهری و مقاطع ظاهری مورد ارزیابی قرار می گیرند. برای بدست آوردن مدل واقعی از زمین، تفسیر باید بصورت کمی انجام گیرد. در تفسیر کمی از داده های خام (مقاومت ویژه های ظاهری)، یکسری از پارامترهای فیزیکی مانند مقاومت ویژه واقعی و ضخامت لایه ها معین می شوند. برای کاملتر کردن تفسیر، باید نتایج حاصله را با سایر داده های حاصل از زمین شناسی و یا اطلاعات بدست آمده از حفاری چاه ها در مناطق اطراف تلفیق نمود [۱۲].

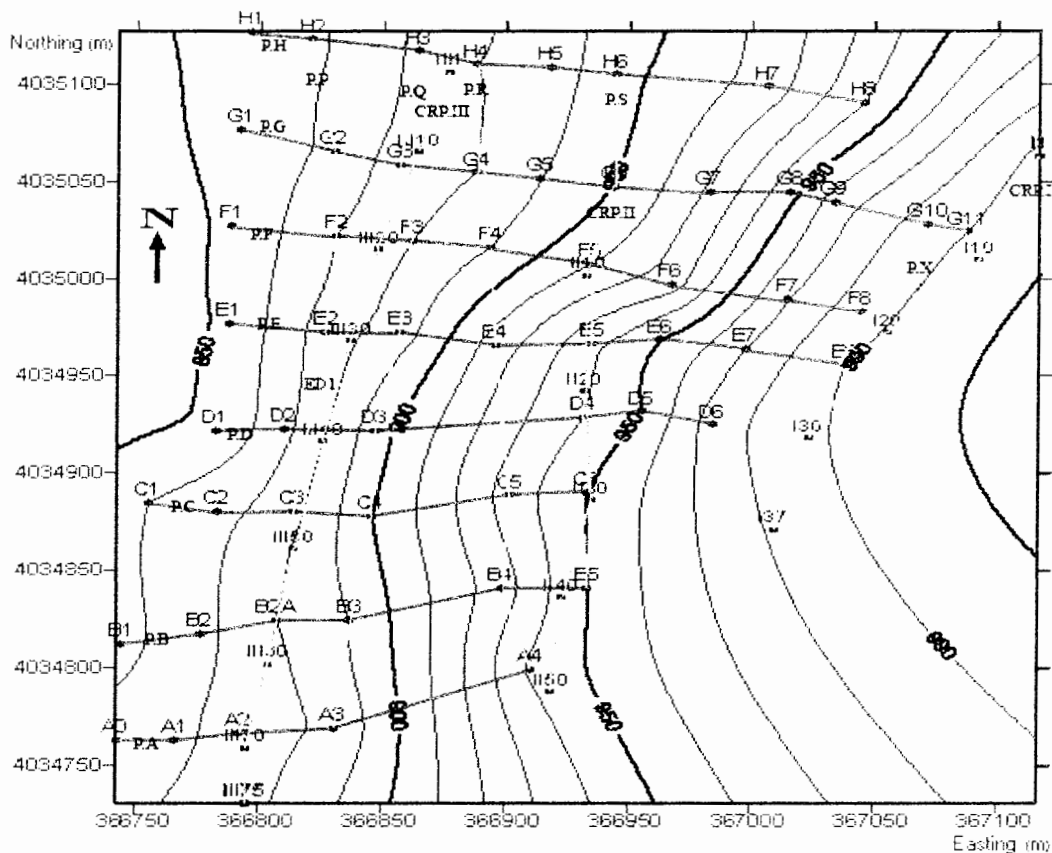
تفسیر کیفی داده های مقاومت ویژه در ادامه این فصل و تفسیر کمی داده های مقاومت ویژه منطقه مورد مطالعه با استفاده از مدلسازی معکوس یک بعدی و دو بعدی در فصل ۴ ارائه می شوند.

### ۲-۳ داده های اندازه گیری شده

در محدوده زمین لغزش مورد مطالعه در بزرگراه قزوین-رشت، تعداد ۶۰ سوندazer مقاومت ویژه الکتریکی با استفاده از آرایش شلومبرگر و تعداد ۳ پروفیل داده های مقاومت ویژه به روش CRP (آرایش نیم شلومبرگر متقارن) با استفاده از امکانات و تجهیزات شرکت مهندسین مشاور زمین فیزیک در تیر ماه ۱۳۸۵ اجرا شد. وسعت محدوده برداشت داده ها دارای حداقل ۳۷۰ متر عرض در پهنهای توده لغزشی و ۳۸۰ متر طول در طول توده لغزشی می باشد. توپوگرافی تقریبی و موقعیت پروفیلهای CRP و سوندazerها و پروفیلهای آنها در شکل ۷-۳ نشان داده شده است. مختصات جغرافیایی سوندazerها و پروفیلهای ارتفاع محل آنها در پیوست ب ارائه شده است.

### ۱-۲-۳ پروفیلهای CRP

بعلت نبود چاه های اکتشافی جهت کنترل نتایج داده های اندازه گیری شده، پروفیل زنی داده های مقاومت ویژه به روش CRP، برای کسب اطلاعاتی درباره گسل ها و ناپیوستگی های زیرسطحی و



شکل ۳-۷: موقعیت سوندزها و پروفیل ها در روی نقشه توپوگرافی منطقه لغزشی

(خطوط آبی: پروفیلهای حلوی؛

نیز نحوه تغییرات جانبی مقاومت ویژه در عمق معین در طول پروفیل، انجام شد.

در پروژه حاضر، پروفیل زنی به روش CRP، بصورت ترکیبی از آرایش های نیم شلومبرگ جلویی و نیم شلومبرگ عقبی (نیم شلومبرگ متقارن)، بطور متقارن نسبت به نقطه O در طول ۳ خط پروفیل استفاده شده است. نقطه O واقع بر وسط الکترودهای پتانسیل می باشد. در این روش برای هر ایستگاه اندازه گیری در طول پروفیل، برای فاصله الکترودی جریان یعنی OA برابر با ۲۰، ۳۰ و ۵۰ متر و فاصله الکترودهای پتانسیل برابر ۱۰ متر بطور ثابت، داده های مقاومت ویژه هر بار بطور متقارن نسبت به نقطه O قرائت شد. در طول تمام پروفیل ها، فاصله بین ایستگاه های اندازه گیری برابر ۵ متر است. لازم به ذکر است که در برداشت های نیم شلومبرگ متقارن، الکترود بی نهایت عمود بر راستای گسترش الکترودها قرار داشت. داده های اندازه گیری شده پروفیل های CRP در پیوست پ آمده است. مشخصات پروفیلهای CRP بصورت زیر است:

- **پروفیل CRP.I** : این پروفیل در قسمت شرقی منطقه لغزشی و در ارتفاع بالاتری نسبت به دو پروفیل دیگر قرار دارد. طول پروفیل ۱۸۰ متر و جهت پروفیل شمال شرقی-جنوب غربی است.
- **پروفیل CRP.II** : این پروفیل در قسمت مرکزی منطقه لغزشی قرار دارد و درازای پروفیل ۲۴۵ متر و جهت پروفیل بصورت شمالی-جنوبی می باشد.
- **پروفیل CRP.III** : این پروفیل در قسمت غربی منطقه لغزشی و در ارتفاع پائین تری نسبت به پروفیل های دیگر قرار دارد. طول پروفیل ۳۷۰ متر و جهت پروفیل، تقریباً شمالی-جنوبی است.

### ۲-۲-۳ پروفیل های طولی و عرضی سوندازها

در سونداز زنی با آرایش شلومبرگر، برای هر سونداز بطور متوسط ۱۵ داده مقاومت ویژه، با حداقل فاصله الکترود جریان  $AB = 6$  متر و حداکثر  $AB = 300$  متر اندازه گیری و قرائت شد. فاصله بین مراکز سونداز حداقل ۱۸ متر و حداکثر ۹۰ متر و بطور متوسط ۳۵ متر می باشد.

برای مطالعه ژئالکتریکی منطقه لغزشی، تعداد ۶۰ سونداز داده های مقاومت ویژه با استفاده از آرایش شلومبرگر در ۸ پروفیل طولی بصورت شرقی-غربی در طول توده و ۵ پروفیل عرضی بصورت تقریباً شمالی-جنوبی در پهنهای توده لغزشی برداشت شده اند. نحوه گسترش طولی الکترودهای آرایش شلومبرگر در سوندازها بصورت شمالی-جنوبی است. بدليل کوهستانی بودن منطقه و شرایط ناپایدار شیب، امکان گسترش طولی الکترودها بصورت شرقی-غربی میسر نبود. داده های اندازه گیری شده برای سوندازها در پیوست تاریخ شده است. مشخصات پروفیلهای در جدول ۲-۳ ارائه شده است.

### ۳-۳ تفسیر کیفی داده های پروفیل زنی CRP

در پروفیل زنی، با آرایش ثابت و فواصل الکترودی یکسان و ثابت اندازه گیری ها در طول خط پروفیل انجام می شوند. در پروفیل زنی، داده ها به یک عمق ثابت اشاره می کند، که البته همیشه اینگونه نیست، چون عوامل مختلفی عمق نفوذ را تحت تأثیر قرار می دهد، ولی در اینجا فرض می کنیم فاصله الکترودی ثابت به یک عمق ثابت اشاره می کند. در تفسیر داده های پروفیل زنی، شکل پروفیل را در نظر می گیریم، اگر تغییرات مقاومت ویژه شدید باشد، محور قائم را لگاریتمی در نظر می گیریم تا از تغییرات کوچک در طول خط پروفیل صرفنظر نمائیم تا روند کلی تغییرات مشخص باشد.

جدول ۲-۳ : مشخصات پروفیل های سوندراشها

نام پروفیل	امتداد پروفیل	طول پروفیل	تعداد سوندراش های پروفیل	فاصله بین سوندراشها	اختلاف ارتفاع	توبوگرافی
A طولی	شرقی - غربی	۱۷۰ متر	۵ سوندراش A0 تا A4	متغیر بین ۲۰ تا ۹۰ متر	۷۸ متر	
B طولی	شرقی - غربی	۱۸۰ متر	۶ سوندراش B1-B5	متغیر بین ۲۵ تا ۶۰ متر	۹۳ متر	
C طولی	شرقی - غربی	۱۸۰ متر	۶ سوندراش C1 تا C6	متغیر بین ۲۵ تا ۶۵ متر	۹۰ متر	
D طولی	شرقی - غربی	۲۰۵ متر	۶ سوندراش D1 تا D6	متغیر بین ۲۰ تا ۸۵ متر	۱۲۳ متر	
E طولی	شرقی - غربی	۲۵۵ متر	۸ سوندراش E1 تا E8	متغیر بین ۲۵ تا ۴۵ متر	۱۳۸ متر	
F طولی	شرقی - غربی	۲۶۰ متر	۸ سوندراش F1 تا F8	متغیر بین ۲۵ تا ۴۰ متر	۱۳۳ متر	
G طولی	شرقی - غربی	۳۰۰ متر	۱۱ سوندراش G1 تا G11	بطور متوسط ۳۰ متر	۱۲۵ متر	
H طولی	شرقی - غربی	۲۵۰ متر	۸ سوندراش H1 تا H8	متغیر بین ۲۵ تا ۴۰ متر	۸۵ متر	
P عرضی	شمالی - جنوبی	۳۶۵ متر	۸ سوندراش A2, B2a, C3, F2, E2, ED1	متغیر بین ۲۵ تا ۷۰ متر	۲۲ متر	
Q عرضی	شمالی - جنوبی	۳۵۰ متر	۸ سوندراش A3, B3, C4, D3, E3, F3, G3	متغیر بین ۴۰ تا ۶۰ متر	۲۸ متر	
R عرضی	شمالی - جنوبی	۳۱۰ متر	۷ سوندراش A4, B4, C5, D4, E4, F4, G4	متغیر بین ۳۵ تا ۶۰ متر	۶۲ متر	
S عرضی	شمالی - جنوبی	۲۶۵ متر	۷ سوندراش B5, C6, D5, E5, F5, G6, H6	متغیر بین ۴۰ تا ۵۵ متر	۵۳ متر	
X عرضی	- شمال شرقی - جنوب غربی	۸۸ متر	۳ سوندراش E8, F8, G11	بین ۲۸ متر : E8 و F8 بین ۶۰ متر : F8 و G11	۵ متر	

در تفسیر کیفی، معادلات مربوط به مقاومت ویژه الکتریکی بسیار ساده است و خیلی نیاز به فیلتر و پردازش ندارد و می توان از روی بالا و پائین رفتن منحنی مقاومت ویژه، بطور کیفی آنرا تفسیر کرد. البته باید توجه داشت که نباید نویز وجود داشته باشد.

جهت تفسیر کیفی داده های پروفیل زنی و بررسی نحوه تغییرات مقاومت ویژه ظاهری در طول پروفیل، نمودارهای تغییرات مقاومت ویژه ظاهری بر حسب طول پروفیل، با استفاده از نرم افزار EXCEL، بطور جداگانه برای هر پروفیل رسم شده اند. نمودارهای تغییرات مقاومت ویژه ظاهری در پیوست ث آمده است. برای رسم شبه مقطع قائم مقاومت ویژه با استفاده از آرایش نیم شلومبرگر متقارن، میانگین مقادیر اندازه گیری شده حاصل از نیم شلومبرگر جلویی و عقبی در زیر هر ایستگاه برای عمق AO/2 در نظر گرفته می شود و نتایج برای ایستگاه های متوالی در طول پروفیل، با نرم افزار SURFER کانتور و مورد بررسی و تفسیر کیفی قرار می گیرند [۲]. شبه مقاطع قائم مقاومت ویژه ظاهری برای هر سه پروفیل CRP در پیوست ث آمده است.

### ۱-۳-۳ پروفیل CRP.I

بدلیل اینکه پروفیل I بر روی واریزه های دانه درشت، اغلب از جنس داسیت، واقع است، مقاومت ویژه بالایی در اندازه گیری ها بدست آمده اند (۷۰۰ تا ۳۰۰۰ اهم متر). نمودارهای تغییرات جانبی مقاومت ویژه ظاهری در این پروفیل برای فاصله AO برابر ۳۰ متر در شکل ۸-۳ و برای فواصل دیگر، در پیوست ث نشان داده شده است. هر سه نمودار پروفیل، مقاومت ویژه بالایی نشان می دهند و از لحاظ تغییرات مقاومت ویژه ظاهری، روند تقریباً مشابهی دارند. علت مقاومت ویژه بالا در بعضی نواحی، وجود واریزه های دانه درشت و بلوكی می باشد و در بعضی قسمتها که مقاومت ویژه پائین بعلت اندازه دانه هایی است که از متوسط تا درشت متغیر است.

در پروفیل I برای  $AO=20$  متر، می توان از ابتدا تا ۴۳ متری پروفیل را زون با مقاومت ویژه بالا (۱۰۰۰ تا ۲۰۰۰ اهم متر) و از فاصله ۴۳ تا ۹۷ متری با مقاومت ویژه کمتر از ۱۰۰۰ اهم متر را زون رساناتر پروفیل و از فاصله ۹۷ متر تا انتهای را زون با مقاومت ویژه بالا (۱۰۰۰ تا ۳۰۰۰ اهم متر) در نظر گرفت. موارد فوق عیناً برای  $AO=30$  متر نیز صادق است. برای نمودار مربوط به  $AO=50$  متر، از ابتدای پروفیل تا فاصله ۱۱۵ متری، زون با مقاومت ویژه متوسط (۱۰۰۰ اهم متر) مشاهده می شود ولی برای نیمه انتهایی پروفیل، مقاومت ویژه به حدود ۲۰۰۰ اهم متر می رسد.

نایپیوستگی ها یا گسل های موجود در پروفیل CRP.I عبارتند از:

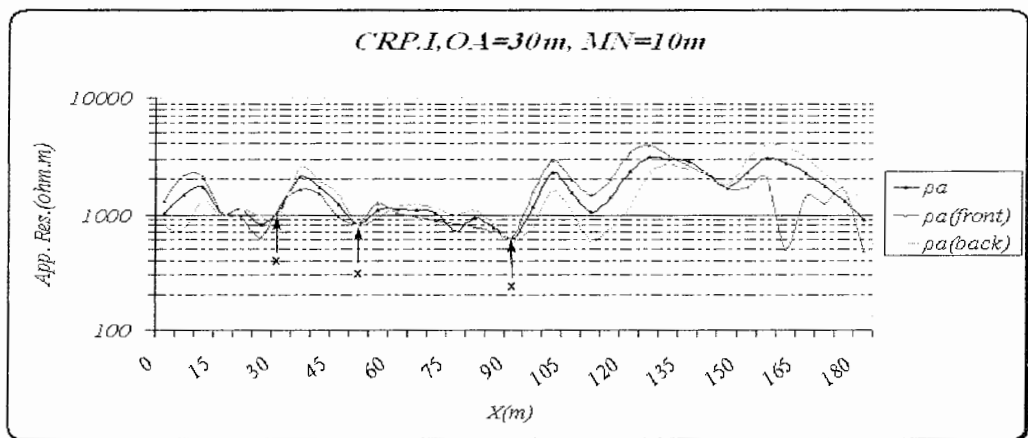
« نمودار  $AO=20$  متر: در فاصله ۹۰ متری.

« نمودار  $AO=30$  متر: در فواصل ۲۸، ۵۰ و ۹۰ متری.

« نمودار  $AO=50$  متر: در فاصله ۸ متری.

نایپیوستگی یا گسل واقع در ۹۰ متری نمودارهای ۳۰ و  $AO=20$  متر در نمودار سوم مشاهده نمی شود که دلیلی بر سطحی بودن نایپیوستگی یا گسل احتمالی است.

شبه مقطع قائم مقاومت ویژه الکتریکی این پروفیل در شکل ث-۳ پیوست ث نشان داده شده است. همانطور که مشاهده می شود، در ۴۰ متر ابتدای پروفیل و نیز در فاصله بین ۱۰۰ تا ۱۸۰ متری تغییرات جانبی مقاومت ویژه وجود دارد که در فواصل انتهایی شدت بیشتری دارد، بنابراین در این نواحی با نایپیوستگی مواجه می باشیم؛ از این رو لازم است تا بررسی های بیشتری صورت پذیرد.



شکل ۳-۸: نمودارهای تغییرات مقاومت ویژه ظاهری پروفیل CRP.I برای فاصله الکترودهای جریان OA=30m

### ۲-۳-۳ پروفیل CRP.II

نمودارهای تغییرات جانبی مقاومت ویژه ظاهری در این پروفیل در شکلهای ۹-۳ و ۷-۴ و ۷-

۵ پیوست ۷ رسم شده است. هر سه نمودار روند تقریباً مشابهی از نظر تغییرات مقاومت ویژه ظاهری دارند. مقاومت ویژه ظاهری در طول پروفیل ها بین ۳۰۰۰ تا ۶۰۰ اهم متر تغییر می کند و از ابتداء به طرف انتهای پروفیل، با چشم پوشی از استثناء ها، افزایش محسوسی را نشان می دهد، هر چند که با افزایش AO، مقاومت ویژه کاهش می یابد که یکی از دلایل آن را هوازدگی سنگهای سطحی لحاظ کرد. می توان این پروفیل را در تمامی نمودارها به دو ناحیه تقسیم کرد که در آن از ابتدای پروفیل تا ۱۲۰ متری را زون با مقاومت ویژه پائین، بدلیل واریزه های دانه ریز تا دانه درشت، و بعد از فاصله ۱۲۰ متری را زون با مقاومت ویژه بالا، بدلیل واریزه های دانه درشت و بلوکی در نظر گرفت.

ناپیوستگی ها یا گسل های موجود در پروفیل CRP.II عبارتند از:

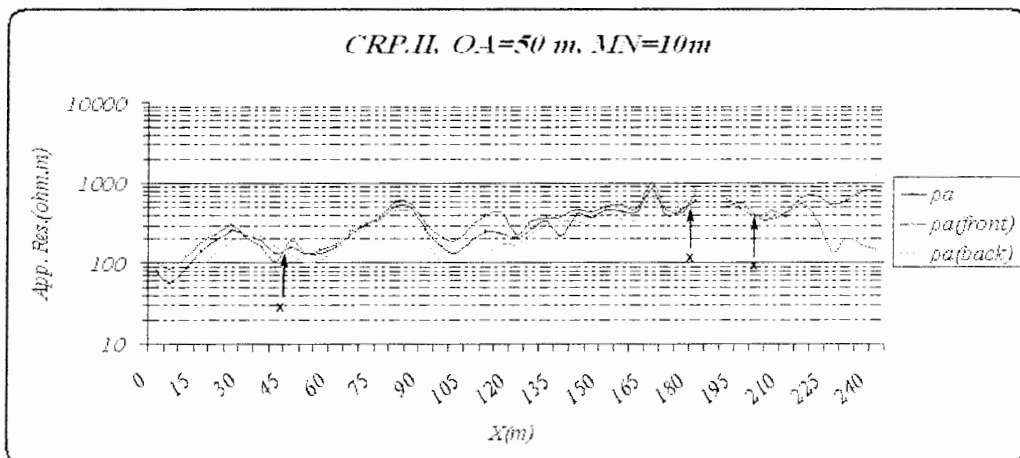
« نمودار AO=۲۰ متر: در فواصل ۲، ۳۲، ۱۰۰ و ۱۹۷ متری.

« نمودار AO=۳۰ متر: در فواصل ۲۸، ۹۳، ۲۰۴ و ۲۲۷ متری.

« نمودار AO=۵۰ متر: در فواصل ۴۳، ۱۷۸ و ۱۹۹ متری.

ناپیوستگی یا گسلی که در فاصله تقریبی ۲۰۰ متر در هر سه نمودار مشاهده می شوند نشانگر ناپیوستگی یا گسلی است که از سطح زمین تا عمق پائین تر ادامه دارد ولی ناپیوستگی یا گسلی که در نمودارهای مربوط به AO برابر ۲۰ و ۳۰ متر به ترتیب در فواصل ۱۰۰ و ۹۳ متر دیده می شوند و

اثری از آن در نمودار سوم دیده نمی شود دلیلی بر سطحی بودن آن است. شبه مقطع قائم مقاومت ویژه الکتریکی در شکل ۳-۶ پیوست ث نشان داده شده است. همانطور که مشاهده می شود، در فاصله ۱۳۰ تا ۲۴۰ متری با تغییرات شدید لایه بندی مواجه هستم و از سطح به عمق زمین، مقاومت ویژه کاهش می یابد و همچنین تغییرات جانبی مقاومت ویژه در فاصله ۱۲۰ متری ابتدای پروفیل مشاهده می شود. بنابراین در این ناحیه نیز در فواصل ۲۰، ۶۵ و ۱۰۵ متری پروفیل، ناپیوستگی داریم. بنابراین برای بررسی دقیق، نیاز به تفسیر کمی با مدلسازی معکوس دو بعدی می باشد.



شکل ۳-۹: نمودارهای تغییرات مقاومت ویژه ظاهری پروفیل CRP.II برای فاصله الکترودهای جریان OA=50m

### ۳-۳-۳ پروفیل CRP.III

نمودارهای تغییرات جانبی مقاومت ویژه ظاهری در این پروفیل در شکلهای ۱۰-۳ و ۷-۸ پیوست ث رسم شده اند. بدليل اينكه اين پروفيل بر روی واریزه های غالباً دانه ریز واقع است، دارای مقاومت ویژه پائین (۲۰۰ تا ۲۰۰ اهم متر) می باشند و هر سه نمودار از لحاظ تغییرات مقاومت ویژه ظاهری، روند تقریباً مشابهی دارند، هر چند که با افزایش AO، مقاومت ویژه کاهش می یابند. بطور کلی، در تمامی نمودارها، می توان ۱۴۰ متر ابتدای پروفیل را زون با مقاومت ویژه بالا، فاصله ۱۴۰ تا ۲۶۰ متر را زون رسانا و از ۲۶۰ تا ۳۰۰ متری را زون با مقاومت ویژه متوسط و از فاصله ۳۰۰ متر تا انتهای پروفیل را زون با مقاومت ویژه بالا در نظر گرفت.

ناپیوستگی ها یا گسل های موجود در پروفیل CRP.III عبارتند از:

« نمودار  $AO=20$  متر: در فواصل ۲۳، ۴۵، ۷۲، ۸۴، ۱۷۰، ۲۴۸، ۲۶۰، ۳۴۴ متری.

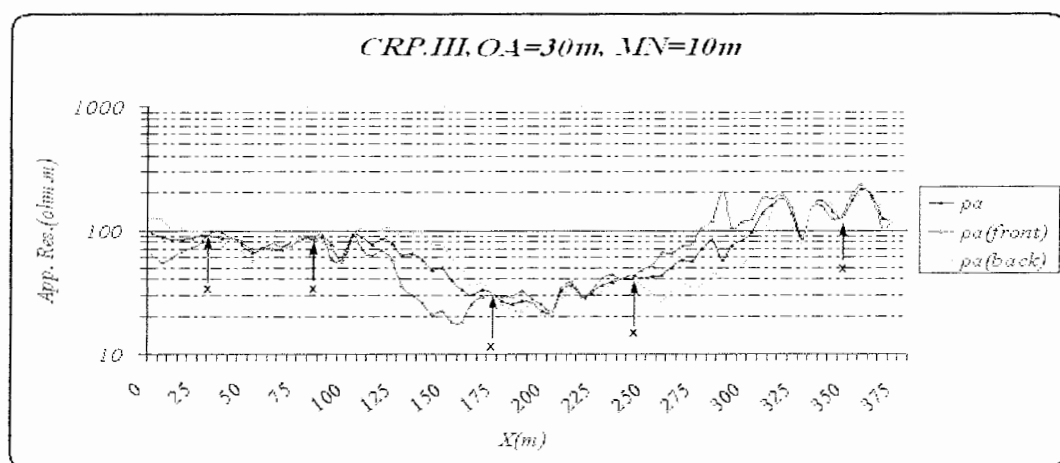
« نمودار  $AO=30$  متر: در فواصل ۲۸، ۸۰، ۱۷۰، ۲۴۰ و ۳۴۴ متری.

« نمودار  $AO=50$  متر: در فواصل ۲۳، ۳۳، ۴۵، ۹۳ و ۱۸۲ متری.

در ابتدای پروفیل، در فاصله ۲۰ تا ۴۵ متری هر سه نمودار عملکرد گسلهای را نشان می دهند که حاکی از گسترش عمقی ناپیوستگی احتمالی می باشد و همچنین وجود ناپیوستگی ها یا گسل های مشابهی را در فاصله تقریبی ۸۰ و ۱۷۰ متری در هر سه نمودار مشاهده می شوند که در این موارد نیز این گسلها از سطح زمین تا عمق بیشتر ادامه دارند. اما ناپیوستگی یا گسلی که در فاصله تقریبی ۲۴۰ متری در نمودارهای مربوط به ۳۰ و  $AO=20$  متر دیده می شود در نمودار انتهایی مشاهده نمی شود که دلیلی بر سطحی بودن آن می باشد.

شبیه مقطع قائم مقاومت ویژه الکتریکی در شکل ۳-۹ پیوست ث نشان داده شده است.

همانطور که مشاهده می شود، در فاصله ۱۳۰ متری ابتدای پروفیل با تغییرات شدید لایه بندی مواجه هستیم و از سطح به عمق زمین، مقاومت ویژه کاهش می یابد و همچنین بعلت تغییرات جانبی مقاومت ویژه بین ایستگاه های ۲۵ تا ۳۵، ناپیوستگی یا گسل مشاهده می شود. در فاصله بین ۲۸۰ متری تا انتهای پروفیل، تغییرات جانبی شدید مقاومت ویژه وجود دارد، بنابراین در این ناحیه نیز با ناپیوستگی مواجه هستیم. بنابراین برای بررسی دقیق نیاز به تفسیر کمی با مدلسازی معکوس است.



شکل ۳-۱۰: نمودارهای تغییرات مقاومت ویژه ظاهری پروفیل CRP.III برای فاصله الکترودهای جریان  $OA=30m$

آنچه که از مطالعه سه پروفیل CRP مذکور نتیجه می شود این است که می توان از تغییرات جانبی مقاومت ویژه پروفیل مورد نظر و یا از وجود ناپیوستگی ها یا گسل های احتمالی و میان لایه های واقع در زیر سطح، در بررسی کیفی سوندazerها و شبه مقاطع آنها و همچنین در تفسیر کمی دو بعدی مقاطع استفاده کرد. لازم به ذکر است که ناپیوستگی ها یا گسل های احتمالی مذکور، ممکن است میان لایه های واقع در زیر سطح باشد و بصورت ناپیوستگی یا گسل نباشد.

#### ۴-۳ تفسیر کیفی داده های سوندazer الکتریکی

آنچه که در تفسیر کیفی یک منحنی سوندazer الکتریکی مورد توجه قرار می گیرد، نقاط ماکزیمم و مینیمم در روی این منحنی ها است. وجود هر ماکزیمم یا مینیمم برای طبقات افقی می تواند معرف وجود یک لایه با مقاومت ویژه متفاوت باشد. البته باید در نظر داشت که این قاعده کلی نیست و برای اینکه یک لایه بتواند خود را روی منحنی نشان دهد باید دارای ضخامت کافی و اختلاف مقاومت ویژه مناسب با طبقات مجاورش باشد. مسئله قابل اهمیت در این مورد، شناخت منحنی های سوندazer الکتریکی برای ساختارهای مختلف است.

جهت تفسیر کیفی داده ها و بررسی نحوه تغییرات مقاومت ویژه ظاهري، نمودار تغییرات مقاومت ویژه ظاهري بر حسب نصف فاصله الکترودهای جريان (AB/2) برای سوندazerهای واقع در هر پروفیل (طولی و عرضی) با استفاده از نرم افزار EXCEL، بعد از اعمال تصحیح کلاچ رسم شده اند. شکل های مربوط به نمودارهای هر پروفیل در بخش تفسیر کیفی همان پروفیل نشان داده شده اند. در پروفیل های طولی، با بررسی تمام نمودارهای تغییرات مقاومت ویژه، می توان گفت که اکثراً در فاصله (AB/2) کمتر از ۳۰ متر، مقاومت ویژه ظاهري سوندazerهای واقع در پروفیلهای، بدون در نظر گرفتن چند مورد استثناء، از سوندazerهای ابتدای پروفیل به طرف سوندazerهای انتهایی پروفیل روند افزایشی دارند. همچنین در پروفیل های عرضی با مقایسه نمودارهای تغییرات مقاومت ویژه، مشاهده می شود که سوندazerهای پروفیل P، در قسمت پائین منطقه لغزشی، مقاومت ویژه پائینی نسبت پروفیل های عرضی دیگر دارد و با افزایش ارتفاع، مقاومت ویژه سوندazerهای پروفیل ها نیز افزایش می یابد. تغییرات مقاومت ویژه فوق الذکر می تواند مربوط به وجود رطوبت و واریزه های دانه ریز تا دانه

متوسط با مقاومت ویژه پائین در بخش پائینی منطقه لغزشی و واریزه های دامنه ای شامل بلوکها و مواد دانه درشت حاصل از ریزش از ارتفاعات بالاتر و غالباً از جنس داسیت با مقاومت ویژه بالا در پروفیلهای واقع در بخش مرکزی و بالایی می باشند. در نمودارهای تغییرات مقاومت ویژه، اختلاف زیاد مقاومت ویژه ظاهری یک سونداز نسبت به سوندازهای دیگر می تواند بعلت وجود ناپیوستگی ها و ناهمگنی های جانبی ناشی از وجود گسل، بیرون زدگی، اثر چین خوردگی، وجود آب در لایه های زیرین و یا تغییرات لیتولوزی باشد که بررسی کمی و نتایج مدلسازی معکوس علت اختلاف زیاد مقاومت ویژه ظاهری را بطور دقیق مشخص خواهد کرد. پس برای بررسی دقیق تر گسترش لایه بندی و گسلهای موجود، نیاز به تفسیر کمی با مدلسازی معکوس برای کلیه پروفیل ها می باشد.

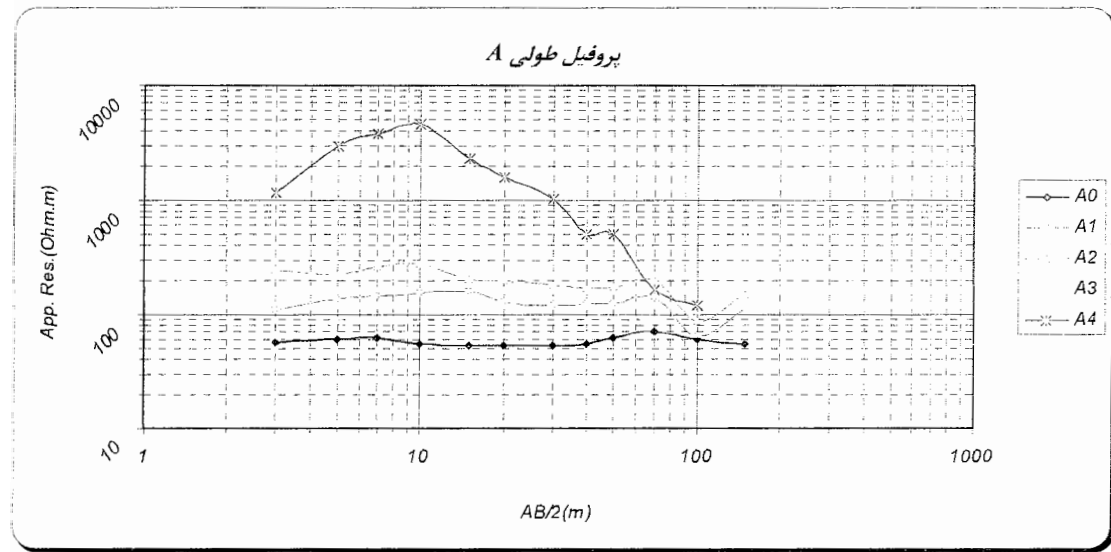
با استفاده از سوندازهای تصحیح شده توسط روش کلاچ، شبه مقطع قائم مقاومت ویژه برای پروفیل های مورد نظر تهیه شده اند. برای رسم شبه مقطع قائم با استفاده از آرایش شلومبرگر، مقادیر اندازه گیری شده حاصل از این آرایش در زیر هر ایستگاه برای عمق  $AB/4$  در نظر گرفته می شوند و نتایج برای مراکز سوندازهای متوالی در طول پروفیل، با نرم افزار SURFER کانتور و مورد بررسی و تفسیر کیفی قرار می گیرند. شکلهای مربوط به شبه مقاطع تمامی پروفیلهای در پیوست ج آمده است. در این شکل ها، محور قائم، ارتفاع از سطح تراز دریا ( $H(m)$  و محور افقی، طول پروفیل ( $X(m)$  می باشد و شبه مقاطع به گونه ایی رسم شده اند که تغییرات توپوگرافی را در طول پروفیل نشان دهند.

### ۱-۴-۳ پروفیل طولی A

همانگونه که از نمودار تغییرات مقاومت ویژه بر حسب نصف فاصله الکترودهای جریان (AB/2) (شکل ۱۱-۳) مشاهده می گردد، کلیه سوندازها، به غیر از سونداز A4، روندی شبیه به هم دارند. علت پائین بودن مقاومت ویژه ظاهری سونداز A0 می تواند مربوط به اندازه گیری آن بر روی سنگهای آذرین نفوذی (برش آتشفشاری) رخنمون دار با مقاومت ویژه پائین و نیز رطوبت موجود در این سنگها باشد که در دامنه کوه قرار گرفته اند. در فاصله بین سونداز های A1 تا A3 رخنمون های سنگ بستر سیلیسی مشاهده می شود که می تواند دال بر نزدیک بودن مقدار مقاومت ویژه این سوندازها باشد. در کلیه سوندازها، مقاومت ویژه نزدیک سطح زمین بعلت هوازدگی و خشک بودن و نیز وجود واریزه های دامنه ای، بالاتر از مقاومت ویژه اعمق پائین تر است. در سونداز A4 تا وقتیکه فاصله

(AB/2) به ۵۰ متر می رسد مقاومت ویژه بالا می باشد که می تواند مربوط به سنگ بکر داسیت باشد. در فاصله (AB/2) بیش از ۵۰ متر، مقاومت ویژه ظاهری سوندازها تقریباً نزدیک بهم بوده که می تواند دلیلی بر همجنس بودن سنگهای اعمق پائین تر کلیه سوندازها باشد. با توجه رخنمون سنگ سیلیسی هوازده در محل سوندازهای A1 تا A3، می توان نتیجه گرفت که جنس سنگ عمق مربوط به فاصله (AB/2) بیشتر از ۵۰ متر برای کلیه سوندازها، ممکن است سنگ بستر سیلیسی باشد. مقاومت ویژه ظاهری سونداز A4 نسبت به مقاومت ویژه ظاهری سوندازهای دیگر بیشتر بوده و به سمت بالا جابجا شده است که می تواند بدلیل وجود ناهمگنی های جانبی و واقع بودن سونداز در روی قسمت نلغزیده باشد.

شبه مقطع قائم مقاومت ویژه الکتریکی در شکل ج-۱ پیوست ج نشان داده شده است. همانطور که مشاهده می شود، از فاصله ۱۰۰ متری تا انتهای پروفیل با تغییرات شدید لایه بندی مواجه هستم و از سطح به عمق زمین، مقاومت ویژه کاهش می یابد و همچنین تغییرات لایه بندی در عمق ظاهری بیشتر از ۳۵ متر در فاصله بین سوندازهای A0 تا A3 دیده می شود. بعلت تغییرات مقاومت ویژه و اختلاف زیاد مقادیر آن در فاصله بین سوندازهای A3 و A4 و نیز در فاصله بین سوندازهای A0 و A2 در فاصله ۲ AB/2 کمتر از ۷۰ متر، ناپیوستگی هایی مشاهده می شوند.

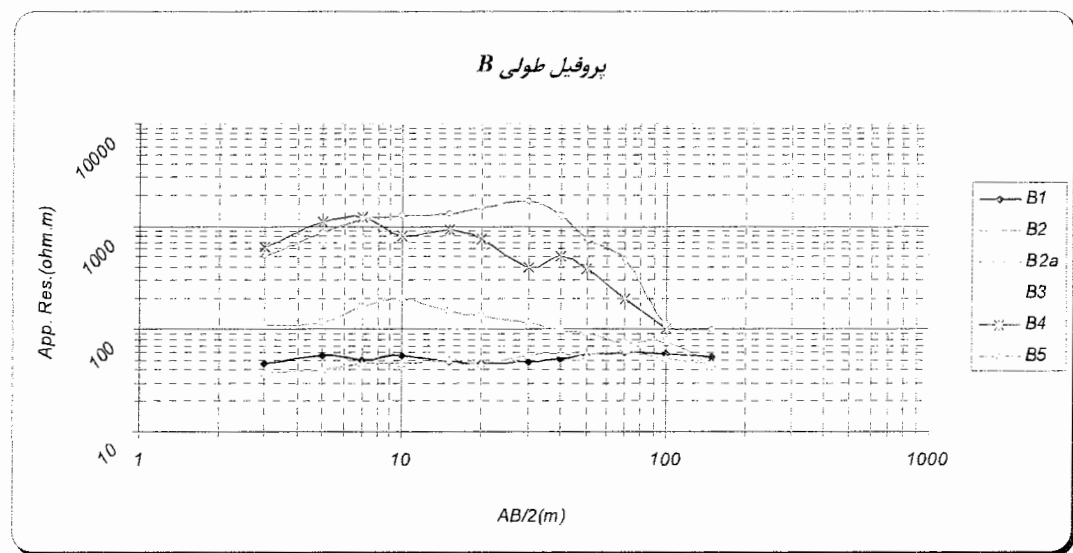


شکل ۱۱-۳: نمودارهای تغییرات مقاومت ویژه ظاهری بر حسب نصف فاصله الکترودهای جریان (AB/2) برای سوندازهای واقع بر پروفیل طولی A

### ۳-۴-۲ پروفیل طولی B

با توجه به رخنمون سنگهای آذرین نفوذی و توفهای سیلیسی، سوندمازهای B1، B2 و B2a بر روی رخنمون سنگهای آتشفشاری و B3 در مرز بین بیرون زدگیها و B4 بر روی توفهای سیلیسی هوازده و واریزه های دامنه ای شامل بلوک ها و مواد دانه درشت و واریزه های دانه متوسط و B5 در روی سنگ بکر داسیت قرار گرفته اند. شکل ۱۲-۳، نمودار تغییرات مقاومت ویژه بر حسب نصف فاصله الکترودهای جریان (AB/2) را نشان می دهد. از این نمودار مشاهده می شود که سوندمازهای B1 و B2a روندی مشابه به هم و دارای مقاومت ویژه ظاهری پائینی هستند که دلیل آن می تواند مربوط به رطوبت موجود در سنگها و یا اندازه گیری بر روی سنگهای آذرین نفوذی (خاکسترها آتشفشاری) باشد که مقاومت ویژه پائینی دارند. در سوندماز B4 در فاصله AB/2 کمتر از ۱۰۰ متر و در سوندماز B3 در فاصله AB/2 کمتر از ۲۰ متر، مقاومت ویژه ظاهری بالا می باشند، که دلیل آن مربوط به واریزه های دامنه ای شامل بلوک ها و مواد دانه درشت و هوازدگی سنگهای سطحی می باشد. در فاصله (AB/2) بیش از ۵۰ متر، مقاومت ویژه ظاهری سوندمازهای B1 تا B3 تقریباً نزدیک بهم بوده که می تواند ناشی از همجنس بودن سنگهای عمق مربوط به فاصله مذکور باشد، با توجه رخنمون سنگ آذرین هوازده در محل سوندمازهای ابتدایی پروفیل، می توان نتیجه گرفت که جنس سنگ برای عمق مربوط به فاصله (AB/2) بیش از ۳۰ متر، سنگ بستر سیلیسی می باشد و نیز بعلت بیرون زدگی سنگ بستر سیلیسی هوازده در محل سوندمازهای انتهایی، می توان نتیجه گرفت که جنس سنگ برای عمقدار سوندمازهای ابتدایی (AB/2) بیش از ۵۰ متر، سنگ بستر سیلیسی می باشد. تغییرات جزئی مقاومت ویژه ای که در عمق مشاهده می شود احتمالاً بعلت کاهش اثر رطوبت زمین در اثر افزایش ارتفاع توپوگرافی و اثر لایه های بالایی در داده های مقاومت ویژه باشد و این موضوع برای سوندمازهای B4 و B5 نیز صادق است. مقاومت ویژه ظاهری سوندمازهای B1، B2 و B2a نسبت به مقاومت ویژه ظاهری سوندمازهای دیگر پائین تر بوده و در نمودارها نیز جابجایی قابل ملاحظه ای نشان می دهد که می تواند بدلیل وجود ناهمگنی های جانبی باشد.

شبه مقطع مقاومت ویژه الکتریکی در شکل ج-۲ پیوست ج نشان داده شده است. همانطور که مشاهده می شود، از محل سوندماز B2a تا انتهای پروفیل با تغییرات شدید لایه بندی مواجه هستم و از سطح به عمق زمین، مقاومت ویژه کاهش می یابد. در موقعیت سوندماز B2a مقاومت ویژه پائینی دیده



شکل ۱۲-۳: نمودارهای تغییرات مقاومت ویژه ظاهری بر حسب نصف فاصله

الکترودهای جریان (AB/2) برای سوندazerهای واقع بر پروفیل طولی B

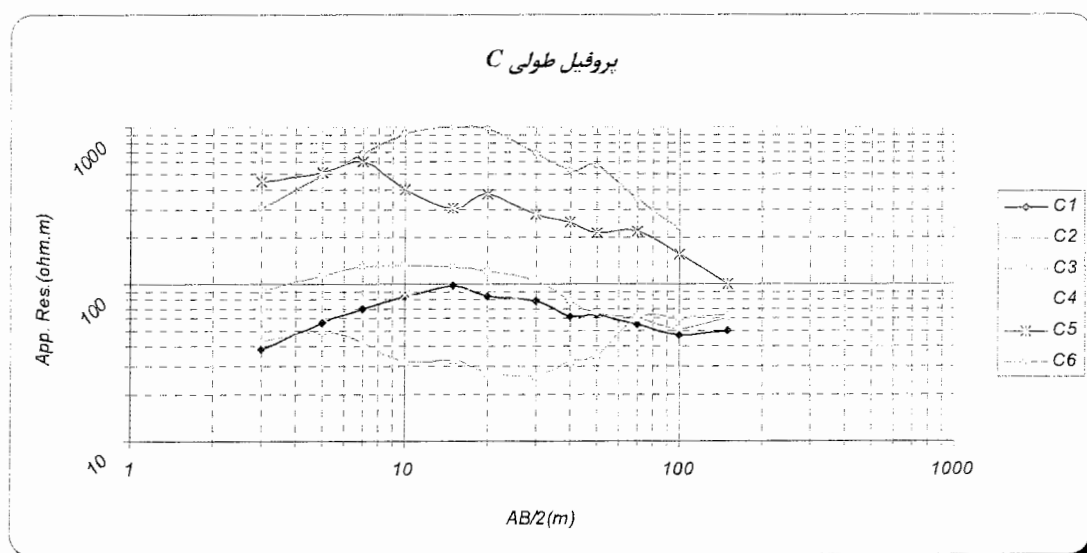
می شود که می تواند به علت رخنمون سنگهای آذرین (برش آتشفسانی با مقاومت ویژه کم) باشد. بعلت تغییرات جانبی مقاومت ویژه و اختلاف زیاد مقادیر مقاومت ویژه از محل سونداز B2a تا انتهای پروفیل و نیز بعلت اختلاف مقادیر مقاومت ویژه بین سوندazerهای B2a و B2، در عمق ظاهری کمتر از ۳۰ متر، ناپیوستگی هایی مشاهده می شوند.

### ۳-۴-۳ پروفیل طولی C

-نمودار تغییرات مقاومت ویژه بر حسب نصف فاصله الکترودهای جریان (AB/2) در شکل ۳-۱۳ نشان داده شده است. رخنمون سنگهای آذرین نفوذی و توف های سیلیسی در این پروفیل مشاهده می شود. در پروفیل C، سونداز های C1 تا C3 بر روی واریزه های دانه ریز تا دانه متوسط و سنگهای آذرین نفوذی رخنمون دار قرار دارد و سونداز های C5 و C6 بر روی واریزه های دامنه ای شامل بلوک ها و مواد دانه درشت و توف های سیلیسی بیرون زده و هوازده قرار داشته و نیز موقعیت سونداز C4 در مرز بین بیرون زدگیهای فوق واقع می باشد. سونداز های C1، C2 و C4 روند تقریباً مشابهی داشته و مقاومت ویژه متوسطی را نشان می دهند. ولی در سونداز C3، مقاومت ویژه نسبت به سه سونداز مذکور کاهش زیادی دارد. این تغییر مقاومت ویژه ناشی از وجود ناهمگنی های جانبی می باشد و سونداز های C5 و C6 نیز دارای مقاومت ویژه خیلی بالا نسبت به بقیه سونداز ها دارد که دلیل

آن هم می تواند ناشی از عوامل فوق باشد. در فاصله  $(AB/2)$  بیش از ۶۰ متر، مقاومت ویژه ظاهری سوندارهای C1 تا C4 تقریباً نزدیک بهم بوده که می تواند ناشی از همجناس بودن سنگهای عمق مربوط به فاصله  $AB/2$  بالاتر باشد و تغییرات جزئی که مشاهده می شود بعلت کاهش اثر رطوبت زمین در اثر افزایش ارتفاع توپوگرافی و اثر لایه های بالایی در داده های مقاومت ویژه می باشد. با توجه رخنمون سنگهای آذرین نفوذی در محل سوندار C3 و مقاومت ویژه پائین آن از سطح زمین تا عمق در نمودار این سوندار، می توان نتیجه گرفت که جنس سنگ برای عمق مربوط به فاصله زیاد  $(AB/2)$ ، برای سوندارهای C1 تا C4 سنگهای آذرین نفوذی می باشد. در تمام سوندارها، مقاومت ویژه ظاهری برای فاصله  $AB/2$  کمتر از ۱۰ متر، روند صعودی دارد ولی بعد از این فاصله، روند نزولی برای هر سوندار متفاوت بوده و اختلاف جزئی دارند ولی بطور کلی روند کاهشی را نشان می دهد.

شبه مقطع مقاومت ویژه الکتریکی در شکل ج-۳ پیوست ج نشان داده شده است. همانطور که مشاهده می شود، از محل سوندار C3 تا انتهای پروفیل با تغییرات شدید مقاومت ویژه مواجه هستم. در موقعیت سوندار C3 مقاومت ویژه پائینی مشاهده می شود که می تواند به علت رخنمون سنگهای آذرین (برش آتشفشنایی با مقاومت ویژه کم) باشد. بعلت تغییرات جانبی مقاومت ویژه در محل سوندار C4 و نیز بعلت اختلاف مقادیر مقاومت ویژه بین سوندارهای C3 و C2، در عمق ظاهری کمتر از ۳۰ متر، ناپیوستگی هایی مشاهده می شوند.

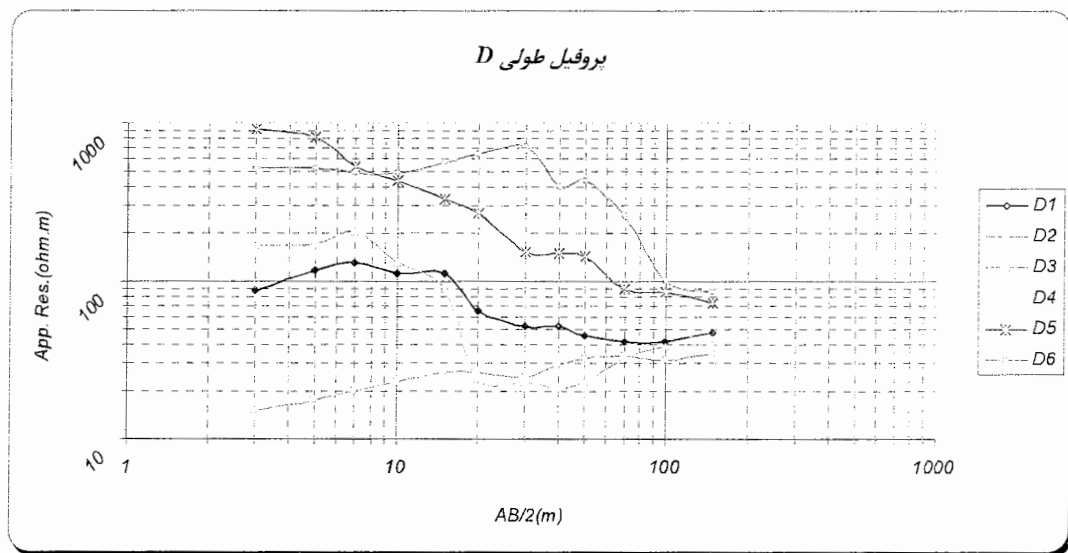


شکل ۳-۳: نمودارهای تغییرات مقاومت ویژه ظاهری بر حسب نصف فاصله الکترودهای جریان  $(AB/2)$  برای سوندارهای واقع بر پروفیل طولی C

### ۴-۴-۳ پروفیل طولی D

شکل ۱۴-۳، نمودار تغییرات مقاومت ویژه بر حسب نصف فاصله الکترودهای جریان (AB/2) را نشان می دهد. در این پروفیل نیز رخنمون سنگهای آذرین نفوذی و توفهای سیلیسی قابل مشاهده بوده و موقعیت چند سونداز نیز، دقیقاً در محل بیرون زدگیها قرار دارد. در این پروفیل، سه سونداز اول بر روی واریزه های دانه ریز تا دانه متوسط و سنگهای آذرین نفوذی رخنمون دار قرار دارند و سونداز های دیگر بر روی واریزه های دامنه ای شامل بلوك ها و مواد دانه درشت و توفهای سیلیسی رخنمون دار و هوازده قرار دارد. همانطور که مشاهده می شود، سونداز های D1 و D3 روند تقریباً مشابه دارند و مقاومت ویژه متوسطی را نشان می دهند ولی سونداز D2 بعلت اندازه گیری بر روی محل رخنمون، مقاومت ویژه خیلی پائینی را تا فاصله (AB/2) برابر ۲۰ متر نشان می دهد ولی بعد از آن هر سه روند تقریباً مشابهی دارند؛ یعنی می توان نتیجه گرفت که موقعیت سونداز های D1 و D3 تا عمق مربوط به فاصله (AB/2) ۲۰ متر، دارای واریزه های دامنه ای و هوازدگی سنگهای سطحی بوده و برای فاصله بیشتر، بخصوص برای فاصله بیش از ۵۰ متر، می تواند ناشی از همجنس بودن سنگهای اعمق پائین باشد و تغییرات جزئی که مشاهده می شود بعلت کاهش اثر رطوبت زمین در اثر افزایش ارتفاع توپوگرافی و اثر لایه های بالایی در داده های مقاومت ویژه می باشد. با توجه رخنمون سنگهای آذرین نفوذی در محل سونداز D2 و مقاومت ویژه پائین آن از سطح زمین تا عمق در نمودار این سونداز، می توان نتیجه گرفت که جنس سنگ برای اعمق پائین تر، برای سونداز های D1 تا D3 سنگهای آذرین نفوذی (برش آتشفسانی) می باشد. این مسئله برای سونداز های D5 و D6 نیز برای فاصله (AB/2) بیش از ۹۰ متر صادق است با این تفاوت که جنس لایه های مربوط از جنس سنگهای سیلیسی می باشد. سونداز های D4 تا D6 با تغییرات جزئی روند تقریباً مشابه دارند و مقاومت ویژه بالایی نسبت به سونداز های ابتدایی دارند و در نمودار مربوطه نیز جابجایی قابل ملاحظه ای نشان می دهند که این امر می تواند بعلت وجود ناهمگنی های جانبی باشد. در این پروفیل، روند صعودی یا نزولی مقاومت ویژه ظاهری برای سونداز ها متفاوت از یکدیگر بوده و تغییرات زیادی دارند.

شبه مقطع مقاومت ویژه الکتریکی در شکل ج-۴ پیوست ج نشان داده شده است. همانطور که مشاهده می شود، از محل سونداز D2 تا انتهای پروفیل، تغییرات شدید لایه بندی وجود و از سطح به طرف عمق زمین، مقاومت ویژه کاهش می یابد. در موقعیت سونداز D2 مقاومت ویژه پائینی مشاهده



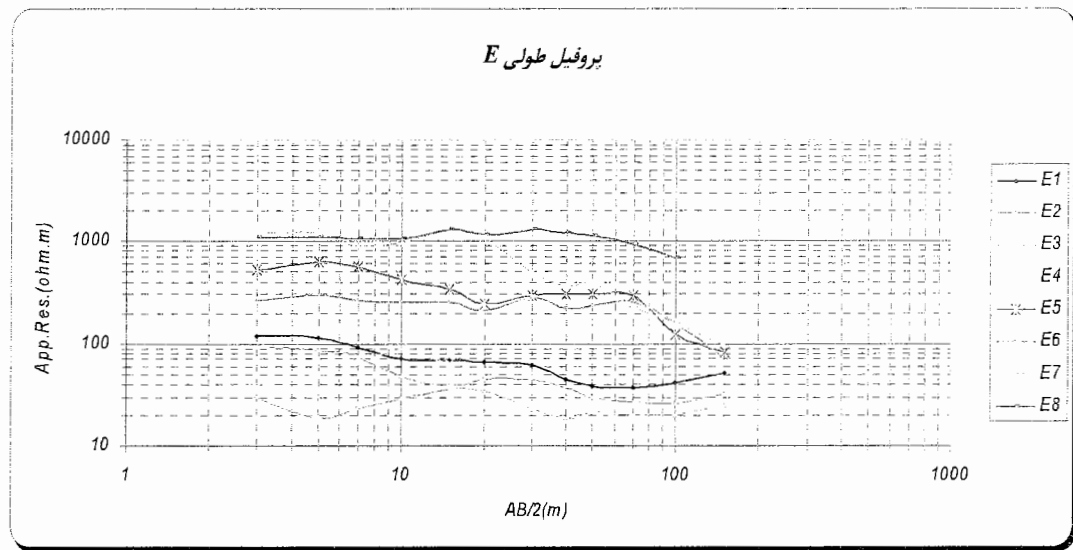
شکل ۱۴-۳: نمودارهای تغییرات مقاومت ویژه ظاهری بر حسب نصف فاصله

الکترودهای جریان (AB/2) برای سوندazerهای واقع بر پروفیل طولی D

می شود که می تواند به علت رخنمون سنگهای آذرین (برش آتشفشاری با مقاومت ویژه کم) باشد. بعلت تغییرات جانبی مقاومت ویژه و اختلاف زیاد مقادیر مقاومت ویژه از محل سونداز D2 تا انتهای پروفیل، ناپیوستگی مشاهده می شود.

#### ۱۴-۴-۵ پروفیل طولی E

در این پروفیل نیز بیرون زدگی سنگهای آذرین نفوذی و توفهای سیلیسی هوازده قابل مشاهده بوده و سوندazerهای E1 تا E4 بر روی واریزه های دانه ریز تا دانه متوسط و سنگهای آذرین نفوذی رخنمون دار قرار دارند و سوندazerهای E5 تا E8 بر روی توفهای سیلیسی رخنمون دار و هوازده و واریزه های دامنه ای شامل بلوك ها و مواد دانه درشت غالباً از جنس داسیت قرار دارد. نمودار تغییرات مقاومت ویژه بر حسب نصف فاصله الکترودهای جریان (AB/2) در شکل ۱۵-۳ نشان می دهد که سوندazerهای E1 تا E4 با تغییرات جزئی روند تقریباً یکسانی دارند و این مسئله در مورد سوندazerهای E5 تا E8 نیز صدق می کند. در امتداد این پروفیل، در E2 و E4 با کاهش ناگهانی مقاومت ویژه مواجه هستیم. سونداز E2 بعلت اندازه گیری آن بر روی بیرون زدگی، مقاومت ویژه پائینی را تا فاصله (AB/2) برابر ۲۰ متر نشان می دهد ولی برای فاصله بیشتر، خصوصاً بعد از ۴۰ متر،



شکل ۳-۱۵: نمودارهای تغییرات مقاومت ویژه ظاهری بر حسب نصف فاصله

الکترودهای جریان (AB) برای سوندرازهای واقع بر پروفیل طولی E

سوندرازهای E1 تا E4 روند مشابه و مقادیر مقاومت ویژه نزدیک بهم دارند؛ یعنی می‌توان نتیجه گرفت که موقعیت این سوندرازها، غیر از E2، تا عمق مربوط به فاصله (AB/2) ۴۰ متر، دارای واریزه‌های دامنه‌ای و هوازدگی سنگهای سطحی بوده و برای فاصله بیشتر، می‌تواند ناشی از همجنس بودن سنگهای اعمق پائین‌تر باشد و تغییرات جزئی که مشاهده می‌شود بعلت کاهش اثر رطوبت زمین در اثر افزایش ارتفاع توپوگرافی و اثر لایه‌های بالایی در داده‌های مقاومت ویژه می‌باشد و با توجه رخنمون سنگهای آذرین نفوذی در محل سوندراز E2 و مقاومت ویژه پائین آن از سطح زمین تا عمق در نمودار این سوندراز، می‌توان نتیجه گرفت که جنس سنگ برای عمق مربوط به فاصله (AB/2) بیش از ۴۰ متر برای سوندرازهای E1 تا E4 سنگهای آذرین نفوذی می‌باشد. این موضوع برای سوندرازهای E5 تا E7 نیز برای فاصله (AB/2) بیش از ۳۰ متر صادق است با این تفاوت که جنس لایه‌های مربوط از سنگهای سیلیسی می‌باشد. سوندرازهای E5 تا E8 با تغییرات جزئی روند تقریباً مشابه دارند و مقاومت ویژه بالایی نسبت به سوندرازهای ابتدایی نشان می‌دهند که این امر می‌تواند بعلت وجود ناهمگنی‌های جانی باشد.

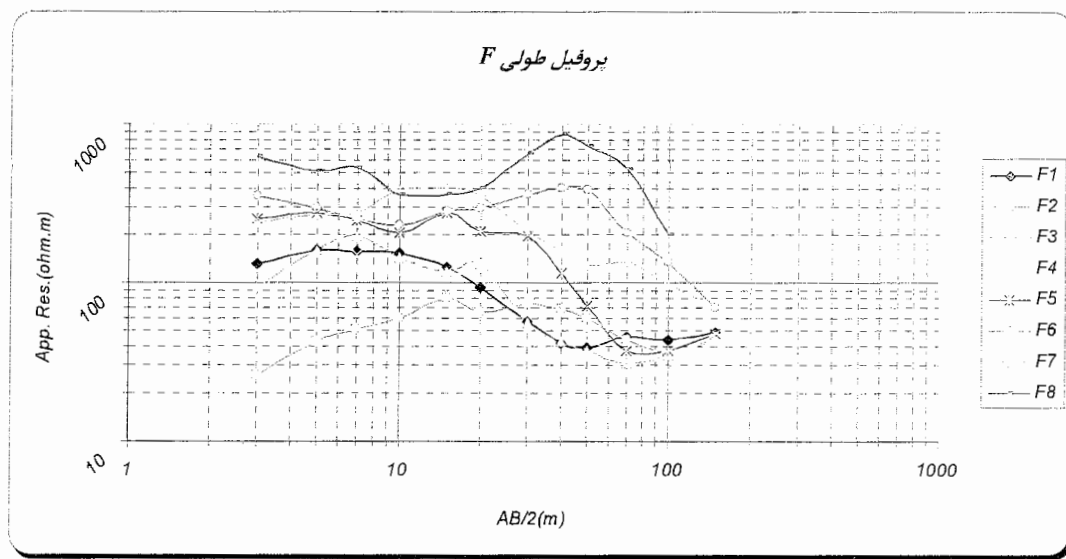
شبه مقطع مقاومت ویژه الکتریکی در شکل ج-۵ پیوست ج نشان داده شده است. همانطور که مشاهده می‌شود، از محل سوندراز E4 تا انتهای پروفیل با تغییرات شدید لایه بندی مواجه هستم و از

سطح به عمق زمین، مقاومت ویژه کاهش می یابد. در فاصله بین سوندazerهای E2 تا E4، مقاومت ویژه پائینی مشاهده می شود که می تواند به علت رخنمون سنگهای آذرین (برش آتشفشنی با مقاومت ویژه کم) باشد. بعلت تغییرات جانبی مقاومت ویژه و اختلاف زیاد مقادیر مقاومت ویژه از محل سوندazer E4 تا انتهای پروفیل، ناپیوستگی مشاهده می شود.

### ۶-۴-۳ پروفیل طولی F

شکل ۳-۱۶ نمودار تغییرات مقاومت ویژه بر حسب نصف فاصله الکترودهای جریان (AB/2) را نشان می دهد. در این پروفیل نیز بیرون زدگی سنگهای آذرین نفوذی و توف های سیلیسی هوازده قابل مشاهده است و سوندazerهای F1 تا F3 بر روی واریزه های دانه ریز و سنگهای آذرین نفوذی، که بیرون زدگی آنها کاملاً مشهود است، قرار دارند و سوندazerهای دیگر پروفیل بر روی واریزه های دامنه ای شامل بلوک ها و مواد دانه درشت، غالباً از جنس داسیت، قرار دارد. سوندazer F2 بعلت اندازه گیری آن در محل رخنمون سنگهای آذرین، مقاومت ویژه خیلی پائینی را نشان می دهد. سوندazerهای F1 تا F4 و تا حدودی F5 برای فاصله (AB/2) بیش از ۳۰ متر، دارای مقادیر مقاومت ویژه نزدیک به هم و روندی مشابه دارند؛ یعنی می توان گفت که موقعیت این سوندazerها، بعیر از F2، تا عمق مربوط به فاصله (AB/2) ۳۰ متر، دارای واریزه های دامنه ای و هوازدگی سنگهای سطحی بوده و برای فاصله بیشتر، می تواند ناشی از همجنس بودن سنگهای اعمق پائین تر باشد و تغییرات جزئی که مشاهده می شود بعلت کاهش اثر رطوبت زمین در اثر افزایش ارتفاع توپوگرافی و اثر لایه های بالایی در داده های مقاومت ویژه می باشد. با توجه رخنمون سنگهای آذرین نفوذی در محل سوندazer F2 و مقاومت ویژه پائین آن از سطح زمین تا عمق در نمودار این سوندazer، می توان نتیجه گرفت که جنس سنگ برای عمق مربوط به فاصله (AB/2) بیشتر از ۳۰ متر برای سوندazerهای فوق الذکر سنگهای آذرین نفوذی (برش آتشفشنی) می باشد. اختلاف زیاد مقاومت ویژه ظاهری مربوط به فاصله (AB/2) بیشتر از ۲۰ متر برای سوندazerهای F6 تا F8 نسبت به سوندazerهای F1 تا F5 می تواند بعلت وجود ناهمگنی های جانبی باشد.

شبه مقطع مقاومت ویژه الکتریکی در شکل ج-۶ پیوست ج نشان داده شده است. همانطور که مشاهده می شود، از محل سوندazer F3 تا انتهای پروفیل با تغییرات شدید لایه بندی مواجه هستم و از



شکل ۳-۱۶: نمودارهای تغییرات مقاومت ویژه ظاهری بر حسب نصف فاصله

الکترودهای جریان (AB) برای سوندazerهای واقع بر پروفیل طولی F

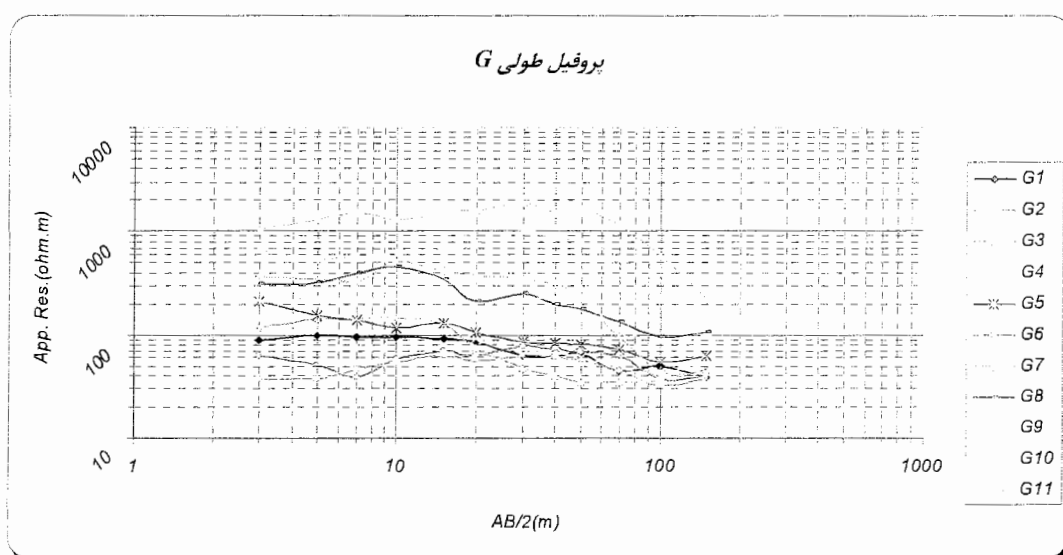
سطح به عمق زمین، مقاومت ویژه کاهش می یابد. در محدوده سوندazer F2، مقاومت ویژه پائینی مشاهده می شود که می تواند به علت رخنمون سنگهای آذرین (برش آتشفسانی با مقاومت ویژه کم) باشد. بعلت تغییرات جانبی مقاومت ویژه و اختلاف زیاد مقادیر مقاومت ویژه در محل سوندazer E4 و برای در عمق ظاهری بیش از ۱۵ متر، ناپیوستگی مشاهده می شود.

#### ۷-۴-۳ پروفیل طولی G

نمودار تغییرات مقاومت ویژه بر حسب نصف فاصله الکترودهای جریان (AB/2) در شکل ۳-۱۷ نشان داده شده است. در این پروفیل نیز بیرون زدگی سنگهای آذرین نفوذی و توف های سیلیسی هوازده قابل مشاهده است. سوندazerهای G1 تا G7 بر روی واریزه های دانه ریز تا دانه متوسط و سنگهای آذرین نفوذی، که رخنمون آنها در بعضی نقاط کاملاً مشهود است، قرار دارند و سوندazer های دیگر پروفیل بر روی واریزه های دامنه ای شامل بلوك ها و مواد دانه درشت، غالباً از جنس داسیت، با مقاومت ویژه بالا و سنگ سیلیسی رخنمون دار هوازده با مقاومت ویژه متوسط قرار دارد. سوندazer G2 و G6 بعلت اندازه گیری آن در محل رخنمون سنگهای آذرین نفوذی، مقاومت ویژه خیلی پائینی را تا فاصله (AB/2) ۲۰ متر نشان می دهد. سوندazerهای G1 تا G6 برای فاصله (AB/2) بیش از ۲۰ متر، بدون در نظر گرفتن اختلاف جزئی، دارای مقادیر مقاومت ویژه نزدیک به هم و روندی مشابه دارند؛

یعنی می توان گفت که موقعیت این سوندراشها، بجز G2، تا عمق مربوط به فاصله (AB/2) ۲۰ متر، دارای واریزه های دامنه ای و هوازدگی سنگهای سطحی بوده و برای فاصله بیشتر، می تواند ناشی از همجنس بودن سنگهای اعمق پائین تر باشد و با توجه به رخنمون سنگهای آذرین نفوذی در محل سوندراش G2 و مقاومت ویژه پائین آن از سطح زمین تا عمق در نمودار این سوندراش، می توان نتیجه گرفت که جنس سنگ برای عمق مربوط به فاصله (AB/2) بیشتر از ۲۰ متر برای سوندراشها G1 تا G6، سنگهای آذرین نفوذی (خاکسترها آتشفسانی) می باشد. سوندراشها G7 تا G9 دارای مقادیر مقاومت ویژه نزدیک به هم و روندی مشابه دارند، این مسئله برای سوندراشها G10 و G11 نیز صدق می کند. اختلاف زیاد مقاومت ویژه ظاهری برای سوندراشها G7 تا G11 نسبت به سوندراشها G1 تا G6 می تواند بعلت وجود ناهمگنی های جانبی باشد.

شبه مقطع مقاومت ویژه الکتریکی در شکل ج-۷ پیوست ج نشان داده شده است. همانطور که مشاهده می شود، از محل سوندراش G6 تا انتهای پروفیل با تغییرات شدید لایه بندی مواجه هستم و از سطح به عمق زمین، مقاومت ویژه کاهش می یابد. در محدوده سوندراشها G2 و G6، مقاومت ویژه پائینی مشاهده می شود که می تواند به دلیل رخنمون سنگهای آذرین (برش آتشفسانی با مقاومت ویژه کم) باشد. بعلت تغییرات جانبی مقاومت ویژه و اختلاف زیاد مقادیر مقاومت ویژه، در بین سوندراشها G7 و G9 و در عمق ظاهری بیش از ۳۵ متر، ناپیوستگی مشاهده می شود.



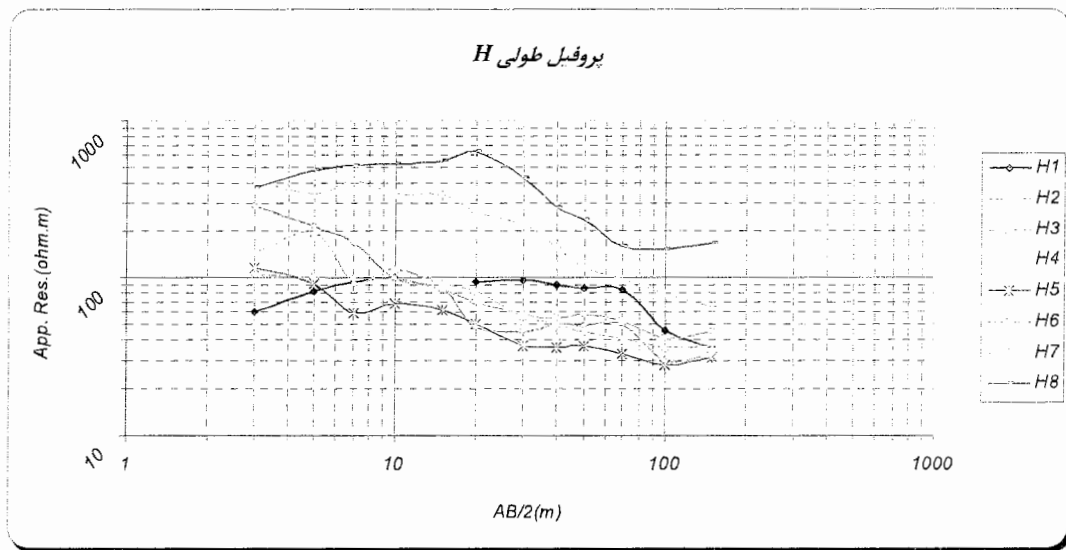
شکل ۳-۱۷: نمودارهای تغییرات مقاومت ویژه ظاهری بر حسب نصف فاصله

الکترودهای جریان (AB/2) برای سوندراشها واقع بر پروفیل طولی G

### ۴-۴-۳ پروفیل طولی H

در این پروفیل بیرون زدگی سنگهای آذرین نفوذی و توفهای سیلیسی قابل مشاهده است. سوندازهای H1 و H2 بر روی واریزه های دانه ریز تا دانه متوسط و سنگهای سیلیسی رخنمون دار و سوندازهای H3 تا H6 بر روی واریزه های دانه ریز تا دانه متوسط و سنگهای آذرین نفوذی، که رخنمون آنها در بعضی نقاط، مثلاً در محل سونداز H5، کاملاً مشهود است، قرار دارند و سوندازهای دیگر پروفیل بر روی واریزه های دامنه ای شامل بلوک ها و مواد دانه درشت، غالباً از جنس داسیت، با مقاومت ویژه بالا قرار دارد. همانطور که نمودار تغییرات مقاومت ویژه بر حسب نصف فاصله الکترودهای جریان (AB/2) در شکل ۱۸-۳ نشان می دهد سونداز H5 بعلت اندازه گیری آن در محل رخنمون سنگهای آذرین نفوذی، مقاومت ویژه خیلی پائینی را نشان می دهد. برای سوندازهای H2 تا H6 از فاصله (AB/2) بیش از ۲۰ متر، بدون در نظر گرفتن اختلاف جزئی، دارای مقادیر مقاومت ویژه نزدیک به هم و روندی مشابه دارند؛ یعنی می توان گفت که موقعیت این سوندازها، بجز H5، تا عمق مربوط به فاصله (AB/2) ۲۰ متر، دارای واریزه های دامنه ای و هوازدگی سنگهای سطحی بوده و برای فاصله بیشتر، می تواند ناشی از همجنس بودن سنگهای اعماق پائین تر باشد و با توجه به رخنمون سنگهای آذرین نفوذی در محل سونداز H5 و مقاومت ویژه پائین آن از سطح زمین تا عمق در نمودار این سونداز، می توان نتیجه گرفت که جنس سنگ برای عمق مربوط به فاصله (AB/2) بیشتر از ۲۰ متر برای سوندازهای H2 تا H6، سنگهای آذرین نفوذی (برش آتشفشنای) می باشد. اختلاف زیاد مقاومت ویژه ظاهری برای سوندازهای H2 تا H6 نسبت به سوندازهای قبل و بعد از آنها می تواند بعلت وجود ناهمگنی های جانبی باشد.

شبه مقطع مقاومت ویژه الکتریکی در شکل ج-۸ پیوست ج نشان داده شده است. همانطور که مشاهده می شود، از محل سونداز H5 تا انتهای پروفیل، تغییرات شدید لایه بندی مشاهده می شود و از سطح به عمق زمین، مقاومت ویژه کاهش می یابد. در محدوده سونداز H5، مقاومت ویژه پائین مشاهده می شود که می تواند به دلیل رخنمون سنگهای آذرین (برش آتشفشنای با مقاومت ویژه کم) باشد. بعلت تغییرات جانبی مقاومت ویژه، در بین سوندازهای H7 و G10، در عمق ظاهری بیش از ۳۰ متر، ناپیوستگی مشاهده می شود.

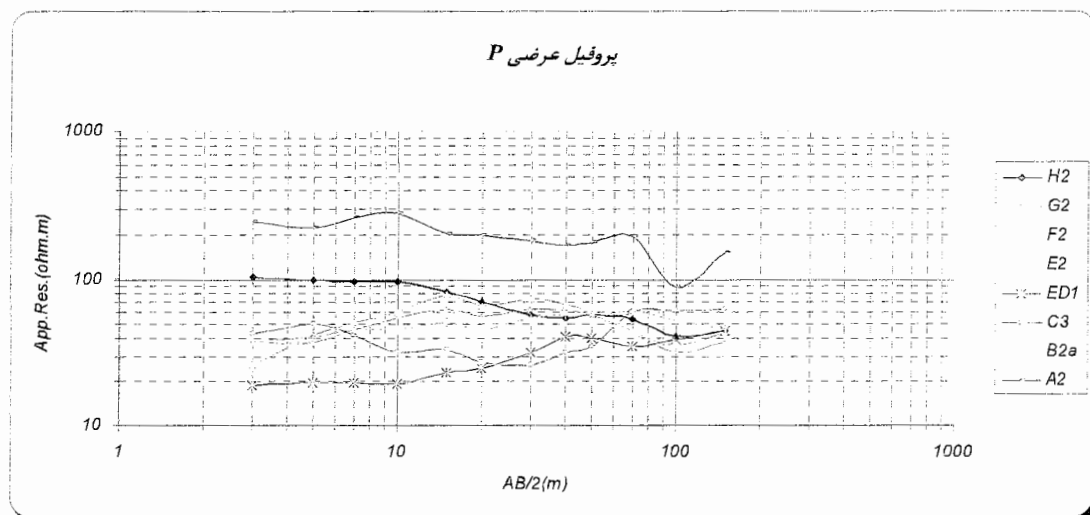


شکل ۱۸-۳: نمودارهای تغییرات مقاومت ویژه ظاهری بر حسب نصف فاصله

الکترودهای جریان (AB/2) برای سوندazerهای واقع بر پروفیل طولی H

### ۹-۴-۳ پروفیل عرضی P

نمودار تغییرات مقاومت ویژه بر حسب نصف فاصله الکترودهای جریان (AB/2) در شکل ۱۹-۳ نشان داده شده است. در این پروفیل بیرون زدگی سنگهای آذرین نفوذی و رخنمون سنگ کفسیلیسی قابل مشاهده بوده و کلیه سوندazerها بر روی واریزه های دانه ریز تا دانه متوسط و سنگهای آذرین نفوذی، که رخنمون آنها در موقعیت تمامی سوندazerها به جز H2 و A2 کاملاً مشهود است، قرار دارند. در محل سونداز A2 رخنمون های سنگ بستر سیلیسی مشاهده می شود که می تواند علتی برای بالا بودن مقادیر مقاومت ویژه این سونداز نسبت به سوندazerهای دیگر باشد. این موضوع برای سونداز H2 در فاصله (AB/2) کمتر از ۲۰ متر صدق می کند. نمودار تغییرات مقاومت ویژه سونداز H2 از فاصله (AB/2) بیش از ۲۰ متر و سوندazerهای G2 تا B2a، بدون در نظر گرفتن اختلافات جزئی، دارای مقادیر مقاومت ویژه نزدیک به هم و روندی مشابه دارند؛ این امر به دلیل همجننس بودن سنگهای اعمق پائین تر باشد و با توجه به رخنمون سنگهای آذرین نفوذی و مقاومت ویژه پائین آنها از سطح زمین تا عمق در نمودار این سوندazerها، می توان نتیجه گرفت که جنس سنگ، از نوع سنگهای آذرین نفوذی (برش آتشفسانی) می باشد. اختلاف زیاد مقاومت ویژه ظاهری سونداز A2 نسبت به سوندazerهای قبل از آنها می تواند بعلت وجود ناهمگنی های جانبی باشد.



شکل ۱۹-۳: نمودارهای تغییرات مقاومت ویژه ظاهری بر حسب نصف فاصله

الکترودهای جریان (AB/2) برای سوندazerهای واقع بر پروفیل عرضی P

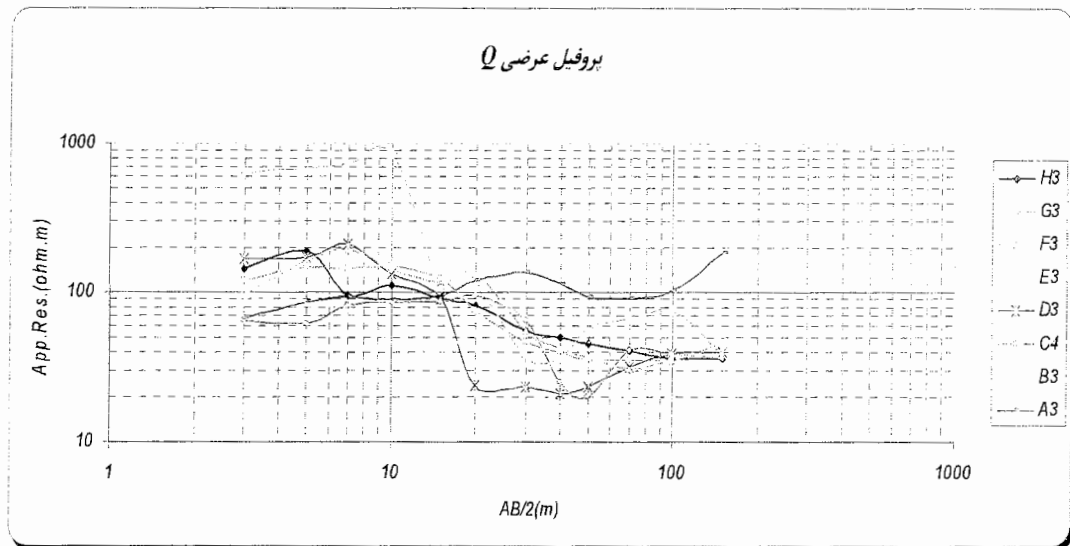
شکل ج-۹ پیوست ج شبیه مقطع مقاومت ویژه الکتریکی را نشان می دهد. همانطور که مشاهده می شود، در طول پروفیل P به استثنای محدوده سوندazerهای H2 و A2، مقاومت ویژه پائینی مشاهده می شود که می تواند به دلیل رخنمون سنگهای آذرین (برش آتشفسانی با مقاومت ویژه کم) باشد. بعلت تغییرات جانبی مقاومت ویژه، در بین سوندazerهای B2a و A2، ناپیوستگی مشاهده می شود.

#### ۱۰-۴-۳ پروفیل عرضی Q

شکل ۱۰-۳ نمودار تغییرات مقاومت ویژه ظاهری بر حسب نصف فاصله الکترودهای جریان (AB/2) را نشان می دهد. در این پروفیل نیز بیرون زدگی سنگهای آذرین نفوذی و توف های سیلیسی هوازده قابل مشاهده است. سوندazer B3 در مرز بین سنگهای بیرون زده و واریزه های دامنه ای شامل بلوک ها و مواد دانه درشت و واریزه های دانه متوسط قرار گرفته اند و سوندazer A3 بعلت اندازه گیری بر روی رخنمون سنگهای سیلیسی مقاومت ویژه متوسطی بین ۹۰-۱۱۰ اهم متر در نمودار تغییرات مقاومت ویژه نشان می دهد. بقیه سوندazerهای پروفیل بر روی واریزه های دانه ریز تا دانه متوسط و سنگهای آذرین نفوذی رخنمون دار با مقاومت ویژه پائین قرار دارند. سوندazer B3 مقاومت ویژه ظاهری بسیار زیادی نسبت به سایر سوندazerها در فاصله (AB/2) کمتر از ۲۰ متر نشان

می دهد، همچنین سوندazer A3 مقاومت ویژه ظاهری بیشتری در فاصله (AB/2) بیشتر از ۲۰ متر نسبت به سوندazer های دیگر، غیر از B3، نشان می دهد. اختلاف زیاد مقاومت ویژه ظاهری سوندazer A3 در لایه های سطحی و B3 در لایه های پائین تر نسبت به سوندazer های قبل از آنها می تواند بعلت وجود ناهمگنی های جانبی باشد. نمودار تغییرات مقاومت ویژه سوندazerها، به غیر از A3، برای فاصله (AB/2) بیش از ۲۰ متر، بدون در نظر گرفتن اختلافات جزئی، دارای مقادیر مقاومت ویژه نزدیک به هم و روندی مشابه دارند؛ این امر به دلیل همگنس بودن سنگهای اعمق بیشتر باشد و با توجه به رخنمون سنگهای آذرین نفوذی در محل سوندazer E3 و مقاومت ویژه پائین آن از سطح زمین تا عمق در نمودار این سوندazer، می توان نتیجه گرفت که جنس سنگ، از نوع سنگهای آذرین نفوذی است.

شبه مقطع مقاومت ویژه الکتریکی در شکل ج-۱۰ پیوست ج نشان داده شده است. همانطور که مشاهده می شود، در اعماق کم، بخصوص در انتهای پروفیل، با تغییرات شدید لایه بندی مواجه هستیم و از سطح به عمق زمین، مقاومت ویژه کاهش می یابد. در محدوده سوندazer E3، مقاومت ویژه پائینی مشاهده می شود که می تواند به دلیل رخنمون سنگهای آذرین (برش آتشفسانی با مقاومت ویژه کم) باشد. بعلت تغییرات جانبی مقاومت ویژه، در بین سوندazer های A3 و B3، در در عمق ظاهری بیش از ۲۰ متر، ناپیوستگی مشاهده می شود.

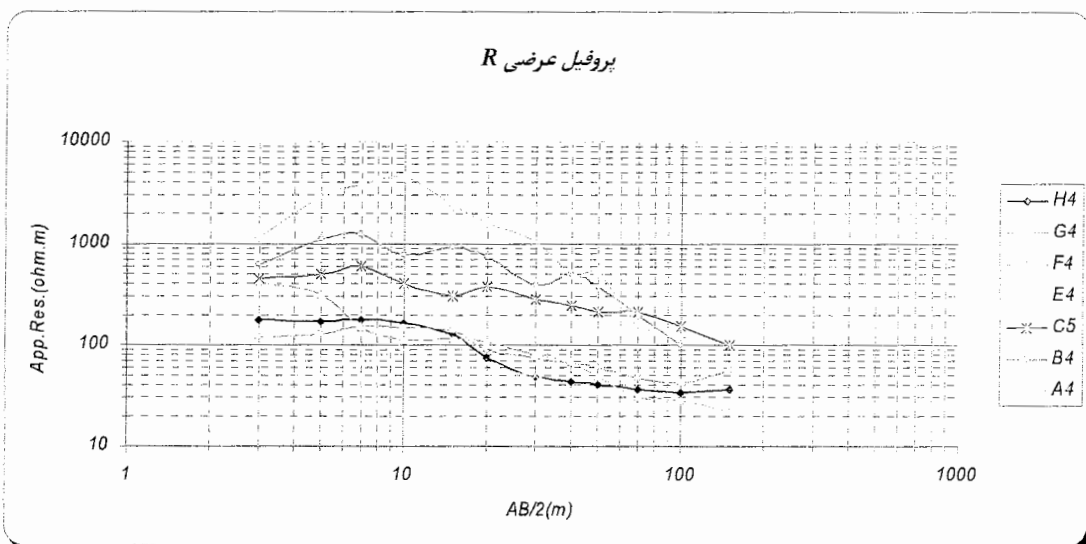


شکل ۳-۲۰: نمودارهای تغییرات مقاومت ویژه ظاهری بر حسب نصف فاصله الکترودهای جریان (AB/2) برای سوندazer های واقع بر پروفیل عرضی Q

### ۱۱-۴-۳ پروفیل عرضی R

نمودار تغییرات مقاومت ویژه ظاهری بر حسب نصف فاصله الکترودهای جریان (AB/2) در شکل ۲۱-۳ نشان داده شده است. در این پروفیل نیز بیرون زدگی سنگهای آذرین نفوذی و توفهای سیلیسی هوازده دیده می شود. سوندازهای A4، B4، C5 بر روی واریزه های دامنه ای شامل بلوك ها و مواد دانه درشت، غالباً از جنس داسیت، با مقاومت ویژه بالا و سنگهای سیلیسی رخنمون دار و سوندازهای E4 تا H4 بر روی واریزه های دانه ریز تا دانه متوسط و سنگهای آذرین نفوذی، که رخنمون آنها در بعضی نقاط، مثلاً در محل سونداز E4، کاملاً مشهود است، قرار دارند. سوندازهای A4، B4، C5 مقاومت ویژه ظاهری بسیار زیادی نسبت به سایر سوندازها نشان می دهند، اختلاف زیاد سوندازهای E4، F4، G4، H4 برای فاصله (AB/2) بیش از ۲۰ متر، بدون در نظر گرفتن اختلافات جزئی، دارای مقادیر مقاومت ویژه نزدیک به هم و روندی مشابه دارند؛ این امر به دلیل هم جنس بودن سنگهای اعمق بیشتر باشد و با توجه به رخنمون سنگهای آذرین نفوذی در محل سونداز E4 و مقاومت ویژه پائین آن از سطح زمین تا عمق در نمودار این سونداز، می توان نتیجه گرفت که جنس سنگ، از نوع سنگهای آذرین نفوذی (برش آتشفسانی) است.

شبه مقطع مقاومت ویژه الکتریکی در شکل ج-۱۱ پیوست ج نشان داده شده است. همانطور که

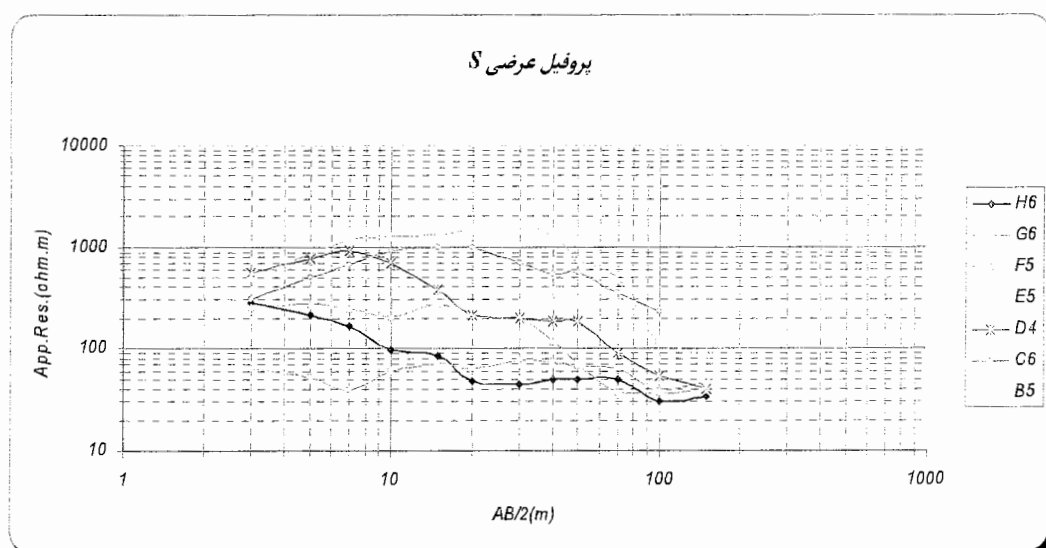


شکل ۲۱-۳: نمودارهای تغییرات مقاومت ویژه ظاهری بر حسب نصف فاصله الکترودهای جریان (AB/2) برای سوندازهای واقع بر پروفیل عرضی R

می بینیم، از فاصله ۱۸۰ متری تا انتهای پروفیل، تغییرات شدید لایه بنده وجود دارد و از سطح به عمق زمین، مقاومت ویژه کاهش می یابد. در محدوده سونداز E4، مقاومت ویژه پائینی مشاهده می شود که می تواند به دلیل رخنمون سنگهای آذرین (برش آتشفشاری با مقاومت ویژه کم) باشد. بعلت تغییرات جانبی مقاومت ویژه، در بین سوندازهای C5 و E4، ناپیوستگی مشاهده می شود.

### ۱۲-۴-۳ پروفیل عرضی S

شکل ۳-۲۲، نمودار تغییرات مقاومت ویژه ظاهری بر حسب نصف فاصله الکترودهای جریان (AB/2) را نشان می دهد. در این پروفیل نیز بیرون زدگی سنگهای آذرین نفوذی و توف های سیلیسی هوازده دیده می شود. سوندازهای B5، C6، D4، E5 بر روی واریزه های دامنه ای شامل بلوک ها و مواد دانه درشت، غالباً از جنس داسیت، با مقاومت ویژه بالا و سنگهای سیلیسی رخنمون دار و سوندازهای دیگر بر روی واریزه های دانه ریز تا دانه متوسط و سنگهای آذرین نفوذی، که رخنمون آنها در در محل سونداز G6 دیده می شود، قرار دارند. سوندازهای F5، G6، H6 مقاومت ویژه ظاهری بسیار کمتری نسبت به سایر سوندازها نشان می دهند، اختلاف زیاد مقاومت ویژه ظاهری می تواند بعلت وجود ناهمگنی های جانبی باشد. نمودار تغییرات مقاومت ویژه این سوندازها، برای فاصله بیش از ۴۰ متر، بدون در نظر گرفتن اختلافات جزئی، دارای مقادیر مقاومت ویژه نزدیک بهم (AB/2)



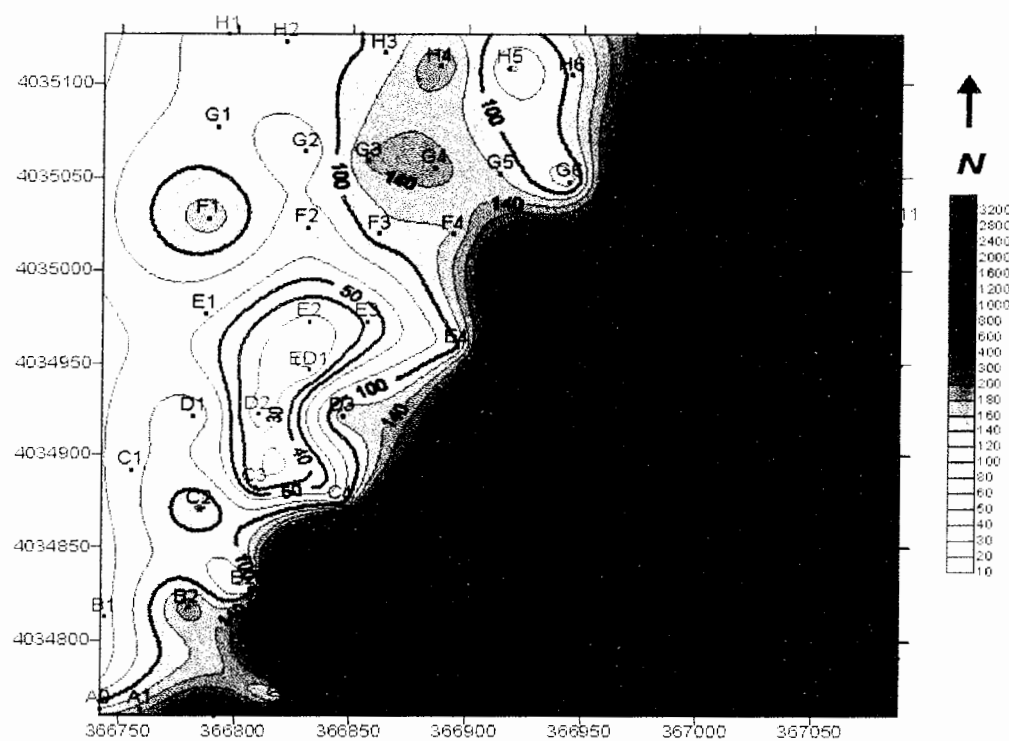
شکل ۳-۲۲: نمودارهای تغییرات مقاومت ویژه ظاهری بر حسب نصف فاصله الکترودهای جریان (AB/2) برای سوندازهای واقع بر پروفیل عرضی S

و روندی مشابه دارند؛ این امر می تواند به دلیل همجننس بودن سنگها باشد و با توجه به رخنمون سنگهای آذرین نفوذی در محل سونداز G6 و مقاومت ویژه پائین آن از سطح زمین تا عمق در نمودار این سونداز، می توان نتیجه گرفت که جنس سنگ از نوع آذرین نفوذی (برش آتشفشانی) است. شبیه مقطع مقاومت ویژه الکتریکی در شکل ج ۱۲-۱ پیوست ج نشان داده شده است. همانطور که دیده می شود، از محل سونداز G6 تا انتهای پروفیل، تغییرات شدید لایه بندی وجود دارد و از سطح زمین به عمق، مقاومت ویژه کاهش می یابد. در محدوده سونداز G6، وجود زونی با مقاومت ویژه پائین، می تواند به دلیل رخنمون سنگهای آذرین (برش آتشفشانی با مقاومت ویژه کم) باشد.

### ۵-۳ نقشه های هم مقاومت ویژه ظاهری

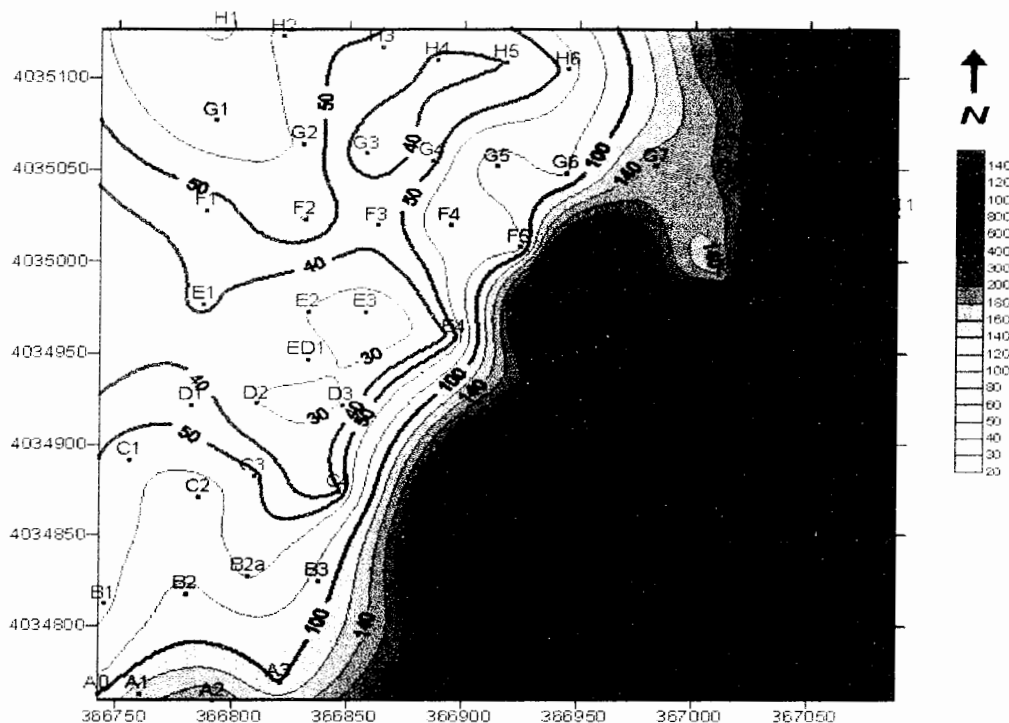
نقشه های هم مقاومت ویژه ظاهری منطقه لغزشی مورد مطالعه در بزرگراه قزوین- رشت، برای فاصله الکترودهای جریان (AB/2) برابر با ۵، ۱۰، ۱۵، ۳۰، ۵۰، ۱۰۰، ۱۵۰ متر با استفاده از نرم افزار SURFER تهیه شده اند. شکلهای ۲۳-۳ و ۲۴-۳ نقشه های فاصله (AB/2) برابر ۱۰ و ۵۰ متر را نشان می دهد. کلیه نقشه های هم مقاومت ویژه در پیوست ج آورده شده اند. این نقشه ها برای بررسی تغییرات مقاومت ویژه ظاهری در اعمق مختلف زمین و نیز مقایسه نقشه های اعمق مختلف با یکدیگر، برای مطالعه نحوه تغییرات مقاومت ویژه ظاهری با تغییر عمق مورد استفاده قرار می گیرد. با توجه به ۷ نقشه ترسیم شده، می توان وجود زونی با مقاومت ویژه کم (۲۰ تا ۱۰۰ اهم متر) در قسمت غربی و شمال غربی را مشاهده نمود که افزایش سریعی را بطرف شرق و جنوب شرقی دارد، این تغییر سریع می تواند نشان دهنده وجود ناهمگنی جانبی ناشی از عملکرد گسل و تغییرات لیتوژوژی و یا وجود آب باشد. همچنین با افزایش فاصله الکترودهای جریان، خطوط کانتور های هم مقاومت ویژه با مقدار مشخص، بخصوص برای مقادیر بیش از ۱۰۰ اهم متر، با افزایش فاصله AB/2 جابجا می شود، این روند هر چند آرام و تدریجی رخ می دهد ولی می تواند دلیلی بر گسترش آرام سنگهای تشکیل دهنده در عمق باشد.

در قسمت غربی و شمال غربی عواملی مانند هوازدگی سنگهای آذرین رخنمون دار و واریزه های دامنه ای دانه ریز تا دانه متوسط و ماسه سنگها (در قسمت غرب) باعث شده است که در نزدیک سطح زمین، وجود زونی با مقاومت ویژه کمی بالاتر نسبت به عمق را شاهد باشیم.



شکل ۲۳-۳: نقشه هم مقاومت ویژه ظاهری فاصله الکترودهای جریان (AB/2) برابر ۱۰ متر

(مقادیر مقاومت ویژه در کانتورها بر حسب اهم متر می باشد)



شکل ۲۴-۳: نقشه هم مقاومت ویژه ظاهری فاصله الکترودهای جریان (AB/2) برابر ۵۰ متر

(مقادیر مقاومت ویژه در کانتورها بر حسب اهم متر می باشد)

با توجه به رخنمون سنگهای آذرین در موقعیت سوندasherهای E4، E3، E2، ED1، C3، B2a، F2 و G6 و مقاومت ویژه پائین آن در روی نقشه ها و ادامه این روند در نمودارهای مربوط به اعماق بیشتر، میین وجود آب در شکستگیها و درزه و شکافها و گسترش عمقی این سنگها می باشد. با مقایسه نقشه ها می توان دریافت که رخنمون توده نفوذی آذرین بصورت قائم نبوده بلکه کمی متمایل به سمت جنوب غربی است.

در قسمت شرقی و جنوب شرقی محدوده لغزش، سنگهای واریزه ای اغلب از جنس داسیت مشاهده می شود که دارای مقاومت ویژه بالا هستند. در نقشه ها نیز این ناحیه، با مقاومت ویژه بالا در فاصله (AB/2) کمتر از ۵۰ متر مشاهده می شود که می تواند میین این واریزه ها و نیز هوازدگی سنگهای سیلیسی رخنمون دار باشد ولی در نقشه های با فاصله (AB/2) بیشتر، مقاومت ویژه سریعاً کاهش می یابد که می تواند بیانگر تغییر جنس سنگ باشد. این مقاومت ویژه کمتر (۱۵۰-۵۰۰ متر) نسبت به لایه های بالاتر، می تواند بعلت آهک سیلیس دار نازک لایه باشد که در بعضی قسمت های منطقه لغزشی رخنمون داردند.

با توجه به موارد ذکر شده در این فصل و تفسیر کیفی داده ها، وجود ناپیوستگی در قسمت میانی محدوده مورد مطالعه بصورت مورب شمال شرقی - جنوب غربی آشکار می شود. با توجه به اینکه تمامی نتایج، حاصل از تفسیر کیفی است، بنابراین لازم است تا با انجام تفسیر کمی، نتایج دقیق تر و قطعی تر بدست آورد. در فصل بعد با تفسیر کمی با استفاده از مدلسازی معکوس جهت شناسایی و تعیین سطح لغزشی می پردازیم.

## فصل چهارم:

### مدلسازی معکوس و تفسیر کمی داده ها

#### ۱-۴ مقدمه

داده های اندازه گیری شده در طی عملیات صحرایی در واقع یک سری اعداد خام می باشند که با قاعده مشخص و تحت شرایط خاصی بدست آمده اند و توجیه دقیق رفتار لایه های زمین از روی این داده ها (بطور مستقیم) غیر ممکن می باشد. بدین منظور تعیین رابطه بین داده های تجربی بدست آمده و توزیع خواص فیزیکی زمین مورد مطالعه و بعبارت دیگر مدلسازی داده های برداشتی، جهت توجیه رفتار لایه های زیرسطحی، ضروری می باشد. افرادی چون جانسون<sup>۱</sup>، پس از سالها تحقیق بر روی مسائل معکوس سازی، روش های مختلفی جهت حل اینگونه مسائل ارائه نمودند. تمامی روش های مذکور، یک مدل اولیه مناسب برای داده های تجربی نیاز دارند، تا در کمترین زمان ممکن، به مدل واقعی زمین، همگرا گردند. انتخاب مدل صحیح و مناسب به عنوان مدل اولیه در عملیات مدل سازی معکوس، از این جهت دارای اهمیت است که باعث بدست آمدن مدل واقعی زمین

<sup>1</sup> -Johnson

می گردد. لونبرگ<sup>۱</sup> نشان داد که با تصحیح پارامترهای مدل اولیه در تقریبات تیلور در هر مرحله از تکرار، می توان از ناپایدار شدن مسئله و به دست آمدن نتایج غلط جلوگیری نمود. این نظریه چند سال بعد توسط مارکوارت<sup>۲</sup> (۱۹۶۳) و سپس توسط کنراد<sup>۳</sup> (۱۹۷۰) مورد استفاده قرار گرفت. بدین ترتیب یک الگوریتم غیر خطی مناسب، جهت مدلسازی داده های ژئوفیزیکی پیشنهاد شد که امروزه به رگرسیون ریج یا روش مارکوارت- لونبرگ معروف است. اینمن<sup>۴</sup> و همکارانش در سال ۱۹۷۳ اولین کسانی بودند که روش معکوس سازی را روی مسائل مقاومت ویژه بکار گرفتند [34].

مدلسازی ژئوفیزیکی عمدتاً به دو دسته مدلسازی فیزیکی و مدلسازی عددی تقسیم می شوند. در روش مدلسازی فیزیکی، که گاهی مدلسازی آزمایشگاهی نیز نامیده می شود، ساختارهای زمینی را در مقیاس آزمایشگاهی شبیه سازی می کنند و سپس با استفاده از آرایشهای مختلف ژئوالکتریکی و به روشهای پروفیل زنی و سوندابزنسی الکتریکی، داده های مقاومت ویژه قرائت و در نهایت با جوابهای صحرایی مطابقت داده می شوند. مدلسازی فیزیکی معمولاً با مشکلاتی همراه است. یکی از این مشکلات این است که، جوابهای مدلهای فیزیکی با جوابهای صحرایی به این دلیل که شرایط زمین، طبیعی و کاملاً متفاوت از شرایط کنترل شده آزمایشگاهی است، تفاوت دارد؛ بهر حال این روش بطور کلی مفید است، اما همیشه جوابگو نیست. مشکل دیگر، وقت گیر و پر هزینه بودن آن است و از طرفی، با پیشرفت و توسعه علوم کامپیوتر، امروزه اغلب از مدلسازی عددی استفاده می شود. مدلسازی عددی داده های ژئوفیزیکی را به دو نوع مدلسازی مستقیم یا پیشرو و مدلسازی معکوس<sup>۵</sup> تقسیم می کنند. داده های خام بدست آمده از زمین، هیچگونه اطلاعات کمی در رابطه با توزیع خواص فیزیکی زمین و یا عمق آنومالیها ارائه نمی کنند؛ پس مدلسازی داده ها در ژئوفیزیک امری اجتناب ناپذیر است. هم مدلسازی مستقیم و هم مدلسازی معکوس، رابطه بین توزیع خواص فیزیکی زمین مورد مطالعه و پاسخ ژئوفیزیکی (اندازه گیری صحرایی) را بیان می کند. اگر از توزیع خواص فیزیکی به پاسخ ژئوفیزیکی برسیم، مدلسازی مستقیم می نامند، ولی استنباط خواص

<sup>1</sup> - Levenberg

<sup>2</sup> - Marquardt

<sup>3</sup> - Kennrad

<sup>4</sup> - Inman

<sup>5</sup> - Forwards & Inverse modeling

فیزیکی زمین مورد مطالعه از داده های مشاهده ای را، مدلسازی معکوس می گویند. ورودی مدلسازی معکوس، داده های صحرایی است که به کمک محاسبات مربوط به تئوری معکوس سازی بر روی آنها، پارامترهای مدل، بعنوان خروجی ارائه می شوند.

روش مدلسازی مستقیم دقت بالایی دارد اما بسیار کند و وقت گیر بوده و روابط ریاضی بسیار پیچیده و دشواری دارد. برای تعیین سریع خصوصیات مورد نظر، از مدلسازی معکوس استفاده می شود. از طرفی مدلسازی معکوس، روابط ریاضی پیچیده تری دارد.

#### ۴-۲ مدلسازی مستقیم یا پیشرو

در این نوع مدلسازی، با وارد نمودن پارامترهای یک مدل فرضی، که با داده های تجربی همخوانی دارد، یکسری داده های تئوری منطبق بر پارامترهای مدل پیشنهادی بدست می آید که در صورت بالا بودن جذر میانگین مربعات<sup>۱</sup> خطای بین این داده ها و داده های تجربی (خطای جذر میانگین مربعات)، فرآیند مدلسازی مجددآ تکرار خواهد شد. مدلسازی مستقیم شامل مراحل زیر است:

- ۱- فرض کردن یک مدل زمینی آزمایشی اولیه.
- ۲- محاسبه پاسخ مدل فرضی با استفاده از تئوری مدلسازی مستقیم یا پیشرو.
- ۳- مقایسه پاسخ مدل فرضی با داده های صحرایی و محاسبه مقدار خطای نسبی بین آنها.
- ۴- بررسی نتیجه و تعدیل و تصحیح مدل آزمایشی مرحله اول تا وقتی که تطابق بین پاسخ مدل فرضی و اندازه گیری شده بهبود یابد تا جائیکه بهترین تطابق ممکن بدست آید.

#### ۴-۳ مدلسازی معکوس

در مدلسازی معکوس در هر مرحله از تکرار، با اعمال یکسری عملیات ریاضی پیچیده روی داده های تجربی، پارامترهای فیزیکی مدل را بدست می آوریم. مسائل معکوس سازی بر عکس مسائل مستقیم که اغلب مستقیم، یک مرحله ای و خوش حالت<sup>۲</sup> هستند، بعلت وجود نویزهای زمین شناسی

<sup>1</sup> - Root mean least square

<sup>2</sup> - Well posed

و نیز ناقص بودن اطلاعات و خطا در اندازه گیریها، اغلب غیر مستقیم، تکراری و بدحالت<sup>۱</sup> می باشند.

حل اینگونه مسائل، مشکل و در برخی موارد غیر ممکن می باشد [39].

در معکوس سازی از روش حداقل مربعات، روش مارکوارت-لونبرگ و... استفاده می شود.

می توان گفت که معکوس سازی داده های مقاومت ویژه، تعیین مقاومت ویژه واقعی و ضخامت

لایه ها با توجه به مقادیر مقاومت ویژه ظاهری اندازه گیری شده است.

#### ۱-۳-۴ اساس تئوری مدلسازی معکوس

در روش معکوس سازی ژئوفیزیکی، هدف یافتن مدلی<sup>۲</sup> از زمین است که نتایج آن با داده های اندازه گیری شده صحرایی مطابقت داشته باشد. مدل دارای مجموعه ایی از پارامترهای مدل<sup>۳</sup> است که کمیات فیزیکی اند و از داده های مشاهده ایی تخمین زده می شوند. پاسخ مدل<sup>۴</sup>، داده های تولید شده ایی هستند که از روابط ریاضی تعریف شده مدل برای مجموعه ای مشخص از پارامترهای مدل محاسبه می شوند.

در روش بلوکی که برای برنامه Re&Dinv استفاده شده است، پارامترهای مدل، مقادیر مقاومت ویژه بلوکهای مدل هستند، در حالیکه داده ها بصورت مقادیر مقاومت ویژه ظاهری اندازه گیری شده اند. ارتباط ریاضیاتی میان پارامترهای مدل و پاسخ آن برای مدلهای مقاومت ویژه دو بعدی و سه بعدی به روشهای اختلاف محدود<sup>۵</sup> و اجزاء محدود<sup>۶</sup> تهییه می شوند.

در کلیه روشهای بهینه سازی، مدل اولیه با روش تکرار، تعديل شده که در طی آن اختلاف میان پاسخ مدل و مقادیر داده های مشاهده شده کاهش می یابند. مجموعه داده های مشاهده شده را می توان بصورت بردار ستونی<sup>۷</sup>  $y$  بصورت زیر نوشت:

$$y = \text{col}(y_1, y_2, \dots, y_m) \quad (1-4)$$

که  $m$  تعداد اندازه گیری هاست. پاسخ مدل  $f$  را به فرم مشابهی می توان نوشت:

<sup>1</sup> - Ill posed

<sup>2</sup> - Model

<sup>3</sup> - Model parameter

<sup>4</sup> - Model response

<sup>5</sup> - Finite-Difference

<sup>6</sup> - Finite-Element

<sup>7</sup> - Column Vector

$$f = \text{col}(f_1, f_2, \dots, f_m) \quad (2-4)$$

پارامترهای مدل توسط بردار  $q$  بصورت زیر بیان می شوند:

$$q = \text{col}(q_1, q_2, \dots, q_n) \quad (3-4)$$

در رابطه فوق،  $n$  تعداد پارامترهای مدل است. اختلاف میان داده های مشاهده شده و پاسخ

مدل توسط بردار اختلاف<sup>۱</sup> بصورت زیر تعریف می شوند:

$$g = y - f \quad (4-4)$$

در روش بهینه سازی حداقل مربعات، مدل اولیه را تا زمانیکه جمع مربعات خطای ( $E$ )

اختلاف میان پاسخ مدل و مقادیر مشاهده شده به حداقل برسد، تعديل و اصلاح می کند.

$$E = g^T g = \sum_{i=1}^n g_i^2 \quad (5-4)$$

برای کاهش مقدار خطای فوق، معادله گوس- نیوتون برای تعیین مقدار تغییر در پارامترهای

مدل بکار برده می شود.

$$J^T J \Delta q_i = J^T g \quad (6-4)$$

که در معادله فوق  $\Delta q$  بردار تغییر پارامترهای مدل است و  $J$  ماتریس ژاکوبین مشتقات جزئی

است. عناصر ماتریس ژاکوبین بصورت زیر داده می شود:

$$J_{ij} = \frac{\partial f_i}{\partial q_j} \quad (7-4)$$

به این معنی که تغییر در  $i$  امین پاسخ مدل با خاطر تغییر در  $j$  امین پارامتر مدل است. بعد از

محاسبه بردار تغییر پارامتر، مدل جدید بوسیله رابطه زیر بدست می آید:

$$q_{k+1} = q_k + \Delta q_k \quad (8-4)$$

در عمل، معادله حداقل مربعات (6-4)، بندرت در معکوس سازی ژئوفیزیکی استفاده می شود.

در بعضی مواقع، دترمینان ماتریس حاصلضرب  $J^T J$  صفر می شود و بنابراین معادله حداقل

مربعات، پاسخی برای  $\Delta q$  ندارد. مسئله متداول دیگر این است که دترمینان ماتریس حاصلضرب

$J^T J$  تقریباً صفر است. این موضوع وقتی که مدل اولیه نامناسب، یعنی مدلی که از مدل واقعی

<sup>۱</sup> - Discrepancy Vector

تفاوت زیادی دارد استفاده می شود، رخ می دهد. روش متداول برای دوری از این مسئله، اصلاح روش مارکوارت-لونبرگ به معادله گوس-نیوتن است که بصورت زیر بیان می شود:

$$(J^T J + \lambda I) \Delta q_k = J^T g \quad (9-4)$$

در معادله فوق،  $J$  ماتریس واحد است و فاکتور  $\lambda$  بعنوان فاکتور تعديل یا فاکتور مارکوارت-لونبرگ شناخته می شود و نیز این روش به نام روش ریج-رگرسیون معروف است. فاکتور تعديل  $\lambda$ ، بطور مؤثر، بازه مقادیری که مؤلفه های بردار تغییر پارامتر  $\Delta q$  می توانند بگیرند را محدود می کند. در حالیکه روش گوس-نیوتن در معادله (6-4)، فقط مجموع مربعات بردار اختلاف را کم می کند. اصلاح روش مارکوارت-لونبرگ، همچنین ترکیب اندازه بردار اختلاف و بردار تغییر پارامتر را کاهش می دهد. این روش، بطور موفق در معکوس سازی داده های مقاومت ویژه بر روی مدلی با تعداد لایه های کم استفاده شده است. اما هنگامیکه تعداد پارامترهای مدل زیاد است، مدل حاصل از این روش، دارای توزیع غیر عادی مقاومت ویژه یا مناطق کاذب، مقاومت ویژه خیلی بالا یا پائین می باشد. برای غلبه بر این مشکل، معادله حداقل مربعات گوس-نیوتن برای به حداقل رساندن تغییرات در پارامترهای مدل، بکار گرفته می شود (تغییر مقادیر مقاومت ویژه بصورت هموار یا تدریجی). این روش به فرم ریاضی زیر بیان می شوند:

$$(J^T J + \lambda F) \Delta q_k = J^T g - \lambda F q_k \quad (9-4)$$

$$F = \alpha_x c_x^T c_x + \alpha_y c_y^T c_y + \alpha_z c_z^T c_z \quad \text{که}$$

و  $c_x, c_y$  و  $c_z$  ماتریس های هموار در جهات  $x, y$  و  $z$  هستند.  $\alpha_x, \alpha_y$  و  $\alpha_z$  وزن نسبی است که به فیلترهای هموار جهات  $x, y$  و  $z$  داده شده است. نمونه ای متداول از ماتریس هموار، ماتریس شامل عناصر مرتبه اول است که بصورت زیر نشان داده می شوند:

$$C = \begin{bmatrix} -1 & 1 & 0 & .. & .. & .. & .. & 0 \\ 0 & -1 & 1 & 0 & .. & .. & .. & 0 \\ 0 & 0 & -1 & 1 & 0 & .. & .. & 0 \\ & & & .. & .. & .. & .. & \\ & & & & .. & .. & .. & \\ & & & & & .. & .. & \\ & & & & & & .. & \\ & & & & & & & 0 \end{bmatrix} \quad (10-4)$$

معادله (9-4) ناهمواری مقادیر مقاومت ویژه مدل را حداقل می کند و مدلی را با تغییرات هموار مقاومت ویژه ایجاد می کند. اگر تغییرات مقاومت ویژه زیر سطحی واقعی، هموار و یا تدریجی

باشد این مدل قابل قبول است. در بعضی موارد، زمین شناسی زیرسطحی شامل تعدادی نواحی است که دارای مقاومت ویژه های متفاوت است که با مرزهای مشخصی میان نواحی مختلف از یکدیگر جدا شده اند. برای چنین مواردی، فرمول معکوس سازی (۹-۴) می تواند تعدیل و اصلاح شود بطوریکه قدر مطلق مقادیر دارای مقاومت ویژه مدل را کاهش دهد. این روش در بعضی مواقع، بطور قابل توجهی بهترین نتایج را بدست می دهد. به این روش، روش هموار- مقید شده<sup>۱</sup> نیز می گویند و عموماً به روش معکوس سازی بلوکی معروف است [27].

#### ۴-۴ نرم افزارهای مورد استفاده برای مدلسازی معکوس

در این پژوهه، جهت مدلسازی معکوس یک بعدی از نرم افزار ResixIP و برای مدلسازی معکوس دو بعدی از نرم افزار Res2Dinv استفاده شده است که در ادامه، به اختصار معرفی می شوند.

##### ۱-۴-۴ نرم افزار ResixIP

نرم افزار RESIXIP برای معکوس سازی یک بعدی داده های مقاومت ویژه و قطبش القایی بکار می رود. این نرم افزار تحت سیستم عامل Dos کار می کند و مشابه نرم افزار RESIX بوده ولی کاملتر از آن است. هم مدلسازی مستقیم و هم مدلسازی معکوس هموار و پارامتری را انجام می دهد.

##### ۲-۴-۴ نرم افزار Res2Dinv و تئوری استفاده شده برای معکوس سازی

نرم افزار Res2Dinv برای مدلسازی دو بعدی داده های مقاومت ویژه و قطبش القایی توسط لوك<sup>۲</sup> نوشته شده است. این نرم افزار کاملاً اتوماتیک بوده و تحت سیستم عامل ویندوز<sup>۳</sup> کار می کند و برخلاف سایر نرم افزارهای مدلسازی، نیازی به دریافت یک مدل اولیه جهت شروع عملیات مدلسازی ندارد و دارای قابلیت مدلسازی تعداد زیادی از داده های ژئوفیزیکی می باشد. این نرم افزار بطور خودکار، بهترین مقادیر پارامترهای مورد نیاز را انتخاب نموده و شروع به مدلسازی می کند، هر چند که انتخاب این پارامترها توسط اپراتور نیز امکانپذیر است [28].

نرم افزار Res2Dinv، روش حداقل مربعات غیر خطی را بکار برد و محاسبات عددی را با روش

<sup>1</sup>- Smoothness-Constrained

<sup>2</sup>- M. H. Loke

<sup>3</sup>- Windows

های تفاضل محدود<sup>۱</sup> و اجزاء محدود<sup>۲</sup> انجام می دهد.

روش معکوس سازی توسط این برنامه، از سه روش مختلف برای حداقل سازی مربعات استفاده

می کند که عبارتند از:

۱- برنامه، اجرای روش حداقل مربعات بر پایه تکنیک بهینه سازی شبیه- نیوتن را پشتیبانی می کند. این تکنیک بطور قابل توجهی سریعتر از روش حداقل مربعات معمولی (روش گوس- نیوتن) برای مجموعه داده های بزرگ است و به حافظه کمتری احتیاج دارد.

۲- می توان از روش گوس- نیوتن نیز استفاده کرد، چون در نواحی با اختلاف مقاومت ویژه بیشتر از ۱۰ برابر، نتایج بهتری بدست می دهد. این روش دارای دقت بالا ولی سرعت پائین می باشد.

۳- انتخاب سوم در این برنامه، استفاده ترکیبی از گوس- نیوتن برای ۲ یا ۳ تکرار اول و شبیه- نیوتن برای تکرار های بعدی است، این روش ترکیبی، روشنی نسبتاً دقیق و سریع است و در بعضی موارد، بهترین تطابق را بدست می دهد.

برای معکوس سازی بوسیله Res2DInv، روش حداقل مربعات هموار مقید شده<sup>۳</sup> بر اساس

معادله زیر پایه ریزی شده است:

$$(J^T J + uF)d = J^T g \quad (12-4)$$

که در آن:

که  $f_x$  فیلتر تخت افقی،  $f_z$  فیلتر تخت قائم،  $J$  ماتریس مشتقات جزئی،  $u$  فاکتور تعديل،  $d$  بردار آشفتگی مدل و  $g$  بردار اختلاف می باشند.

مدل دو بعدی استفاده شده در این برنامه، زیر سطح را به تعدادی بلوکهای مستطیلی تقسیم می کند. هدف این برنامه، تعیین مقاومت ویژه بلوکهای مستطیلی است که شبیه مقطع مقاومت ویژه ظاهری، که مطابق با اندازه گیریهای واقعی است، تولید خواهد کرد. برای آرایشهای ونر و شلومبرگر، ضخامت لایه اول بلوکها، نصف فاصله الکتروودی است. ضخامت لایه های عمیق تر بعدی بطور نرمال با ۱۰٪ یا ۲۵٪ افزایش می یابد. همچنین اعمق لایه ها را می توان بطور دستی افزایش داد.

<sup>1</sup> - Finite Difference

<sup>2</sup> - Finite Element

<sup>3</sup> - Smoothness-Constrained Least Square

روش بهینه سازی، بطور اساسی برای کاهش اختلاف میان مقادیر مقاومت ویژه محاسبه شده و اندازه گیری شده بوسیله تعديل مقاومت ویژه بلوکهای مدل، بکار می رود. برنامه در هر بار تکرار، خطای RMS را محاسبه می کند و سعی در کاهش آن دارد. بهر حال، مدل با کمترین خطای RMS ممکن، می تواند بعضی اوقات تغییرات بزرگ و غیر واقعی در مقادیر مقاومت ویژه مدل نشان دهد و ممکن است همیشه بهترین مدل از یک مدل زمین شناسی را نشان ندهد.

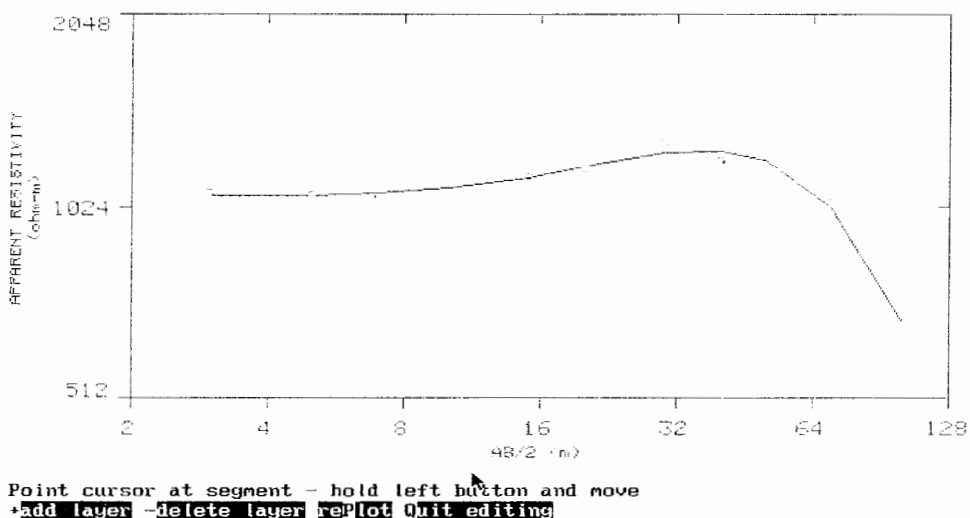
بطور کلی، برای انتخاب مدل نهایی، خطای RMS تکرار مدل تغییر چندانی نسبت به تکرار قبلی نداشته باشد و معمولاً بین تکرارهای سوم تا پنجم رخ می دهد [28].

همانطوریکه در فصل پیش اشاره شد توپوگرافی بر روی مقاومت ویژه تاثیر دارد و باعث ایجاد آنومالی کاذب شده و یا باعث مخفی ماندن اثر یک آنومالی می شود، پس در شرایطی که توپوگرافی شدید باشد باید اثر آن تصحیح گردد. نرم افزار مذکور با استفاده از روش اجزاء محدود این عمل را انجام می دهد و زمانی که فایل داده ها شامل اطلاعات مربوط به توپوگرافی منطقه باشد، روش اجزاء محدود را بطور خودکار استفاده می کند، به این دلیل که در شرایطی که تغییرات توپوگرافی شدید باشد با دقت بالایی مدلسازی را انجام می دهد [20].

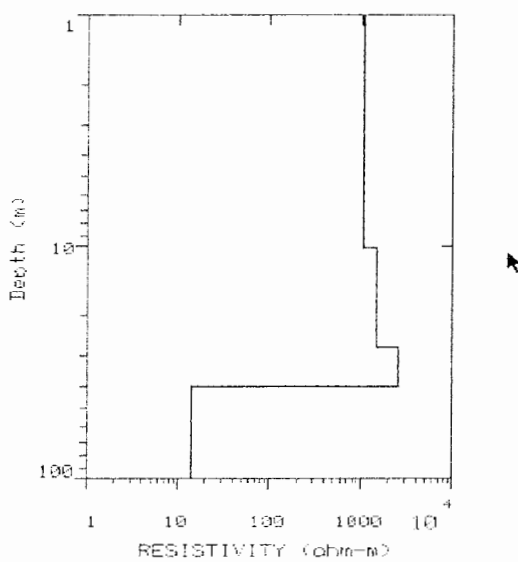
#### ۴-۵ نتایج مدلسازی معکوس یک بعدی

در این بخش، مدل های حاصل از معکوس سازی یک بعدی داده های مقاومت ویژه با استفاده از نرم افزار ResixIP، برای تعدادی از سوندazها، ارائه و مورد تعبیر و تفسیر کمی قرار می گیرند. مدلها یک بعدی برای تمامی نقاط سونداز، در پیوست ح ارائه شده است. شکل ۱-۴ نمونه ای از این مدلها (سونداز E8) را نشان می دهد. بطوریکه از شکل ملاحظه می شود، محور عمودی این نمودار، مقادیر مقاومت ویژه بر حسب اهم متر و محور افقی، مقادیر  $AB/2$  بر حسب متر را نشان می دهد. در این نمودار، مربعات کوچک به رنگ سبز، داده های اندازه گیری شده، نقطه چین ها، مدل داده شده و خط منحنی وار به رنگ آبی، پاسخ مدل را نشان می دهد. مقدار خطای مدلسازی هم در بالای نمودارها داده می شوند. هر چه مدل داده شده و پاسخ بدست آمده تطابق بیشتری داشته باشند، مقدار خطای مدلسازی کمتر خواهد بود.

با استفاده از نرم افزار ResixIP می توان مدلهای هم ارز مربوط به یک سوندazer را بدست آورد. در صورتی که در نمودار مدلهای هم ارز، مقاومت ویژه لایه ای در تمامی مدلهای هم ارز تقریباً برابر و همچنین عمق لایه ها تقریباً ثابت باشد، نشانگر وضعیتی است که مقاومت ویژه لایه و عمق آنها با دقت بالایی تعیین شده است. نمونه ای از مدلهای هم ارز (سوندazer E8) در شکل ۲-۴ نشان داده شده است. مدل های هم ارز برای تعدادی از نقاط سوندazer، در پیوست خ آمده است.



شکل ۱-۴: نمونه ای از مدلسازی یک بعدی سوندائزها (سوندazer E8)



شکل ۲-۴: نمونه ای از مدلهای هم ارز سوندائزها (سوندazer E8)

#### ۱-۵-۴ نتایج مدلسازی یک بعدی سوندazer B2

شکل ح-۷ پیوست ح مدل یک بعدی داده های سوندazer B2 را نشان می دهد. مشاهده می شود که در محل سوندazer، احتمالاً زمین ۴ لایه است. جدول ۱-۴، مقادیر پارامترهای مدل بدست آمده و جنس لایه ها در محل سوندazer B2 را ارائه می کند. خطای مدلسازی برابر ۰,۵,۲۳٪ است که نشان می دهد مدلسازی یک بعدی با دقت خوبی انجام پذیرفته است. مدل هم ارز این سوندazer در شکل خ-۲ پیوست خ آمده است. این مدل نشان می دهد که مقادیر پارامترهای مدل بدست آمده (عمق لایه ها و مقاومت ویژه آنها)، دقت بالایی داشته و نشان می دهد که مدلسازی یک بعدی با دقت خوبی انجام پذیرفته است.

#### ۲-۵-۴ نتایج مدلسازی یک بعدی سوندazer C2

مدلسازی یک بعدی داده های سوندazer C2 در شکل ح-۱۳ پیوست ح نشان داده شده است. در محل سوندazer، زمین مورد مطالعه، ۳ لایه است. جدول ۲-۴، مقادیر پارامترهای مدل بدست آمده و جنس لایه ها در محل سوندazer C2 را ارائه می کند.

خطای مدلسازی برابر ۰,۴,۷۷٪ است که نشان می دهد که مدلسازی یک بعدی با دقت خوبی انجام پذیرفته است. مدل هم ارز این سوندazer در شکل خ-۴ پیوست خ آمده است. این مدل نشان می دهد که مقادیر پارامترهای مدل بدست آمده، دقت بالایی داشته و از تطابق خوبی برخوردارند.

جدول ۱-۴: مقادیر پارامترهای مدل بدست آمده و جنس لایه ها در نقطه سوندazer B2

جنس لایه	AB/2(m)	$\rho(\Omega m)$	سوندazer B2
بعلت ضخامت کم لایه؛ دانه بندی ریز در سطح زمین	۱,۳	۶۶	لایه اول
واریزه هایی با اندازه متوسط	۴,۹	۳۱۹	لایه دوم
سنگ های آذرین نفوذی (برش آتشفسانی)	۸۳,۷	۸۶	لایه سوم
سنگ های آذرین نفوذی (برش آتشفسانی) مرتبط	...	۴,۱	لایه چهارم

جدول ۲-۴: مقادیر پارامترهای مدل بدست آمده و جنس لایه ها در نقطه سوندazer C2

جنس لایه	AB/2(m)	$\rho(\Omega m)$	سوندazer C2
بعلت ضخامت کم لایه؛ واریزه هایی با دانه بندی ریز در سطح زمین	۱,۶	۷۱	لایه اول
واریزه هایی با دانه بندی با اندازه متوسط	۱۰,۸	۱۷۰	لایه دوم
سنگ های آذرین نفوذی (برش آتشفسانی)	...	۵۳	لایه سوم

#### ۴-۵-۳ نتایج مدلسازی یک بعدی سونداز D5

مدلسازی یک بعدی داده های سونداز D5 در شکل ح-۲۲ پیوست ح نشان داده شده است. در محل سونداز، زمین مورد مطالعه، ۳ لایه است. جدول ۳-۴، نتایج حاصل از معکوس سازی یک بعدی و جنس لایه ها در محل سونداز D5 را ارائه می کند.

خطای مدلسازی برابر ۵,۹۷٪ است که نشان می دهد که مدلسازی یک بعدی با دقت خوبی انجام پذیرفته است. مدل هم ارز این سونداز در شکل خ-۵ پیوست خ آمده است. این مدل نشان می دهد که مقادیر پارامترهای مدل حاصل، دقت بالایی داشته و از تطابق خوبی برخوردارند.

#### ۴-۵-۴ نتایج مدلسازی یک بعدی سونداز F4

مدلسازی یک بعدی داده های سونداز F4 در شکل ح-۳۶ پیوست ح نشان داده شده است. در محل سونداز، زمین مورد مطالعه، ۴ لایه است. جدول ۴-۴، مقادیر پارامترهای مدل بدست آمده و جنس لایه ها در محل سونداز F4 را ارائه می کند.

خطای مدلسازی برابر ۲,۲۸٪ است که نشان می دهد که مدلسازی یک بعدی با دقت خوبی انجام پذیرفته و تطابق خوبی بین مدل و پاسخ آن برخوردار است.

#### ۴-۵-۵ نتایج مدلسازی یک بعدی سونداز G6

مدلسازی یک بعدی داده های سونداز G6 در شکل ح-۴۶ پیوست ح نشان داده شده است. در محل سونداز، زمین مورد مطالعه، ۴ لایه است. جدول ۴-۵، نتایج حاصل از معکوس سازی یک بعدی و جنس لایه ها در محل سونداز G6 را ارائه می کند. خطای مدلسازی برابر ۶,۷۲٪ است که نشان می دهد که مدلسازی یک بعدی با دقت خوبی انجام پذیرفته است و از تطابق خوبی برخوردارند.

#### ۴-۵-۶ نتایج مدلسازی یک بعدی سونداز H7

مدلسازی یک بعدی داده های سونداز H7 در شکل ح-۵۸ پیوست ح نشان داده شده است. در محل سونداز، زمین مورد مطالعه، ۳ لایه است. جدول ۴-۶، نتایج حاصل از معکوس سازی یک بعدی و جنس لایه ها در محل سونداز H7 را ارائه می کند.

خطای مدلسازی برابر ۴,۲۷٪ است که نشان می دهد که مدلسازی یک بعدی با دقت خوبی انجام پذیرفته است و تطابق خوبی بین مدل و پاسخ آن برخوردار است.

جدول ۴-۳: مقادیر پارامترهای مدل بدست آمده و جنس لایه ها در نقطه سوندazer D5

جنس لایه	AB/2(m)	$\rho(\Omega m)$	سوندazer D5
بعلت ضخامت کم لایه؛ واریزه هایی با اندازه درشت در سطح زمین	۴,۸	۹۱۶	لایه اول
بخش هوازده و خرد شده سنگ بستر یا واریزه لغزش	۳۳,۴	۱۸۱	لایه دوم
لایه ای نفوذ ناپذیر؛ سنگ بستر	...	۶۲	لایه سوم

جدول ۴-۴: مقادیر پارامترهای مدل بدست آمده و جنس لایه ها در نقطه سوندazer F4

جنس لایه	AB/2(m)	$\rho(\Omega m)$	سوندazer F4
بعلت ضخامت کم لایه؛ دانه واریزه های درشت در سطح زمین	۱,۴	۸۱۸	لایه اول
واریزه هایی با دانه بندی با اندازه متوسط	۱۹,۳	۱۱۷	لایه دوم
سنگ های آذرین نفوذی (برش آتشفشنایی)	۱۳۱	۲۵	لایه سوم
سنگ های آذرین نفوذی (برش آتشفشنایی) مرتبط	...	۵	لایه چهارم

جدول ۴-۵: مقادیر پارامترهای مدل بدست آمده و جنس لایه ها در نقطه سوندazer G6

جنس لایه	AB/2(m)	$\rho(\Omega m)$	سوندazer G6
بعلت ضخامت کم لایه؛ واریزه های ریزدانه در سطح زمین	۱۰,۵	۵۸	لایه اول
واریزه های دارای اندازه متوسط	۲۹,۷	۱۱۳	لایه دوم
سنگهای آذرین نفوذی (برش آتشفشنایی)	۶۲	۳۴	لایه سوم
سنگ های آذرین نفوذی (برش آتشفشنایی) مرتبط	...	۳۰	لایه چهارم

جدول ۴-۶: مقادیر پارامترهای مدل بدست آمده و جنس لایه ها در نقطه سوندazer H7

جنس لایه	AB/2(m)	$\rho(\Omega m)$	سوندazer H7
بعلت ضخامت کم لایه؛ واریزه هایی با اندازه درشت در سطح زمین	۰,۹۴	۶۵۷	لایه اول
بخش هوازده و خرد شده سنگ های آذرین نفوذی (برش آتشفشنایی)	۱۸	۳۱۱	لایه دوم
سنگ های آذرین نفوذی (برش آتشفشنایی)	...	۶۵	لایه سوم

## ۴-۶ نتایج مدلسازی معکوس دو بعدی

همانطور که اشاره شد؛ معکوس سازی داده های مقاومت ویژه، تعیین مقاومت ویژه واقعی و ضخامت لایه ها با توجه به مقادیر مقاومت ویژه ظاهری اندازه گیری شده است. در این بخش، مدل های حاصل از معکوس سازی دو بعدی داده های مقاومت ویژه، ارائه و مورد تعبیر و تفسیر کمی قرار می گیرند. ابتدا مدلها دو بعدی مربوط به آرایش CRP و در ادامه، مدلها حاصل از معکوس سازی دو بعدی مربوط به پروفیلهای طولی و عرضی آورده می شود و در نهایت مدلها دو بعدی CRP و پروفیلهای سوندazerها مقایسه و نتایج مدلها کنترل می شوند. در مورد مدلها پروفیلهای طولی و

عرضی، باید اشاره کنیم که چون برداشتها بصورت یک بعدی بوده، با قرار دادن سونداژهای هر پروفیل در کنار یکدیگر و معکوس سازی آنها، نتایج قابل قبول بدست می‌آید، هر چند که دقیق‌تر آن از دقت مربوط به مدل‌های حاصل از برداشت‌های دو بعدی کمتر است. حداکثر عمقی که مدل‌های CRP و پروفیلهای طولی و عرضی نشان می‌دهند، به ترتیب ۱۹ و ۵۲ متر است. از تفسیر پروفیل CRP در تفسیر پروفیلهای مربوط به سونداژها استفاده می‌شود و بعلت اینکه از آرایش CRP برای مشخص کردن خصوصیات نواحی سطحی استفاده می‌شود، لذا عمق کمتری را بررسی کرده و نمی‌توان بطور دقیق در مورد سطح لغزش اظهار نظر کرد. در مدل‌ها، خط پر مشکی، موقعیت سطح لغزش، خط چین مشکی، سطح دارای پتانسیل لغزش و خط چین به رنگ قرمز نایپیوستگی یا گسل را نشان می‌دهد.

جدول ۷-۴ خطای مدلسازی را نشان می‌دهد. هر چه تطابق مدل حاصل و اندازه گیری صحراوی بیشتر باشد، مقدار خطای اندازه گیری کمتر خواهد بود. در اکثر پروفیلهای مقدار این خطای پائین می‌باشد که این امر دقیق‌تر بالای مدلسازی را نشان می‌دهد.

جدول ۷-۴: خطای RMS در مدلسازی معکوس دوبعدی پروفیلهای

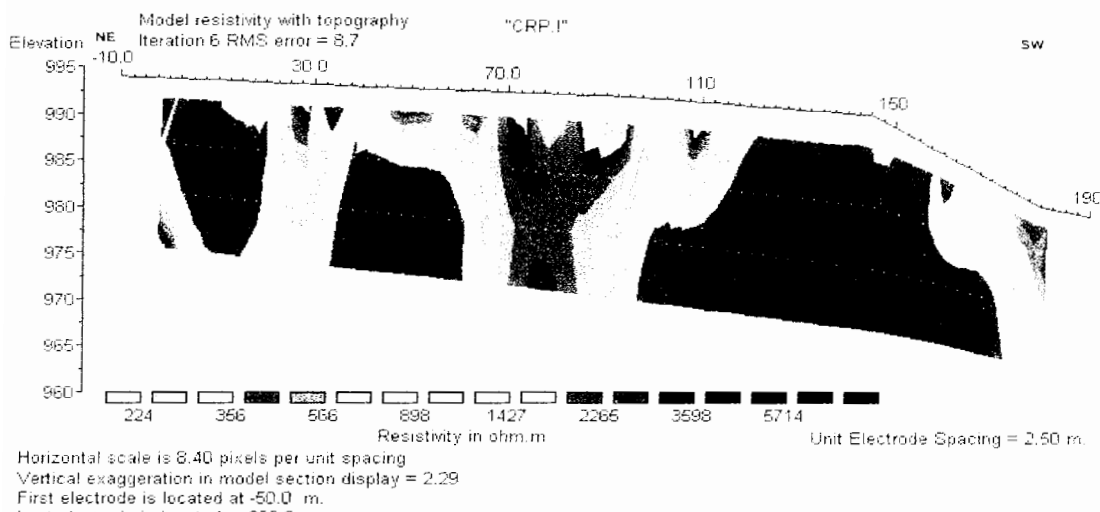
نام پروفیل	A	B	C	D	E	F	G	H	P	Q	R	S	X	CRP.I	CRP.II	CRP.III
خطا (%)	۶,۸	۸,۱	۶,۸	۸,۰	۶,۲	۲,۸	۶,۳	۶,۶	۶,۰	۴,۱	۶,۷	۵,۲	۷,۶	۸,۷	۱۲,۶	۸,۸

## ۱-۶-۴ نتایج مدلسازی معکوس دو بعدی پروفیلهای CRP

### ۱-۶-۴-۱ مقطع قائم پروفیل CRP.I

مقاطع قائم حاصل از معکوس سازی دوبعدی داده‌های مقاومت ویژه با استفاده از نرم افزار Re3DInv در شکل ۳-۴ نشان داده شده است. چون در این محدوده تخته سنگهای داسیتی و واریزه‌های با اندازه درشت مشاهده می‌شود مقاومت ویژه بطور کلی بالا است. از ابتدای پروفیل تا فاصله ۶۸ متری و نیز از فاصله ۹۵ متری تا انتهای پروفیل، مقاومت ویژه بالا (بیش از ۱۰۰۰ اهم متر) می‌باشد و در فاصله ۶۸ تا ۹۵ متری مقاومت ویژه کمتر از ۱۰۰۰ اهم متر می‌باشد. تغییرات شدید مقاومت ویژه در فاصله‌های ۲۸، ۷۰، ۹۵ و ۱۷۵ متری پروفیل مشاهده می‌شوند، بنابراین در این نواحی با نایپیوستگی<sup>۱</sup> جانبی مواجه هستیم. در فاصله ۱۱۰ تا ۱۷۰ متری تغییرات لایه بندی وجود دارد.

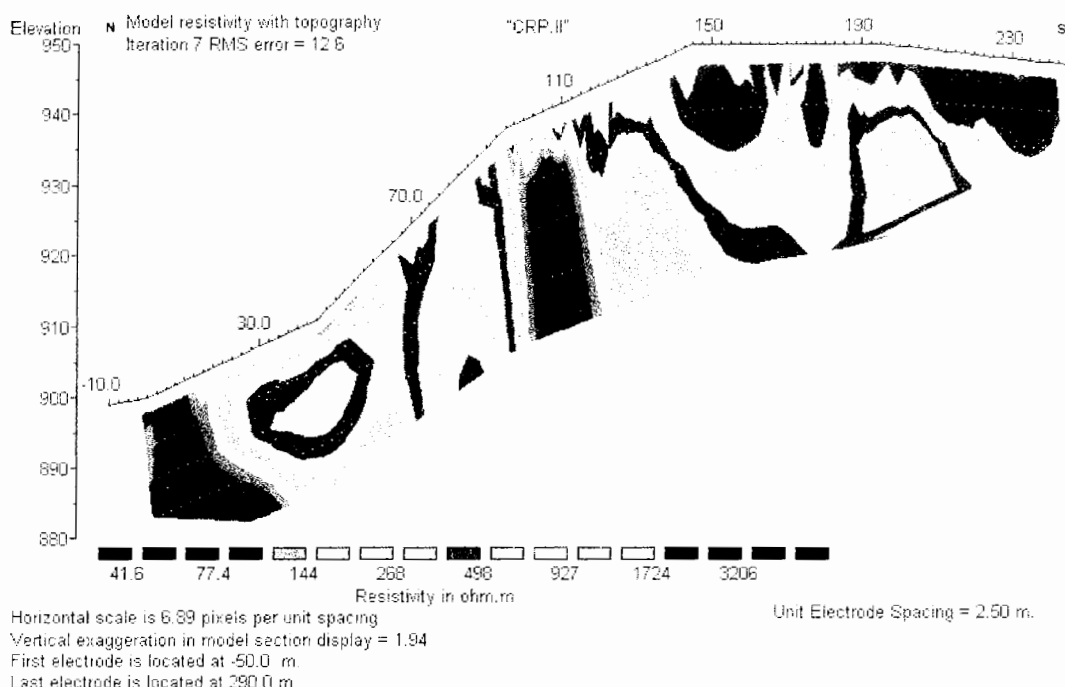
<sup>۱</sup>- Contact



شکل ۴-۳: مقطع قائم حاصل از مدلسازی معکوس دوبعدی پروفیل CRP.I با استفاده از نرم افزار Res2DInv

#### ۲-۱-۶-۴ مقطع قائم پروفیل CRP.II

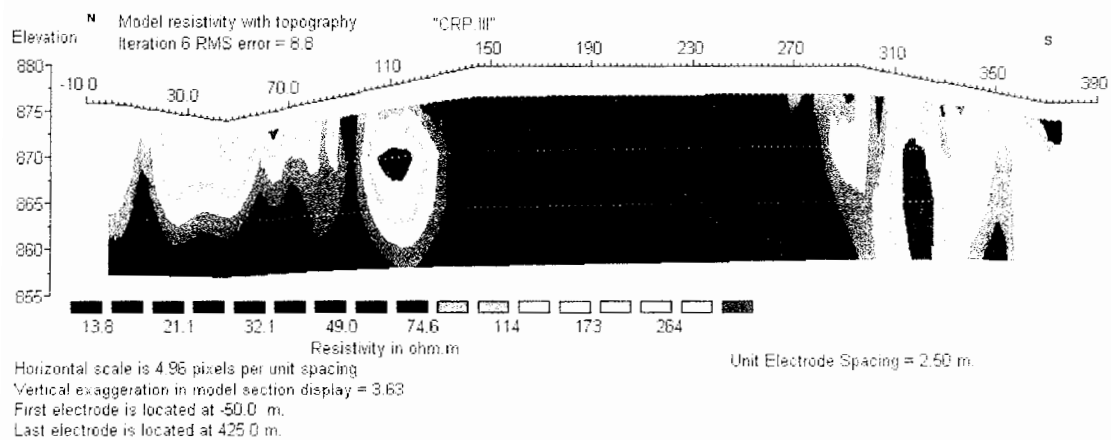
مقطع قائم حاصل از مدلسازی سازی دوبعدی مقاومت ویژه با استفاده از نرم افزار Res2DInv در شکل ۴-۴ نشان داده شده است. پروفیل مربوط به این مقطع، در محدوده ۱۵ تا ۱۳۵ متری بر روی لغزش واقع است. چون در این محدوده واریزه هایی با اندازه های متفاوت وجود دارد مقاومت ویژه در بعضی نواحی خیلی پائین و در بعضی نواحی خیلی بالا است. بخش هایی از ابتدای این پروفیل بر روی توده نفوذی از جنس برش آتشفسانی (با مقاومت ویژه بین ۲۰ تا ۱۰۰ اهم متر) و مخلوطی از سنگ های مختلف آذرین رخنمون دار قرار دارد و از مقطع قائم مربوطه نیز، محدوده این توده بخوبی قابل مشاهده است (ناحیه به رنگ آبی). از فاصله ۱۳۰ متر تا انتهای پروفیل مقاومت ویژه بالا (بیش از ۱۰۰۰ اهم متر) می باشد که مربوط به سنگ بکر داسیت است. در محدوده ۱۵ تا ۱۳۵ متری، دارای واریزه های با اندازه ریز تا بزرگ است. چون مقطع حاصل، خصوصیات زمین شناسی را تا عمق حدود ۱۹ متر نشان می دهد، نمی توان اظهار نظری در مورد سطح لغزش ارائه کرد. تغییرات جانبی مقاومت ویژه در فاصله ۱۲۰ متر ابتدای پروفیل وجود دارد به همین دلیل، ناپیوستگی هایی در فاصله های ۲۰، ۶۵ و ۱۰۵ متری پروفیل مشاهده می شوند و همچنین تغییرات شدید لایه بندهی در فاصله ۱۲۰ متر تا انتهای پروفیل وجود دارد و از سطح به عمق زمین، مقاومت ویژه کاهش می یابد.



شکل ۴-۴: مقطع قائم حاصل از مدلسازی معکوس دوبعدی پروفیل CRP.II با استفاده از نرم افزار Res2DInv

### ۳-۱-۶-۴ مقطع قائم پروفیل CRP.III

مقطع قائم حاصل از معکوس سازی دوبعدی داده های مقاومت ویژه با استفاده از نرم افزار Re3DInv در شکل ۴-۵ نشان داده شده است. چون در این محدوده واریزه های دانه ریز تا دانه متوسط مشاهده می شود مقاومت ویژه بطور کلی پائین است و از طرفی بر روی این پروفیل، توده نفوذی از جنس برش آتشفسانی (با مقاومت ویژه بین ۲۰ تا ۱۰۰ اهم متر) و مخلوطی از سنگهای مختلف آذرین دیده می شود و از مدل مربوطه نیز محدوده این توده بخوبی قابل مشاهده است. از ابتداء تا فاصله ۱۳۰ متری و نیز از فاصله ۲۹۰ تا انتهای پروفیل وجود مقاومت ویژه بالا (۱۰۰ تا ۳۰۰ اهم متر) به علت واریزه های دانه متوسط می باشد. در فاصله ۱۳۰ تا ۲۹۰ متری، وجود مقاومت ویژه کمتر از ۱۰۰ اهم متر، مربوط به واریزه های دانه ریز و توده نفوذی (برش آتشفسانی) می باشد. در عمق بیش از ۱۵ متر در فاصله ۱۳۰ متری ابتدای پروفیل می تواند توده نفوذی باشد که با واریزه پوشانده شده اند. تغییرات شدید لایه بندي در ۱۰۰ متر ابتدای پروفیل وجود دارد و از سطح به عمق زمین، مقاومت ویژه کاهش می یابد و همچنان بعثت تغییرات جانبی مقاومت ویژه، در فاصله ۱۳۰ متر و همچنان در فاصله ۲۸۰ متر ناپیوستگی مشاهده می شوند.



شکل ۴-۵: مقطع قائم حاصل از مدلسازی معکوس دوبعدی پروفیل CRP.III با استفاده از نرم افزار Res2DInv

با مقایسه مقاطع قائم حاصل از مدلسازی معکوس دوبعدی پروفیلهای CRP و شبه مقاطع ظاهری مقاومت ویژه ظاهری آنها (پیوست ث)، مشاهده می شود که تفاوت زیادی از لحاظ وجود تغییرات جانبی و قائم مقاومت ویژه با یکدیگر نداشته و ناپیوستگی ها و تغییرات لایه بندی موجود در مقاطع قائم، در شبه مقاطع نیز دیده می شوند. تنها تفاوت بین آنها، واقعی یا ظاهری بودن پارامترهایی مانند مقاومت ویژه و عمق آنومالی ها می باشد.

## ۲-۶-۴ نتایج مدلسازی معکوس دو بعدی پروفیلهای طولی و عرضی

### ۱-۲-۶-۴ مقطع قائم پروفیل طولی A

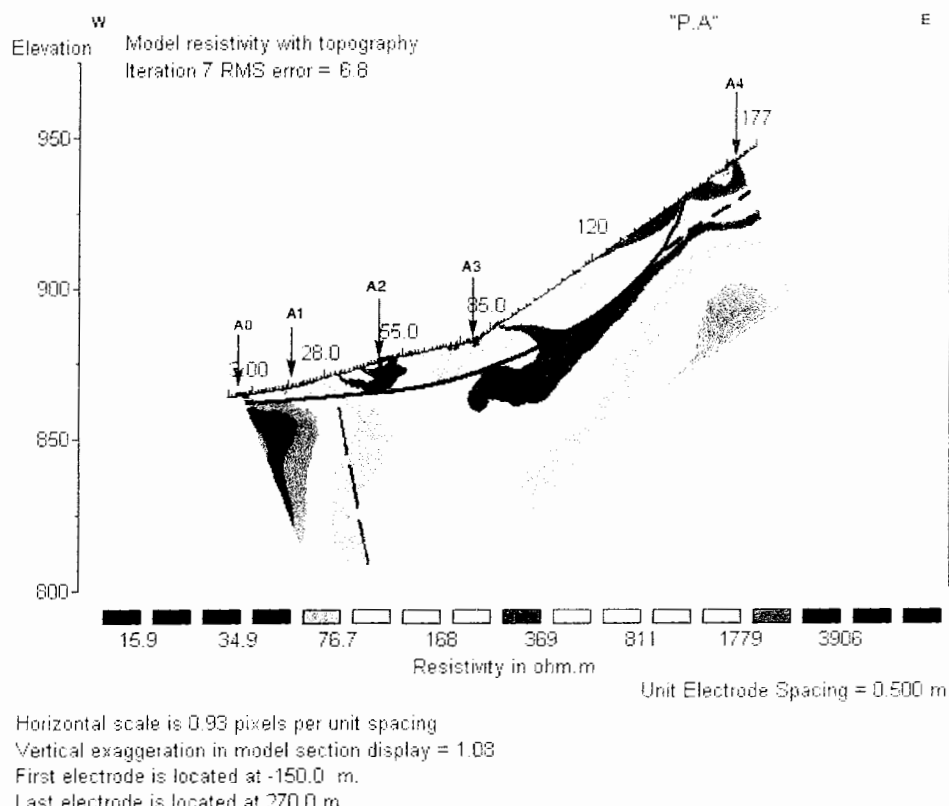
مقطع قائم حاصل از مدلسازی معکوس دوبعدی مربوط به پروفیل A با استفاده از نرم افزار Res2DInv در شکل ۶-۴ نشان داده شده است. از شکل آشکار است که از ابتدای پروفیل تا فاصله ۳۰ متری، تغییرات جانبی مقاومت ویژه (افزایش مقاومت ویژه از سمت چپ به راست) به خوبی نمایان است ولی برای فاصله بیشتر از ۳۰ متر تا انتهای پروفیل، تغییرات عمقی مقاومت ویژه دیده می شود و از سطح به عمق، از مقدار مقاومت ویژه کاسته می شود، بنابراین یک ناپیوستگی جانبی را می توان در فاصله ۳۰ متری مشخص کرد.

مقاومت ویژه کم (تقريباً ۵۰ اهم متر-ناحیه آبی رنگ) در ابتدای پروفیل که تا اعمق بیشتر گسترش دارد مربوط به سنگهای آذرین نفوذی می باشد. علت پائین بودن مقاومت ویژه (۲۰ تا ۱۰۰ اهم متر)، بعلت جنس سنگ از نوع برش (خاکسترهاي) آتشفسانی و وجود رسوبات رودخانه ای در

محدوده سوندای A0 است. از ابتدای پروفیل تا فاصله ۳۰ متری، مقاومت ویژه پائین در سطح زمین، عموماً رسوبات رودخانه ای و واریزه های دامنه ای دانه ریز با عمق کم می باشد. در فاصله ۳۰ تا ۸۸ متری می توان بطور متناوب سنگ سیلیسی هوازده را مشاهده کرد که بعلت ریزش سنگ از ارتفاعات، در بعضی نواحی، سطح آن با واریزه ها به ضخامت حدود ۱۰ متر پوشانده شده است. زونهایی با مقدار مقاومت ویژه کمتر از ۴۰۰ اهم متر که در عمق کم زمین و در فاصله ۳۰ تا ۸۸ متری پروفیل وجود دارند، مربوط به واریزه های دامنه ای با اندازه متوسط و ریز از جنس داسیت و توف های سیلیسی هوازده است و عمقی متغیر داشته و از ۸ تا ۱۰ متر تغییر می کند و بعلت قرار گیری بر روی مواد با مقاومت ویژه حدود ۲۰۰ اهم متر، می تواند قسمتی از سطح لغزش کلی باشد.

از فاصله تقریبی ۳۰ متر تا انتهای پروفیل، در عمق بیشتر، دارای مقاومت ویژه کمتر از ۴۰۰ اهم متر می باشد که می تواند مربوط به سنگ بستر سیلیسی باشد.

در فاصله ۸۸ تا ۱۶۵ متر، وجود مقاومت ویژه بالایی را مشاهده کرد که مربوط به واریزه های دامنه ای شامل بلوکها و مواد دانه درشت است و بر روی سنگ بستر سیلیسی با مقاومت ویژه کمتر از



شکل ۴-۶: مقطع قائم حاصل از مدلسازی معکوس دوبعدی پروفیل طولی A با استفاده از نرم افزار Res2Dinv

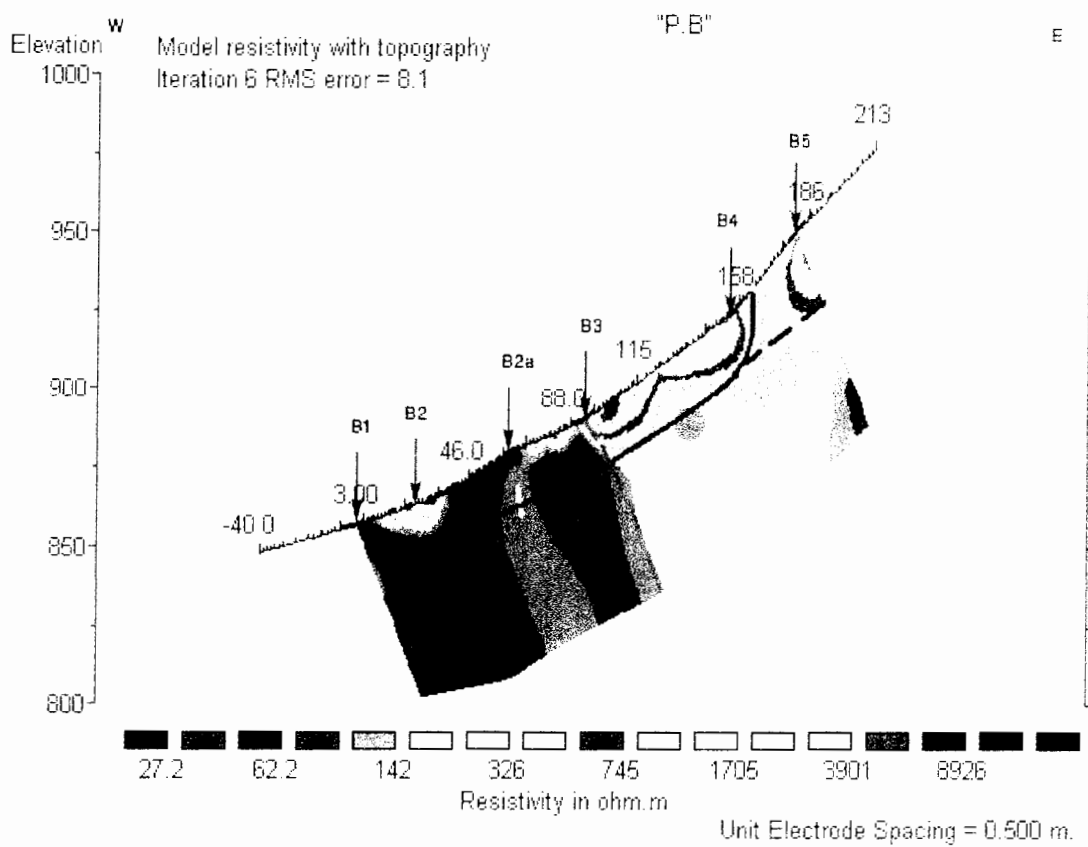
۴۰۰ اهم متر قرار گرفته و شرایط لغزش را دارا می باشد. حداکثر عمق تقریبی سطح لغزش ۱۵ متر است. ناحیه ای که با مقاومت ویژه بالا در انتهای پروفیل مشاهده می شود مربوط به تخته سنگهای داسیتی ارتفاعات هستند.

سطح لغزش کلی در شکل ۶-۴ با خط ممتد رسم شده است که ماکزیمم ضخامت آن ۱۵ متر می باشد. همچنین در محل نمایش خط چین، امکان وقوع لغزش در اثر تأثیر عوامل مؤثر، وجود دارد.

#### ۲-۶-۴ مقطع قائم پروفیل طولی B

مقطع قائم حاصل از معکوس سازی دوبعدی داده های مقاومت ویژه پروفیل B با استفاده از نرم افزار ResDinv در شکل ۷-۴ نشان داده شده است. مقاومت ویژه کم (به رنگ آبی) در ۹۰ متر ابتدای پروفیل مربوط به توده نفوذی آذرین از جنس برش آتشفشنی بوده و مقاومت ویژه ای بین ۲۰ تا ۱۰۰ اهم متر دارند که در بعضی از نقاط با واریزه های دانه ریز تا دانه متوسط حاصل از ریزش پوشانده شده اند. زون های با مقاومت ویژه مختلف که در عمق کم وجود دارند مربوط به سنگ های آذرین نفوذی و واریزه های دامنه ای از جنس سیلیس و داسیت هستند که از ارتفاعات بالاتر ریزش کرده اند. این واریزه ها عمقی متغیر در ۹۰ متر ابتدای پروفیل دارند و تا حداکثر ۱۵ متر تغییر می کند و بعلت قرار گیری بر روی سنگهای آذرین، لغزش رخ خواهد داد. از فاصله ۹۰ متری تا انتهای پروفیل، واریزه های با اندازه درشت و مقاومت ویژه بالا و همچنین توف سیلیسی هوازده با مقاومت ویژه متوسط مشاهده می شود و با توجه به گسترش آن در عمق و مقاومت ویژه تقریباً یکسان آن (۱۰۰ تا ۴۰۰ اهم متر)، احتمالاً جنس سنگ بستر در این قسمت از نوع سیلیسی می باشد. پس با توجه به قرار گیری سنگهای با مقاومت ویژه بالا بر روی سنگهای با مقاومت ویژه پائین، می توان سطح لغزشی را شناسایی کرد که حداکثر عمق آن در حدود ۱۷ متر است. ناحیه ای که با مقاومت ویژه بالا در انتهای پروفیل مشاهده می شود مربوط به سنگهای داسیت واقع در ارتفاعات هستند.

سطح لغزش کلی در شکل ۷-۴ با خط ممتد تیره نشان داده شده است. همچنین در محل نمایش خط چین، امکان وقوع لغزش در اثر تأثیر عوامل مؤثر، وجود دارد. یک ناپیوستگی جانبی در زیر سوندazer B3 واقع است. لازم به ذکر است توفهای و برش آتشفشنی مستعد لغزش هستند.



Horizontal scale is 0.68 pixels per unit spacing  
 Vertical exaggeration in model section display = 1.23  
 First electrode is located at -150.0 m.  
 Last electrode is located at 330.0 m.

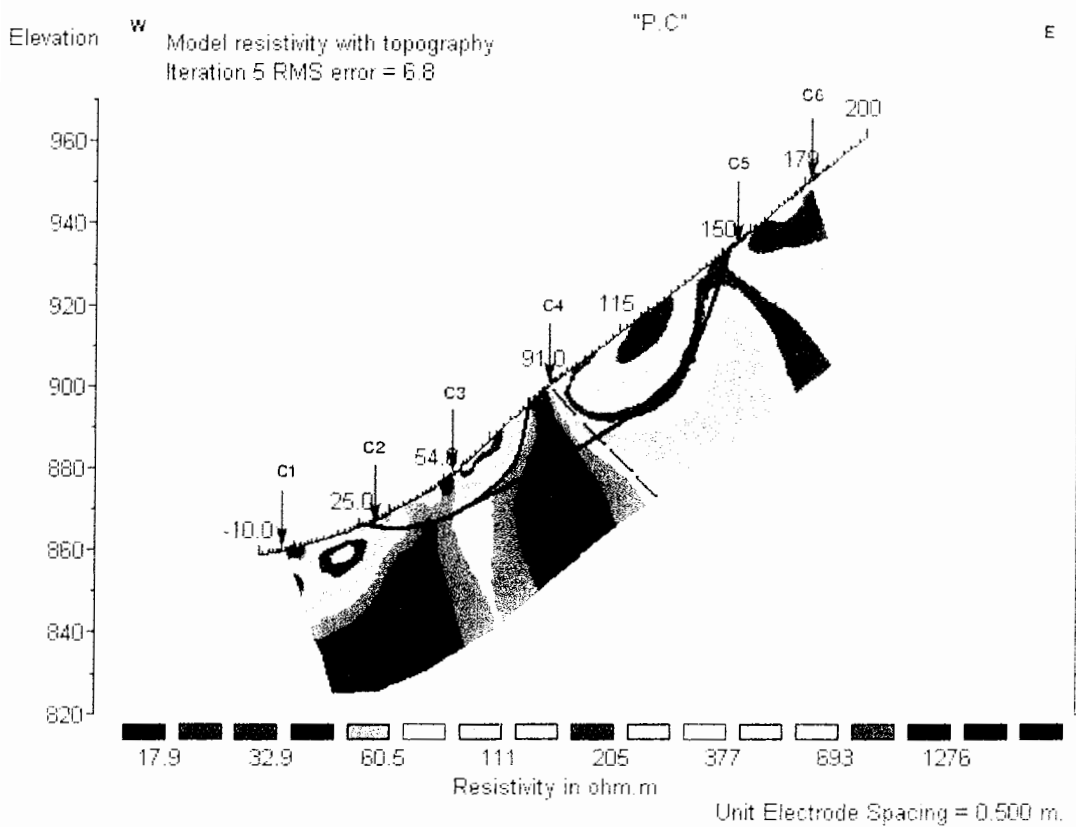
شکل ۷-۴: مقطع قائم حاصل از مدلسازی معکوس دوبعدی پروفیل طولی B با استفاده از نرم افزار Res2DInv

### ۳-۲-۶-۴ مقطع قائم پروفیل طولی C

مقطع قائم حاصل از مدلسازی معکوس دو بعدی مربوط به پروفیل C با استفاده از نرم افزار Re2DInv در شکل ۸-۴ نشان داده شده است. از شکل آشکار است که در محدوده سوندazer C4 تغییرات جانبی مقاومت ویژه (افزایش مقاومت ویژه از سمت چپ به راست) به خوبی نمایان است و می توان ناپیوستگی جانبی را در فاصله ۹۰ متری، مشخص کرد. مقاومت ویژه کم (تقریباً ۲۰ تا ۱۰۰ متر-ناحیه آبی رنگ) در ۹۰ متر ابتدای پروفیل، که تا اعماق بیشتر گسترش دارد، مربوط به سنگهای آذرین نفوذی می باشد. علت پائین بودن مقاومت ویژه، بعلت جنس سنگ از نوع برش (خاکسترها) آتشفشنای است. زونهای با مقادیر مقاومت ویژه کمتر از ۴۰۰ اهم متر که در عمق کم زمین و در فاصله ۹۰ متری ابتدای پروفیل وجود دارند، مربوط به واریزه های دامنه ای با اندازه

متوسط و ریز از جنس داسیت و سیلیس است که از ارتفاعات بالاتر ریزش کرده اند، این واریزه ها عمقی در حدود ۲۵ متر دارد. در فاصله ۳۰ تا ۹۰ متر، مقاومت ویژه از سطح تا حداقل عمق ۲۵ متر، بین ۱۰۰ تا ۴۰۰ اهم متر (واریزه های سیلیسی و داسیتی) تغییر می کند و بعلت قرار گیری بر روی مواد با مقاومت ویژه حدود کمتر از ۱۰۰ اهم متر، می تواند قسمتی از سطح لغزش کلی باشد.

از فاصله ۹۰ متر تا انتهای پروفیل، در عمق بیشتر از ۲۵ متر، دارای مقاومت ویژه کمتر از ۴۰۰ اهم متر می باشد که احتمالاً مربوط به سنگ بستر سیلیسی می باشد و می توان در سطح زمین، بطور متناوب سنگ های سیلیسی هوازده را مشاهده کرد که بعلت ریزش سنگ از ارتفاعات، در بعضی نواحی، سطح آن با واریزه ها پوشانده شده است. در فاصله ۹۰ تا ۱۴۷ متر، وجود مقاومت ویژه بالا در سطح، مربوط به واریزه های دامنه ای شامل بلوکها و مواد دانه درشت بوده و بر روی سنگ بستر احتمالاً سیلیسی با مقاومت ویژه کمتر از ۴۰۰ اهم متر قرار گرفته و سطح لغزشی را ایجاد می کند که



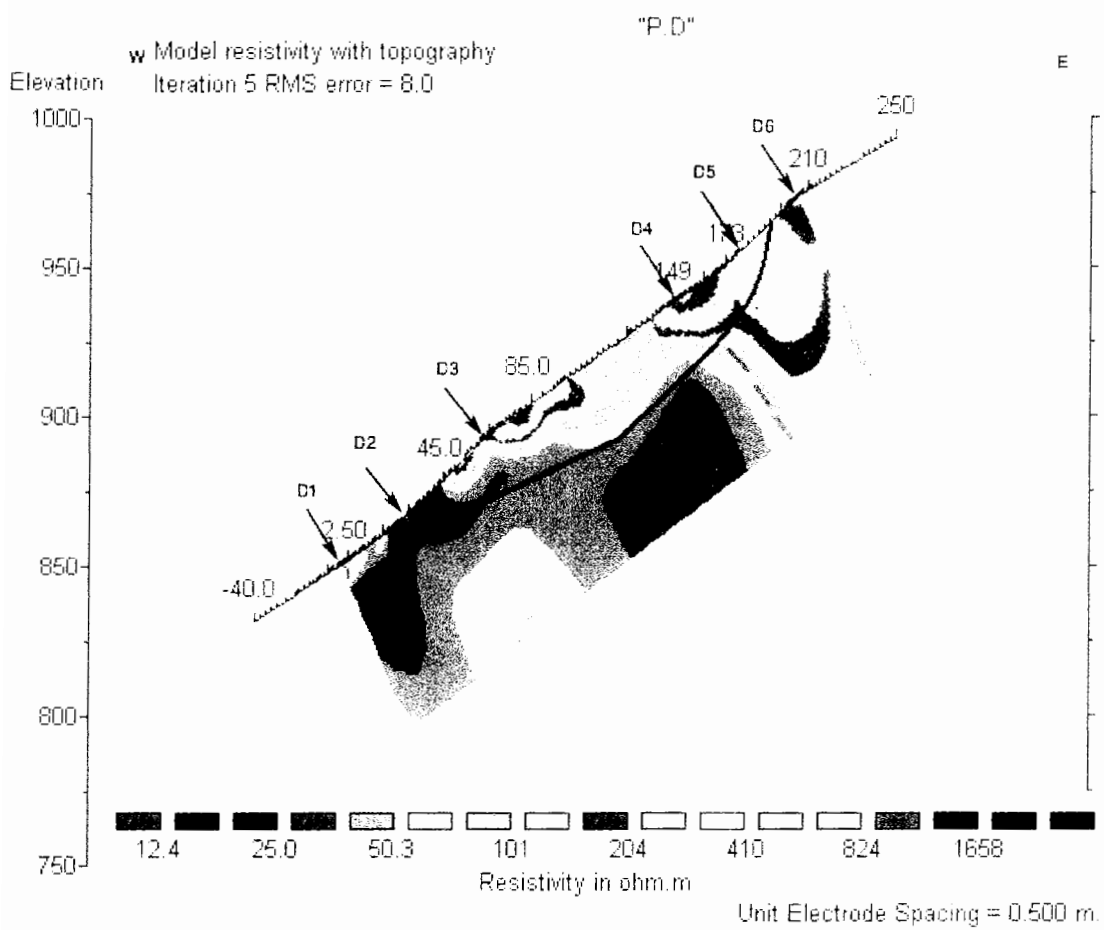
شکل ۴-۸: مقطع قائم حاصل از مدلسازی معکوس دوبعدی پروفیل طولی C با استفاده از نرم افزار Res2Dinv

حداکثر عمق آن ۲۵ متر است. ناحیه ای که با مقاومت ویژه بالا در انتهای پروفیل مشاهده می شود مربوط به تخته سنگهای داسیتی ارتفاعات هستند. سطح لغزش کلی در شکل ۴-۸ با خط ممتد نشان داده شده است که ماکریمم ضخامت آن ۲۵ متر می باشد.

#### ۴-۶-۴ مقطع قائم پروفیل طولی D

مقطع قائم حاصل از مدلسازی معکوس دو بعدی مربوط به پروفیل D با استفاده از نرم افزار Re2Dinv در شکل ۹-۴ نشان داده شده است. از شکل مشاهده می شود که در محدوده سوندazer D4 تغییرات جانبی مقاومت ویژه (افزایش مقاومت ویژه از سمت چپ به راست) به خوبی دیده می شود و می توان ناپیوستگی جانبی را در فاصله ۱۵۰ متری در عمق بیشتر از حدود ۲۰ متر مشخص کرد. مقاومت ویژه کم (تقریباً ۲۰ تا ۱۰۰ اهم متر - ناحیه آبی رنگ) در ۱۵۰ متر ابتدای پروفیل، که تا اعماق پائین گسترش دارد، مربوط به سنگهای آذرین نفوذی می باشد. علت پائین بودن مقاومت ویژه، بعلت جنس سنگ از نوع برش (خاکسترها) آتشفشاری است. زونهای با مقادیر مقاومت ویژه کمتر از ۴۰۰ اهم متر که در عمق کم زمین و در فاصله ۱۳۵ متری ابتدای پروفیل وجود دارند، مربوط به واریزه های دامنه ای با اندازه متوسط و ریز از جنس سیلیس و داسیت است که از ارتفاعات بالاتر ریزش کرده اند، این واریزه ها عمقی در حدود ۸ متر در فاصله ۵۰ متر ابتدای پروفیل و عمقی در حدود ۱۵-۲۲ متر در فاصله ۵۰ تا ۱۳۵ متر دارد و بدلیل قرار گیری بر روی مواد با مقاومت ویژه حدود کمتر از ۱۰۰ اهم متر، می تواند قسمتی از سطح لغزش کلی باشد.

از فاصله تقریبی ۱۵۰ متر تا انتهای پروفیل، در عمق بیشتر از ۲۰ متر، دارای مقاومت ویژه، بین ۱۰۰ تا ۴۰۰ اهم متر می باشد که می تواند مربوط به سنگ بستر سیلیسی باشد و می توان بطور متناوب رخنمون سنگ بستر سیلیسی هوازده را مشاهده کرد که بعلت ریزش سنگ از ارتفاعات، در بعضی نواحی، سطح آن با واریزه ها پوشانده شده است و وجود مقاومت ویژه بالا در سطح، مربوط به واریزه های دامنه ای شامل بلوكها و مواد دانه درشت بوده و بر روی سنگ بستر احتمالاً سیلیسی با مقاومت ویژه کمتر از ۴۰۰ اهم متر قرار گرفته و سطح لغزشی را ایجاد می کند که عمق تقریبی آن در محدوده بین سوندazer های D4 و D5، ۱۵ متر است. ناحیه ای که با مقاومت ویژه بالا در انتهای این پروفیل مشاهده می شود مربوط به تخته سنگهای داسیتی ارتفاعات هستند. سطح لغزش کلی در شکل ۹-۴ با خط ممتد نشان داده شده که حداکثر عمق آن ۲۲ متر است.

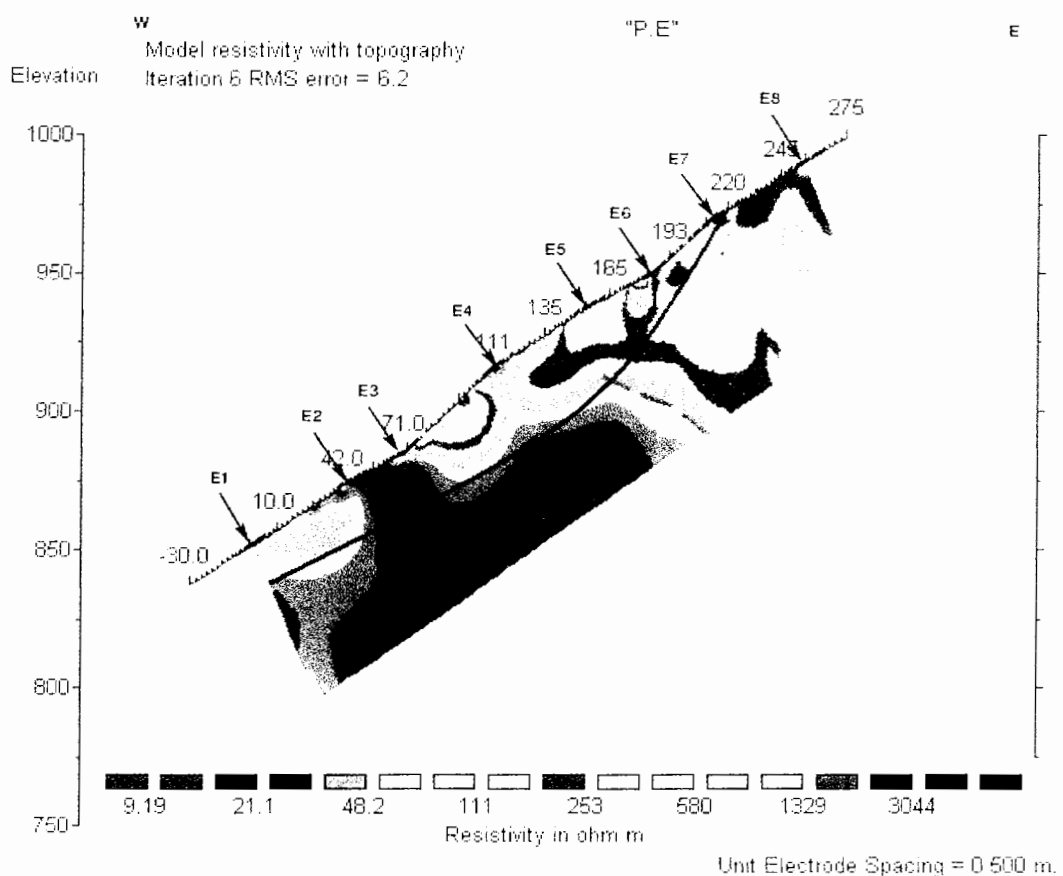


شکل ۴-۹: مقطع قائم حاصل از مدلسازی معکوس دوبعدی پروفیل طولی D با استفاده از نرم افزار Res2Dinv

#### ۵-۲-۶-۴ مقطع قائم پروفیل طولی E

مقطع قائم حاصل از معکوس سازی دوبعدی داده های مقاومت ویژه مربوط به پروفیل E با استفاده از نرم افزار Res2Dinv در شکل ۱۰-۴ نشان داده شده است. از شکل مشاهده می شود که در فاصله ۱۲۰ متری، تغییرات جانبی مقاومت ویژه (افزایش مقاومت ویژه از سمت غرب به شرق) به خوبی مشاهده شده و می توان ناپیوستگی جانبی را مشخص کرد. مقاومت ویژه کم (به رنگ آبی) در فاصله ۱۶۰ متر ابتدای پروفیل مربوط به توده نفوذی آذرین است که در بعضی از نقاط با واریزه های دانه ریز تا دانه متوسط حاصل از ریزش پوشانده شده اند. جنس توده نفوذی از نوع برش آتشفسانی

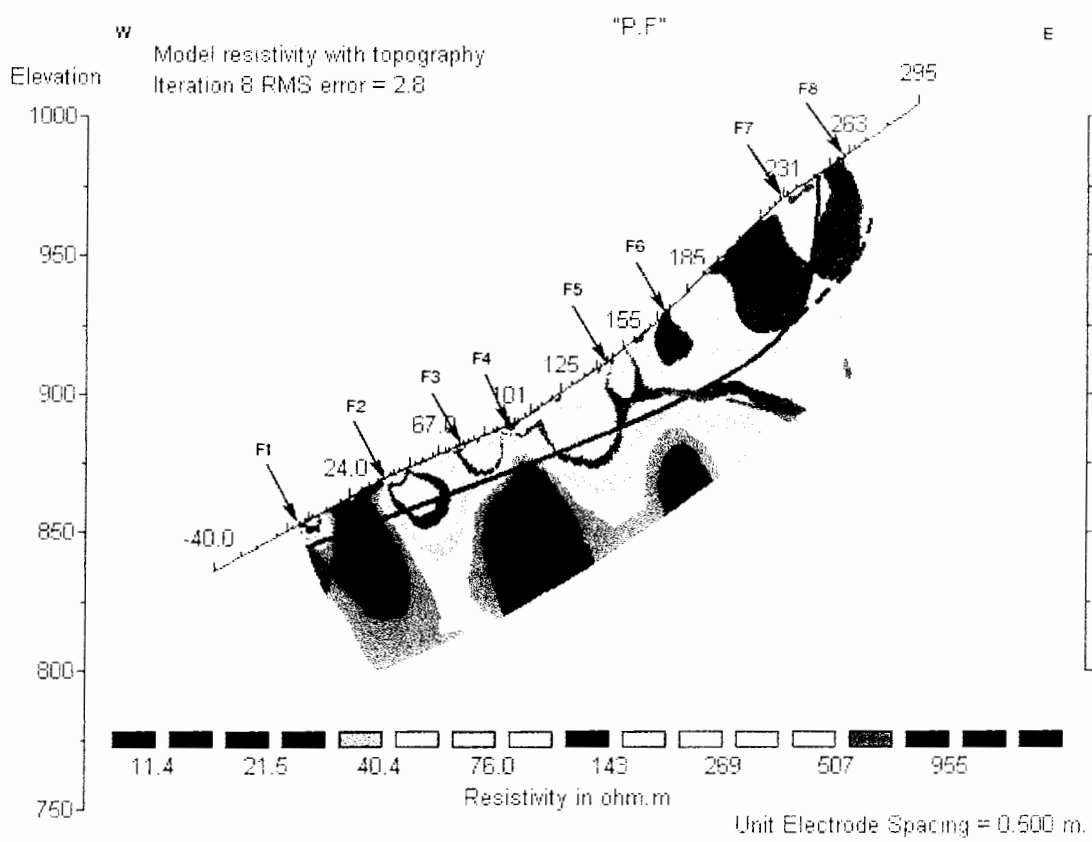
بوده و مقاومت ویژه ای بین ۲۰ تا ۱۰۰ اهم متر دارند. زون های با مقاومت ویژه مختلف که در عمق کم وجود دارند مربوط به واریزه های دامنه ای داسیتی و سیلیسی هستند که از ارتفاعات بالاتر ریزش کرده اند. این واریزه ها حداکثر عمقی در حدود ۲۵ متر دارند و بعلت قرار گیری بر روی سنگهای آذرین، لغزش رخ خواهد داد. در فاصله بین ۱۰۰ تا ۲۰۰ متری، رخنمون سنگهای سیلیسی که هوازده اند مشاهده می شود و با توجه به گسترش مایل آن در عمق و مقاومت ویژه تقریباً یکسان آن، احتمالاً جنس سنگ بستر در این قسمت از نوع سیلیسی باشد. پس با توجه به قرار گیری سنگهای با مقاومت ویژه بالا بر روی سنگهای با مقاومت ویژه پائین، می توان سطح لغزشی را شناسایی کرد که حداکثر عمق آن ۲۳ متر است. ناحیه ای که با مقاومت ویژه بالا (بیش از ۱۰۰۰ اهم متر) در انتهای پروفیل مشاهده می شود مربوط به تخته سنگهایی از نوع داسیت واقع در ارتفاعات هستند. سطح لغزش کلی در شکل ۱۰-۴ با خط ممتد تیره نشان داده شده است که حداکثر ضخامت آن ۲۵ متر می باشد.



Res2Dinv kilometer 11.5 Elevation 500 m

#### ۶-۲-۶-۴ مقطع قائم پروفیل طولی F

مقطع قائم حاصل از مدلسازی معکوس دو بعدی مربوط به پروفیل F با استفاده از نرم افزار Re3DInv در شکل ۱۱-۴ نشان داده شده است. از شکل مشاهده می شود که در فاصله ۱۵۵ متری پروفیل، تغییرات جانبی مقاومت ویژه (افزایش مقاومت ویژه از سمت چپ به راست) قابل مشاهده است و می توان ناپیوستگی جانبی را مشخص کرد. مقاومت ویژه کم (تقریباً ۲۰ تا ۱۰۰ اهم متر-ناحیه آبی رنگ) در ۱۵۵ متر ابتدای پروفیل، که در ابتدای پروفیل رخنمون داشته و در فاصله ۱۵۵ متری در عمق حدود ۲۵ متری واقع است، مربوط به سنگهای آذرین نفوذی می باشد. علت پائین بودن مقاومت ویژه، بعلت جنس سنگ از نوع برش (خاکسترها) آتشفشنای است. زونهای با مقادیر مقاومت ویژه کمتر از ۴۰۰ اهم متر که در عمق کم زمین و در فاصله ۱۵۵ متری ابتدای پروفیل وجود



شکل ۱۱-۴: مقطع قائم حاصل از مدلسازی معکوس دو بعدی پروفیل طولی F با استفاده از نرم افزار Res2DInv

دارند مربوط به واریزه های دامنه ای با اندازه متوسط و ریز از جنس سیلیس و داسیت است که از ارتفاعات بالاتر ریزش کرده اند، این واریزه ها حداقل عمقی در حدود ۲۰ متر در فاصله ۱۰۰ متر ابتدای پروفیل و حداقل عمقی در حدود ۲۴ متر در فاصله ۱۰۰ تا ۱۵۵ متر دارد و بدلیل قرار گیری بر روی مواد با مقاومت ویژه حدود کمتر از ۱۰۰ اهم متر، می تواند قسمتی از سطح لغزش کلی باشد. از فاصله تقریبی ۱۵۵ متر تا انتهای پروفیل، در عمق بیشتر از ۳۰ متر، دارای مقاومت ویژه بین ۱۰۰ تا ۴۰۰ اهم متر می باشد که احتمالاً مربوط به سنگ بستر سیلیسی می باشد و می توان بطور متناوب رخنمون سنگ سیلیسی هوازده را مشاهده کرد که بعلت ریزش سنگ از ارتفاعات، در بعضی نواحی، سطح آن با واریزه ها پوشانده شده است و وجود مقاومت ویژه بالا در سطح، مربوط به واریزه های دامنه ای شامل بلوکها و مواد دانه درشت بوده و بر روی سنگ بستر احتمالاً سیلیسی با مقاومت ویژه کمتر از ۴۰۰ اهم متر قرار گرفته و سطح لغزشی را ایجاد می کند که عمق تقریبی آن در محدوده سوندazerهای F6 و F7 تقریباً ۳۰ متر است. ناحیه ای که با مقاومت ویژه بالا در انتهای پروفیل مشاهده می شود مربوط به تخته سنگهای داسیتی ارتفاعات هستند.

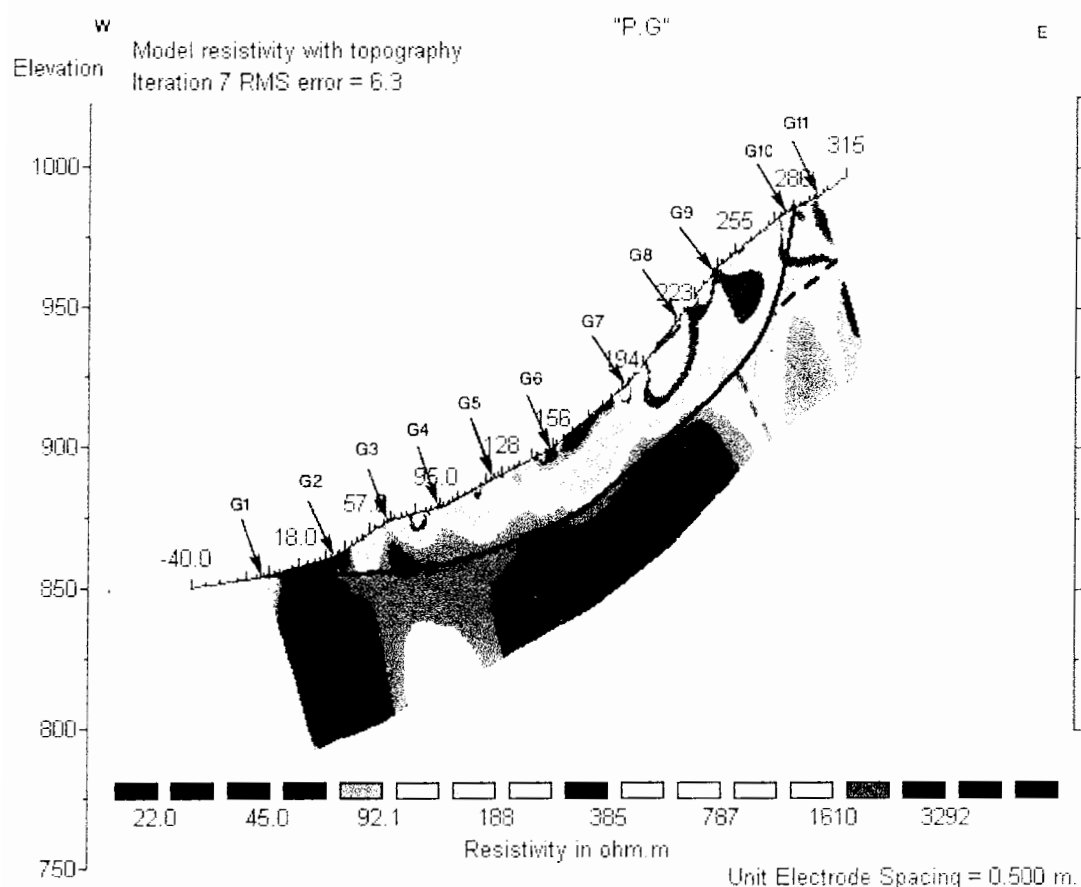
سطح لغزش کلی در شکل ۱۱-۴ با خط ممتد نشان داده شده است که ماکریم ضخامت آن ۳۰ متر می باشد. در محل نمایش خط چین، امکان وقوع لغزش در اثر تأثیر عوامل مؤثر، وجود دارد.

#### ۷-۲-۶-۴ مقطع قائم پروفیل طولی G

قطعه قائم حاصل از معکوس سازی دو بعدی داده های مقاومت ویژه مربوط به پروفیل G با استفاده از نرم افزار Re&Dinv در شکل ۱۲-۴ نشان داده شده است. از شکل مشاهده می شود که در فاصله ۲۳۰ متری و در عمق بیش از ۲۰ متر، می توان ناپیوستگی جانبی را تشخیص داد. مقاومت ویژه کم (به رنگ آبی) در فاصله ۲۳۰ متری ابتدای پروفیل، که در فاصله ابتدایی پروفیل رخنمون دارد، مربوط به توده نفوذی آذرین است که در بعضی از نقاط با واریزه های دانه ریز تا دانه متوسط حاصل از ریزش پوشانده شده اند. جنس توده نفوذی از نوع برش آتشفشاری بوده و مقاومت ویژه ای بین ۲۰ تا ۱۰۰ اهم متر دارند. زون های با مقاومت ویژه مختلف که در عمق کم وجود دارند مربوط به واریزه های دامنه ای داسیتی و سیلیسی هستند که از ارتفاعات بالاتر ریزش کرده اند. این واریزه ها

عمقی متغیر و حداکثر حدود ۲۵ متر دارند و بعلت قرار گیری بر روی سنگهای آذرین، سطح لغزش را با دقت بالایی تعیین کرد. در فاصله بین ۲۰ تا ۲۸۰ متری، رخنمون سنگهای سیلیسی که هوازده اند مشاهده می شود و با توجه به گسترش آن در عمق و مقاومت ویژه تقریباً یکسان آن، احتمالاً جنس سنگ بستر در این قسمت از نوع سیلیسی باشد. پس با توجه به قرار گیری سنگهای با مقاومت ویژه بالا بر روی سنگهای با مقاومت ویژه پائین، می توان سطح لغزشی را شناسایی کرد که عمق آن حداکثر به ۲۷ متر می رسد. ناحیه ای که با مقاومت ویژه بالا در انتهای پروفیل مشاهده می شود و با رنگ قرمز مشخص است، مربوط به تخته سنگهای داسیت واقع در ارتفاعات هستند.

سطح لغزش کلی در شکل ۱۲-۴ با خط ممتد تیره نشان داده شده است که در فواصل ابتدایی پروفیل، بین ۵ تا ۱۵ متر و در فاصله ۶۰ تا ۱۰۰ متری پروفیل، حداکثر ضخامت آن ۲۵ متر می باشد.

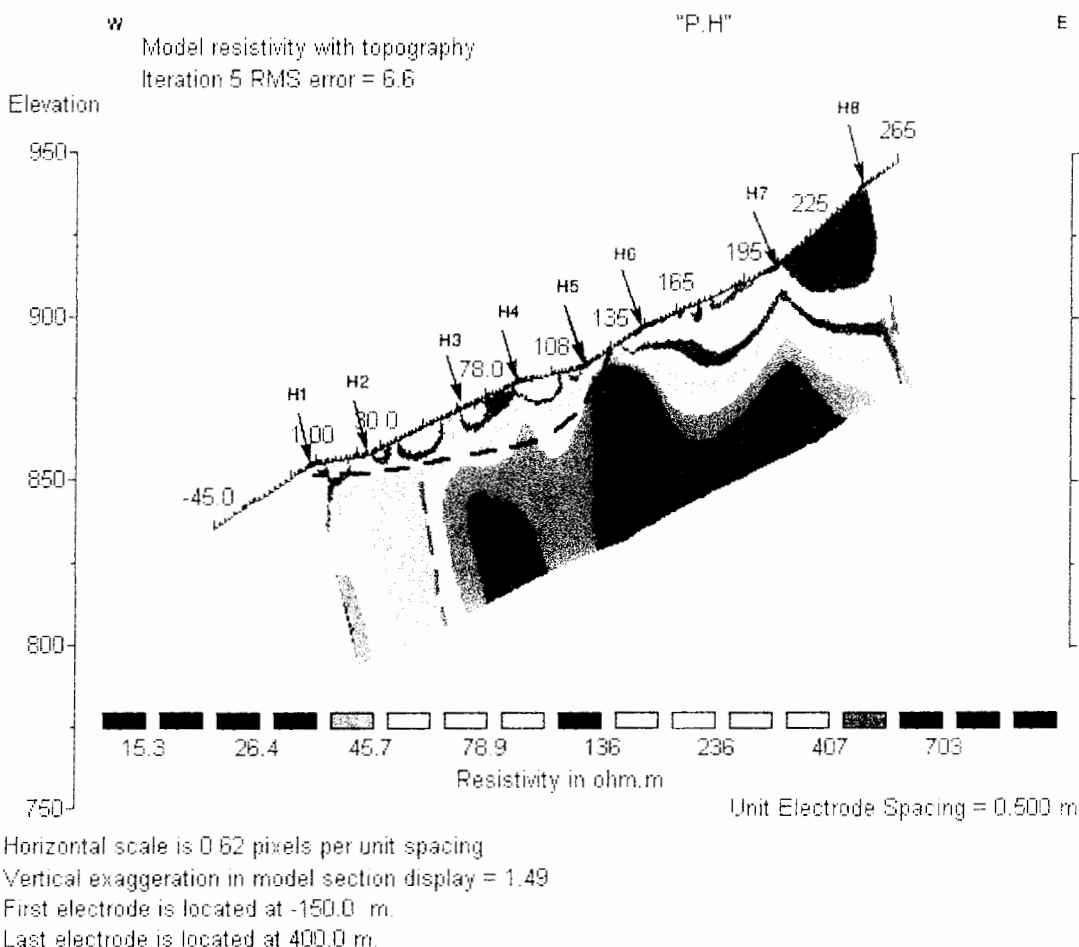


شکل ۱۲-۴: مقطع قائم حاصل از مدلسازی معکوس دوبعدی پروفیل طولی G با استفاده از نرم افزار Res2DInv

از فاصله ۱۰۰ متری تا انتهای پروفیل عمق سطح لغزش، حداقل ۲۷ متر است. در این پروفیل، سطح لغزش را با دقت خیلی بالا می‌توان تعیین کرد. همچنین در محل نمایش خط چین، امکان وقوع لغزش در اثر تأثیر عوامل مؤثر، وجود دارد.

#### ۴-۶-۸-۲ مقطع قائم پروفیل طولی H

مقطع قائم حاصل از معکوس سازی دوبعدی داده های مقاومت ویژه مربوط به پروفیل H با استفاده از نرم افزار Res2Dinv در شکل ۱۳-۴ نشان داده شده است. این پروفیل خارج از محدوده لغزش قرار دارد و اگر لغزشی هم رخ بدهد در محدوده مشخص شده در مدل خواهد بود. از شکل مشاهده می‌شود که دو ناپیوستگی جانبی وجود دارد که یکی از آنها در فاصله ۴۰ متری و در عمق بیش از ۱۲ متر و دیگری در فاصله ۲۳۵ متری و در عمق بیش از ۳۰ متر قرار دارد.



شکل ۱۳-۴: مقطع قائم حاصل از مدلسازی معکوس دوبعدی پروفیل طولی H با استفاده از نرم افزار Res2Dinv

مقاومت ویژه کم (به رنگ آبی)، که در ۱۳۰ متری پروفیل رخنمون دارد، مربوط به توده نفوذی آذرین است که در بعضی از نقاط با واریزه های دانه ریز تا دانه متوسط حاصل از ریزش، با عمق کم پوشانده شده اند. جنس توده نفوذی از نوع برش آتشفشنایی بوده و مقاومت ویژه ای بین ۲۰ تا ۱۰۰ اهم متر دارند. زون های با مقاومت ویژه مختلف که در عمق کم وجود دارند مربوط به واریزه های دامنه ای داسیتی و سیلیسی هستند که از ارتفاعات بالاتر ریزش کرده اند. این واریزه ها عمقی کمی دارند و بعلت قرار گیری بر روی سنگهای آذرین، سطح دارای پتانسیل لغزش را می توان تعیین کرد. در فاصله ۳۰ متر ابتدای پروفیل و نیز در فاصله بین ۱۶۰ تا ۲۰۰ متری، رخنمون سنگهای سیلیسی که هوازده اند مشاهده می شود و احتمالاً جنس سنگ بستر در این قسمت ها از نوع سیلیسی می باشد ولی بدقت نمی توان موقعیت آنرا مشخص کرد.

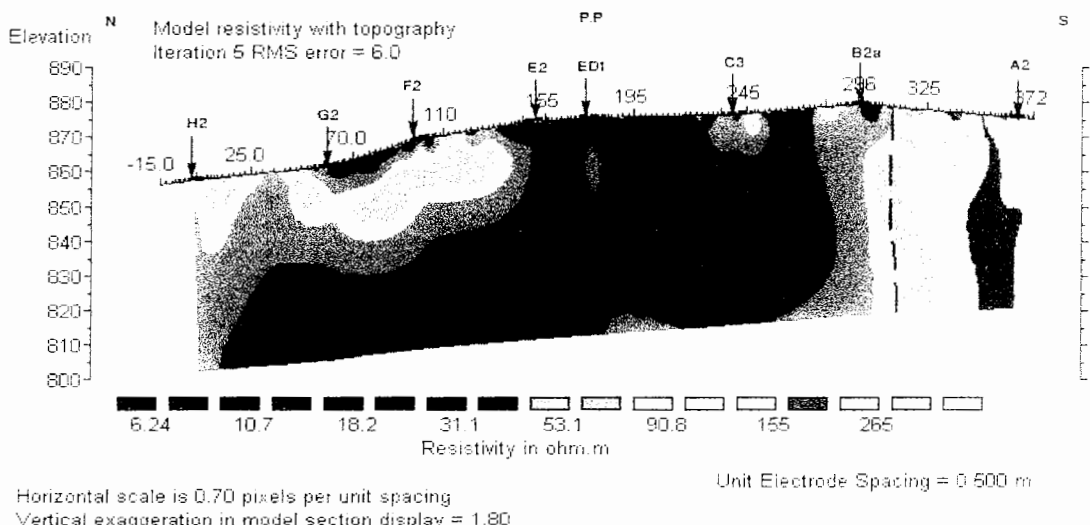
پس با توجه به قرار گیری سنگهای با مقاومت ویژه بالاتر بر روی سنگهای با مقاومت ویژه پائینتر، می توان سطح دارای پتانسیل لغزش را شناسایی کرد که عمق آن حداقل به ۱۵ متر می رسد. ناحیه ای که با مقاومت ویژه بالا در انتهای پروفیل مشاهده می شود مربوط به تخته سنگهای داسیتی ارتفاعات هستند که با رنگ قرمز و بنفش مشخص است.

در محل نمایش خط چین، امکان وقوع لغزش در اثر تأثیر عوامل مؤثر، وجود دارد.

#### ۹-۲-۶-۴ مقطع قائم پروفیل عرضی P

مقطع قائم حاصل از مدلسازی معکوس دو بعدی مربوط به پروفیل عرضی P با استفاده از نرم افزار Re&Dinv در شکل ۱۴-۴ نشان داده شده است. از شکل مشاهده می شود که در فاصله بین سوندارهای A2 و B2a، تغییرات جانبی مقاومت ویژه (افزایش مقاومت ویژه از سمت چپ به راست) قابل مشاهده بوده و می توان ناپیوستگی را در فاصله ۳۱۰ متری مشخص کرد. مقاومت ویژه کم (تقریباً ۲۰ تا ۱۰۰ اهم متر-ناحیه آبی رنگ) در فاصله ۱۵۰ تا ۳۱۰ متری پروفیل، که تا اعماق پائین گسترش دارد و در عمق تقریبی بیش از ۲۰ متر در ۱۵۰ متر ابتدای پروفیل نیز مشاهده می شود، مربوط به سنگهای آذرین نفوذی می باشد. علت پائین بودن مقاومت ویژه، بعلت جنس سنگ از نوع برش (خاکسترها) آتشفشنایی است که بعلت ریزش سنگ از ارتفاعات، در بعضی نواحی، سطح آن ب-

واریزه ها پوشانده شده و وجود زونهایی با مقاومت ویژه متفاوت در سطح و در عمق کمتر از ۲۰ متر، مربوط به واریزه های دامنه ای با اندازه کوچک در نظر گرفته که بر روی توده نفوذی قرار گرفته اند. زونهای با مقادیر مقاومت ویژه کمتر از ۲۵۰ اهم متر که در عمق کم زمین و در فاصله ۳۰ تا ۱۵۰ متری ابتدای پروفیل وجود دارند مربوط به واریزه های دامنه ای با اندازه متوسط و ریز از جنس سیلیس و داسیت است که از ارتفاعات بالاتر ریزش کرده اند، این واریزه ها عمقی در حدود ۱۰ تا ۲۰ متر دارد. در فاصله بیش از ۳۰۰ متری، مقاومت ویژه بالای ۱۰۰ اهم متر مشاهده می شود که احتمالاً سنگ بستر سیلیسی است که در محدوده سوندazer A2 رخنمون دارند.



شکل ۱۴-۴: مقطع قائم حاصل از مدلسازی معکوس دوبعدی پروفیل عرضی P با استفاده از نرم افزار Res2DInv

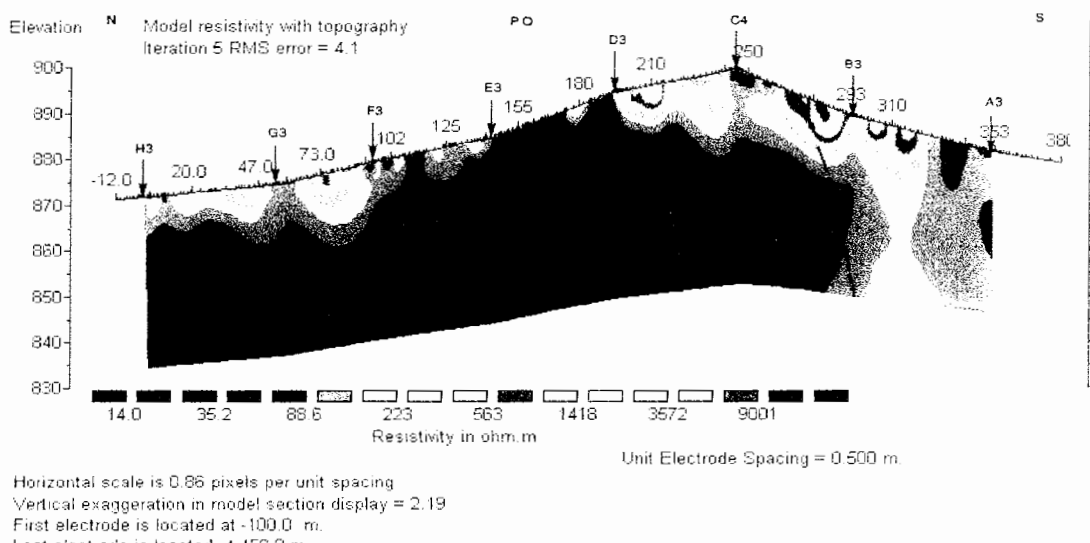
#### ۱۰-۲-۶-۴ مقطع قائم پروفیل عرضی Q

مقطع قائم حاصل از مدلسازی معکوس دو بعدی مربوط به پروفیل عرضی Q با استفاده از Res2DInv در شکل ۱۵-۴ نشان داده شده است. از مدل مشاهده می شود که در فاصله بین سوندazerهای C4 و B3، تغییرات جانبی مقاومت ویژه قابل مشاهده بوده و می توان ناپیوستگی جانبی را در فاصله ۲۹۰ متری مشخص کرد.

مقاومت ویژه کم (قریباً ۲۰ تا ۱۰۰ اهم متر - ناحیه آبی رنگ) در ۲۹۰ متر ابتدای پروفیل، که تا اعماق پائین گسترش دارد و همچنین در فاصله بین سوندazerهای F3 و D3 در نزدیک سطح زمین

مشاهده می شوند، مربوط به سنگهای آذرین نفوذی می باشد. علت پائین بودن مقاومت ویژه، بعلت جنس سنگ از نوع برش (خاکسترها) آتشفشاری است. زونهای با مقادیر مقاومت ویژه کمتر از ۵۰۰ اهم متر که در عمق کم زمین و در فاصله ۹۰ متری ابتدای پروفیل و همچنین در فاصله ۱۹۵ تا ۲۵۰ متری وجود دارند مربوط به واریزه های دامنه ای با اندازه متوسط و ریز از جنس سیلیس و داسیت است که از ارتفاعات بالاتر ریزش کرده اند، این واریزه ها حداکثر عمقی در حدود ۲۰ متر دارند.

از فاصله تقریبی ۹۰ تا ۱۹۵ متری پروفیل، دارای مقاومت ویژه کمتر از ۱۰۰ اهم متر می باشد که مربوط به رخنمون سنگهای آذرین نفوذی می باشد که بعلت ریزش سنگ از ارتفاعات، در بعضی نواحی، سطح آن با واریزه ها پوشانده شده و وجود زونهایی با مقاومت ویژه متفاوت در سطح، مربوط به واریزه های دامنه ای با اندازه کوچک در نظر گرفت که بر روی توده نفوذی قرار گرفته اند و عمق آن تقریباً ۲۰ متر است. در فاصله بیش از ۲۷۰ متری، مقاومت ویژه بالای ۱۰۰ اهم متر مشاهده می شود که احتمالاً سنگ بستر سیلیسی است که در محدوده سونداز A3 رخنمون دارند و در محدوده سونداز B3 واریزه هایی با مقاومت ویژه متوسط به بالا مشاهده می شود.

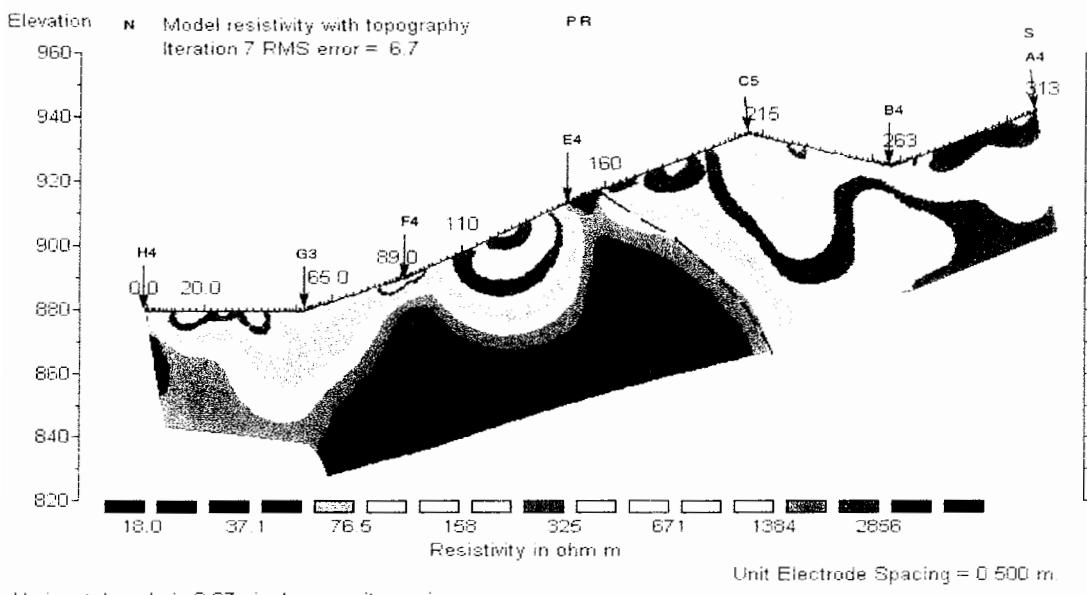


شکل ۱۵-۴: مقطع قائم حاصل از مدلسازی معکوس دوبعدی پروفیل عرضی Q با استفاده از نرم افزار Res2Dinv

#### ۱۱-۶-۴ مقطع قائم پروفیل عرضی R

مقطع قائم حاصل از مدلسازی معکوس دو بعدی مربوط به پروفیل عرضی R با استفاده از نرم افزار Res2Dinv در شکل ۱۶-۴ نشان داده شده است. از شکل مشاهده می شود که در فاصله بین

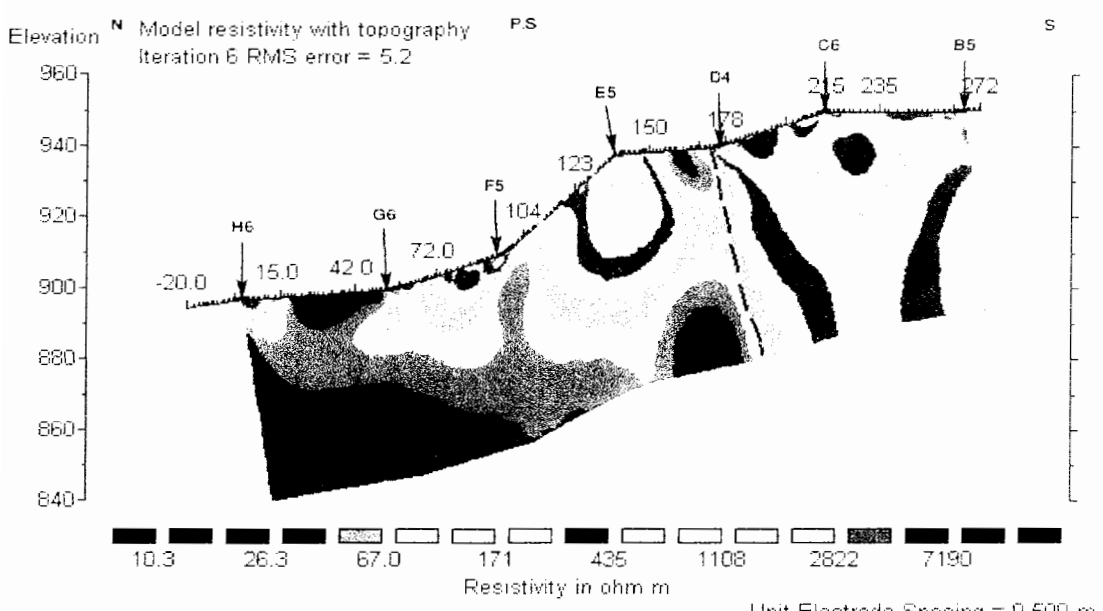
سوندرازهای E4 و C5، تغییرات جانبی مقاومت ویژه (افزایش مقاومت ویژه از سمت چپ به راست) قابل مشاهده بوده و می توان ناپیوستگی جانبی را مشخص کرد. مقاومت ویژه کم (تقریباً ۲۰ تا ۱۰۰ اهم متر - ناحیه آبی رنگ) در فاصله ۲۰۰ متر ابتدای پروفیل، که تا اعماق پائین گسترش دارد و در عمق تقریبی بیش از ۲۰ متر در ۱۵۰ متر ابتدای پروفیل نیز مشاهده می شود، مربوط به سنگهای آذرین نفوذی می باشد. علت پائین بودن مقاومت ویژه، بعلت جنس سنگ از نوع برش (خاکسترها) آتشفشنای است. زونهای با مقادیر مقاومت ویژه کمتر از ۴۰۰ اهم متر که در عمق کم زمین و در فاصله ۳۰ تا ۱۴۰ متری ابتدای پروفیل وجود دارند مربوط به واریزه های دامنه ای با اندازه متوسط از جنس سیلیس و داسیت است که از ارتفاعات بالاتر ریزش کرده اند، این واریزه ها حداکثر عمقی در حدود ۲۰ متر دارند. از فاصله تقریبی ۱۶۰ تا ۱۴۰ متری پروفیل، دارای مقاومت ویژه کمتر از ۷۵ اهم متر می باشد که مربوط به رخنمون سنگهای آذرین نفوذی می باشد. وجود زونهایی با مقاومت ویژه متفاوت در سطح، مربوط به واریزه های دامنه ای با اندازه متوسط در نظر گرفت که بر روی توده نفوذی قرار گرفته و عمق تقریبی آن حداکثر ۲۵ متر است. در فاصله بیش از ۲۰۰ متری، مقاومت ویژه بین ۱۵۰ تا ۴۰۰ اهم متر (زون سبز رنگ) مشاهده می شود که احتمالاً سنگ بستر سیلیسی است که در محدوده سوندراز B4 رخنمون دارند.



شکل ۴-۱۶: مقطع قائم حاصل از مدلسازی معکوس دوبعدی پروفیل عرضی R با استفاده از نرم افزار Res2Dinv

#### ۱۲-۲-۶-۴ مقطع قائم پروفیل عرضی S

مقطع قائم حاصل از مدلسازی معکوس دو بعدی مربوط به پروفیل عرضی S با استفاده از نرم افزار Res2Dinv در شکل ۱۷-۴ نشان داده شده است. از شکل مشاهده می شود که در زیر نقطه سوندazer D4 و در فاصله بین سوندazerهای E5 و C6، تغییرات جانبی مقاومت ویژه (افزایش مقاومت ویژه از سمت چپ به راست) قابل مشاهده بوده و می توان ناپیوستگی جانبی را در فاصله ۱۸۰ متری مشخص کرد. مقاومت ویژه کم (تقریباً ۲۰ تا ۱۰۰ اهم متر- ناحیه آبی رنگ) در فاصله ۱۸۰ متری ابتدای پروفیل، که تا اعماق پائین گسترش دارد مربوط به سنگهای آذرین نفوذی می باشد. علت پائین بودن مقاومت ویژه، بعلت جنس سنگ از نوع برش (خاکسترها) آتشفشنای است که در فاصله تقریبی ۱۵۰ تا ۱۷۰ متری پروفیل، دارای مقاومت ویژه کمتر از ۷۰ اهم متر می باشد که مربوط به رخنمون این نوع سنگها می باشد. زونهای با مقادیر مقاومت ویژه کمتر از ۴۰۰ اهم متر که در اندازه کم زمین و در فاصله ۱۰۰ متری ابتدای پروفیل وجود دارند مربوط به واریزه های دامنه ای با اندازه متوسط و ریز از جنس سیلیس و داسیت است که از ارتفاعات بالاتر ریزش کرده اند، این واریزه ها حداقل عمیقی در حدود ۲۰ متر دارند.



شکل ۱۷-۴: مقطع قائم حاصل از مدلسازی معکوس دو بعدی پروفیل عرضی S با استفاده از نرم افزار Res2Dinv

زونهای با مقادیر مقاومت ویژه بالایی در محدوده سوندازهای E5 و D4 وجود دارند، مربوط به واریزه های دامنه ای با اندازه بزرگ از جنس داسیت است و حداکثر عمق ۲۵ متر دارند. در فاصله بیش از ۱۸۰ متری و در عمق بیش از ۲۵ متر، مقاومت ویژه، کمتر از ۵۰۰ اهم متر مشاهده می شود که احتمالاً مربوط به سنگ بستر سیلیسی می باشد.

#### ۷-۴ مقایسه مقاطع قائم حاصل از پروفیلهای عرضی و CRP

در بخش قبل، مقاطع قائم پروفیل های طولی و عرضی و CRP با استفاده از مدلسازی معکوس دو بعدی مورد بررسی و تفسیر قرار گرفته اند. بدليل اینکه هیچگونه اطلاعاتی، از جمله اطلاعات چاه پیمایی، که بتوان توسط آن نتایج مدلسازی ها را کنترل کرده و از صحت نتایج، مطمئن شویم، وجود ندارد. لذا از برداشت های CRP، جهت نیل به هدف از پیش تعیین شده، استفاده کردیم.

در این بخش، مقاطع قائم حاصل از معکوس سازی داده های پروفیلهای CRP را با پروفیلهای عرضی واقع بر روی این پروفیلها یا واقع در نزدیکی آنها (با جابجایی حداکثر ۵ متر) مقایسه کرده و دقیق نتایج حاصل از مدلسازی پروفیلهای سوندازها را با مقاطع قائم پروفیلهای CRP کنترل می کنیم. بدليل اینکه حداکثر عمق بررسی در مقاطع قائم مربوط به پروفیلهای CRP و پروفیلهای سوندازها به ترتیب برابر ۱۹ و ۵۲ متر است، پس برای مقایسه، در پروفیلهای عرضی، فقط عمق تقریبی دربرگیرنده پروفیل CRP را در نظر می گیریم. در مقاطع قائم مربوط به CRP، محدوده ایسی که مقاطع قائم مربوط به سوندازها بر روی آنها قرار دارد، مشخص شده است.

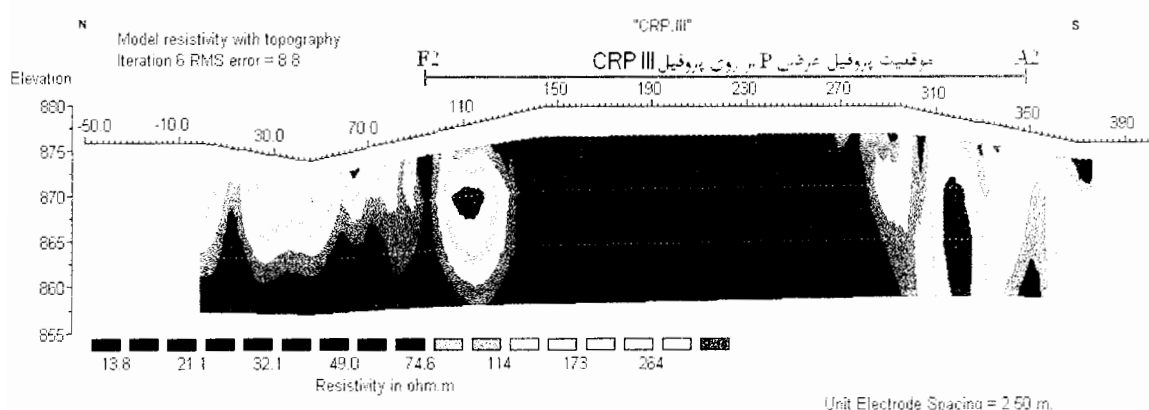
در برداشت های CRP، فاصله بین نقاط برداشت داده (ایستگاه ها) برابر ۵ متر است و در هر ایستگاه، سه داده برای فاصله الکترودهای جریان (AO) برابر ۲۰، ۳۰ و ۵۰ متر قرائت می شود. لذا در مدلسازی داده ها، تغییرات جانبی مقاومت ویژه را با دقیق زیادی مشاهده کرد؛ هر چند بعلت کم بودن تعداد داده ها برای تغییرات عمقی، دقیق آن کمتر از دقیق مدلسازی معکوس دو بعدی داده های سوندازها، برای مشاهده تغییرات عمقی، می باشد. زیرا در برداشت داده های سوندازها، برای هر نقطه، بطور متوسط ۱۵ داده برای فواصل الکترودهای جریان (AB) بین ۶ متر تا ۳۰۰ متر قرائت شده اند. ولی مدلسازی معکوس دو بعدی پروفیلهای سوندازها، با ارتباط دادن تعدادی از سوندازها، که فاصله

بین آنها بین ۲۵ تا ۷۰ متر متغیر بوده، انجام پذیرفته و نتایجی که برای فواصل بین نقاط سوندazer بدست داده، تقریبی است. در ادامه، با مقایسه مقاطع قائم مربوط به CRP و مقاطع قائم مربوط به سوندazerها، نتایجی که برای فواصل بین نقاط سوندazer بدست آمده را مورد ارزیابی قرار می دهیم.

#### ۱-۷-۴ مقایسه مقاطع قائم مربوط به پروفیل عرضی P و CRP.III

در شکل ۱۸-۴ موقعیت پروفیل عرضی P در روی پروفیل CRP.III مشخص شده تا نتایج مقاطع قائم مربوط به CRP.III با مقاطع قائم پروفیل عرضی P (شکل ۱۴-۴) مقایسه گردند. مشاهده می شود که پروفیل عرضی P از محدوده سوندazer F2 تا انتهای، تقریباً بر روی پروفیل CRP.III در بین ایستگاه های III.19 تا III.68 قرار دارد.

همانطور که مشاهده می شود، در پروفیل عرضی P در فاصله تقریبی ۱۳۰ متر و تا عمق ۲۰ متر، تغییرات جانبی مشاهده می شود، که مقاومت ویژه از حدود حداقل ۱۰۰ اهم متر (ناحیه سبز رنگ) به حدود ۲۰ اهم متر (ناحیه آبی رنگ) کاهش می یابد، این کاهش مقاومت ویژه در مقاطع قائم مربوط به CRP نیز تقریباً در همان نقطه مشاهده می شود. همچنین تغییرات جانبی که در فاصله حدود ۳۰۵ متر در مقاطع قائم مربوط به پروفیل عرضی P مشاهده می شود، در مقاطع قائم مربوط به پروفیل CRP.III نیز دیده می شود، هر چند که این تغییرات مقاطع قائم پروفیل P روئت شده ولی در مقاطع قائم مربوط به پروفیل CRP.III با دقت بالا و با تفکیک پذیری خوبی معین شده است.

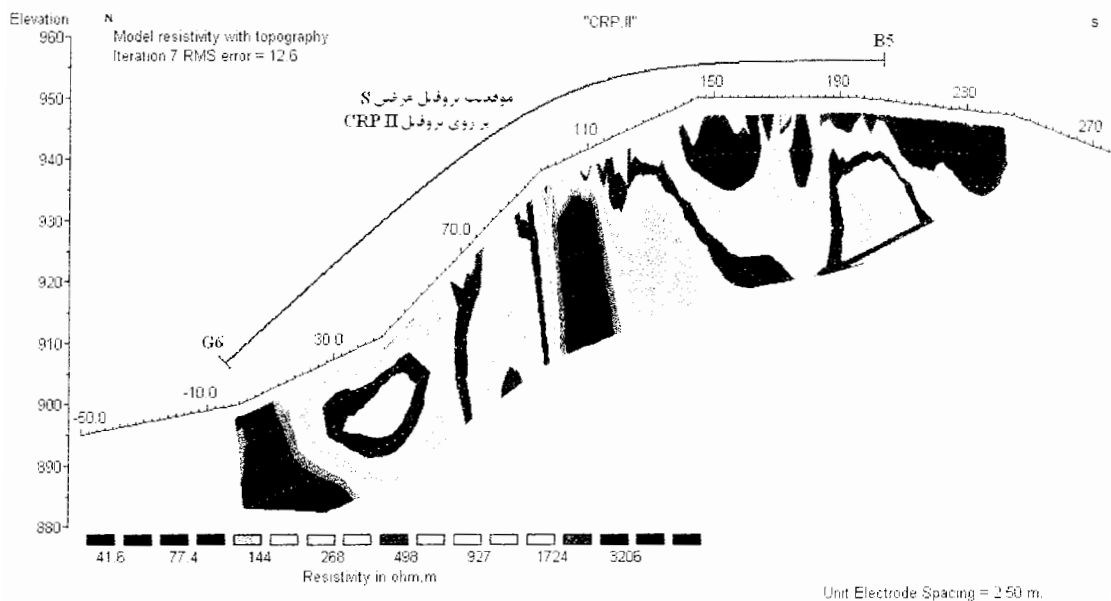


شکل ۱۸-۴ : موقعیت پروفیل عرضی P در روی پروفیل CRP.III

#### ۲-۷-۴ مقایسه مقاطع قائم مربوط به پروفیل عرضی S و CRP.II

در شکل ۱۹-۴ موقعیت پروفیل عرضی S در روی پروفیل CRP.II مشخص شده تا نتایج مقطع قائم پروفیل CRP.II با مقطع قائم مربوط به پروفیل عرضی S (شکل ۱۷-۴) مقایسه گردند. مشاهده می شود که پروفیل عرضی S از محدوده سوندazer G6 تا انتهای، تقریباً بر روی پروفیل CRP.II در بین ایستگاه های II.1 تا II.40 قرار دارد.

در مقطع قائم پروفیل CRP.II، مقاومت ویژه پائینی که در ابتدای پروفیل دیده می شود، در محدوده سوندazer های G6 و F5 در شکل ۱۷-۴ مشاهده می شود، همچنین مقاومت ویژه پائینی که بصورت بالا آمدگی در میانه مقطع قائم پروفیل CRP.II دیده می شود، در فاصله بین ۱۵۰ تا ۱۷۰ متری پروفیل S قرار دارد. البته در مقطع قائم پروفیل CRP.II می توان محدوده آن را با دقت بالایی معین کرد. مقاومت ویژه بالایی که در پروفیل S در زیر سوندazer E5 و همچنین از فاصله تقریبی ۱۷۰ متر تا انتهای پروفیل دیده می شود، اثر این نواحی نیز در مقطع قائم پروفیل CRP.II قابل مشاهده است. همچنین مقاومت ویژه بین ۱۵۰ تا ۵۰۰ اهم متر در زیر سوندazer B5 و در عمق بیش از ۵ متر در هر دو مقطع قائم مشاهده می شود ولی بعلت تفکیک پذیری بالای مقطع قائم پروفیل CRP.II بخوبی نمایان است.



شکل ۱۹-۴ : موقعیت پروفیل عرضی S در روی پروفیل CRP.II

### ۳-۷-۴ مقایسه مقاطع قائم مربوط به پروفیل عرضی X و CRP.I

در شکل ۲۰-۴ موقعیت پروفیل عرضی X در روی پروفیل CRP.I و در شکل ۲۱-۴، عمق برسی تقریبی مقطع قائم مربوط به CRP.I در پروفیل X مشخص شده که نتایج مقطع قائم CRP.I با مقطع قائم پروفیل عرضی X مقایسه می شوند. مشاهده می شود که پروفیل عرضی X، تقریباً در فاصله تقریبی ۳ تا ۵ متری از پروفیل CRP.I در بین ایستگاه های I.8 تا I.24 قرار دارد.

مقاومت ویژه بالایی که در ابتدا و انتهای پروفیل X دیده می شود، در مقطع قائم پروفیل CRP.I نیز مشاهده می شود، ولی در مقطع قائم پروفیل CRP.I تغییرات جانبی شدید مقاومت ویژه به خوبی قابل مشاهده بوده و می توان موقعیت آنرا با دقت زیادی تعیین کرد. این تغییرات جانبی در فاصله ۶۸ متری و ۱۰۰ متری پروفیل قرار دارند. ولی بعلت فاصله زیاد بین سوندازها (۶۰ متر و ۲۸ متر)، هر چند این تغییرات جانبی دیده می شود ولی نمی توان بطور دقیق موقعیت آنرا مشخص نمود.

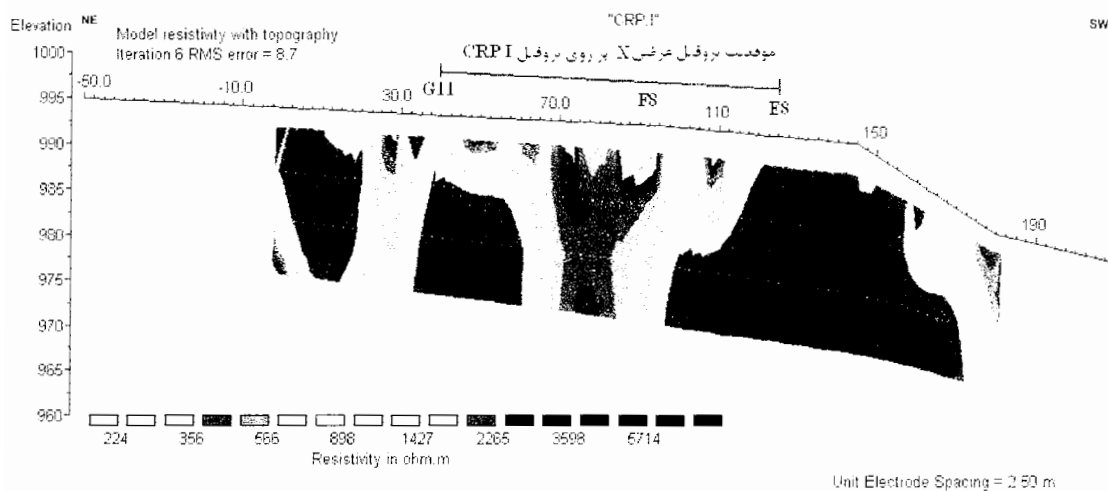
### ۴-۷-۴ نتیجه مقایسه مقاطع قائم پروفیلهای

با مقایسه مقاطع قائم پروفیلهای CRP با مقاطع قائم پروفیلهای حاصل از سوندازها، به نتایجی

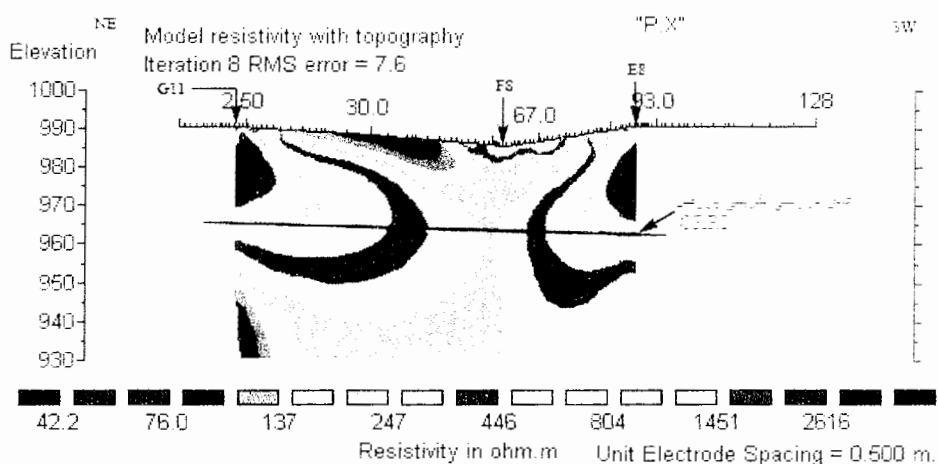
دست می یابیم که عبارتند از:

۱- اختلاف ویژه ایی که این مقاطع قائم دارند این است که تغییرات کوچک ناحیه ایی (میان لایه ها) که در مقاطع قائم CRP، بعلت فاصله کم بین ایستگاه ها، مشاهده می شوند، ولی بدليل فاصله زیاد بین نقاط سونداز در مقاطع قائم پروفیلهای حاصل از سوندازها دیده نمی شوند.

۲- مدلسازی معکوس دوبعدی پروفیل های CRP، نتایج مدلسازی معکوس دوبعدی پروفیل های حاصل از سوندازها را تائید می کند و به این نتیجه می رسیم که مقاطع قائم حاصل از سوندازها با دقت بالایی قابل قبول هستند.



شکل ۲۰-۴ : موقعیت پروفیل عرضی X در روی پروفیل I



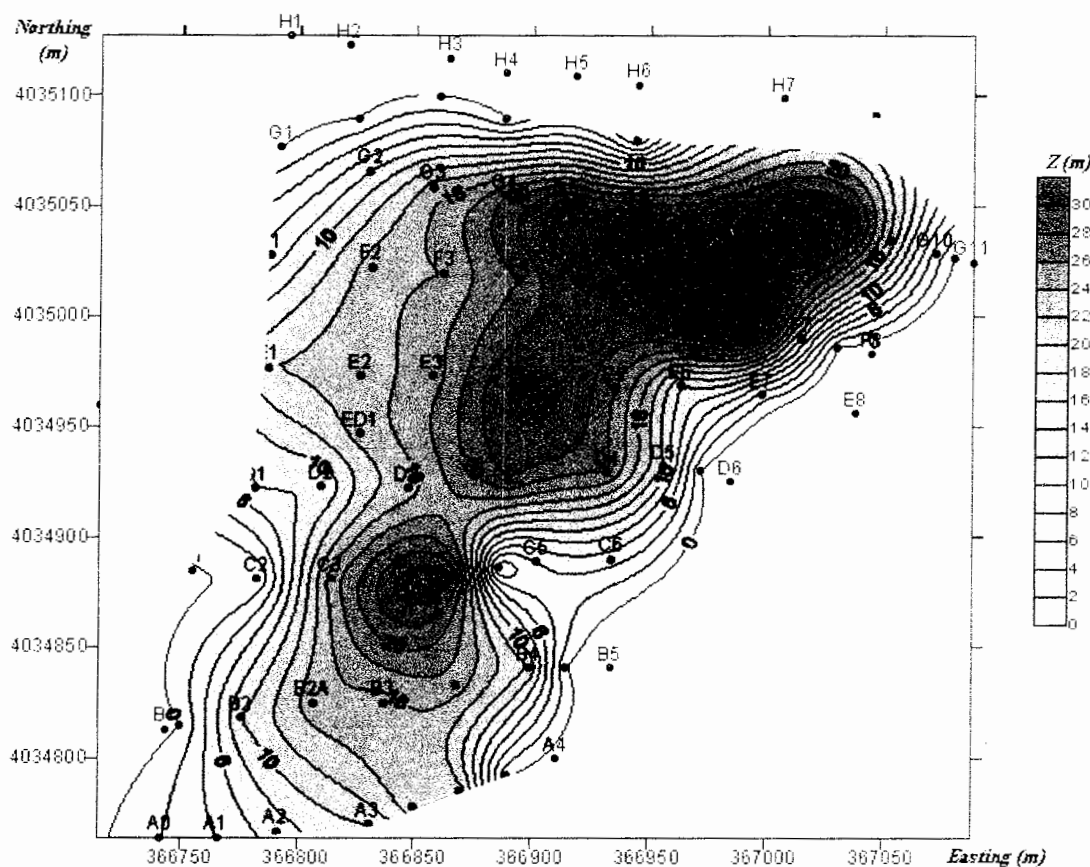
شکل ۲۱-۴: موقعیت عمق بررسی تقریبی مقطع قائم I CRP. I در مقطع قائم پروفیل عرضی X

## فصل پنجم:

### نتیجه گیری و پیشنهادات

#### ۱-۵ نتیجه گیری

با توجه مباحثی که در فصلهای قبلی مطرح شده و با استفاده از شبه مقاطع و مدلسازیهای یک بعدی و دوبعدی برروی داده های برداشت شده، احتیاج به تعیین سطح لغزش در منطقه مورد مطالعه می باشد. برای دستیابی به این منظور، با استفاده از مقاطع فوق الذکر، اقدام به تهیه نقشه هم عمق سطح لغزش کرده ایم. این نقشه، توسط نرم افزار SURFER و با استفاده از عمق سطح لغزشی که در مقاطع قائم پروفیلهای طولی و عرضی در فصل چهارم مشخص شده اند، رسم شدند. در نقشه هم عمق سطح لغزش که در شکل ۱-۵ نشان داده شده است، موقعیت سوندazerها نیز مشخص است. همانطور که مشاهده می شود، تقریباً در مرکز محدوده برداشت، توده لغزشی دارای بیشترین ضخامت و در حاشیه ها کمترین ضخامت را دارند. نتایجی که از این مطالعه حاصل می شوند عبارتند از:



شکل ۱-۵: نقشه هم عمق سطح لغزش (Z(m) نشاندهنده عمق توده بر حسب متر می باشد)

- ۱- تهیه شبیه مقاطع و مقاطع قائم مقاومت ویژه منطقه مورد مطالعه و تعیین نحوه تغییرات ضخامت و توزیع مقاومت ویژه طبقات مختلف زمین.
- ۲- پائین بودن فاصله بین نقاط سوندرازها (بطور متوسط ۳۵ متر)، دال بر دقت بالای نتایج مدلسازی می باشد.
- ۳- بعلت نزدیک بودن فاصله بین پروفیلهای طولی (بطور متوسط ۳۵ متر)، تفسیر پروفیل ها تقریباً مشابه یکدیگر می باشد.
- ۴- در مقاطع قائم مقاومت ویژه بدست آمده، ناپیوستگی هایی که جدا کننده سنگهای آذرین نفوذی و سنگهای سیلیسی - آگلومرایی هستند، مشاهده می شوند که این ناپیوستگی ها ادامه روند ناپیوستگی در مقاطع مجاور می باشند و بطور آرام در مقاطع بعدی به سمت شرق جابجا می شوند و این نشان می دهد که این ناپیوستگی تقریباً راستای شمال شرقی - جنوب غربی دارند.

- ۵- با توجه به مقاطع قائم مقاومت ویژه مربوط به پروفیل های طولی و نقشه هم عمق سطح لغزش، سطح لغزش حالت قوسی شکل و نسبتاً دورانی دارد، پس نتیجه می شود که لغزش از نوع لغزش چرخشی و جهت لغزش از شرق به غرب (با توجه به توپوگرافی) است.
- ۶- با مشاهده مقاطع قائم طولی و مقایسه نحوه تغییرات مقاومت ویژه و مقایسه آن با نقشه توپوگرافی منطقه، نتیجه می شود که دو لغزش متفاوت در محل به وقوع پیوسته است. همچنین از شکل ۱-۵ نیز می توان به وجود دو نوع زمین لغزش پی برد. زمین لغزش جنوبی در محدوده پروفیل های A، B و C و زمین لغزش شمالی در محدوده پروفیل های D، E، F و G واقع بوده و پروفیل H خارج از محدوده لغزش قرار دارد. همچنین طول لغزش مربوط به زمین لغزش قسمت جنوبی، کوچکتر از قسمت شمالی است.

## ۲-۵ پیشنهادات

- ۱- در نقاطی که رسانایی بالا بوده و مانع از نفوذ جریان الکتریکی به داخل زمین می شوند (در تعدادی از سوندارها) و در نتیجه ممکن است نتایج حاصل از روش مقاومت ویژه در این نقاط، از خطای بیشتری برخوردار باشد. از این رو، پیشنهاد میگردد در این نقاط، از دیگر روشهای ژئوفیزیکی مثل لرزه نگاری برای بدست آوردن اطلاعات دقیق تر بکار گرفته شود.
- ۲- بعلت اینکه حداقل فاصله الکترودهای جریان برابر  $300$  متر بوده، لذا در جهت شناخت بهتر ساختارهای زیر سطح، این فاصله حداقل به  $AB=500$  متر افزایش یابد.

## منابع فارسی:

۱. بیت اللهی، ع.، ۱۳۸۲، بررسی زمین لغزشها با روش‌های ژئوالکتریکی، مرکز تحقیقات ساختمان و مسکن.
۲. پیروز، ا.، ۱۳۸۲، طرح پژوهشی-کاربردی: بکارگیری روش ترکیب یافته از حفاری الکتریکی و ترانشه زنی الکتریکی برای اکتشاف منابع آبهای زیر زمینی در زمین های سخت (کارست)، سازمان مدیریت و برنامه ریزی استان سمنان و دانشگاه صنعتی شاهroud (طرح ملی).
۳. حافظی مقدس، ن.، ۱۳۷۲، پایان نامه کارشناسی ارشد: پهنه بندی خطر لغزش در مناطق لرزه خیز، دانشگاه تربیت مدرس.
۴. حافظی مقدس، ن.، ۱۳۸۳، جزوی کلاسی زمین شناسی زیست محیطی رشته زمین شناسی، دانشگاه صنعتی شاهroud.
۵. شریعت جعفری، م.، ۱۳۷۵، زمین لغزش(مبانی و اصول پایداری شیبهای طبیعی)، انتشارات سازه، ص ۱-۱۴۵.
۶. صادقی، ح.، ۱۳۸۲، زمین شناسی مهندسی (ویژه دانشجویان مهندسی عمران)، مؤسسه چاپ و انتشارات دانشگاه امام حسین (ع)، ص ۳۳۷-۳۵۵.
۷. قاضی فرد، ا.، امامی، س.، ن.، ۱۳۸۳، مبانی زمین شناسی مهندسی، انتشارات جهاد دانشگاهی واحد اصفهان.
۸. قبادی، م. ح.، ۱۳۸۱، زمین شناسی مهندسی (ویژه دانشجویان مهندسی عمران)، انتشارات دانشگاه شهید چمران اهواز، ص ۱۸۳-۱۶۴.
۹. کلاغری، ع.، ۱۳۷۱، اصول اکتشافات ژئوفیزیکی، انتشارات تابش تبریز.
۱۰. کمک پناه، ع.، منتظرالقائم، س.، چندی، ا. ج.، ۱۳۷۱، پهنه بندی زمین لغزه در ایران، موسسه بین المللی زلزله شناسی و مهندسی زلزله، ص ۱-۴۱۱.
۱۱. گزارش زمین شناسی تونل کیلومتر ۵۲ بزرگراه قزوین - رشت، ۱۳۸۴، گروه مهندسین مشاور هراز راه.
۱۲. محمدزاده، م.، ۱۳۸۰: پایان نامه کارشناسی ارشد: ارزیابی شوری خاک و آبهای زیر زمینی منطقه شکار آباد شاهرود با استفاده از روش‌های ژئوالکتریکی.
۱۳. معماریان ح.، ۱۳۸۴، زمین شناسی مهندسی و ژئوتکنیک، چاپ چهارم، انتشارات دانشگاه تهران.
۱۴. موسسه جغرافیایی، ۱۳۸۰، اطلس راه های ایران، موسسه جغرافیایی و کارتوگرافی و گیتاشناسی.
۱۵. نیک اندیش، ن.، ۱۳۷۳، زمینلغزش (تعریف- طبقه بندی- انواع و علل وقوع)، معاونت آبخیز داری جهاد سازندگی، دفتر مطالعات و ارزیابی آبخیزها.

۱۶. هرمزی، ا.، ۱۳۸۰، زمین شناسی زیست محیطی (زمین شناسی و محیط زیست انسان)، مرکز نشر دانشگاهی.
۱۷. هلاکوئی، ع.ا.، ۱۳۸۵، سمینار کارشناسی ارشد: زمین لغزشها و مطالعات ژئوفیزیکی آنها (علل و عوامل وقوع، روش های شناسایی و اکتشاف و طریقه های پایدار سازی)، دانشگاه صنعتی شاهرود.

منابع لاتین:

18. Apparao, A., 1997, **Developments in geoelectrical methods**, first edition, A. A. Balkema/Rotterdam/Brookfield, P. 156-182.
19. Dobrin, M.B., Savit, C.H., 1988, **introduction to geophysical prospecting**, john wiley & sons, new york.
20. Fox, R.C., Hohmann, G. W., Killpack, T. J. and Rijo, L., 1980, **Topographical effects in resistivity and induced-polarization surveys**, GEOPHYSICS. VOL. 45, NO. 1 (JANURY 1980); P. 75-93.
21. Frasher, A., Kapllani, L., Dhima, F., 1998, **Geophysical landslide investigation and prediction in the hydrotechnical works**, journal of the Balkan geophysics society, Vol.1, No.3 (August 1998); p. 38-43.
22. Griffiths,D.H., king, R.F.,1988, **applied geophysics for engineers and geologists**, pergamom press, new york.
23. IAEG commission on landslide: **suggested Nomenclature for landslide**, Bulletin of the International Association Engineering Geology, N41 April 1990, pp.13-15.
24. Inman, J., 1975, **Resistivity inversion with ridge regression**, GEOPHYSICS. VOL. 40, NO. 5 (october 1975); P. 798-807.
25. Keller, G.V. and Frischknecht, F.C., 1970, **Electrical methods in geophysical prospecting**, second edition, Pergamon press, oxford , new york , Toronto, Sidney . braunschweig , P. 1-196.
26. Lapenna, V., Lorenzo, P., Perrone, A., Piscitelli, S., Rizzo, E. & Sdao, F, 2005, **2D electrical resistivity imaging of some complex landslides in the Lucanian Apennine Chain**, Southern Italy, GEOPHYSICS. Vol.70, No.3 (MAY-JUNE 2005); p. B11-B18.
27. Lock, M.H., 2004, **2-D and 3-D electrical imaging surveys**, P. 1-128.
28. Lock, M.H., 2004, **res2dinv ver. 3.54**, Geotomo software, p. 1-130.
29. Mathewson, **an introduction to engineering geology**, 1981.
30. Milson, J.,1996, **field geophysics**, 2<sup>nd</sup> edition, john wiley & sons, new york.
31. Mooney, H.M., 1980, **Handbook of engineering geophysics** , v.2, first edition, Bison instruments, inc. and Minneapolis, Minnesota, P. 1 – 31.
32. Parasnis, D.S.,1973, **mining geophysics**, Elsevier, new york, p.160-202.
33. Parasnis, D.S.,1997, **principles of applied geophysics**, 5<sup>th</sup> edition, chapman & hall, London, p. 173-197.
34. Patra, H.p. and Nath, S. k., 1999, **schulombrger geoelctric sounding in ground water** (principle, interpretation, application ), Reservde, P. 35-65.

35. Resix, users manual, 1991, interpex limited golden co.
36. ResixIP ver 2.0, users manual, 1993, interpex limited golden co.
37. Reynolds, J.M., 1997, An introduction to Applied and environmental geophysics, john wiley & sons, new york.
38. Robinson,E.S., coruh, C.,1988, basic explotation geophysics, john wiley & sons, new york.
39. Telford W.M., Geldart L.P. and Sheriff R.E., 1998, Applied geophysics, second edition, Cambridge university press,new york, P 45-47 and 522- 560.
40. Youngul, S.H., 1996, Electrical methods in geophysical exploration of deep sedimentary basins, chapman & hall, London.

## پیوست ها

### پیوست الف-۱: اجزاء و ابعاد مختلف یک زمین لغزش



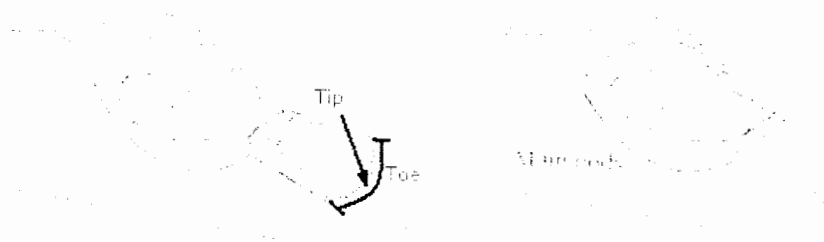
شکل الف-۱-۱: نمایی از تاج لغزش



شکل الف-۱-۲: پرتگاه اصلی (تصویر سمت راست) قله (تصویر سمت چپ)



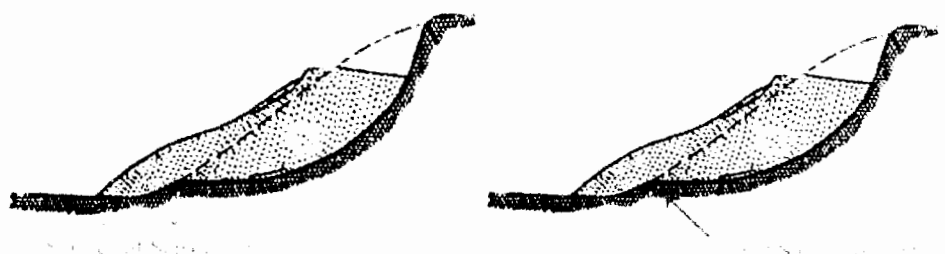
شکل الف-۱-۳: سر (تصویر سمت راست) افتگاه های فرعی (تصویر سمت چپ)



شکل الف-۱-۴: توده اصلی (تصویر سمت راست) پای لغزش ، نوک لغزش و پنجه (تصویر سمت چپ)



شکل الف-۱-۵: سطح گسیختگی



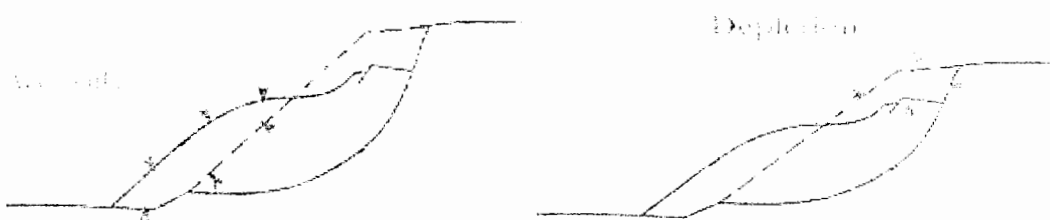
شکل الف-۱-۶: پنجه سطح گسیختگی (تصویر سمت راست) سطح جدایش (تصویر سمت چپ)



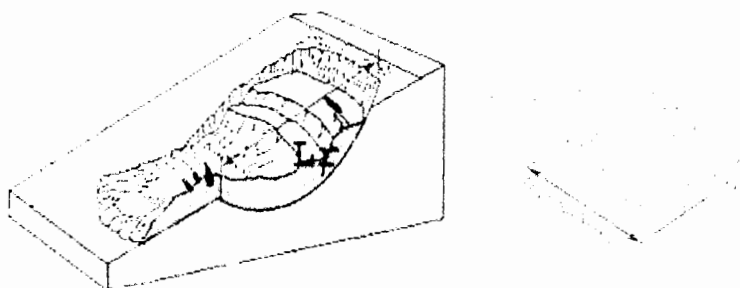
شکل الف-۱-۷: توده جابجا شده



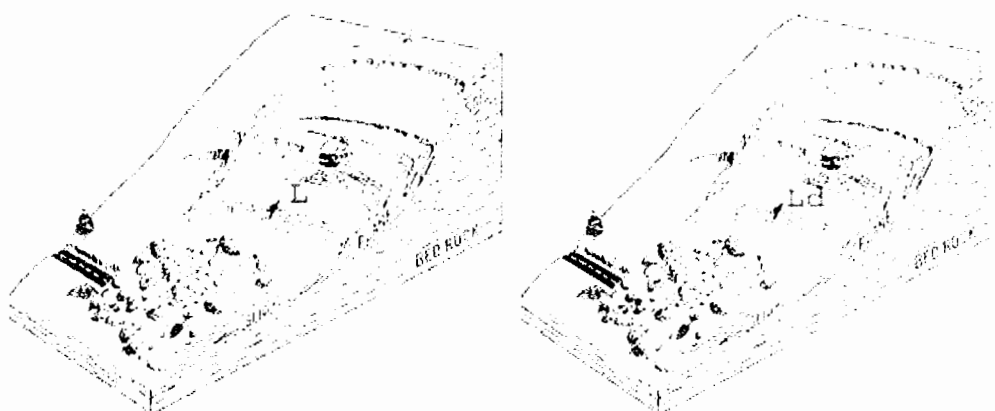
شکل الف-۱-۸: پهنه تهی شدگی (تصویر سمت راست) پهنه تجمع (تصویر سمت چپ)



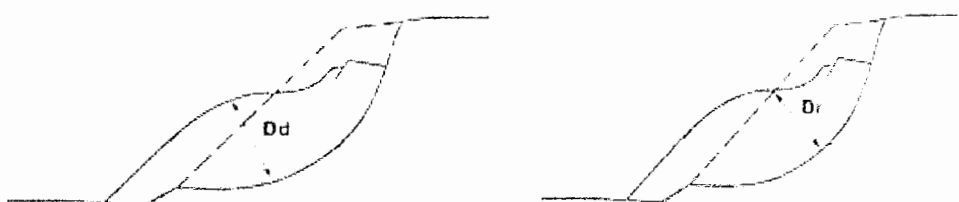
شکل الف-۹: تهی شدگی (تصویر سمت راست) تجمع مواد جابجا شده(تصویر سمت چپ)



شکل الف-۱۰: توده تهی شده (تصویر سمت راست) طول صفحه گسیختگی(تصویر سمت چپ)



شکل الف-۱۱: طول توده جابجا شده(تصویر سمت راست) و طول کلی لغزش(تصویر سمت چپ)



شکل الف-۱۲: عمق صفحه گسیختگی(تصویر سمت راست) و عمق توده جابجا شده(تصویر سمت چپ)

پیوست الف-۲: عکسهايی از زمین لغزش مورد مطالعه



شکل الف-۲-۱: عکسی از محدوده جنوبی زمین لغزش مورد مطالعه واقع در بزرگراه قزوین- رشت  
(علامت فلش نشان دهنده خروجی تونل شرقی را نشان می دهد)



شکل الف-۲-۲: عکسی از محدوده شمال شرقی زمین لغزش مورد مطالعه واقع در بزرگراه قزوین- رشت

پیوست ب :

داده های مختصات جغرافیایی سوندازها و پروفیلها و موقعیت سوندازها بر روی پروفیل ها

جدول ب-1: داده های مختصات جغرافیایی و ارتفاع محل سوندازها و پروفیلها

ردیف	پروفیلها	سوندازها	مختصات UTM		h(m)
			Easting	Northing	
1	طولی A	A0	366742	4034764	864
2		A1	366766	4034764	867
3		A2	366792	4034767	876
4		A3	366831	4034770	882
5		A4	366911	4034800	942
6	طولی B	B1	366744	4034813	857
7		B2	366776	4034818	867
8		B2a	366807	4034825	880
9		B3	366837	4034825	890
10		B4	366899	4034841	925
11		B5	366934	4034841	950
12		C1	366755	4034885	860
13	طولی C	C2	366783	4034881	867
14		C3	366814	4034881	877
15		C4	366846	4034878	900
16		C5	366902	4034889	935
17		C6	366934	4034890	950
18		D1	366782	4034922	852
19	طولی D	D2	366810	4034923	867
20		D3	366847	4034922	895
21		D4	366932	4034929	940
22		D5	366956	4034932	950
23		D6	366985	4034925	975
24	طولی E	E1	366787	4034977	852
25		E2	366827	4034973	875
26		E3	366857	4034973	885
27		E4	366896	4034966	915
28		E5	366935	4034967	938
29		E6	366963	4034969	950
30		E7	366998	4034965	970
31		ED1	366827	4034947	
32		E8	367038	4034956	990
33	طولی F	F1	366788	4035028	852
34		F2	366831	4035023	870
35		F3	366862	4035020	880
36		F4	366894	4035017	890
37		F5	366935	4035008	910
38		F6	366968	4034998	925
39		F7	367015	4034990	970
40		F8	367045	4034983	985
41	طولی G	G1	366792	4035077	855
42		G2	366830	4035066	862

43		G3	366857	4035059	875
44		G4	366888	4035055	880
45		G5	366914	4035052	890
46		G6	366944	4035048	900
47		G7	366983	4035045	922
48		G8	367016	4035045	947
49		G9	367034	4035040	965
50		G10	367072	4035029	985
51		G11	367088	4035025	990
52		H1	366796	4035127	855
53		H2	366821	4035123	858
54		H3	366864	4035117	872
55		H4	366888	4035110	880
56		H5	366918	4035109	885
57		H6	366945	4035105	897
58		H7	367007	4035099	915
59		H8	367046	4035091	940
60		I1	367117	4035063	994
61		I10	367092	4035010	993
62		I20	367055	4034972	992
63		I30	367023	4034918	990
64		I37	367009	4034871	980
65		II1	366944	4035048	900
66		II10	366933	4035002	911
67		II20	366932	4034942	938
68		II30	366935	4034886	950
69		II40	366923	4034836	950
70		II50	366919	4034788	947
71		III1	366877	4035106	876
72		III10	366864	4035065	874
73		III20	366848	4035015	877
74		III30	366857	4034968	880
75		III40	366826	4034916	880
76		III50	366814	4034861	880
77		III60	366804	4034802	880
78		III70	366795	4034759	878
79		III75	366805	4034731	876

جدول ب - ۲ : موقعیت سوندazerها بر روی پروفیل های طولی و عرضی

طولی A	فاصله از مبدأ(متر)	طولی B	فاصله از مبدأ(متر)	طولی C	فاصله از مبدأ(متر)	طولی D	فاصله از مبدأ(متر)
A0	0	B1	0	C1	0	D1	0
A1	18	B2	36	C2	30	D2	28
A2	50	B2a	63	C3	55	D3	65
A3	80	B3	93	C4	90	D4	150
A4	170	B4	155	C5	155	D5	170
		B5	180	C6	180	D6	205
طولی E	فاصله از مبدأ(متر)	طولی F	فاصله از مبدأ(متر)	طولی G	فاصله از مبدأ(متر)	طولی H	فاصله از مبدأ(متر)
E1	0	F1	0	G1	0	H1	0
E2	45	F2	43	G2	38	H2	25
E3	70	F3	74	G3	67	H3	68
E4	110	F4	106	G4	97	H4	93
E5	155	F5	145	G5	125	H5	123
E6	185	F6	170	G6	155	H6	150
E7	213	F7	230	G7	195	H7	210
E8	255	F8	260	G8	225	H8	250
			G9	245			
			G10	283			
			G11	300			
عرضی P	فاصله از مبدأ(متر)	عرضی Q	فاصله از مبدأ(متر)	عرضی R	فاصله از مبدأ(متر)	عرضی S	فاصله از مبدأ(متر)
H2	0	H3	0	H4	0	H6	0
G2	60	G3	58	G4	55	G6	57
F2	100	F3	97	F4	90	F5	97
E2	150	E3	144	E4	150	E5	138
ED1	175	D3	195	C5	210	D4	175
C3	240	C4	245	B4	260	C6	215
B2a	295	B3	292	A4	310	B5	265
A2	365	A3	350				

عرضی X	فاصله از مبدأ(متر)
G11	0
F8	60
E8	88

### CRP پیوست پ : داده های

واحد مقاومت ویژه بر حسب اهم متر می باشد.

جدول پ-۱: داده های مقاومت ویژه پروفیل CRP.I

شماره ایستگاه	مسافت (متر)	AB=40m , MN=10m			AB=60m , MN=10m			AB=100m , MN=10m		
		k=117	k=236	k=236	k=275	k=550	k=550	k=777	k=1554	k=1554
		$\rho_a$	$\rho_{a(fw)}$	$\rho_{a(bw)}$	$\rho_a$	$\rho_{a(fw)}$	$\rho_{a(bw)}$	$\rho_a$	$\rho_{a(fw)}$	$\rho_{a(bw)}$
1	0	1471	1541	1445	1027	1284	792	994	1258	852
2	5	1550	1709	1408	1466	2148	727	1964	1288	2775
3	10	1716	2066	1457	1707	2087	1322	1243	1567	854
4	15	1193	1541	795	1001	1032	961	717	1024	404
5	20	1207	1081	1338	1111	937	1100	767	1094	451
6	25	1002	544	1483	800	633	966	777	693	285
7	30	1324	974	1659	1143	1191	1076	836	1167	493
8	35	2025	1443	2627	2087	1638	2508	1512	2016	1013
9	40	1432	1148	1709	1711	1492	1936	1450	1698	1122
10	45	836	751	952	1223	961	1493	1010	1273	789
11	50	675	261	708	811	817	813	845	1141	555
12	55	971	971	954	1086	1242	941	1362	1788	970
13	60	1013	927	1102	1115	1033	1166	1356	1733	944
14	65	755	667	852	1097	953	1221	1169	1301	1059
15	70	719	586	834	1034	888	1122	1000	1116	889
16	75	668	499	826	725	821	984	1064	1058	1020
17	80	849	714	1008	931	782	1089	1215	1227	1213
18	85	561	539	593	767	710	808	958	1021	918
19	90	401	395	398	625	650	585	663	750	608
20	95	758	919	550	1176	1545	787	1143	1264	1054
21	100	1446	1973	1000	2277	2890	1613	2026	2068	1949
22	105	1157	1668	678	1510	1970	1048	1489	1535	1426
23	110	968	1457	617	1039	1473	586	1045	1175	923
24	115	1409	2165	697	1403	2000	783	1332	1554	1114
25	120	2386	3221	1357	2346	3373	1202	2005	2268	1684
26	125	2619	3442	1730	3085	3865	2303	2437	2585	2134
27	130	2537	3112	1959	2943	3172	2645	2272	2336	2189
28	135	2755	3022	2600	2821	2628	2433	1961	2147	1758
29	140	2875	2465	2950	2209	2157	2231	2177	2407	1947
30	145	1970	1735	2331	1708	1666	1752	1791	1829	1686
31	150	2226	272	2917	2298	1687	2900	1461	1786	1611
32	155	2651	1625	3629	3038	2060	3904	2043	2243	1745
33	160	2444	1466	3372	2727	496	3743	1643	1651	1629
34	165	1934	1463	2492	2241	1409	3061	1680	1429	1932
35	170	1301	737	1855	1730	1229	2203	1606	1358	1864
36	175	1033	564	1387	1284	1654	1668	1257	905	1611
37	180	790	440	1157	906	478	1346	1013	715	1281

جدول پ - ۲: داده های مقاومت ویژه پروفیل CRP.II

Profile.II		AB=40m , MN=10m			AB=60m , MN=10m			AB=100m , MN=10m		
شماره ایستگاه	مسافت (متر)	k=117	k=236	k=236	k=275	k=550	k=550	k=777	k=1554	k=1554
		$\rho_a$	$\rho_{a(fw)}$	$\rho_{a(bw)}$	$\rho_a$	$\rho_{a(fw)}$	$\rho_{a(bw)}$	$\rho_a$	$\rho_{a(fw)}$	$\rho_{a(bw)}$
1	0	106	101	115	110	128	91	79	99	54
2	5	90	108	71	90	117	61	57	84	38
3	10	115	174	58	105	146	67	86	118	50
4	15	153	221	91	156	195	115	140	179	88
5	20	177	242	115	208	241	174	186	230	129
6	25	209	272	153	254	306	202	259	307	189
7	30	224	269	274	241	290	195	223	213	232
8	35	235	263	209	248	301	192	188	158	217
9	40	252	292	175	248	330	167	132	106	159
10	45	271	325	222	274	380	176	155	188	126
11	50	270	350	195	272	375	168	131	130	99
12	55	266	328	209	249	287	196	129	144	109
13	60	314	386	247	234	224	234	159	175	142
14	65	387	426	318	298	183	399	233	252	218
15	70	313	258	371	315	206	411	303	315	285
16	75	317	227	402	374	273	462	368	385	340
17	80	425	324	538	490	426	529	512	588	454
18	85	413	286	561	431	388	320	487	553	432
19	90	232	160	304	224	214	244	256	313	202
20	95	163	153	178	152	162	143	160	210	96
21	100	141	129	143	125	146	89	132	187	67
22	105	388	606	179	275	300	196	190	296	60
23	110	381	487	171	296	361	230	248	401	117
24	115	261	368	173	323	363	275	237	433	175
25	120	276	380	177	370	515	199	207	233	166
26	125	651	775	530	510	821	198	271	334	235
27	130	724	983	419	618	1018	211	338	379	300
28	135	823	3567	380	379	1756	282	222	391	349
29	140	973	1628	355	550	775	317	415	473	338
30	145	3042	2538	381	917	1387	303	374	441	308
31	150	1228	1652	635	664	1119	378	478	518	407
32	155	842	944	939	726	700	725	443	524	355
33	160	745	628	826	667	611	794	432	490	357
34	165	1430	998	2954	2661	937	1594	833	1011	690
35	170	798	502	1074	608	475	760	396	476	296
36	175	682	476	854	653	469	672	475	416	631
37	180	892	851	996	1007	972	1046	611	827	418
38	185									
39	190	1045	921	1099	1109	162	1128	508	627	381
40	195	1092	1077	1180	1407	143	1372	582	486	498
41	200	992	1211	794	962	100	875	375	377	355
42	205	1381	2034	708	1077	1359	801	368	458	350
43	210	1532	1914	1026	830	885	776	433	388	530
44	215	1495	2232	776	866	897	825	661	570	720
45	220	1427	1402	2845	1206	941	1429	691	357	1016

46	225	1848	789	2747	1041	959	1350	539	138	966
47	230	1453	839		2337	687	494	615	202	908
48	235	1490	1044	1955	1335	424	1909	791	165	1399
49	240	2831	1573	3495	1522	467	2273	825	146	1257

جدول پ-۳: داده های مقاومت ویژه پروفیل CRP.III

Profile.III		AB=40m , MN=10m			AB=60m , MN=10m			AB=100m , MN=10m		
شماره ایستگاه	مسافت (متر)	k=117	k=236	k=236	k=275	k=550	k=550	k=777	k=1554	k=1554
		$\rho_a$	$\rho_{a(fw)}$	$\rho_{a(bw)}$	$\rho_a$	$\rho_{a(fw)}$	$\rho_{a(bw)}$	$\rho_a$	$\rho_{a(fw)}$	$\rho_{a(bw)}$
1	0	146	101	187	94	64	126	53	41	74
2	5	126	96	159	88	54	122	53	29	68
3	10	124	96	151	83	59	103	59	17	66
4	15	121	100	147	83	67	104	53	26	33
5	20	117	100	128	86	71	99	56	42	55
6	25	119	130	112	91	81	100	67	61	55
7	30	42	145	119	89	99	89	71	54	59
8	35	126	145	110	86	96	73	63	57	55
9	40	123	127	206	87	85	86	59	65	53
10	45	106	110	107	76	81	68	58	56	57
11	50	104	103	106	66	70	56	59	57	50
12	55	110	103	115	71	71	67	56	53	53
13	60	117	118	129	78	70	78	45	60	40
14	65	88	73	103	73	69	71	52	79	55
15	70	92	86	98	80	75	81	47	49	42
16	75	103	95	81	90	87	89	53	42	59
17	80	108	46	100	85	83	82	53	49	49
18	85	107	129	86	88	93	81	52	44	54
19	90	88	98	76	76	58	74	45	42	57
20	95	73	92	56	55	58	54	70	29	23
21	100	98	114	174	91	93	87	64		71
22	105	115	98	111	88	70	105	62	53	76
23	110	92	87	98	77	61	94	60	51	67
24	115	90	79	103	85	68	102	68	61	76
25	120	94	60	127	78	57	106	62	58	76
26	125	77	37	128	63	36	86	53	39	62
27	130	68	40	105	65	30	97	45	34	55
28	135	58	17	99	57	26	96	38	27	53
29	140	46	19	75	48	21	75	32	25	41
30	145	42	20	67	50	22	77	29	27	39
31	150	30	16	43	39	18	59	32	24	36
32	155	24	14	32	33	18	47	31	26	36
33	160	21	21	22	30	25	34	35	32	34
34	165	26	23	28	33	29	38	45	34	42
35	170	23	22	23	31	30	31	42	44	42
36	175	26	28	20	27	29	25	38	42	35
37	180	19	22	16	25	29	23	47	30	33
38	185	25	28	23	27	32	22	33	48	27
39	190	24	25	23	26	28	25	33	34	27
40	195	19	20	18	22	25	20	24	26	21

41	200	20	20	17	22	22	21	22	23	20
42	205	30	35	24	32	34	29	32	37	29
43	210	33	39	28	36	38	34	37	44	37
44	215	30	36	24	28	29	28	33	38	31
45	220	32	41	23	31	32	28	38	45	36
46	225	37	43	31	36	41	32	42	60	36
47	230	44	42	47	38	44	36	47	60	40
48	235	38	37	38	40	40	40	48	58	37
49	240	42	42	41	43	40	43	52	62	39
50	245	46	44	48	41	48	35	50	59	37
51	250	44	46	42	42	51	31	47	60	33
52	255	42	54	29	43	65	27	45	69	24
53	260	53	73	34	50	65	33	57	83	30
54	265	59	72	45	57	74	39	64.3	95.5	35.5
55	270	59	77	42	56	78	34	56.5	84.5	33
56	275	74	107	43	70	104	36	63.5	86	40
57	280	91	117	67	82	119	45	77	111	47
58	285	73	83	65	57	207	41	58.7	85	31
59	290	90	118	64	75	105	45	63.5	155	35
60	295	101	121	79	82	117	51	80	100	44
61	300	109	108	113	96	124	65	88	136	44
62	305	142	140	146	137	185	93	123	202	61
63	310	181	193	171	159	180	139	148	208	83
64	315	187	234	140	181	195	168	151	218	56
65	320	125	132	118	137	155	114	120	165	74
66	325	74	63	86	85	88	79	82	107	74
67	330	155	135	169	162	158	162	143	193	97
68	335	196	179	216	174	156	183	162	205	106
69	340	140	113	168	143	125	160	113	155	81
70	345	95	100	90	123	130	121	105	151	76
71	350	126	135	116	175	195	155	157	189	121
72	355	175	175	178	216	233	206	213	235	185
73	360	164	162	170	188	177	202	209	222	177
74	365	108	108	109	125	105	144	149	149	144
75	370	117	118	104	121	115	121	146	77	132

### پیوست ت: داده های اندازه گیری شده سوندazerها با آرایش شلومبرگر

جدول ت-۱: گسترش طولی الکترودها در سوندazer زنی با استفاده از آرایش شلومبرگر

AB/2 (m)	MN (m)	K
3	2	12.6
5	2	37.7
7	2	75.4
10	2	155.5
10	5	58.9
15	2	352
15	5	137.5
20	5	247.5
30	5	562
40	5	1001
50	5	1567
50	20	377
70	5	3075
70	20	754
100	20	1555
150	20	3620

جدول ت-۲: داده های اندازه گیری شده سوندazerها با آرایش شلومبرگر

S.A0		S.A1		S.A2		S.A3		S.A4	
AB/2(m)	ρa(Ωm)								
3	58	3	110	3	247	3	66	3	1172
5	60	5	135	5	224	5	86	5	2928
7	62	7	147	7	260	7	92	7	3795
10	56	10	154	10	281	10	88	10	4613
10	59	10	146	10	280	10	102	10	3593
15	54	15	160	15	205	15	95	15	2350
20	53	20	130	20	198	15	113	20	1618
30	54	30	119	30	181	20	120	30	1019
40	56	40	124	40	170	30	136	40	500
50	62	50	126	50	177	40	113	50	502
50	68	50	129	50	158	50	92	50	269
70	70	70	143	70	197	50	98	70	165
100	60	100	65	100	88	70	90	100	119
150	56	150	113	150	155	100	102		
						150	185		
S.B1		S.B2		S.B2a		S.B3		S.B4	
AB/2(m)	ρa(Ωm)								
3	46	3	109	3	38	3	634	3	628
5	56	5	118	5	41	5	677	5	1112
7	51	7	168	7	46	7	733	7	1230
10	56	10	200	10	46	10	858	10	788
10	54	10	162	10	54	10	931	10	774
15	48	15	148	15	51	15	110	15	918

**پیوست ت: داده های اندازه گیری شده سوندراژها با آرایش شلومبرگر**

20	46	20	136	20	46	20	111	20	753
30	49	30	115	30	55	30	51	30	393
40	52	40	98	40	57	40	43	40	505
50	56	50	91	50	55	50	58	50	385
50	55	50	87	50	58	50	85	50	345
70	60	70	74	70	62	70	66	70	201
100	58	100	76	100	52	100	75	100	100
150	53	150	45	150	46	150	39		
S.B5		S.C1		S.C2		S.C3		S.C4	
AB/2(m)	ρa(Ωm)								
3	500	3	38	3	91	3	43	3	65
5	846	5	57	5	111	5	50	5	62
7	1168	7	70	7	128	7	42	7	82
10	1267	10	84	10	130	10	32	10	85
10	995	10	75	10	126	10	34	10	78
15	1303	15	97	15	129	15	33	15	86
20	1526	15	87	20	120	20	27	20	96
30	1714	20	84	30	104	30	26	30	65
40	1257	30	78	40	77	40	32	40	25
50	750	40	62	50	65	50	35	50	19.3
50	704	50	64	50	67	50	53	50	38
70	479	50	57	70	60	70	60	70	41
100	111	70	55	100	52	100	62	100	39
150	99	100	47	150	60	150	63	150	36
		150	50						
S.C5		S.C6		S.D1		S.D2		S.D3	
AB/2(m)	ρa(Ωm)								
3	455	3	308	3	88	3	15	3	168
5	513	5	497	5	116	5	18	5	170
7	599	7	674	7	130	7	20	7	208
10	401	10	909	10	112	10	23	10	132
10	363	10	858	10	97	10	22	10	138
15	303	15	1359	15	112	15	27	15	90
20	378	20	982	20	65	20	27	20	24
30	281	30	680	30	52	30	25	30	22.6
40	241	40	533	40	52	40	30	40	21
50	211	50	561	50	45	50	33	50	22.8
50	275	50	468	50	46	50	30	50	30
70	216	70	347	70	41	70	34	70	32
100	153	100	228	100	41	100	32	100	39
150	99			150	47	150	35	150	40
S.D4		S.D5		S.D6		S.E1		S.E2	
AB/2(m)	ρa(Ωm)								
3	554	3	916	3	525	3	120	3	30
5	773	5	813	5	522	5	116	5	18.5

**پیوست ت: داده های اندازه گیری شده سوندرازها با آرایش شلومبرگر**

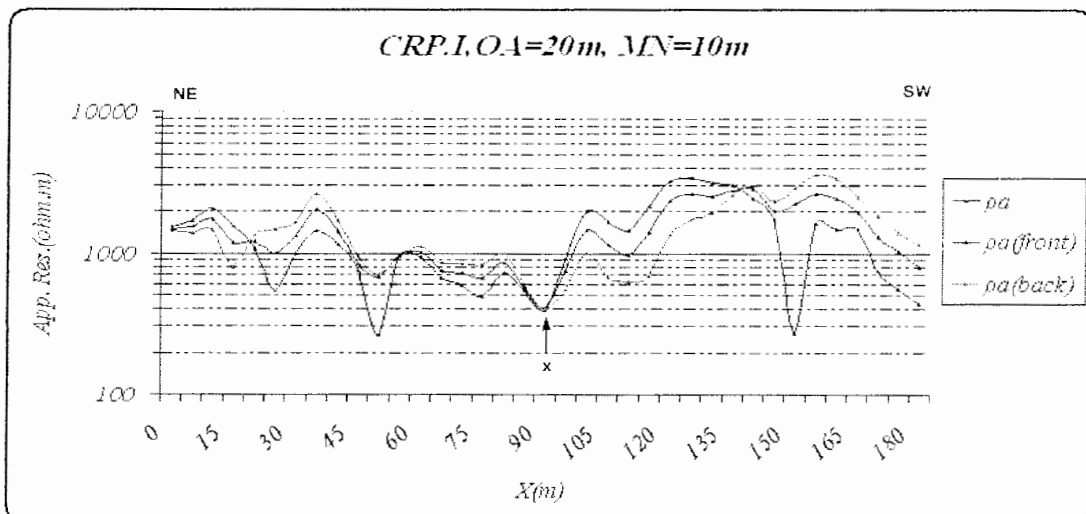
7	923	7	533	7	490	7	92	7	23
10	687	10	435	10	485	10	71	10	29
10	663	10	487	10	445	10	63	10	27
15	374	15	333	15	572	15	69	15	36
20	212	20	268	20	635	20	66	20	44
30	202	30	155	30	711	30	61	30	45
40	186	40	149	40	400	40	45	40	37
50	188	50	143	50	438	50	39	50	30
50	198	50	197	50	490	50	41	50	30
70	92	70	91	70	257	70	37	70	27
100	54	70	125	100	99	100	41	100	26
150	40	100	85	150	86	150	51	150	32
	150		73						
S.E3	S.E4		S.E5		S.E6		S.E7		
AB/2(m)	pa(Ωm)								
3	95	3	38	3	532	3	267	3	1230
5	84	5	51	5	638	5	298	5	1220
7	75	7	65	7	557	7	266	7	905
10	46.9	10	90	10	427	10	253	10	964
10	42	10	95	10	406	10	138	10	1186
15	39	15	65	15	340	15	251	15	1302
20	35	20	55	20	244	15	239	20	1085
30	23	30	51	30	298	20	215	30	495
40	18.5	40	30	40	305	30	281	40	362
50	21.4	50	22	50	302	40	222	50	391
50	24.7	50	43	50	350	50	235	50	324
70	19.6	70	18	70	290	50	210	70	227
100	19.8	70	33	100	125	70	258	100	157
150	25	100	16	150	81	70	247	150	96
	150	15			100	161			
					150	70			
S.E8	S.ED1		S.F1		S.F2		S.F3		
AB/2(m)	pa(Ωm)								
3	1075	3	19	3	131	3	26	3	94
5	1074	5	19.7	5	159	5	42	5	161
7	1055	7	19.8	7	157	7	51	7	195
10	1043	10	19.3	10	152	10	60	10	142
10	877	10	18.6	10	136	10	64	10	113
15	1285	15	22.9	15	126	15	79	15	117
15	1141	20	24.9	20	93	20	65	20	132
20	1172	30	32	30	57	30	73	30	56
30	1291	40	41	40	41	40	68	40	42
40	1205	50	40	50	39	50	59	50	37
50	1149	50	36	50	44	50	61	50	42
50	1470	70	35	70	45	70	43	70	31
70	933	100	38.6	100	43	100	36	100	34.6
70	1041	150	45	150	49	150	44	150	43
100	677								

پیوست ت: داده های اندازه گیری شده سوندرازها با آرایش شلومبرگر

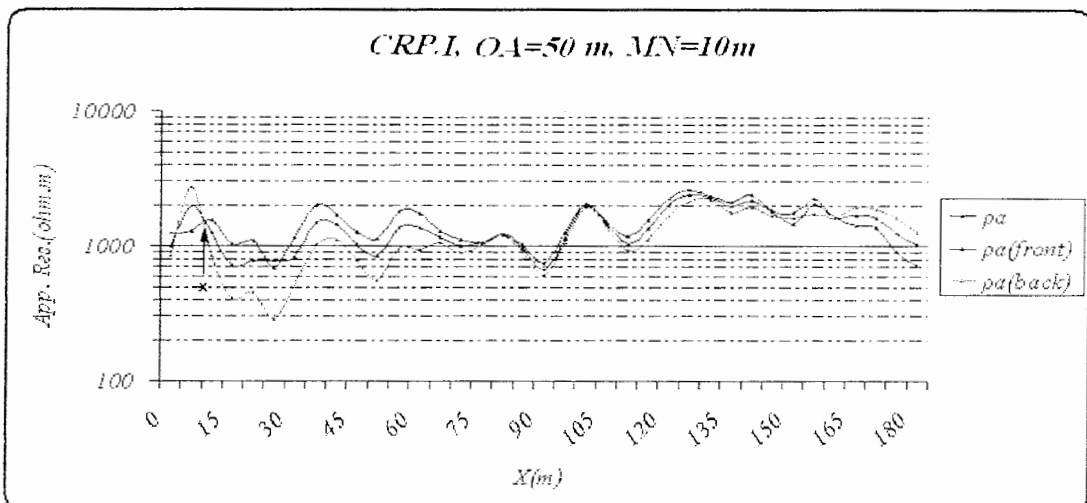
S.F4		S.F5		S.F6		S.F7		S.F8	
AB/2(m)	ρa(Ωm)								
3	428	3	255	3	351	3	242	3	618
5	317	5	278	5	296	5	271	5	505
7	151	7	247	7	252	7	278	7	528
10	112	10	208	10	233	10	388	10	364
10	120	10	288	10	251	10	397	10	254
15	115	15	276	15	282	15	400	15	359
20	107	20	213	20	298	20	352	15	314
30	82	30	196	30	362	30	212	20	398
40	67	40	115	40	400	40	158	30	646
50	48	50	72	50	386	50	129	40	848
50	77	50	68	50	372	50	154	50	731
70	28	70	37	70	204	70	133	50	795
70	35	100	37	100	133	100	98	70	515
100	28	150	47	150	69	150	72	100	198
150	22								
S.G1		S.G2		S.G3		S.G4		S.G5	
AB/2(m)	ρa(Ωm)								
3	89	3	37	3	119	3	119	3	214
5	99	5	37	5	145	5	128	5	157
7	94	7	46	7	144	7	155	7	142
10	95	10	55	10	149	10	149	10	116
10	86	10	61	10	146	15	139	10	121
15	91	15	63	15	124	20	91	15	129
20	85	20	56	20	76	30	74	20	107
30	63	30	63	30	47	40	68	30	87
40	63	40	61	40	40	50	60	40	82
50	66	50	57	50	35	50	46	50	79
50	70	50	59	50	34	70	47	50	95
70	45	70	45	70	35	100	42	70	73
100	50	100	32	100	36	150	56	100	55
150	39	150	37	150	46			150	63
S.G6		S.G7		S.G8		S.G9		S.G10	
AB/2(m)	ρa(Ωm)								
3	63	3	365	3	316	3	211	3	670
5	52	5	348	5	398	5	224	5	535
7	39	7	336	7	394	7	228	7	580
10	59	10	514	10	462	10	217	10	617
10	64	10	380	10	455	10	242	10	522
15	70	15	412	15	350	15	215	15	722
20	63	20	388	20	209	20	181	15	697
30	77	30	346	30	252	30	216	20	748
40	73	40	306	40	200	40	231	30	1006
50	67	50	226	50	178	50	219	40	909
50	77	50	158	50	173	50	241	50	775

70	63	70	95	70	137	70	113	50	628
100	37	100	45	100	97	100	85	70	555
150	40	150	52	150	106	150	97	70	486
								100	218
								150	124
S.G11		S.H1		S.H2		S.H3		S.H4	
AB/2(m)	ρa(Ωm)								
3	1041	3	60	3	104	3	143	3	175
5	1273	5	82	5	99	5	192	5	174
7	1535	7	93	7	97	7	94	7	175
10	1312	10	99	10	97	10	111	10	168
10	983	10	96	10	93	10	104	10	162
15	1540	20	93	15	83	15	91	15	128
15	1333	30	95	20	70	20	81	20	74
20	1592	40	90	30	58	30	56	30	48
30	1873	50	85	40	55	40	50	40	43
40	1558	50	84	50	58	50	45	50	40
50	1619	70	84	50	54	50	49	50	39
50	1181	100	46	70	53	70	41	70	37
70	1182	150	36	100	41	100	36	100	34
70	994			150	45	150	36	150	37
100	590								
150	223								
S.H5		S.H6		S.H7		S.H8			
AB/2(m)	ρa(Ωm)	AB/2(m)	ρa(Ωm)	AB/2(m)	ρa(Ωm)	AB/2(m)	ρa(Ωm)		
3	115	3	288	3	408	3	376		
5	92	5	211	5	344	5	480		
7	59	7	164	7	407	7	515		
10	68	10	97	10	342	10	524		
10	55	10	107	10	306	10	603		
15	62	15	85	15	336	15	548		
20	51	20	48	15	313	15	632		
30	37	30	45	20	261	20	636		
40	36	40	50	30	218	30	434		
50	37	50	48.9	40	155	40	282		
50	40	50	52	50	114	50	235		
70	33	70	50	50	176	50	235		
100	28	100	30	70	45	70	157		
150	31	150	32	70	98	100	150		
				100	77	150	166		
				150	65				

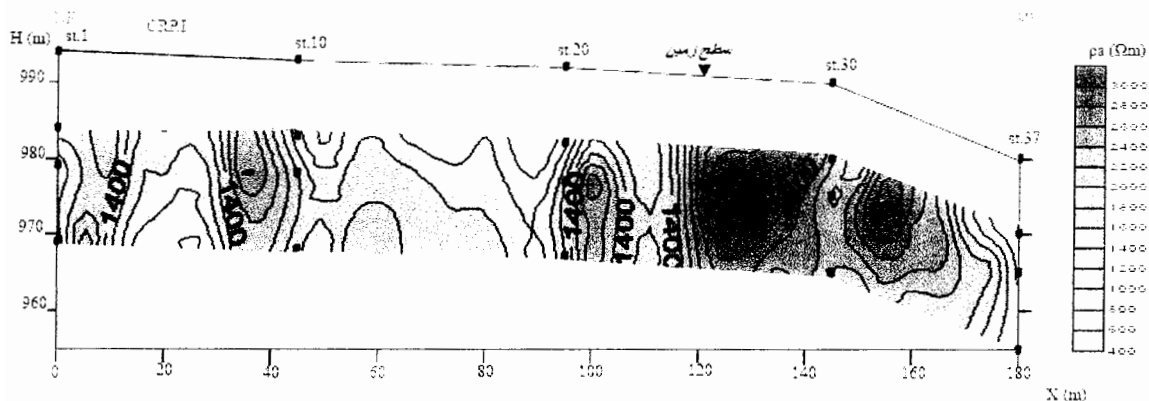
پیوست ث: نمودارهای تغییرات مقاومت ویژه ظاهری در طول پروفیلهای CRP و شبیه مقاطع قائم مقاومت ویژه ظاهری آنها



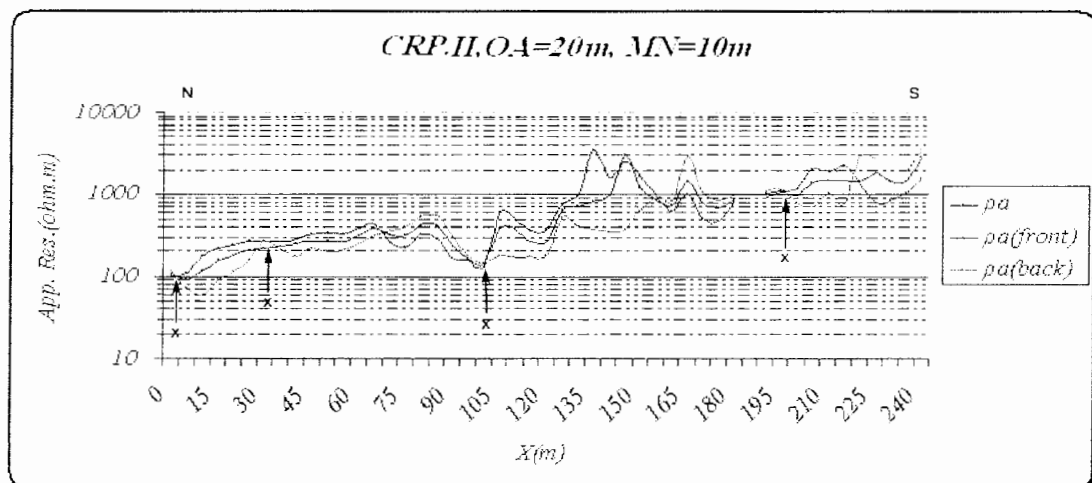
شکل ث-۱: نمودارهای تغییرات مقاومت ویژه ظاهری پروفیل CRP.I برای فاصله الکترودهای جریان OA=20m



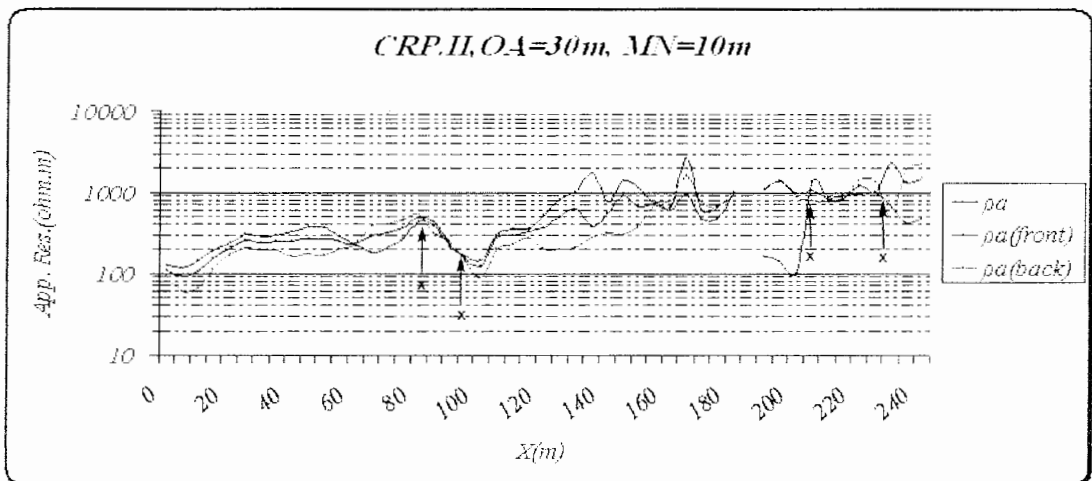
شکل ث-۲: نمودارهای تغییرات مقاومت ویژه ظاهری پروفیل CRP.I برای فاصله الکترودهای جریان OA=50m



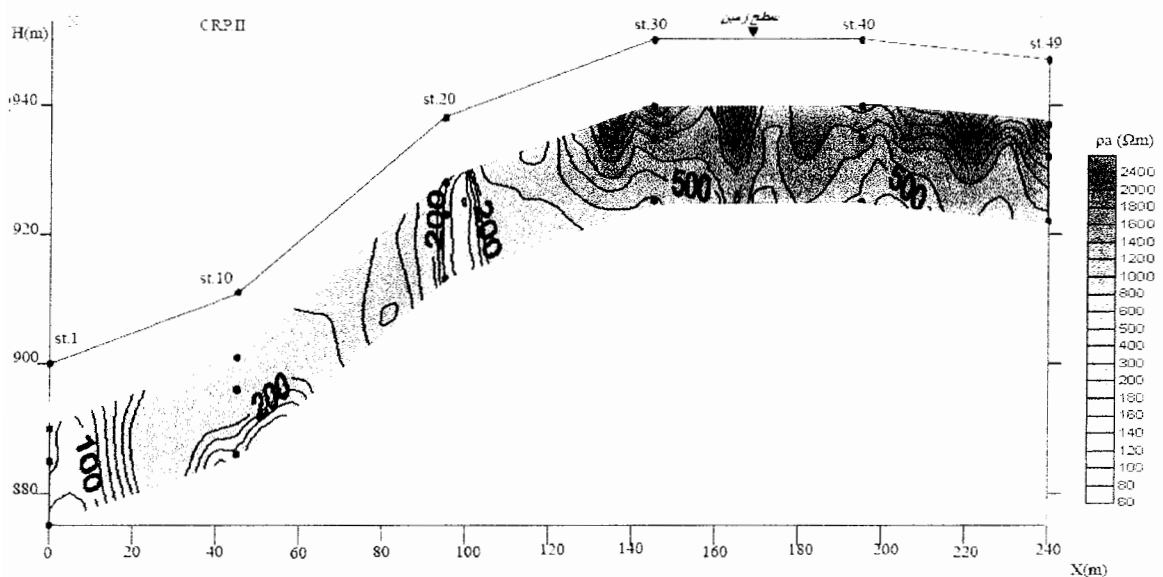
شکل ث-۳: شبیه مقاطع قائم مقاومت ویژه ظاهری پروفیل CRP.I



شکل ث-۴: نمودارهای تغییرات مقاومت ویژه ظاهری پروفیل CRP. II برای فاصله الکترودهای جریان OA=20m

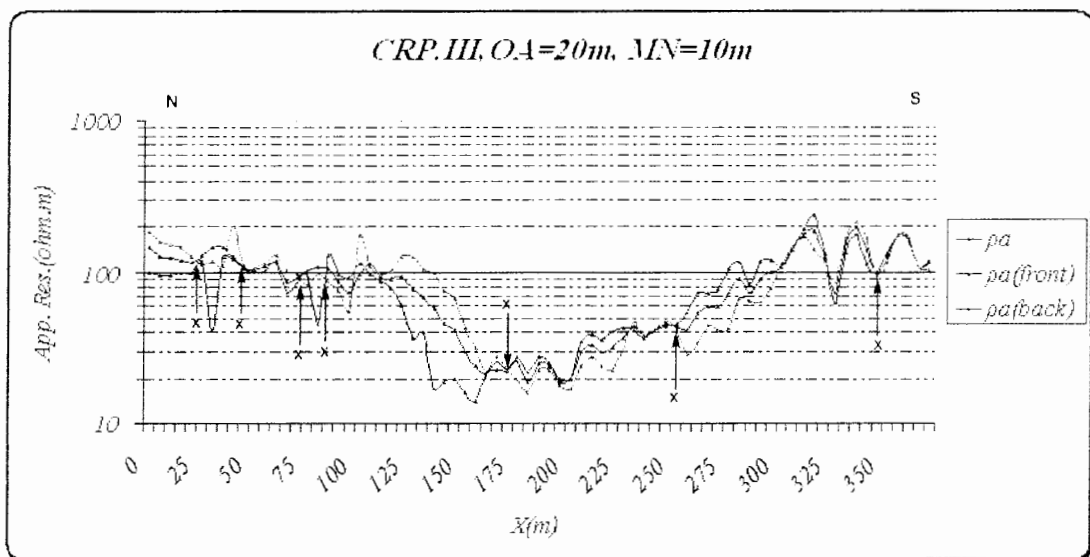


شکل ث-۵: نمودارهای تغییرات مقاومت ویژه ظاهری پروفیل CRP. II برای فاصله الکترودهای جریان OA=30m

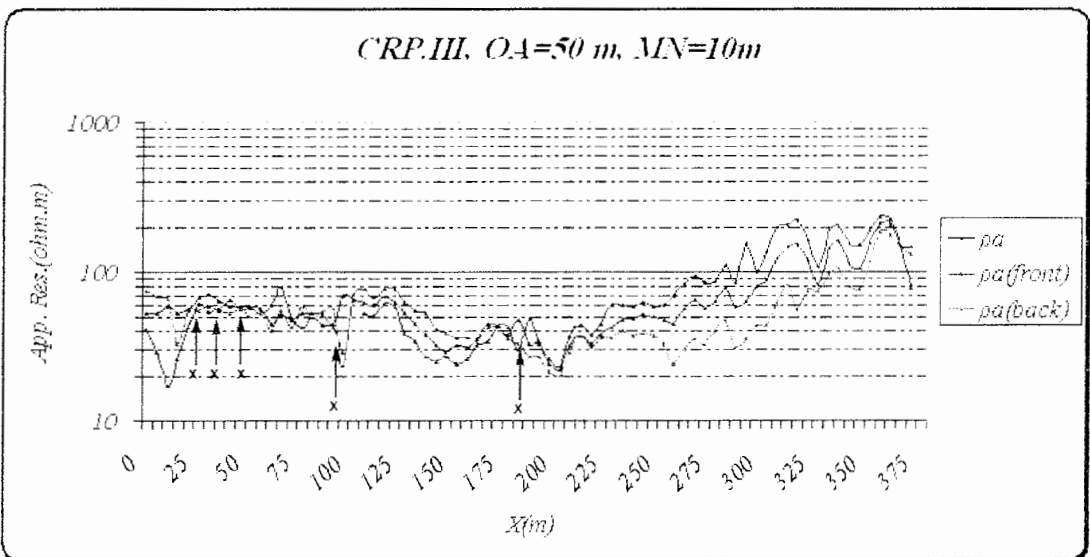


شکل ث-۶: شبیه مقاطع قائم مقاومت ویژه ظاهری پروفیل CRP.II

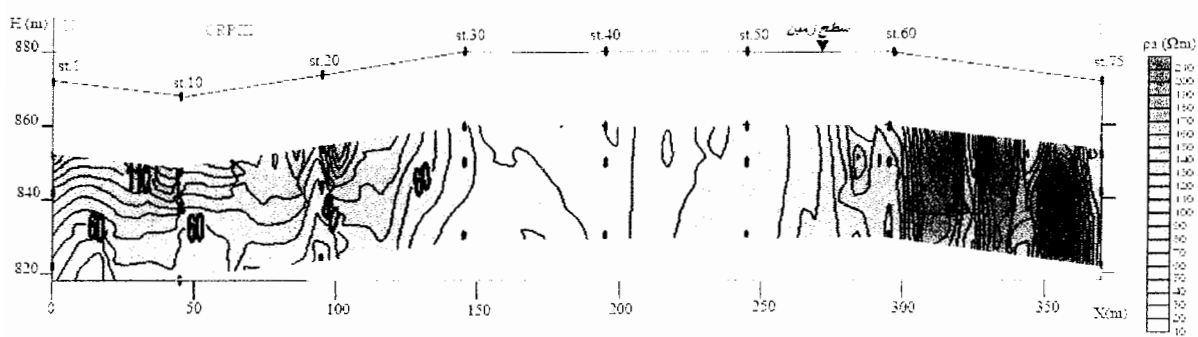
پیوست ث: نمودارهای تغییرات مقاومت ویژه در طول پروفیلهای CRP و شبه مقاطع قائم مقاومت ویژه ظاهری آنها



شکل ث-۷: نمودارهای تغییرات مقاومت ویژه ظاهری پروفیل CRP.III برای فاصله الکترودهای جریان OA=20m



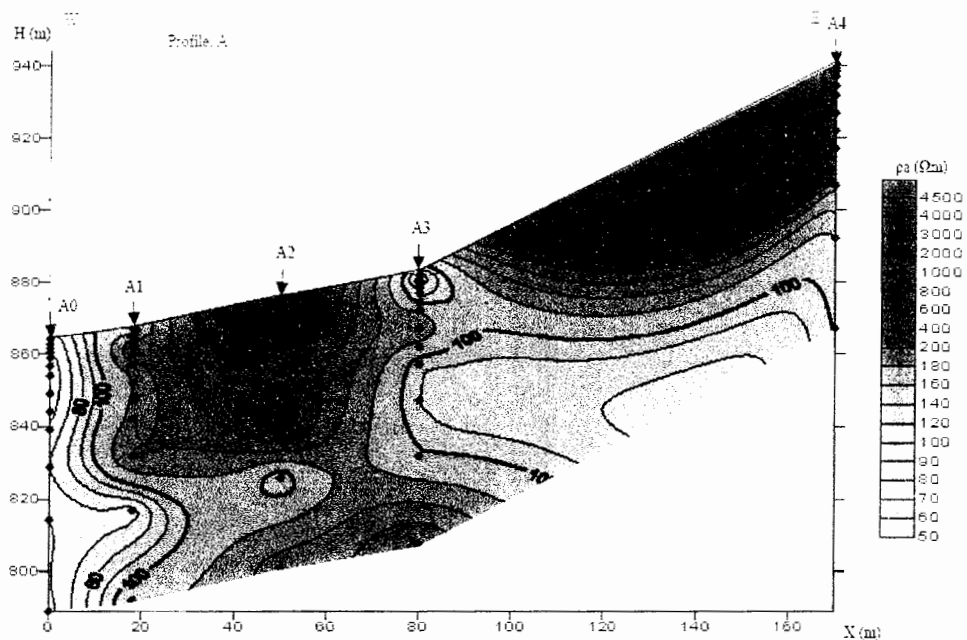
شکل ث-۸: نمودارهای تغییرات مقاومت ویژه ظاهری پروفیل CRP.III برای فاصله الکترودهای جریان OA=50m



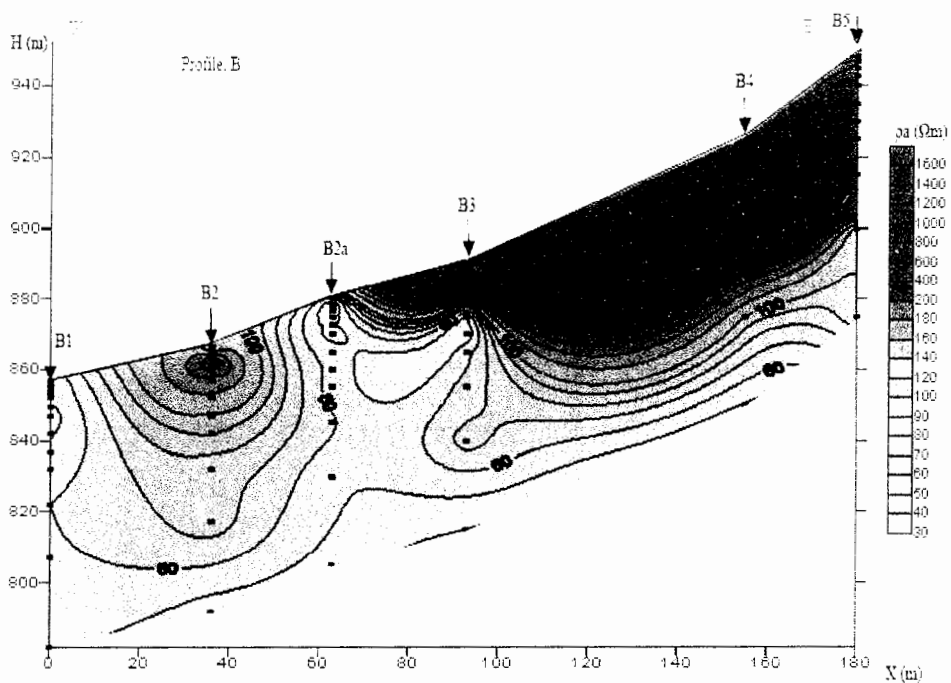
شکل ث-۹: شبه مقطع قائم مقاومت ویژه ظاهری پروفیل CRP.III

پیوست ج :

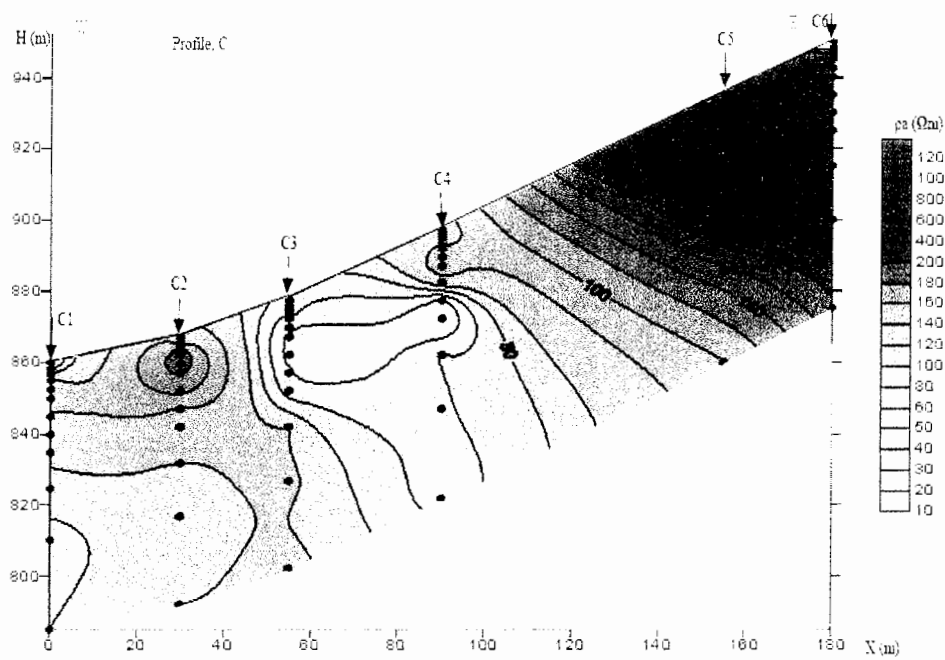
**نمودار شبہ مقاطع قائم مقاومت ویژه الکتریکی ظاهري**



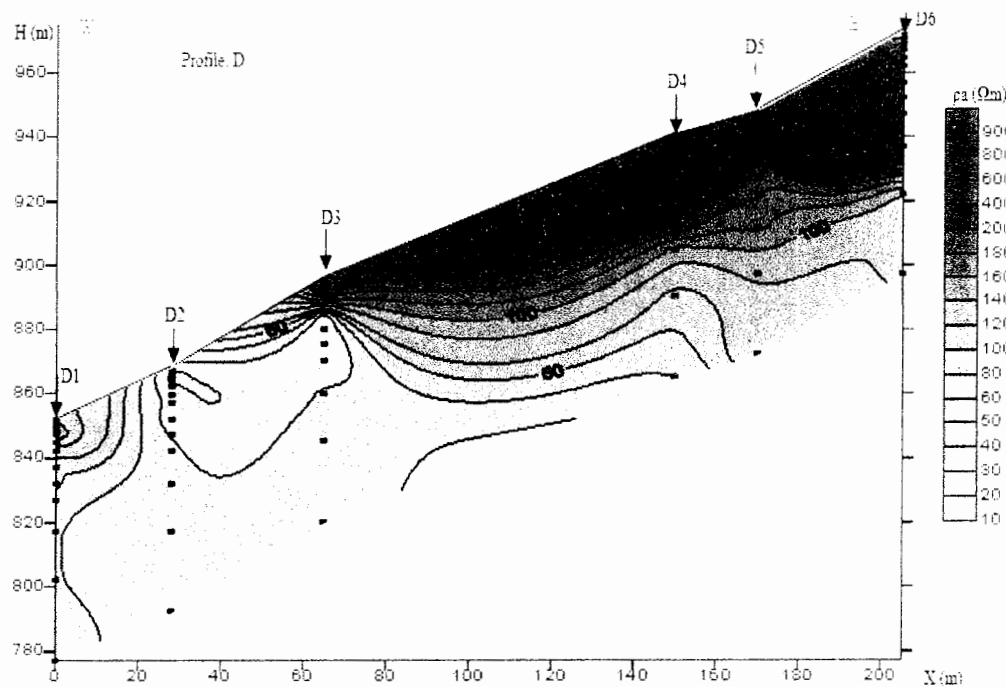
شکل ج-۱: شبہ مقطع قائم مقاومت ویژه ظاهري پروفيل طولي A



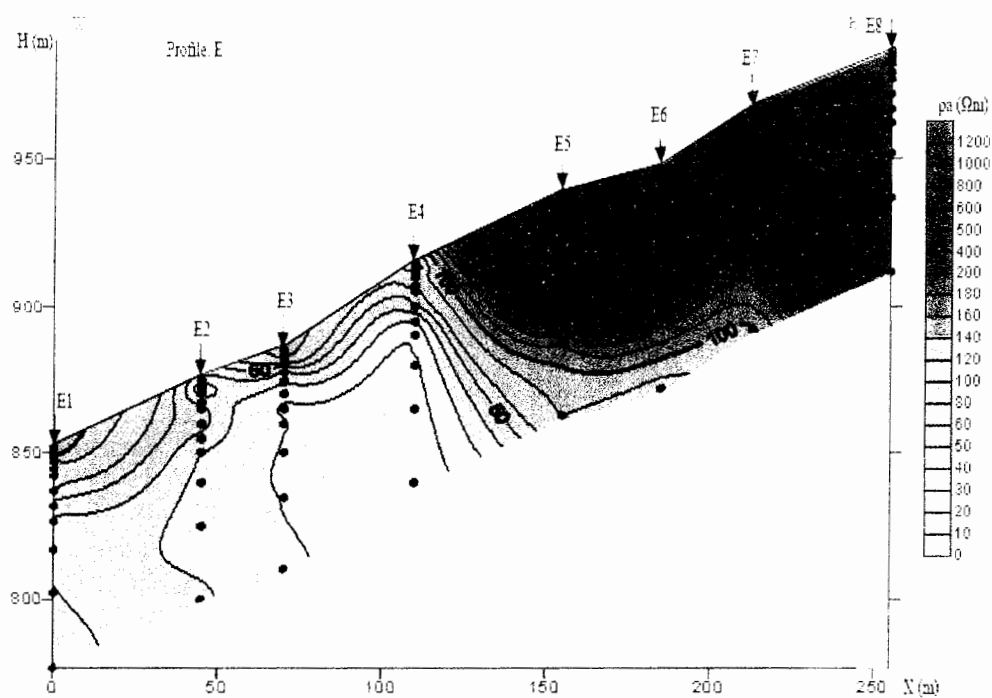
شکل ج-۲: شبہ مقطع قائم مقاومت ویژه ظاهري پروفيل طولي B



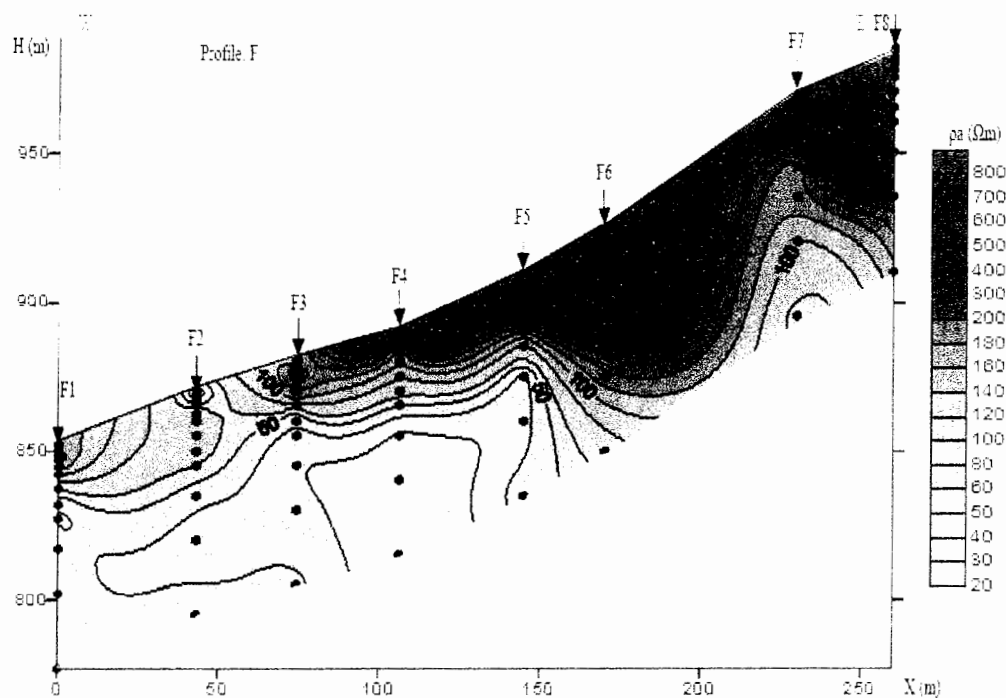
شکل ج-۳: شبیه مقطع قائم مقاومت ویژه ظاهری پروفیل طولی C



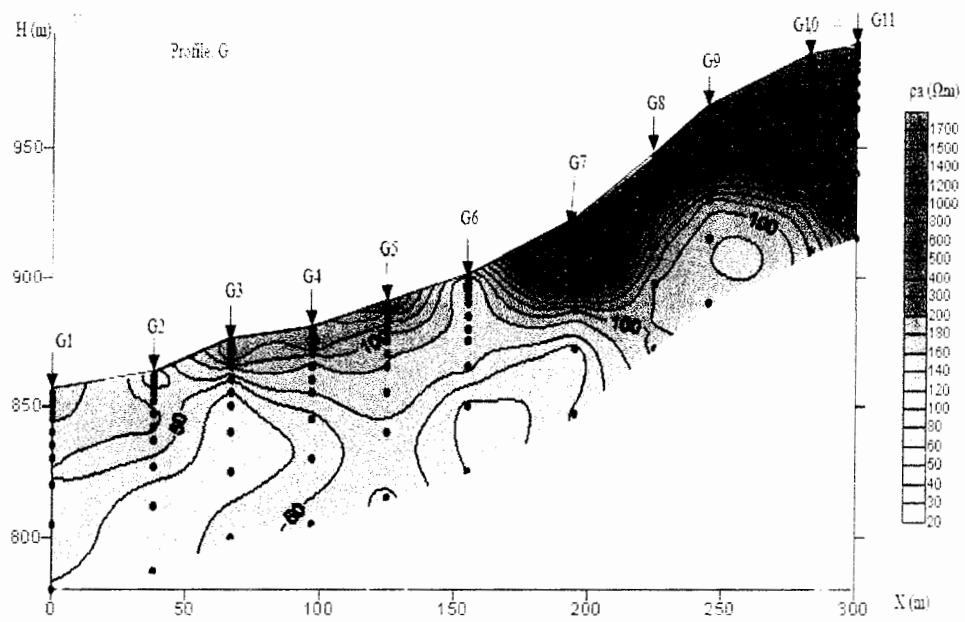
شکل ج-۴: شبیه مقطع قائم مقاومت ویژه ظاهری پروفیل طولی D



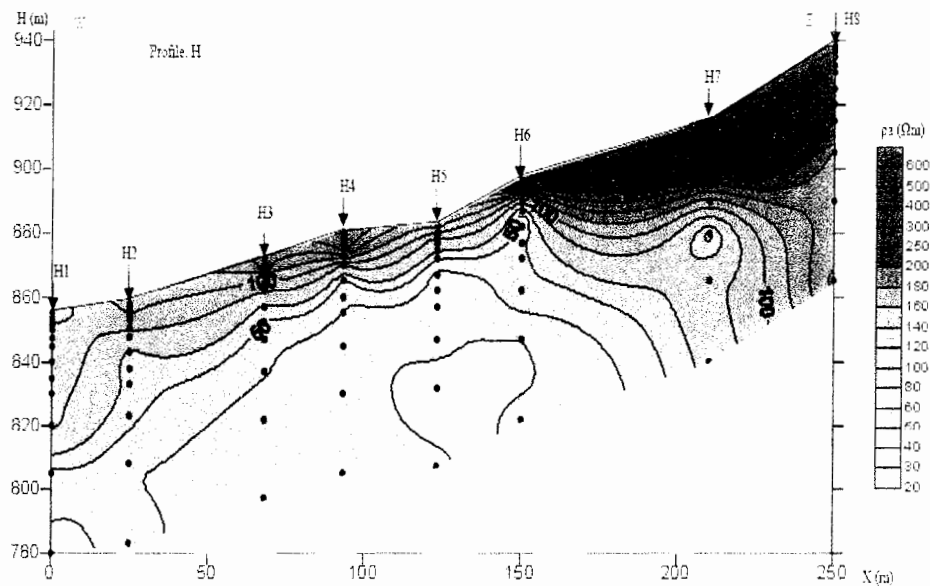
شکل ج-۵: شبیه مقطع قائم مقاومت ویژه ظاهری پروفیل طولی E



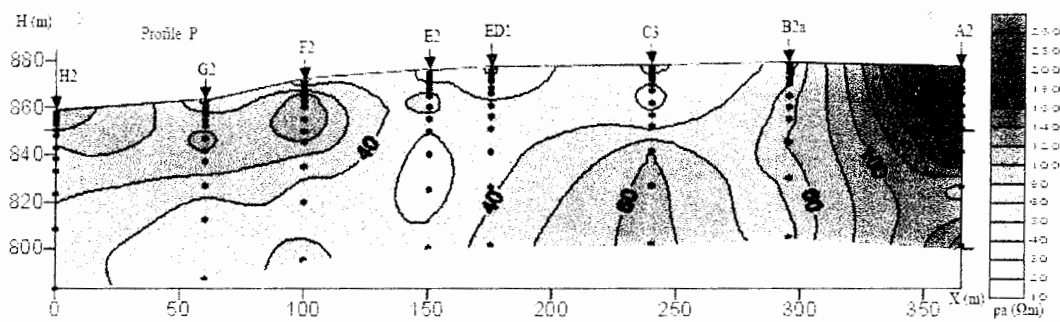
شکل ج-۶: شبیه مقطع قائم مقاومت ویژه ظاهری پروفیل طولی F



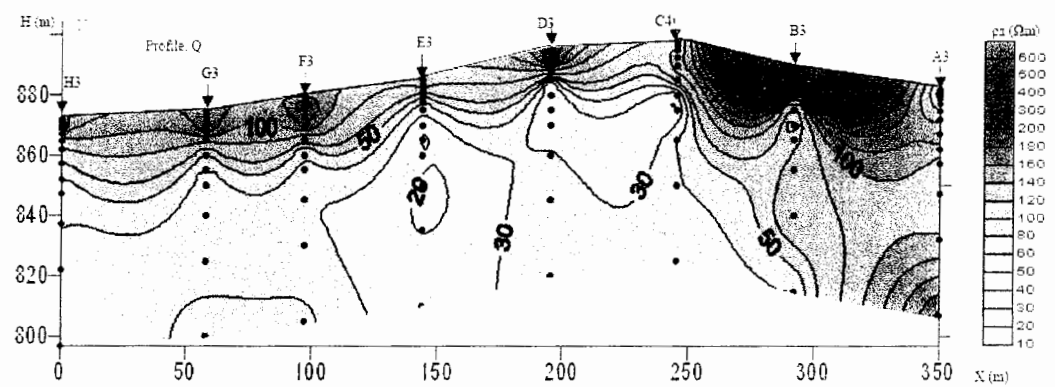
شکل ج-۷: شبیه مقطع مقاومت قائم ویژه ظاهری پروفیل طولی G



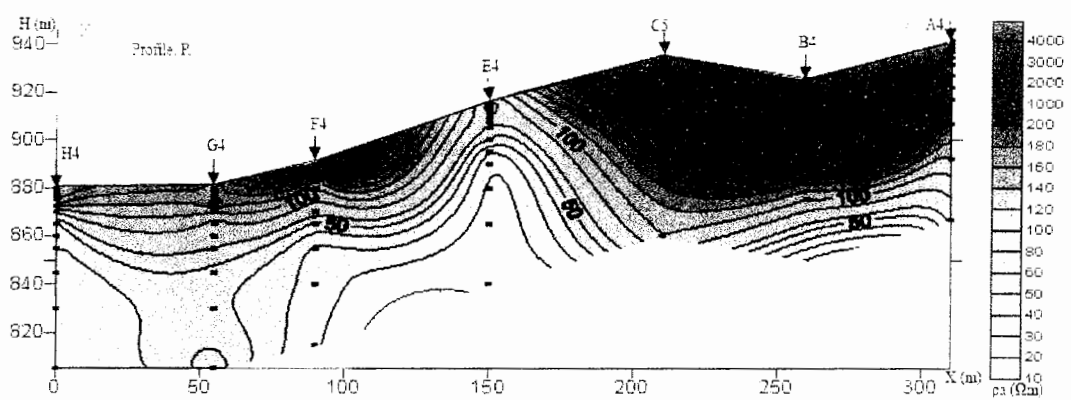
شکل ج-۸: شبیه مقطع مقاومت قائم ویژه ظاهری پروفیل طولی H



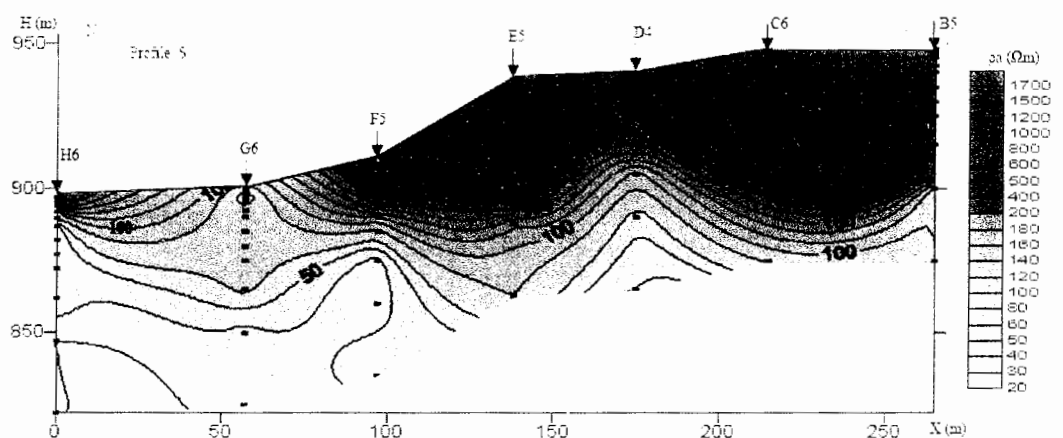
شکل ج-۹: شبیه مقطع مقاومت قائم ویژه ظاهری پروفیل عرضی P



شکل ج-۱۰: شبہ مقطع قائم مقاومت ویژه ظاهری پروفیل عرضی Q

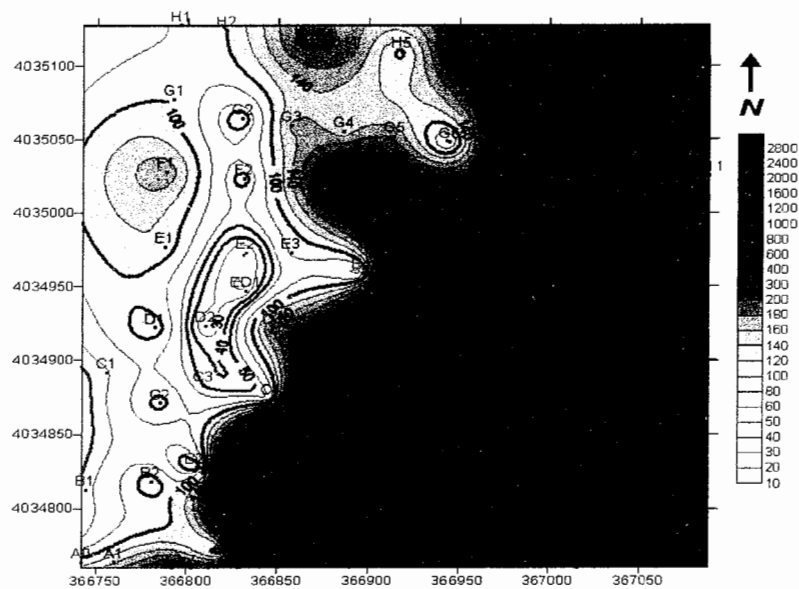


شکل ج-۱۱: شبہ مقطع مقاومت ویژه ظاهری پروفیل عرضی R

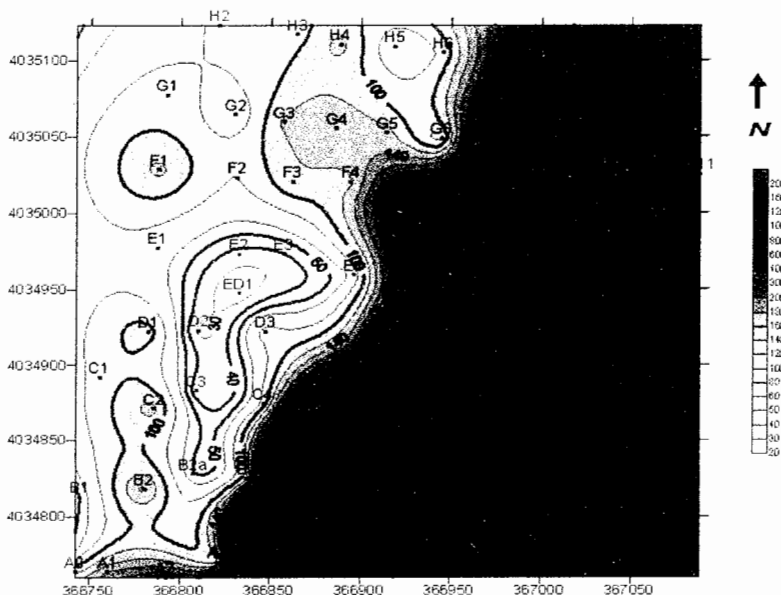


شکل ج-۱۲: شبہ مقطع مقاومت ویژه ظاهری پروفیل عرضی S

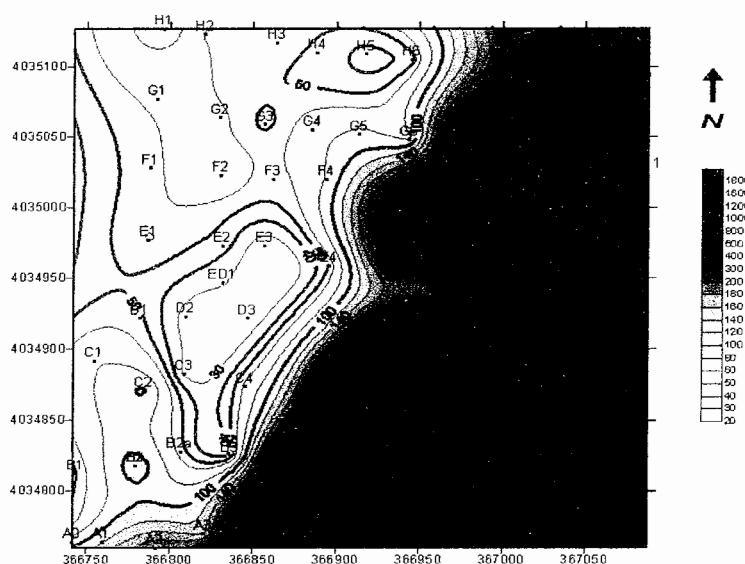
پیوست ج: نقشه های هم مقاومت ویژه



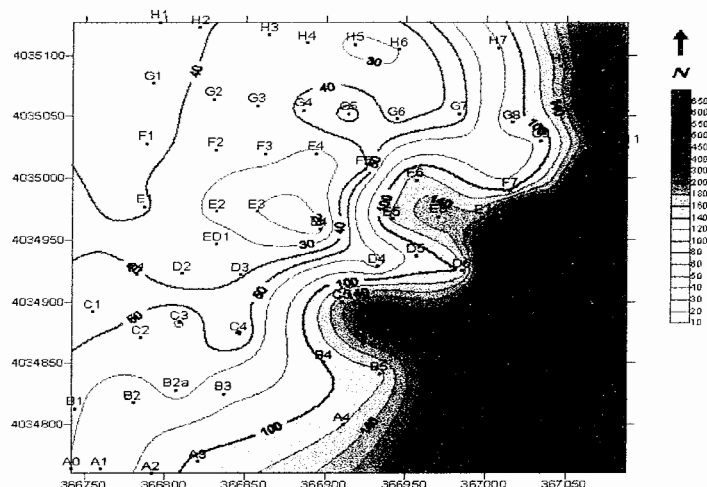
شکل ج-۱: نقشه هم مقاومت ویژه فاصله الکترودهای جریان ( $AB/2$ ) برابر ۵ متر



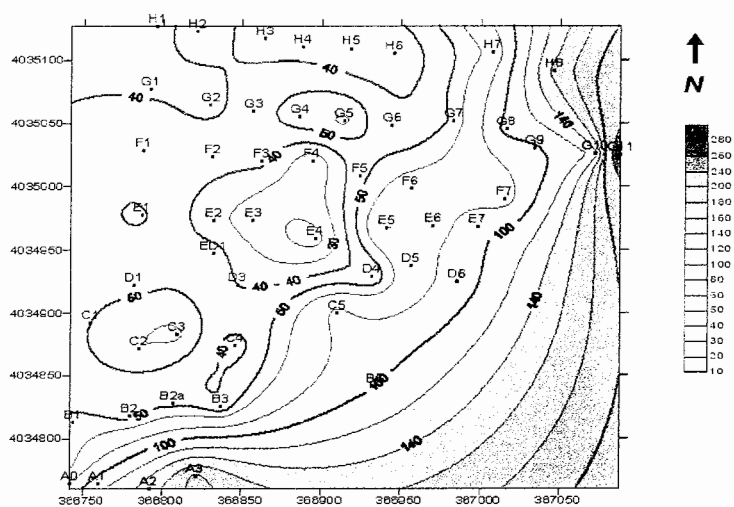
شکل ج-۲: نقشه هم مقاومت ویژه فاصله الکترودهای جریان ( $AB/2$ ) برابر ۱۵ متر



شکل ج - ۳ : نقشه هم مقاومت ویژه فاصله الکترودهای جریان (AB/2) برابر ۳۰ متر



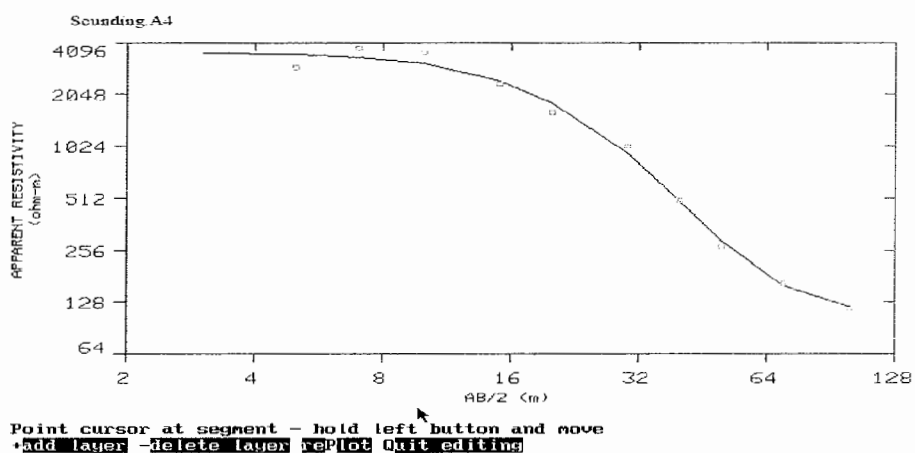
شکل ج - ۴ : نقشه هم مقاومت ویژه فاصله الکترودهای جریان (AB/2) برابر ۱۰۰ متر



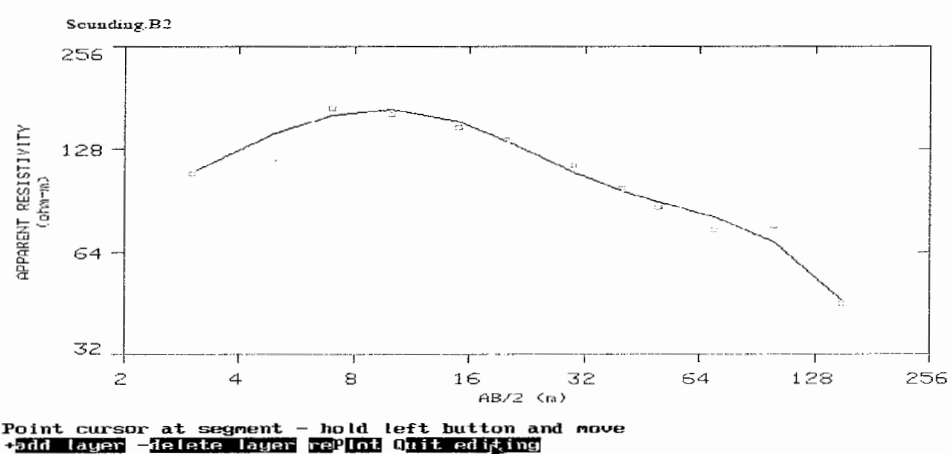
شکل ج - ۵ : نقشه هم مقاومت ویژه فاصله الکترودهای جریان (AB/2) برابر ۱۵۰ متر

### پیوست ح : مدل‌های حاصل از معکوس سازی یک بعدی با استفاده از نرم افزار ResixIP

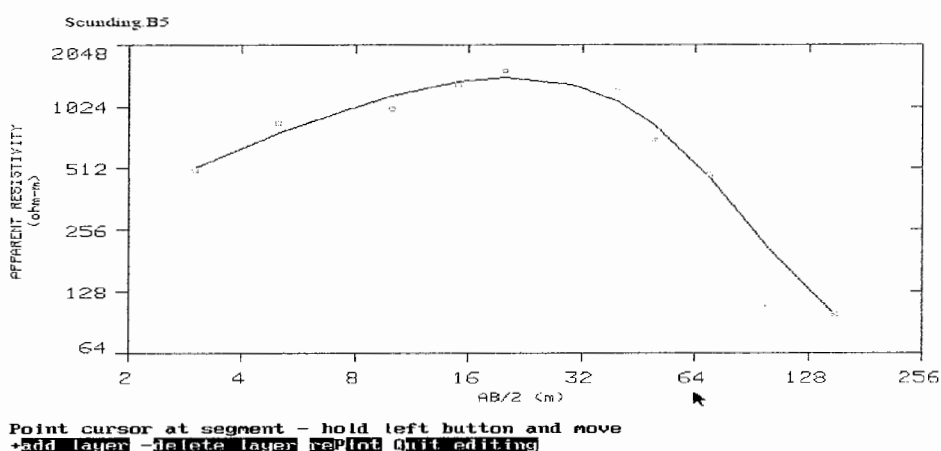
مدلهای حاصل از معکوس سازی یک بعدی داده‌های مقاومت ویرژه با استفاده از نرم افزار ResixIP، برای تعدادی از سوندazerها در این پیوست ارائه می‌شود. در این مدلها، نقاط مربعی شکل (سبز رنگ)، داده‌های اندازه‌گیری شده، نقطه چین‌ها مدل‌های در نظر گرفته شده و منحنی آبی رنگ پاسخ مدل می‌باشند.



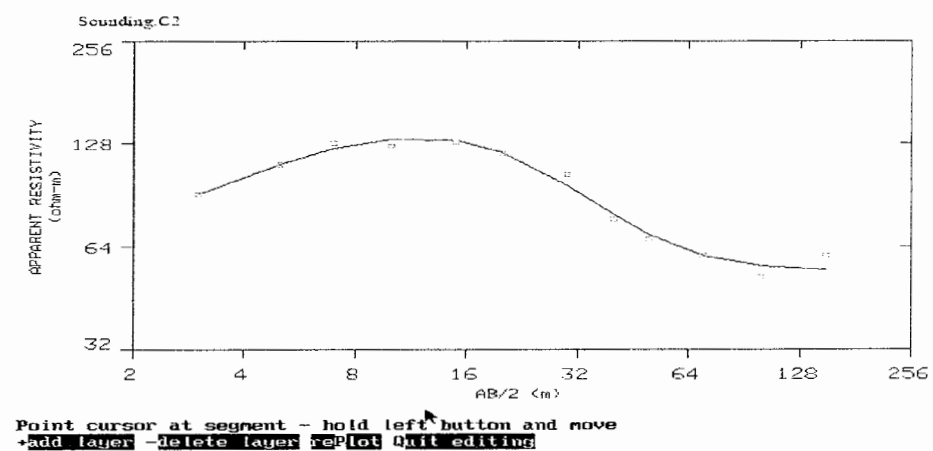
شکل ح-۵: مدل‌سازی معکوس یک بعدی سوندazer A4



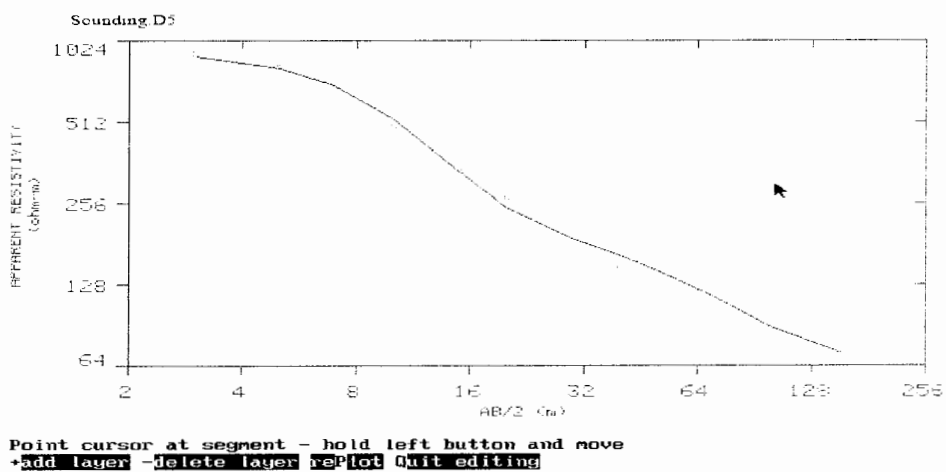
شکل ح-۷ : مدل‌سازی معکوس یک بعدی سوندazer B2



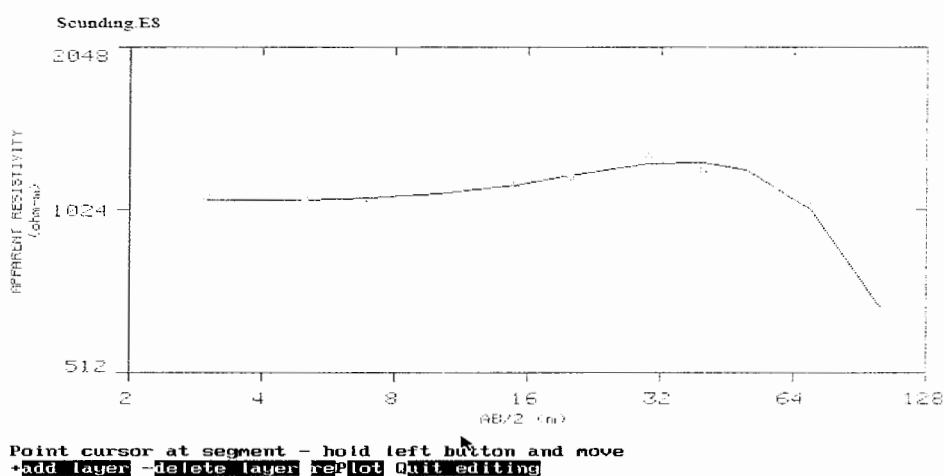
شکل ح-۱۱: مدل‌سازی معکوس یک بعدی سونداز B5



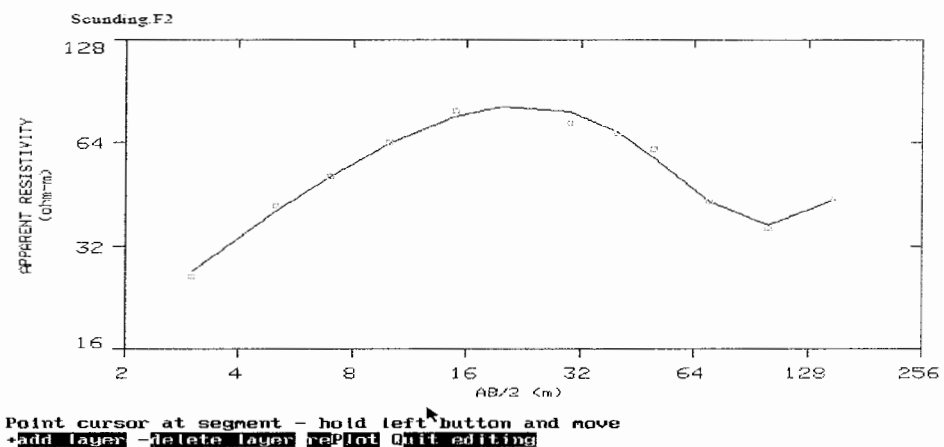
شکل ح-۱۳: مدل‌سازی معکوس یک بعدی سونداز C2



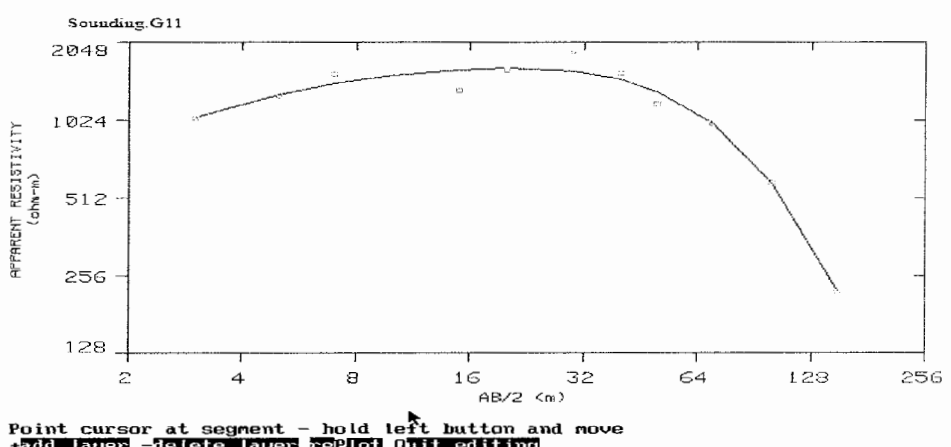
شکل ح-۲۲: مدل‌سازی معکوس یک بعدی سونداز D5



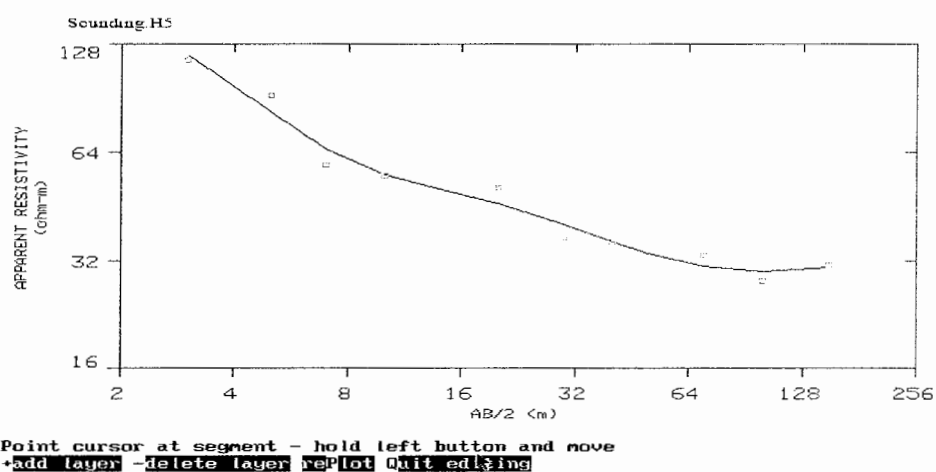
شکل ح-۳۱: مدل‌سازی معکوس یک بعدی سونداز E8



شکل ح-۳۴: مدل‌سازی معکوس یک بعدی سونداز F2

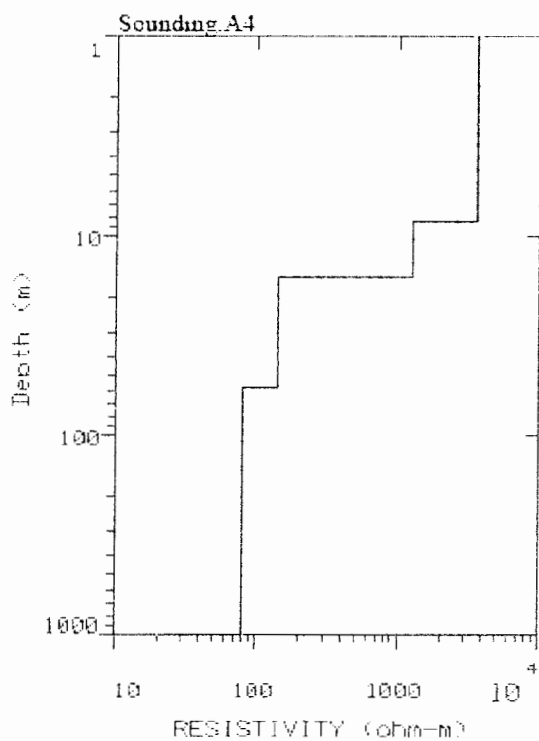


شکل ح-۵۱: مدل‌سازی معکوس یک بعدی سونداز G11

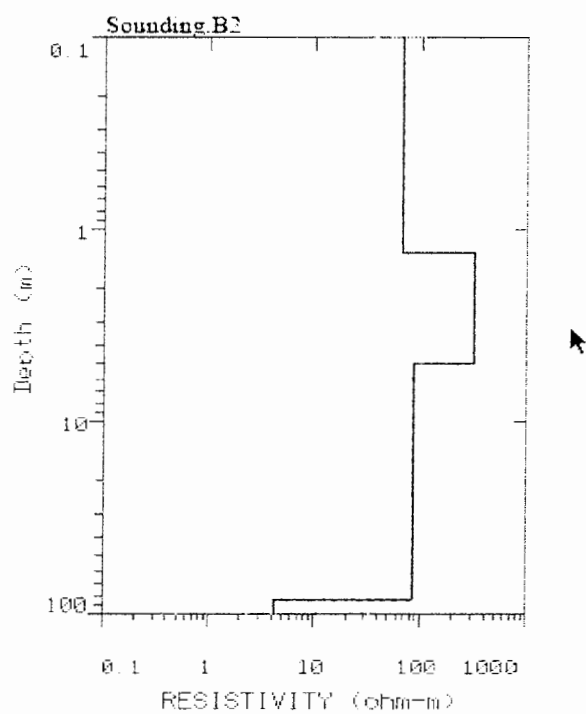


شکل ح-۵۶: مدل‌سازی معکوس یک بعدی سوندazer H5

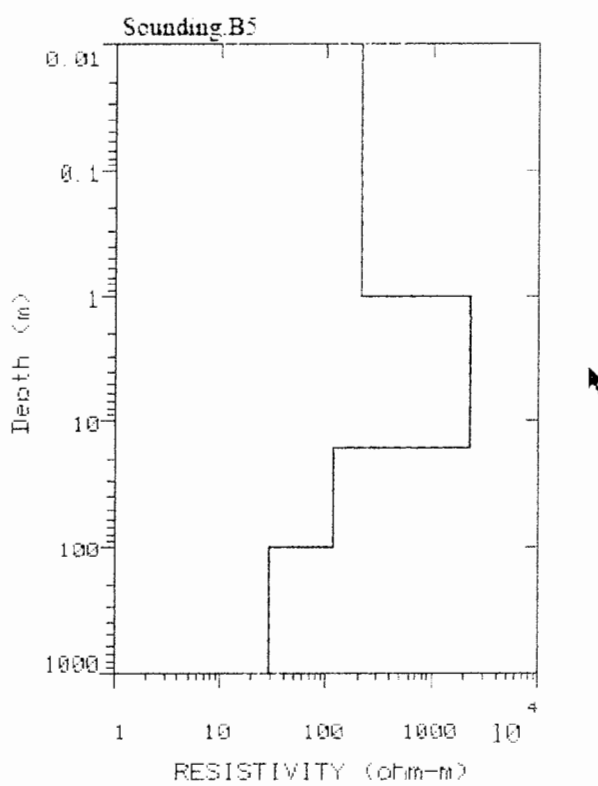
پیوست خ : مدل‌های هم ارز در مدلسازی معکوس یک بعدی با نرم افزار ResixIP



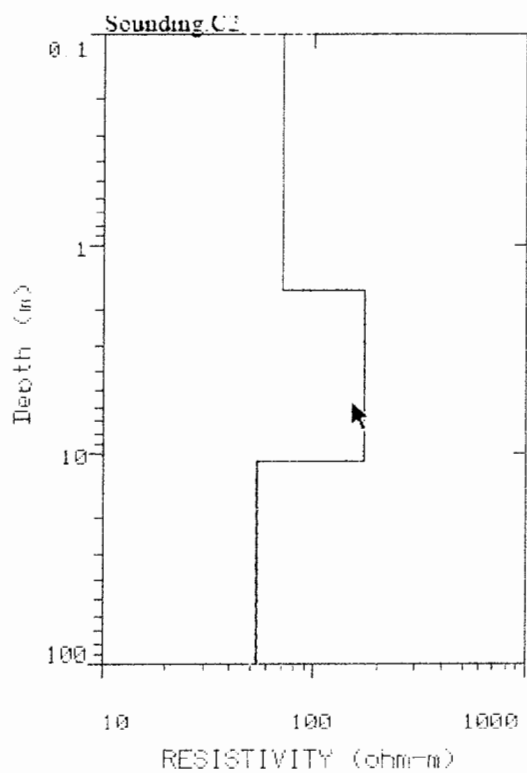
شکل خ - ۱: مدل‌های هم ارز سونداز A4



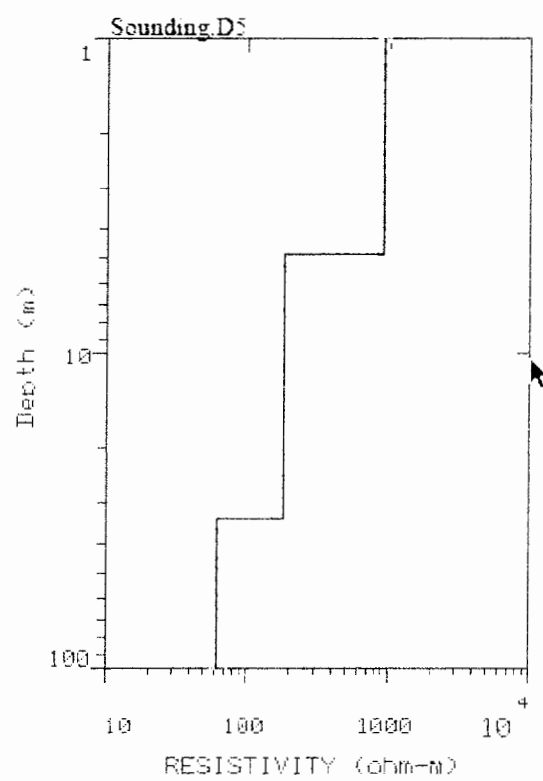
شکل خ - ۲ : مدل‌های هم ارز سونداز B2



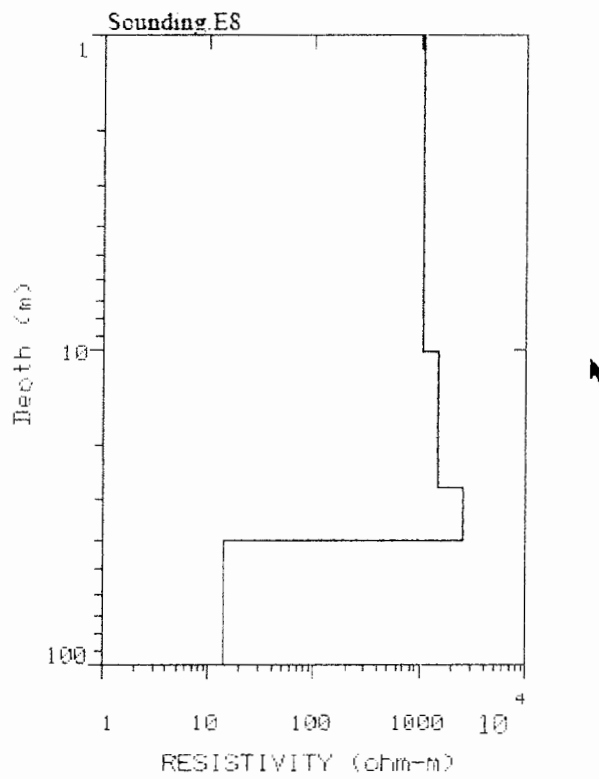
شکل خ-۳ : مدل‌های هم ارز سوندazer B5



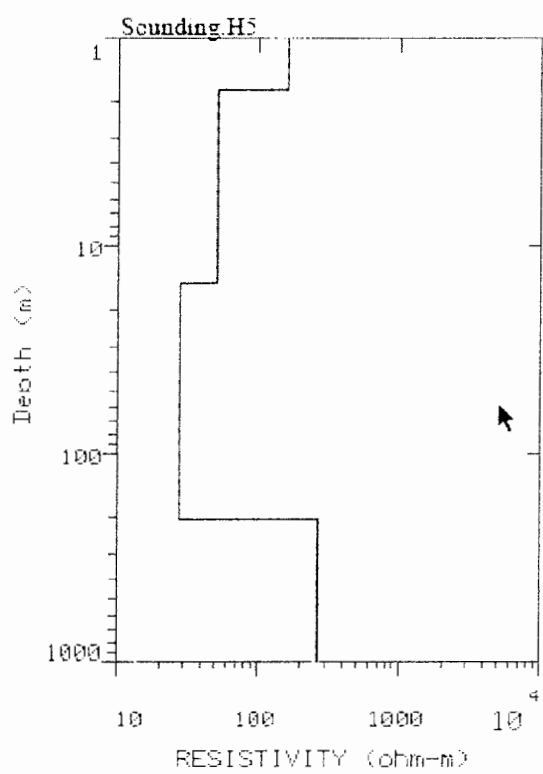
شکل خ-۴ : مدل‌های هم ارز سوندazer C2



شکل خ-۵ : مدل‌های هم ارز سونداز D5



شکل خ-۶ : مدل‌های هم ارز سونداز E8



شکل خ-۹ : مدل‌های هم ارز سوندazar H5

### پیوست د: طریقه ساختن فایل داده های ورودی نرم افزار Res2DInv

برای ساختن فایل داده های ورودی نرم افزار Res2dinv، از نرم افزارهایی مانند Surfer که قابلیت ذخیره فایل با پسوند dat دارند، استفاده می شود. چون آرایش های مورد استفاده در برداشت‌های انجام شده، آرایشهای شلومبرگ و CRP می باشند و این آرایش ها برای نرم افزار مورد نظر تعریف شده نیستند و در نتیجه جهت وارد کردن داده های اینچنین آرایشهایی، از روش آرایش های غیر-متداول<sup>۱</sup> استفاده می شود که در آن باید موقعیت الکترودهای جریان و پتانسیل و همچنین ارتفاع آنها، بطور کامل، وارد شود. دو نمونه از این جدول ها در ادامه آمده است. جهت سادگی، در ستون های مربوط به ارتفاعات، عدد صفر درج شده است و اطلاعات مربوط به ارتفاع بعضی از نقاط پروفیلهای، با توجه دستورالعمل<sup>۱</sup> نحوه وارد کردن جدولها وارد شده است. نحوه وارد کردن اطلاعات بصورت زیر است:

- ۱- خط اول: عنوان مدل (نام پروفیل مورد نظر)
- ۲- خط دوم: کوچکترین فاصله الکترودی (در این پروژه، برای پروفیلهای طولی و عرضی برابر ۱ و برای پروفیلهای CRP برابر ۵ است)
- ۳- خط سوم: عدد مشخص کننده نوع آرایش (آرایش کلی = ۱۱)
- ۴- خط چهارم: نوع آرایشی که آرایش کلی مشابه آن است (هیچ یک از آرایش ها = ۰)
- ۵- خط پنجم: تایپ عبارت: " type of measurement ( ۰=app. , ۱=resistance )"
- ۶- خط ششم: نوع داده ها ( مقاومت ویژه ظاهری = ۰ ، مقاومت ظاهری = ۱ )
- ۷- خط هفتم: تعداد کل داده های پروفیل
- ۸- خط هشتم: نوع فاصله نقاط برداشت (فاصله افقی واقعی = ۱، فاصله روی زمین = ۲)
- ۹- خط نهم: وجود داده های IP ( وجود داشته باشد = ۱ ، وجود نداشته باشد = ۰ )
- ۱۰- خط دهم به بعد: به تعداد کل داده ها (خط ۷)، در ده ستون، داده ها را وارد می کنیم:  
ستون اول: تعداد الکترودهای آرایش  
ستون دوم و سوم: مختصات X,Z الکترود جریان A  
ستون چهارم و پنجم: مختصات X,Z الکترود جریان B

<sup>۱</sup> - non-conventional

ستون ششم و هفتم: مختصات X,Z الکترود پتانسیل C

ستون هشتم و نهم: مختصات X,Z الکترود پتانسیل D

ستون دهم: داده های مقاومت ویژه ظاهری

اگر داده های توپوگرافی موجود نباشند، در زیر ستون اول داده ها، ۴ عدد صفر زیر هم وارد می شود. اگر داده های توپوگرافی موجود باشند، بترتیب زیر برای خطهای بعدی عمل می شود:

۱- بعد از پایان داده های مقاومت ویژه، تایپ عبارت: topography in separate list

۲- نوع فاصله نقاط برداشت (فاصله افقی واقعی=۱، فاصله روی زمین=۲)

۳- تعداد داده های توپوگرافی

۴- مختصات و مقدار توپوگرافی(به تعداد داده ها) (ارتفاع اولین الکترود باید وارد شود)

۵- شماره داده مربوط به ارتفاع الکترود اول

۶- در انتهای ۴ عدد صفر را زیر هم وارد می کنیم.

جدول ۵-۱: نمونه فایل ورودی داده ها برای نرم افزار Res2dinv ، برای سوندazerهای پروفیل

P.G

1

11

0

" type of measurement ( 0=app. , 1=resistance )"

0

157

1

0

فاصله سوندazerها

4	-3	0	3	0	-1	0	1	0	89	0(G1)
---	----	---	---	---	----	---	---	---	----	-------

4	-5	0	5	0	-1	0	1	0	99
---	----	---	---	---	----	---	---	---	----

4	-7	0	7	0	-1	0	1	0	94
---	----	---	---	---	----	---	---	---	----

4	-10	0	10	0	-1	0	1	0	95
---	-----	---	----	---	----	---	---	---	----

4	-10	0	10	0	-2.5	0	2.5	0	86
---	-----	---	----	---	------	---	-----	---	----

4	-15	0	15	0	-2.5	0	2.5	0	91
---	-----	---	----	---	------	---	-----	---	----

4	-20	0	20	0	-2.5	0	2.5	0	85
---	-----	---	----	---	------	---	-----	---	----

4	-30	0	30	0	-2.5	0	2.5	0	63
---	-----	---	----	---	------	---	-----	---	----

4	-40	0	40	0	-2.5	0	2.5	0	63
---	-----	---	----	---	------	---	-----	---	----

4	-50	0	50	0	-2.5	0	2.5	0	66
---	-----	---	----	---	------	---	-----	---	----

4	-50	0	50	0	-10	0	10	0	70
---	-----	---	----	---	-----	---	----	---	----

4	-70	0	70	0	-10	0	10	0	45
---	-----	---	----	---	-----	---	----	---	----

4	-100	0	100	0	-10	0	10	0	50
---	------	---	-----	---	-----	---	----	---	----

4	-150	0	150	0	-10	0	10	0	39
---	------	---	-----	---	-----	---	----	---	----

4	35	0	41	0	37	0	39	0	37 38(G2)
---	----	---	----	---	----	---	----	---	-----------

4	33	0	43	0	37	0	39	0	37
---	----	---	----	---	----	---	----	---	----

4	31	0	45	0	37	0	39	0	46
---	----	---	----	---	----	---	----	---	----

4	28	0	48	0	37	0	39	0	55
---	----	---	----	---	----	---	----	---	----

4	28	0	48	0	35.5	0	40.5	0	61
---	----	---	----	---	------	---	------	---	----

4	23	0	53	0	35.5	0	40.5	0	63
4	18	0	58	0	35.5	0	40.5	0	56
4	8	0	68	0	35.5	0	40.5	0	63
4	-2	0	78	0	35.5	0	40.5	0	61
4	-12	0	88	0	35.5	0	40.5	0	57
4	-12	0	88	0	28	0	48	0	59
4	-32	0	108	0	28	0	48	0	45
4	-62	0	138	0	28	0	48	0	32
4	-112	0	188	0	28	0	48	0	37
4	64	0	70	0	66	0	68	0	119 67(G3)
4	62	0	72	0	66	0	68	0	145
4	60	0	74	0	66	0	68	0	144
4	57	0	77	0	66	0	68	0	149
4	57	0	77	0	64.5	0	69.5	0	146
4	52	0	82	0	64.5	0	69.5	0	124
4	47	0	87	0	64.5	0	69.5	0	76
4	37	0	97	0	64.5	0	69.5	0	47
4	27	0	107	0	64.5	0	69.5	0	40
4	17	0	117	0	64.5	0	69.5	0	35
4	17	0	117	0	57	0	77	0	33.5
4	-3	0	137	0	57	0	77	0	35
4	-33	0	167	0	57	0	77	0	36
4	-83	0	217	0	57	0	77	0	46
4	94	0	100	0	96	0	98	0	119 97(G4)
4	92	0	102	0	96	0	98	0	128
4	90	0	104	0	96	0	98	0	155
4	87	0	107	0	94.5	0	99.5	0	149
4	82	0	112	0	94.5	0	99.5	0	139
4	77	0	117	0	94.5	0	99.5	0	91
4	67	0	127	0	94.5	0	99.5	0	74
4	57	0	137	0	94.5	0	99.5	0	68
4	47	0	147	0	94.5	0	99.5	0	60
4	47	0	147	0	87	0	107	0	46
4	27	0	167	0	87	0	107	0	47
4	-3	0	197	0	87	0	107	0	42
4	-53	0	247	0	87	0	107	0	56
4	122	0	128	0	124	0	126	0	214 125(G5)
4	120	0	130	0	124	0	126	0	157
4	118	0	132	0	124	0	126	0	142
4	115	0	135	0	124	0	126	0	116
4	115	0	135	0	122.5	0	127.5	0	121
4	110	0	140	0	122.5	0	127.5	0	129
4	105	0	145	0	122.5	0	127.5	0	107
4	95	0	155	0	122.5	0	127.5	0	87
4	85	0	165	0	122.5	0	127.5	0	82
4	75	0	175	0	122.5	0	127.5	0	79
4	75	0	175	0	115	0	135	0	95
4	55	0	195	0	115	0	135	0	73
4	25	0	225	0	115	0	135	0	55
4	-25	0	275	0	115	0	135	0	63
4	152	0	158	0	154	0	156	0	63 155(G6)
4	150	0	160	0	154	0	156	0	52

4	148	0	162	0	154	0	156	0	39
4	145	0	165	0	154	0	156	0	59
4	145	0	165	0	152.5	0	157.5	0	64
4	140	0	170	0	152.5	0	157.5	0	70
4	135	0	175	0	152.5	0	157.5	0	63
4	125	0	185	0	152.5	0	157.5	0	77
4	115	0	195	0	152.5	0	157.5	0	73
4	105	0	205	0	152.5	0	157.5	0	67
4	105	0	205	0	145	0	165	0	77
4	85	0	225	0	145	0	165	0	63
4	55	0	255	0	145	0	165	0	37
4	5	0	305	0	145	0	165	0	40
4	192	0	198	0	194	0	196	0	365 195(G7)
4	190	0	200	0	194	0	196	0	348
4	188	0	202	0	194	0	196	0	336
4	185	0	205	0	194	0	196	0	514
4	185	0	205	0	192.5	0	197.5	0	380
4	180	0	210	0	192.5	0	197.5	0	412
4	175	0	215	0	192.5	0	197.5	0	388
4	165	0	225	0	192.5	0	197.5	0	346
4	155	0	235	0	192.5	0	197.5	0	306
4	145	0	245	0	192.5	0	197.5	0	226
4	145	0	245	0	185	0	205	0	158
4	125	0	265	0	185	0	205	0	95
4	95	0	295	0	185	0	205	0	45
4	45	0	345	0	185	0	205	0	52
4	222	0	228	0	224	0	226	0	316 225(G8)
4	220	0	230	0	224	0	226	0	398
4	218	0	232	0	224	0	226	0	394
4	215	0	235	0	224	0	226	0	462
4	215	0	235	0	222.5	0	227.5	0	455
4	210	0	240	0	222.5	0	227.5	0	350
4	205	0	245	0	222.5	0	227.5	0	209
4	195	0	255	0	222.5	0	227.5	0	252
4	185	0	265	0	222.5	0	227.5	0	200
4	175	0	275	0	222.5	0	227.5	0	178
4	175	0	275	0	215	0	235	0	173
4	155	0	295	0	215	0	235	0	137
4	125	0	325	0	215	0	235	0	97
4	75	0	375	0	215	0	235	0	106
4	242	0	248	0	244	0	246	0	211 245(G9)
4	240	0	250	0	244	0	246	0	224
4	238	0	252	0	244	0	246	0	228
4	235	0	255	0	244	0	246	0	217
4	235	0	255	0	242.5	0	247.5	0	242
4	230	0	260	0	242.5	0	247.5	0	215
4	225	0	265	0	242.5	0	247.5	0	181
4	215	0	275	0	242.5	0	247.5	0	216
4	205	0	285	0	242.5	0	247.5	0	231
4	195	0	295	0	242.5	0	247.5	0	219
4	195	0	295	0	235	0	255	0	241
4	175	0	315	0	235	0	255	0	113

4	145	0	345	0	235	0	255	0	85
4	95	0	395	0	235	0	255	0	97
4	280	0	286	0	282	0	284	0	670 283(G10)
4	278	0	288	0	282	0	284	0	535
4	276	0	290	0	282	0	284	0	580
4	273	0	293	0	282	0	284	0	617
4	273	0	293	0	280.5	0	285.5	0	522
4	268	0	298	0	282	0	284	0	722
4	268	0	298	0	280.5	0	285.5	0	697
4	263	0	303	0	280.5	0	285.5	0	748
4	253	0	313	0	280.5	0	285.5	0	1006
4	243	0	323	0	280.5	0	285.5	0	909
4	233	0	333	0	280.5	0	285.5	0	775
4	233	0	333	0	273	0	293	0	628
4	213	0	353	0	280.5	0	285.5	0	555
4	213	0	353	0	273	0	293	0	486
4	183	0	383	0	273	0	293	0	218
4	133	0	433	0	273	0	293	0	124
4	297	0	303	0	299	0	301	0	1041 300(G11)
4	295	0	305	0	299	0	301	0	1273
4	293	0	307	0	299	0	301	0	1535
4	290	0	310	0	299	0	301	0	1312
4	290	0	310	0	297.5	0	302.5	0	983
4	285	0	315	0	299	0	301	0	1540
4	285	0	315	0	297.5	0	302.5	0	1333
4	280	0	320	0	297.5	0	302.5	0	1592
4	270	0	330	0	297.5	0	302.5	0	1873
4	260	0	340	0	297.5	0	302.5	0	1558
4	250	0	350	0	297.5	0	302.5	0	1619
4	250	0	350	0	290	0	310	0	1181
4	230	0	370	0	297.5	0	302.5	0	1182
4	230	0	370	0	290	0	310	0	994
4	200	0	400	0	290	0	310	0	590
4	150	0	450	0	290	0	310	0	223

topography in separate list

1	
13	
-150	840
0	855
38	862
67	875
97	880
125	890
155	900
195	922
225	947
245	965
283	985
300	990
450	1060
1	
0	

0  
0  
0

اطلاعات موجود در ستون انتهایی، مربوط به دستورالعمل ساختن فایل داده ها نبوده و برای مشخص شدن داده های سوندازها و موقعیت آنها، انجام پذیرفته و نباید در فایل ورودی آورده شود.

جدول د-۲ : نمونه فایل ورودی داده ها برای نرم افزار Res2dinv ، برای پروفیل CRP.III

CRP.III													
5	11	0	" type of measurement ( 0=app. , 1=resistance )"										
0	224	1	4	-50	0	50	0	-5	0	5	0	57.5	AB=100
0	224	0	4	-45	0	55	0	0	0	10	0	48.5	
0	224	1	4	-40	0	60	0	5	0	15	0	41.5	
0	224	0	4	-35	0	65	0	10	0	20	0	29.5	
0	224	1	4	-30	0	70	0	15	0	25	0	48.5	
0	224	0	4	-25	0	75	0	20	0	30	0	58	
0	224	1	4	-20	0	80	0	25	0	35	0	56.5	
0	224	0	4	-15	0	85	0	30	0	40	0	56	
0	224	1	4	-10	0	90	0	35	0	45	0	59	
0	224	0	4	-5	0	95	0	40	0	50	0	56.5	
0	224	1	4	0	0	100	0	45	0	55	0	53.5	
0	224	0	4	5	0	105	0	50	0	60	0	53	
0	224	1	4	10	0	110	0	55	0	65	0	50	
0	224	0	4	15	0	115	0	60	0	70	0	67	
0	224	1	4	20	0	120	0	65	0	75	0	45.5	
0	224	0	4	25	0	125	0	70	0	80	0	50.5	
0	224	1	4	30	0	130	0	75	0	85	0	49	
0	224	0	4	35	0	135	0	80	0	90	0	49	
0	224	1	4	40	0	140	0	85	0	95	0	49.5	
0	224	0	4	45	0	145	0	90	0	100	0	26	
0	224	1	4	55	0	155	0	100	0	110	0	64.5	
0	224	0	4	60	0	160	0	105	0	115	0	59	
0	224	1	4	65	0	165	0	110	0	120	0	68.5	
0	224	0	4	70	0	170	0	115	0	125	0	67	
0	224	1	4	75	0	175	0	120	0	130	0	50.5	
0	224	0	4	80	0	180	0	125	0	135	0	44.5	
0	224	1	4	85	0	185	0	130	0	140	0	40	
0	224	0	4	90	0	190	0	135	0	145	0	33	
0	224	1	4	95	0	195	0	140	0	150	0	33	
0	224	0	4	100	0	200	0	145	0	155	0	30	
0	224	1	4	105	0	205	0	150	0	160	0	31	
0	224	0	4	110	0	210	0	155	0	165	0	33	
0	224	1	4	115	0	215	0	160	0	170	0	38	
0	224	0	4	120	0	220	0	165	0	175	0	43	
0	224	1	4	125	0	225	0	170	0	180	0	38.5	

4	130	0	230	0	175	0	185	0	31.5
4	140	0	240	0	185	0	195	0	37.5
4	145	0	245	0	190	0	200	0	30.5
4	150	0	250	0	195	0	205	0	23.5
4	155	0	255	0	200	0	210	0	21.5
4	160	0	260	0	205	0	215	0	33
4	165	0	265	0	210	0	220	0	40.5
4	170	0	270	0	215	0	225	0	34.5
4	175	0	275	0	220	0	230	0	40.5
4	180	0	280	0	225	0	235	0	48
4	185	0	285	0	230	0	240	0	50
4	190	0	290	0	235	0	245	0	47.5
4	195	0	295	0	240	0	250	0	50.5
4	200	0	300	0	245	0	255	0	48
4	205	0	305	0	250	0	260	0	46.5
4	210	0	310	0	255	0	265	0	46.5
4	215	0	315	0	260	0	270	0	56.5
4	220	0	320	0	265	0	275	0	65.5
4	225	0	325	0	270	0	280	0	58.75
4	230	0	330	0	275	0	285	0	63
4	235	0	335	0	280	0	290	0	79
4	240	0	340	0	285	0	295	0	58
4	245	0	345	0	290	0	300	0	95
4	250	0	350	0	295	0	305	0	72
4	255	0	355	0	300	0	310	0	90
4	260	0	360	0	305	0	315	0	131.5
4	265	0	365	0	310	0	320	0	145.5
4	270	0	370	0	315	0	325	0	137
4	275	0	375	0	320	0	330	0	119.5
4	280	0	380	0	325	0	335	0	90.5
4	285	0	385	0	330	0	340	0	145
4	290	0	390	0	335	0	345	0	155.5
4	295	0	395	0	340	0	350	0	118
4	300	0	400	0	345	0	355	0	113.5
4	305	0	405	0	350	0	360	0	155
4	310	0	410	0	355	0	365	0	210
4	315	0	415	0	360	0	370	0	199.5
4	320	0	420	0	365	0	375	0	146.5
4	325	0	425	0	370	0	380	0	104.5
4	-30	0	30	0	-5	0	5	0	95
4	-25	0	35	0	0	0	10	0	88
4	-20	0	40	0	5	0	15	0	81
4	-15	0	45	0	10	0	20	0	85.5
4	-10	0	50	0	15	0	25	0	85
4	-5	0	55	0	20	0	30	0	90.5
4	0	0	60	0	25	0	35	0	94
4	5	0	65	0	30	0	40	0	84.5
4	10	0	70	0	35	0	45	0	85.5
4	15	0	75	0	40	0	50	0	74.5
4	20	0	80	0	45	0	55	0	63
4	25	0	85	0	50	0	60	0	69
4	30	0	90	0	55	0	65	0	74

AB=60

4	35	0	95	0	60	0	70	0	70
4	40	0	100	0	65	0	75	0	78
4	45	0	105	0	70	0	80	0	88
4	50	0	110	0	75	0	85	0	82.5
4	55	0	115	0	80	0	90	0	87
4	60	0	120	0	85	0	95	0	66
4	65	0	125	0	90	0	100	0	56
4	70	0	130	0	95	0	105	0	90
4	75	0	135	0	100	0	110	0	87.5
4	80	0	140	0	105	0	115	0	77.5
4	85	0	145	0	110	0	120	0	85
4	90	0	150	0	115	0	125	0	81.5
4	95	0	155	0	120	0	130	0	61
4	100	0	160	0	125	0	135	0	63.5
4	105	0	165	0	130	0	140	0	61
4	110	0	170	0	135	0	145	0	48
4	115	0	175	0	140	0	150	0	49.5
4	120	0	180	0	145	0	155	0	38.5
4	125	0	185	0	150	0	160	0	32.5
4	130	0	190	0	155	0	165	0	29.5
4	135	0	195	0	160	0	170	0	33.5
4	140	0	200	0	165	0	175	0	30.5
4	145	0	205	0	170	0	180	0	27
4	150	0	210	0	175	0	185	0	26
4	155	0	215	0	180	0	190	0	27
4	160	0	220	0	185	0	195	0	26.5
4	165	0	225	0	190	0	200	0	22.5
4	170	0	230	0	195	0	205	0	21.5
4	175	0	235	0	200	0	210	0	31.5
4	180	0	240	0	205	0	215	0	36
4	185	0	245	0	210	0	220	0	28.5
4	190	0	250	0	215	0	225	0	30
4	195	0	255	0	220	0	230	0	36.5
4	200	0	260	0	225	0	235	0	40
4	205	0	265	0	230	0	240	0	40
4	210	0	270	0	235	0	245	0	41.5
4	215	0	275	0	240	0	250	0	41.5
4	220	0	280	0	245	0	255	0	41
4	225	0	285	0	250	0	260	0	46
4	230	0	290	0	255	0	265	0	49
4	235	0	295	0	260	0	270	0	56.5
4	240	0	300	0	265	0	275	0	56
4	245	0	305	0	270	0	280	0	70
4	250	0	310	0	275	0	285	0	82
4	255	0	315	0	280	0	290	0	124
4	260	0	320	0	285	0	295	0	75
4	265	0	325	0	290	0	300	0	84
4	270	0	330	0	295	0	305	0	94.5
4	275	0	335	0	300	0	310	0	139
4	280	0	340	0	305	0	315	0	159.5
4	285	0	345	0	310	0	320	0	181.5
4	290	0	350	0	315	0	325	0	134.5

4	295	0	355	0	320	0	330	0	83.5
4	300	0	360	0	325	0	335	0	160
4	305	0	365	0	330	0	340	0	169.5
4	310	0	370	0	335	0	345	0	142.5
4	315	0	375	0	340	0	350	0	125.5
4	320	0	380	0	345	0	355	0	175
4	325	0	385	0	350	0	360	0	219.5
4	330	0	390	0	355	0	365	0	189.5
4	335	0	395	0	360	0	370	0	124.5
4	340	0	400	0	365	0	375	0	118
4	-20	0	20	0	-5	0	5	0	144
4	-15	0	25	0	0	0	10	0	127.5
4	-10	0	30	0	5	0	15	0	123.5
4	-5	0	35	0	10	0	20	0	123.5
4	0	0	40	0	15	0	25	0	114
4	5	0	45	0	20	0	30	0	121
4	10	0	50	0	25	0	35	0	132
4	15	0	55	0	30	0	40	0	127.5
4	20	0	60	0	35	0	45	0	166.5
4	25	0	65	0	40	0	50	0	108.5
4	30	0	70	0	45	0	55	0	104.5
4	35	0	75	0	50	0	60	0	109
4	40	0	80	0	55	0	65	0	123.5
4	45	0	85	0	60	0	70	0	88
4	50	0	90	0	65	0	75	0	92
4	55	0	95	0	70	0	80	0	88
4	60	0	100	0	75	0	85	0	73
4	65	0	105	0	80	0	90	0	107.5
4	70	0	110	0	85	0	95	0	87
4	75	0	115	0	90	0	100	0	74
4	80	0	120	0	95	0	105	0	144
4	85	0	125	0	100	0	110	0	104.5
4	90	0	130	0	105	0	115	0	92.5
4	95	0	135	0	110	0	120	0	91
4	100	0	140	0	115	0	125	0	93.5
4	105	0	145	0	120	0	130	0	82.5
4	110	0	150	0	125	0	135	0	72.5
4	115	0	155	0	130	0	140	0	58
4	120	0	160	0	135	0	145	0	47
4	125	0	165	0	140	0	150	0	43.5
4	130	0	170	0	145	0	155	0	29.5
4	135	0	175	0	150	0	160	0	23
4	140	0	180	0	155	0	165	0	21.5
4	145	0	185	0	160	0	170	0	25.5
4	150	0	190	0	165	0	175	0	22.5
4	155	0	195	0	170	0	180	0	24
4	160	0	200	0	175	0	185	0	19
4	165	0	205	0	180	0	190	0	25.5
4	170	0	210	0	185	0	195	0	24
4	175	0	215	0	190	0	200	0	19
4	180	0	220	0	195	0	205	0	18.5
4	185	0	225	0	200	0	210	0	29.5

4	190	0	230	0	205	0	215	0	33.5
4	195	0	235	0	210	0	220	0	30
4	200	0	240	0	215	0	225	0	32
4	205	0	245	0	220	0	230	0	37
4	210	0	250	0	225	0	235	0	44.5
4	215	0	255	0	230	0	240	0	37.5
4	220	0	260	0	235	0	245	0	41.5
4	225	0	265	0	240	0	250	0	46
4	230	0	270	0	245	0	255	0	44
4	235	0	275	0	250	0	260	0	41.5
4	240	0	280	0	255	0	265	0	53.5
4	245	0	285	0	260	0	270	0	58.5
4	250	0	290	0	265	0	275	0	59.5
4	255	0	295	0	270	0	280	0	75
4	260	0	300	0	275	0	285	0	92
4	265	0	305	0	280	0	290	0	74
4	270	0	310	0	285	0	295	0	91
4	275	0	315	0	290	0	300	0	100
4	280	0	320	0	295	0	305	0	110.5
4	285	0	325	0	300	0	310	0	143
4	290	0	330	0	305	0	315	0	182
4	295	0	335	0	310	0	320	0	187
4	300	0	340	0	315	0	325	0	125
4	305	0	345	0	320	0	330	0	74.5
4	310	0	350	0	325	0	335	0	152
4	315	0	355	0	330	0	340	0	197.5
4	320	0	360	0	335	0	345	0	140.5
4	325	0	365	0	340	0	350	0	95
4	330	0	370	0	345	0	355	0	125.5
4	335	0	375	0	350	0	360	0	176.5
4	340	0	380	0	355	0	365	0	166
4	345	0	385	0	360	0	370	0	108.5
4	350	0	390	0	365	0	375	0	111

topography in separate list

1	
8	
-50	876
0	876
45	874
95	877
145	880
295	880
370	876
425	876
1	
0	
0	
0	
0	

در فایل ورودی پروفیل CRP، ستون دهم میانگین مقاومت ویژه های عقبی و جلویی نیم شلومبرگر متقارن است.

### **Abstract**

A landslide is a geological phenomenon which includes a wide range of ground movements and considerable amount of cracks on the earth's surface which causes total destruction sum of structures such as buildings, roads, tunnels and bridges. Consequently creates serious environment and life-style hazards. Qazvin- Rasht highway is located in 52 Km. off-the-mentioned cities is under construction, but due to passing through unresistant tectonic zone, it created some technical problems. to show executive solution to counter act with landslide and making it stable, it is necessary to recognize extreme of slide mass such as precise depth of slide surface. To approach, we need to undertake two methods; direct and indirect. In direct method, the slide surface under the ground is studied by digging exploratory wells, which are not fairly economical. For these convincing reason, indirect method (surface geophysics) is necessarily required to obtain information about the slide surface of the possible slopes. in this project, Electrical resistivity method has been utilized due to its being low-cost method, to gain basic assessment of landslide. by mapping the area, the exact locations were marked for exploratory wells. To pursue mentioned aims, I cooperate with zamin physics consulting company to gathering the data. First obtained data qualitatively were assessed then to measure the precise thickness of layers and their resistivity, we processed the data through two dimentional inverse modeling.